

図 2. 1. c. b-22 (5) 敷地（陸域）の地盤変状（3.5m 沈下）の有無による最大水位上昇量分布の比較（基準津波（波源 B，北防波堤損傷））

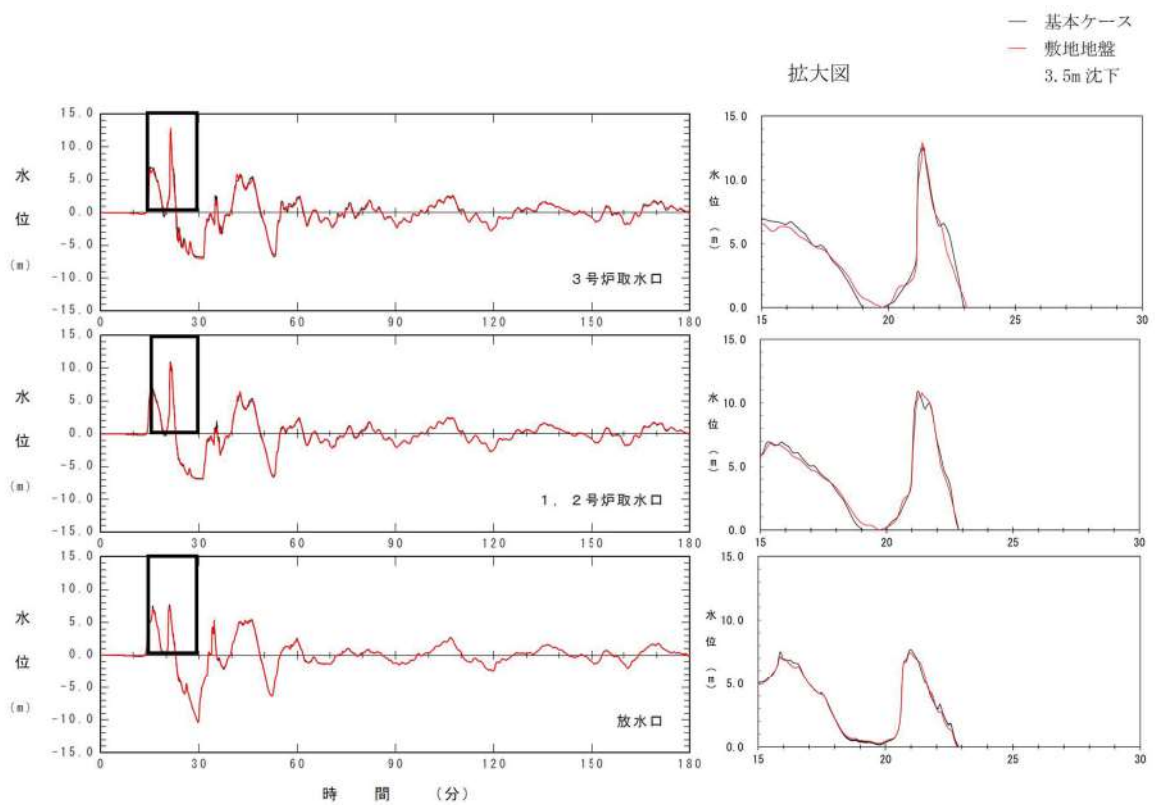


図 2. 1. c. b-22 (6) 敷地（陸域）の地盤変状（3.5m 沈下）の有無による水位時刻歴波形の比較（基準津波（波源 B，北防波堤損傷））

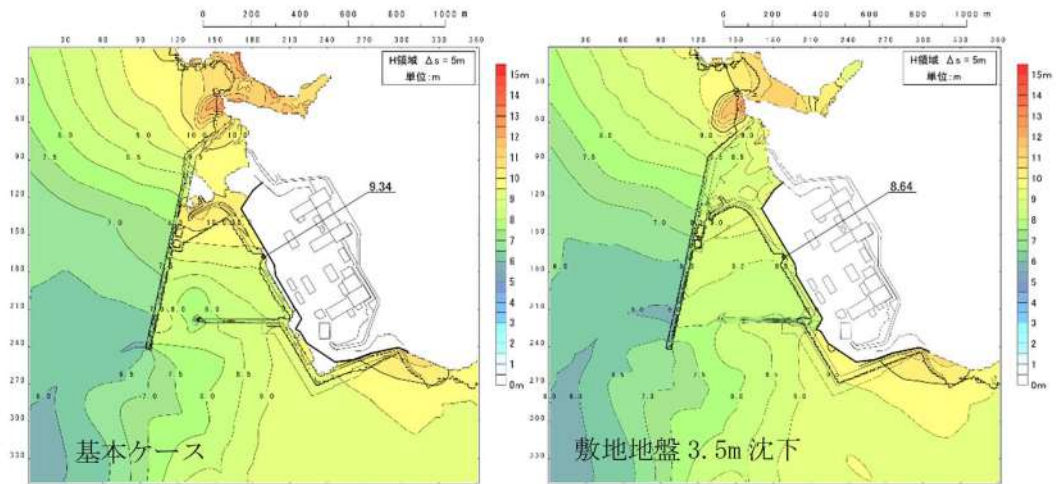


図 2. 1. c. b-22 (7) 敷地（陸域）の地盤変状（3.5m 沈下）の有無による最大水位上昇量分布の比較（基準津波（波源C，防波堤損傷なし））

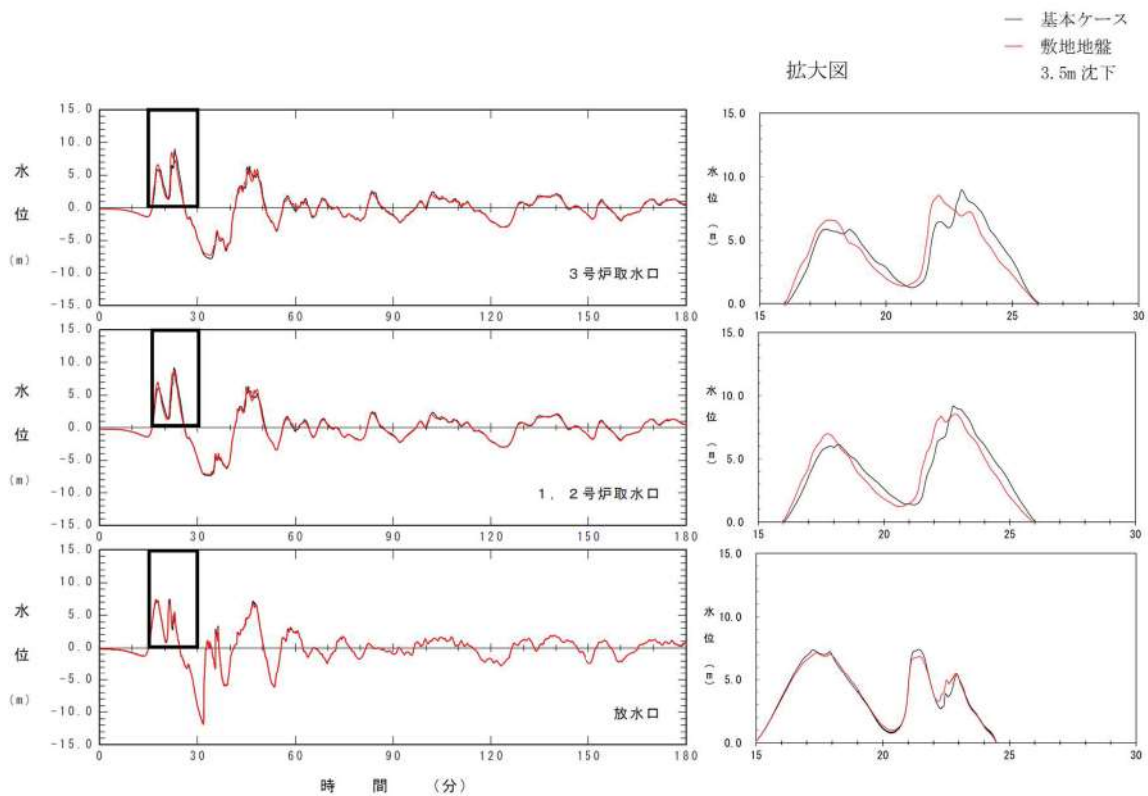


図 2. 1. c. b-22 (8) 敷地（陸域）の地盤変状（3.5m 沈下）の有無による水位時刻歴波形の比較（基準津波（波源C，防波堤損傷なし））

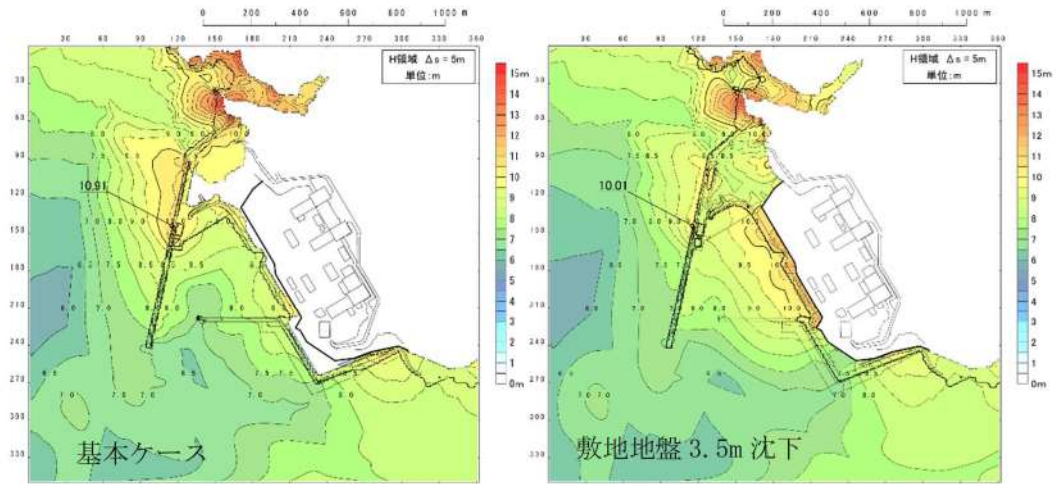


図 2. 1. c. b-22 (9) 敷地（陸域）の地盤変状（3.5m 沈下）の有無による最大水位上昇量分布の比較（基準津波（波源D，防波堤損傷なし））

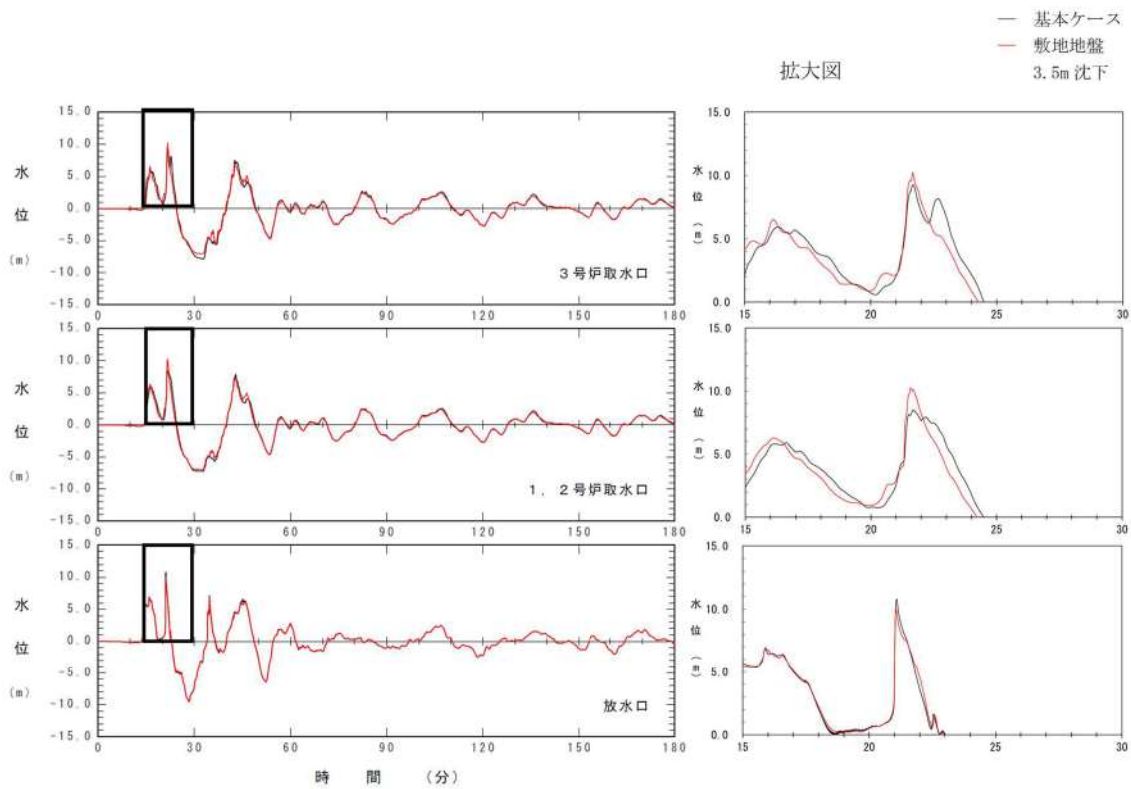


図 2. 1. c. b-22 (10) 敷地（陸域）の地盤変状（3.5m 沈下）の有無による水位時刻歴波形の比較（基準津波（波源D，防波堤損傷なし））

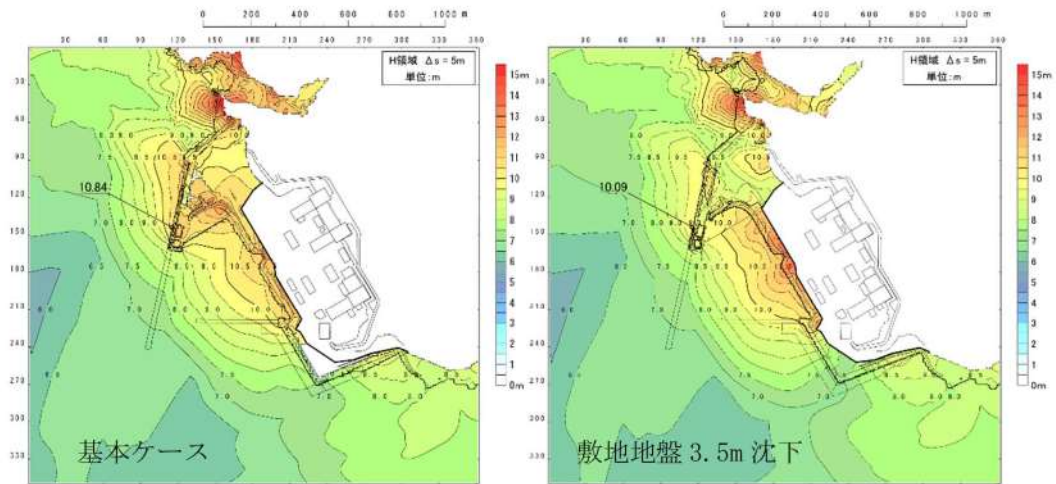


図 2. 1. c. b-22 (11) 敷地（陸域）の地盤変状（3.5m 沈下）の有無による最大水位上昇量分布の比較（基準津波（波源D，北及び南防波堤損傷））

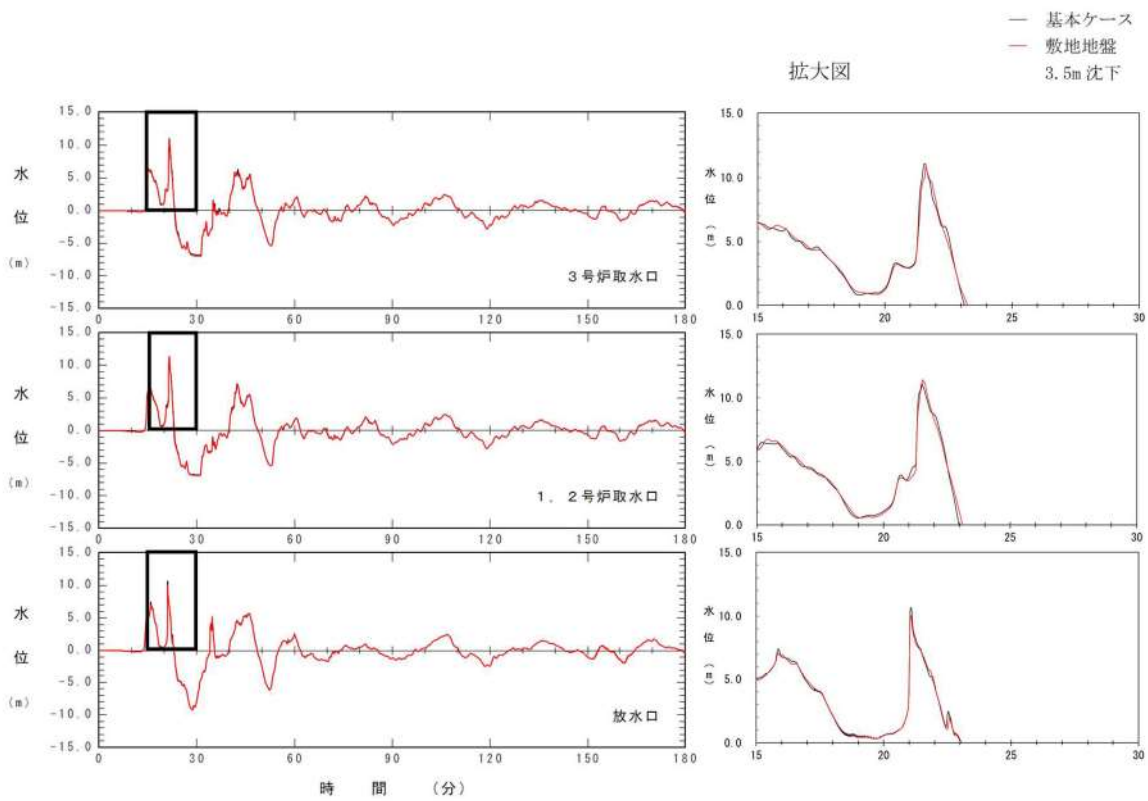


図 2. 1. c. b-22 (12) 敷地（陸域）の地盤変状（3.5m 沈下）の有無による水位時刻歴波形の比較（基準津波（波源D，北及び南防波堤損傷））

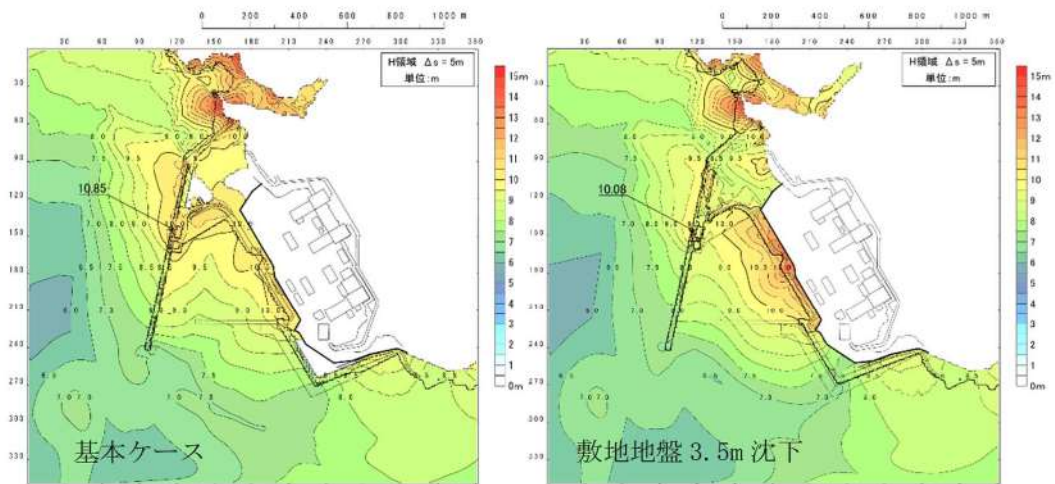


図 2. 1. c. b-22 (13) 敷地（陸域）の地盤変状（3.5m 沈下）の有無による最大水位上昇量分布の比較（基準津波（波源D，南防波堤損傷））

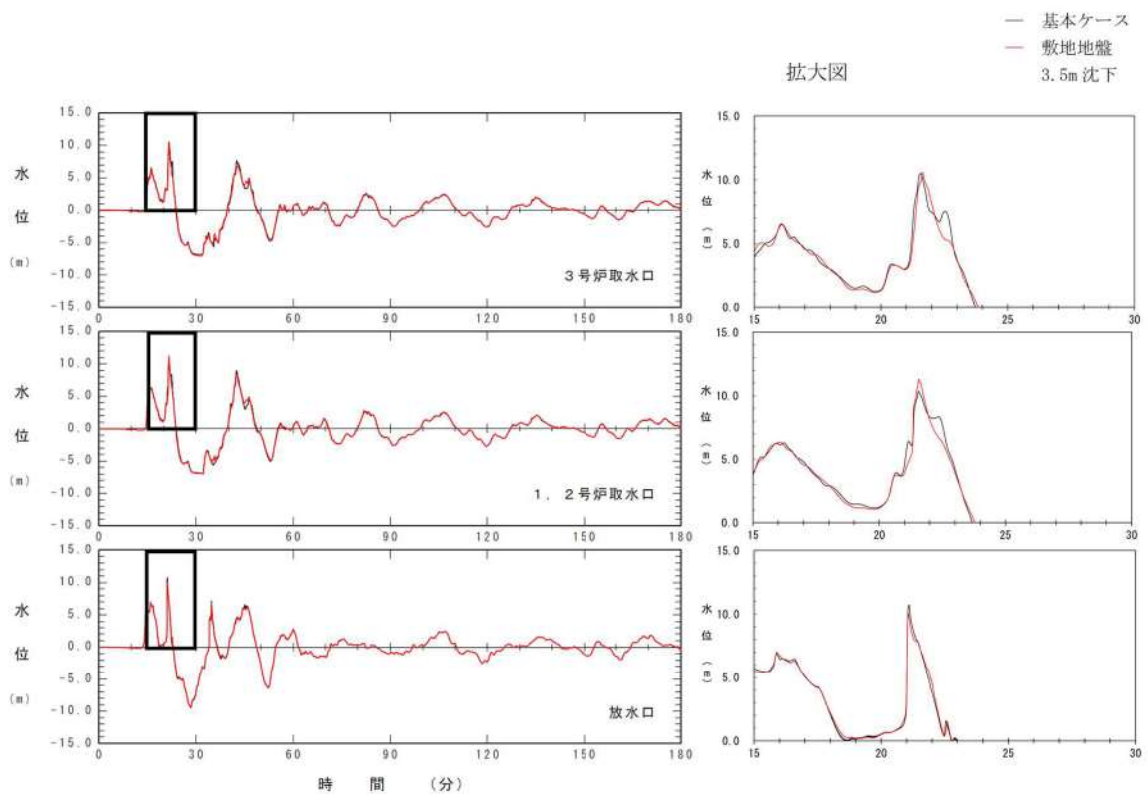


図 2. 1. c. b-22 (14) 敷地（陸域）の地盤変状（3.5m 沈下）の有無による水位時刻歴波形の比較（基準津波（波源D，南防波堤損傷））

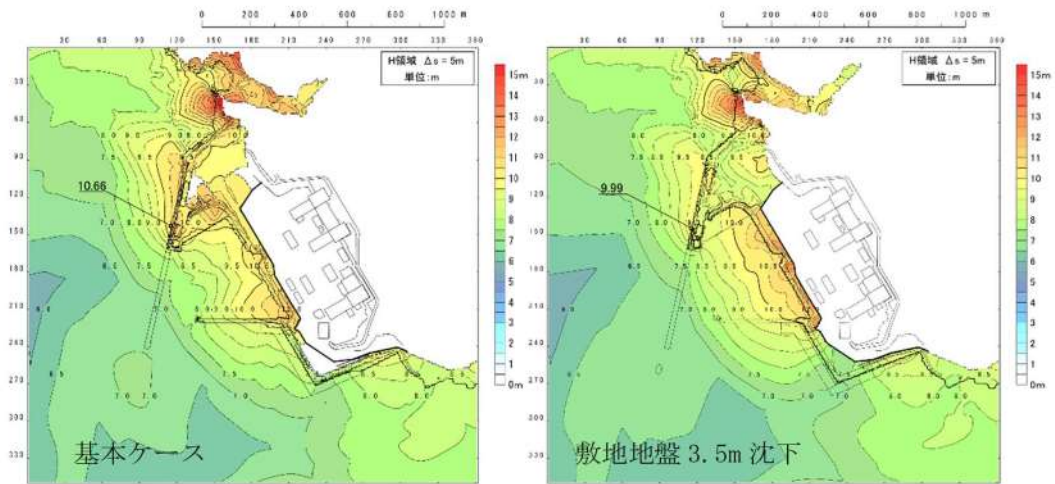


図 2. 1. c. b-22 (15) 敷地（陸域）の地盤変状（3.5m 沈下）の有無による最大水位上昇量分布の比較（基準津波（波源D，北防波堤損傷））

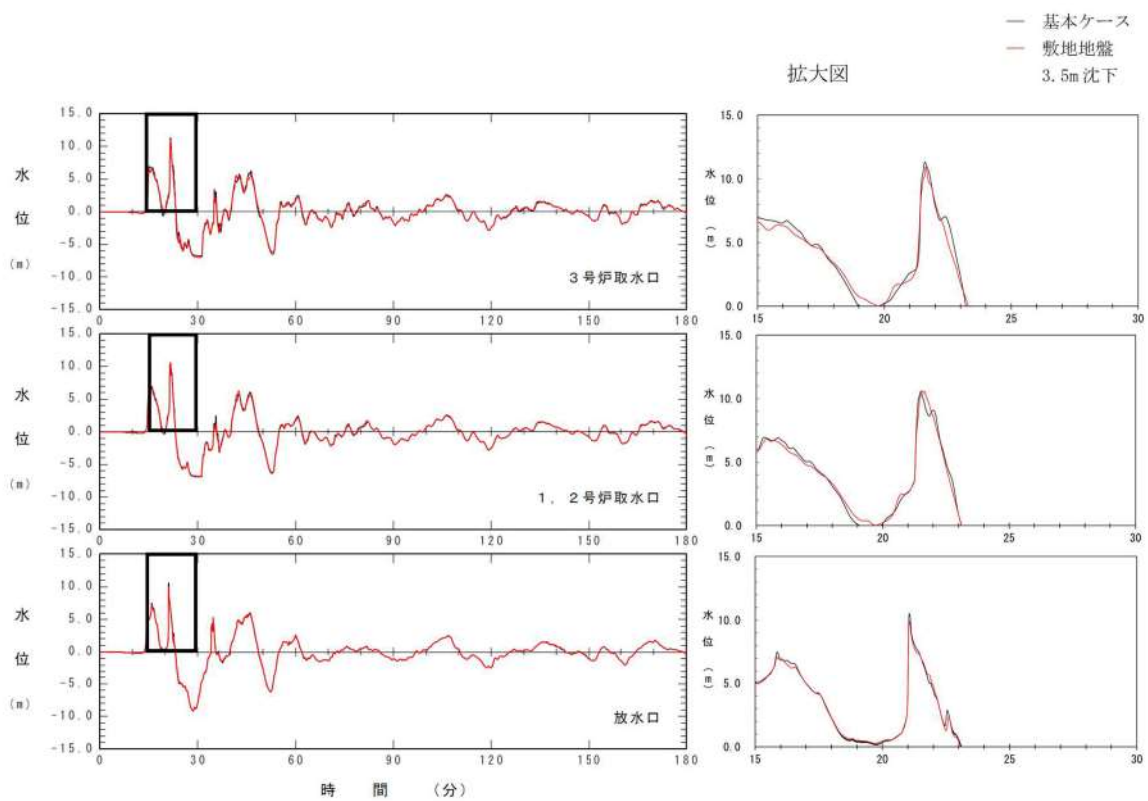


図 2. 1. c. b-22 (16) 敷地（陸域）の地盤変状（3.5m 沈下）の有無による水位時刻歴波形の比較（基準津波（波源D，北防波堤損傷））

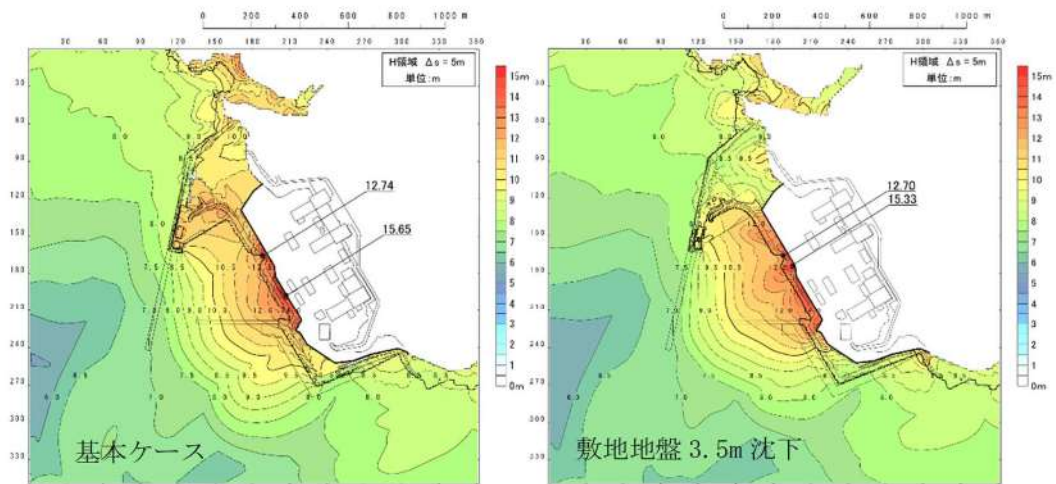


図 2. 1. c. b-22 (17) 敷地（陸域）の地盤変状（3.5m 沈下）の有無による最大水位上昇量分布の比較（基準津波（波源E，北及び南防波堤損傷））

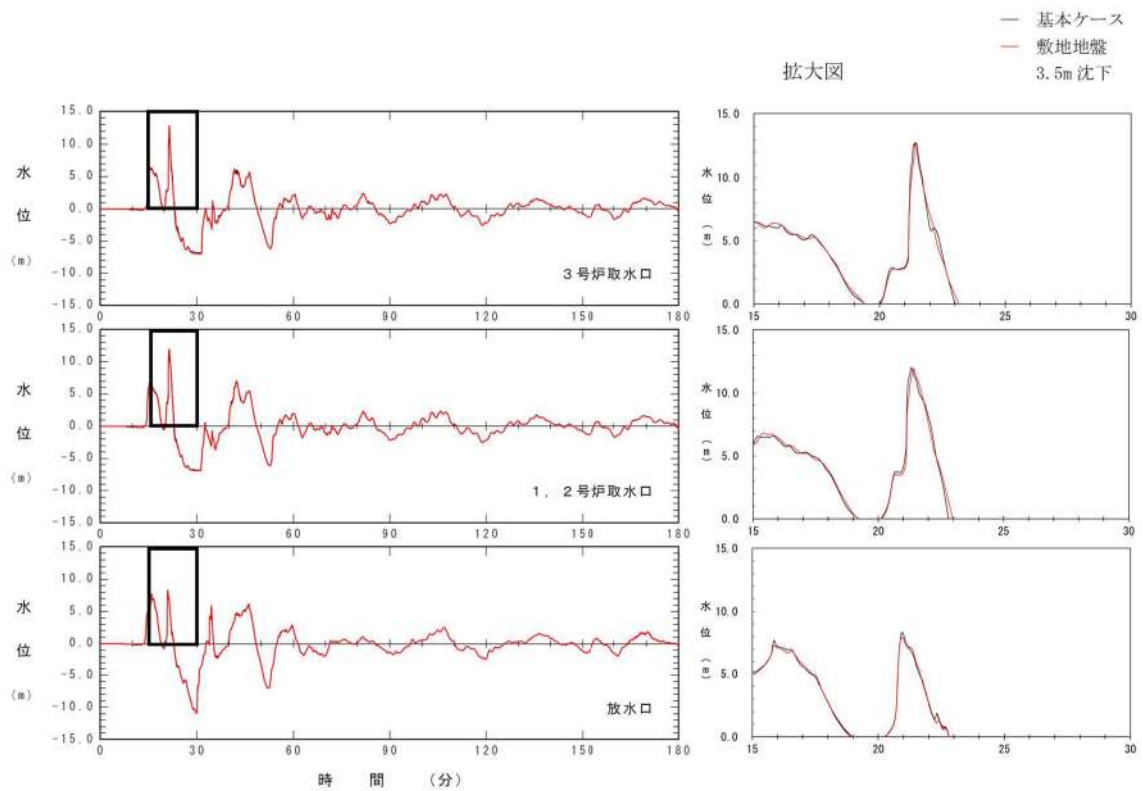


図 2. 1. c. b-22 (18) 敷地（陸域）の地盤変状（3.5m 沈下）の有無による水位時刻歴波形の比較（基準津波（波源E，北及び南防波堤損傷））

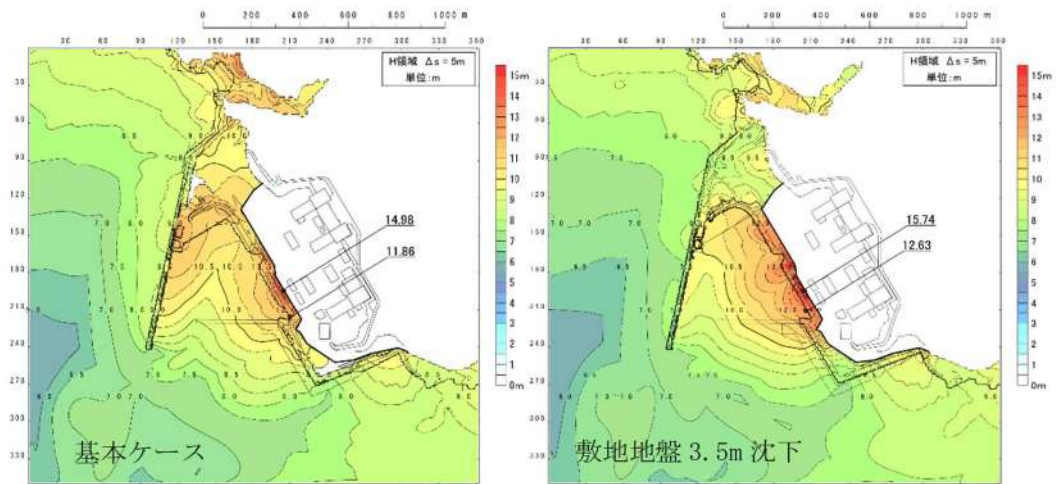


図 2. 1. c. b-22 (19) 敷地（陸域）の地盤変状（3.5m 沈下）の有無による最大水位上昇量分布の比較（基準津波（波源E，南防波堤損傷））

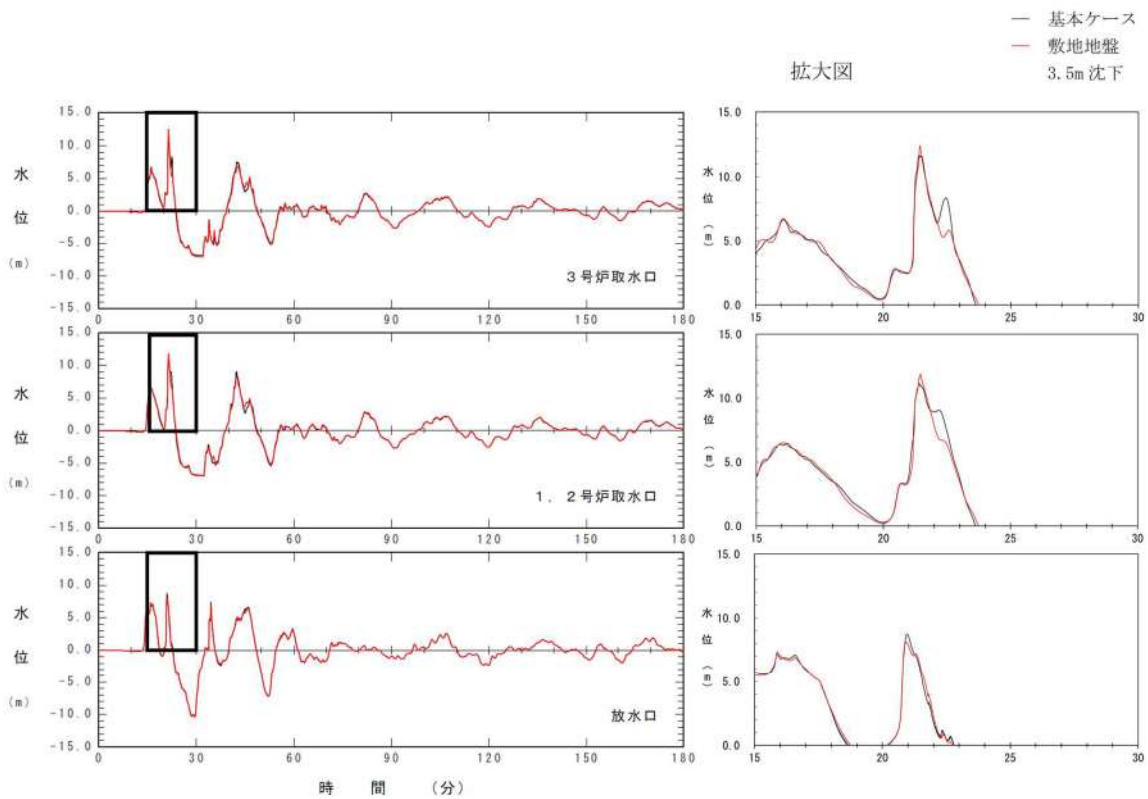


図 2. 1. c. b-22 (20) 敷地（陸域）の地盤変状（3.5m 沈下）の有無による水位時刻歴波形の比較（基準津波（波源E，南防波堤損傷））



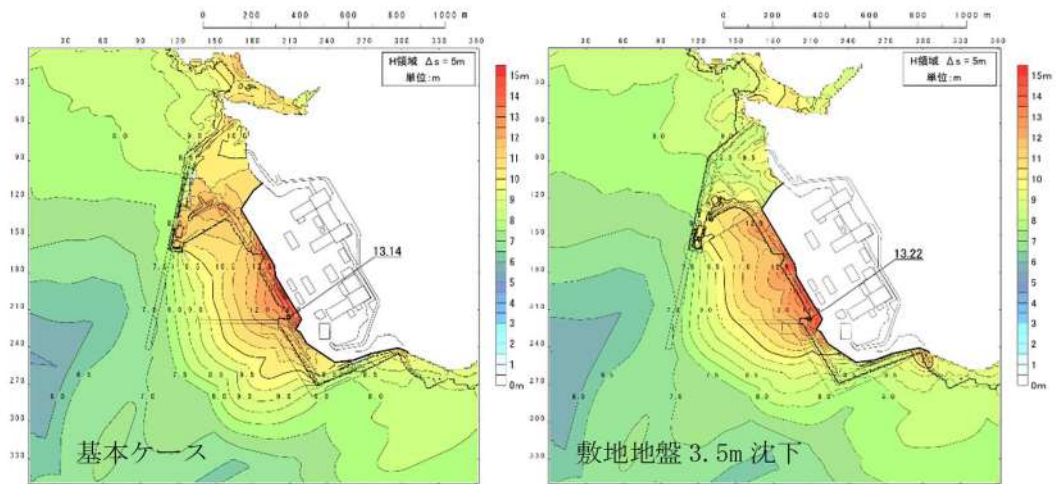


図 2. 1. c. b-22 (21) 敷地（陸域）の地盤変状（3.5m 沈下）の有無による最大水位上昇量分布の比較（基準津波（波源 F，北及び南防波堤損傷））

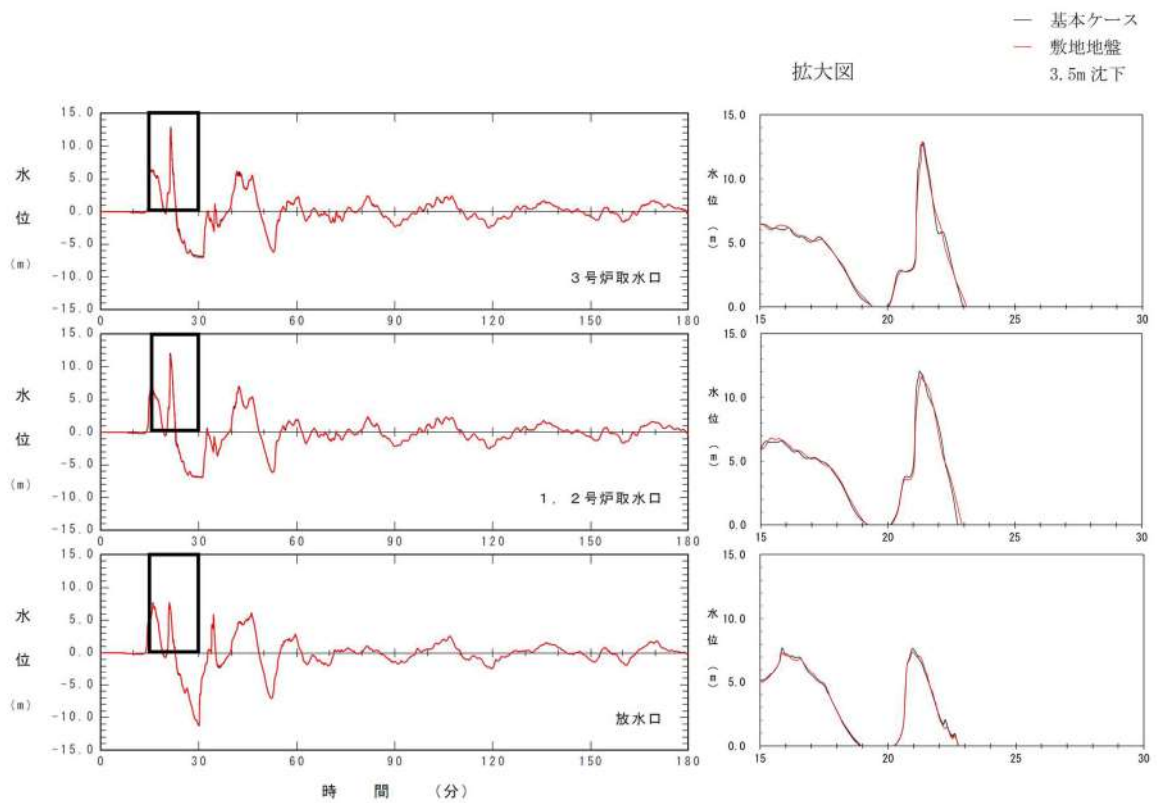


図 2. 1. c. b-22 (22) 敷地（陸域）の地盤変状（3.5m 沈下）の有無による水位時刻歴波形の比較（基準津波（波源 F，北及び南防波堤損傷））

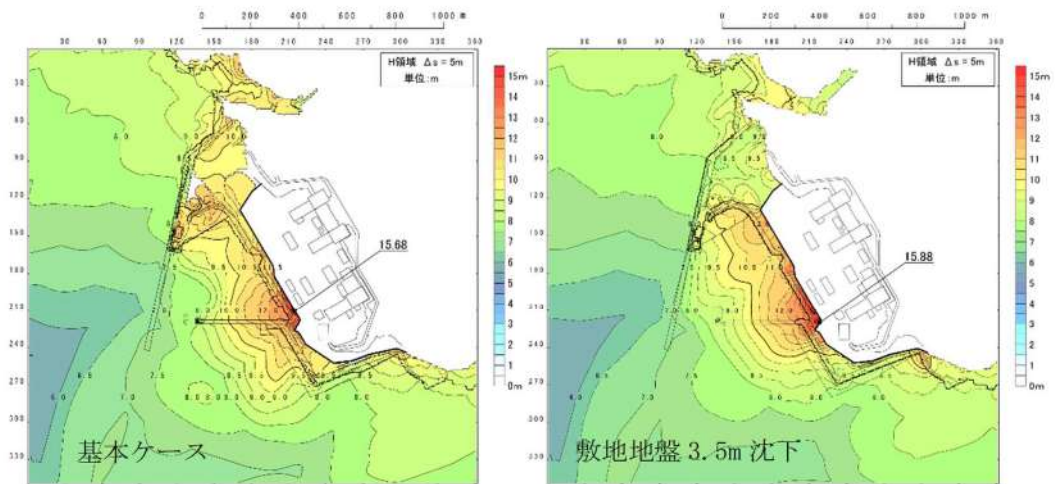


図 2. 1. c. b-22 (23) 敷地（陸域）の地盤変状（3.5m 沈下）の有無による最大水位上昇量分布の比較（基準津波（波源 F，北防波堤損傷））

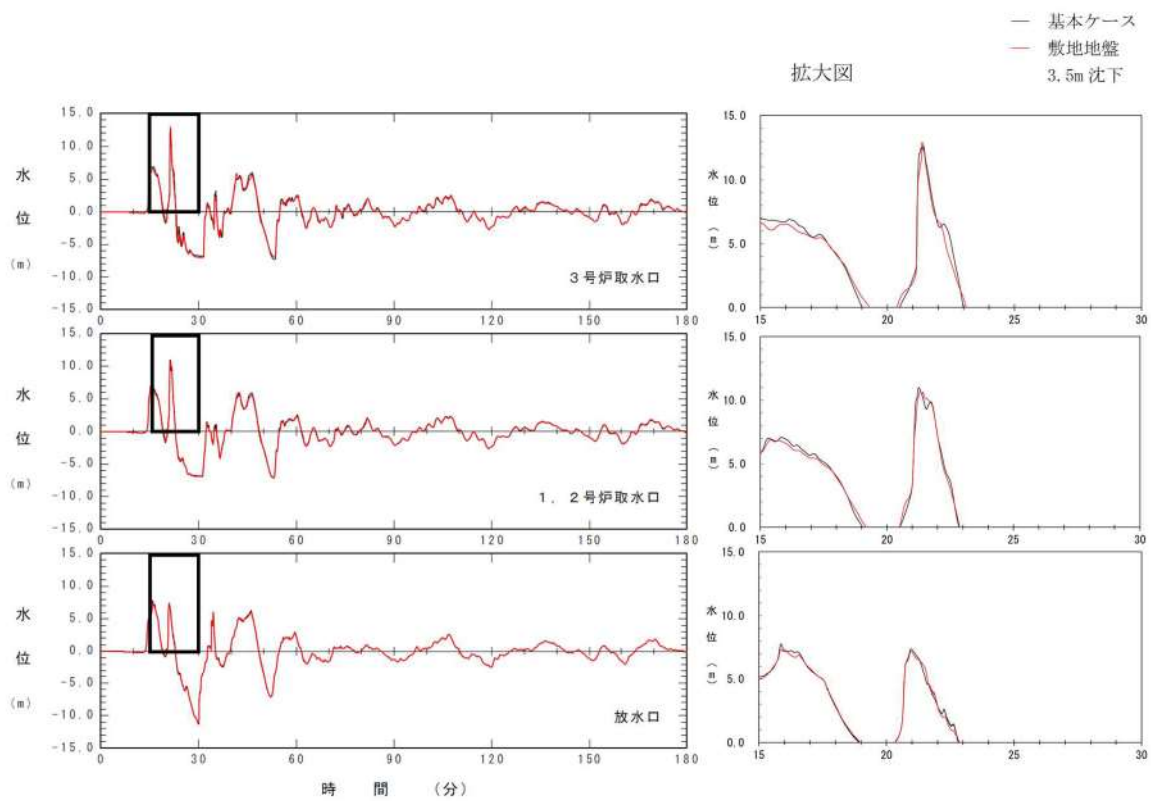


図 2. 1. c. b-22 (24) 敷地（陸域）の地盤変状（3.5m 沈下）の有無による水位時刻歴波形の比較（基準津波（波源 F，北防波堤損傷））

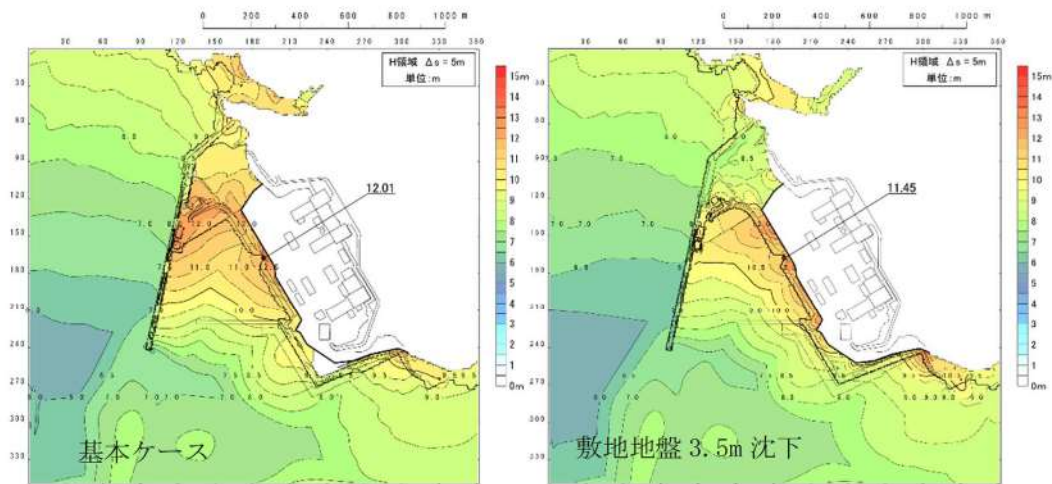


図 2. 1. c. b-22 (25) 敷地（陸域）の地盤変状（3.5m 沈下）の有無による最大水位上昇量分布の比較（基準津波（波源G，南防波堤損傷））

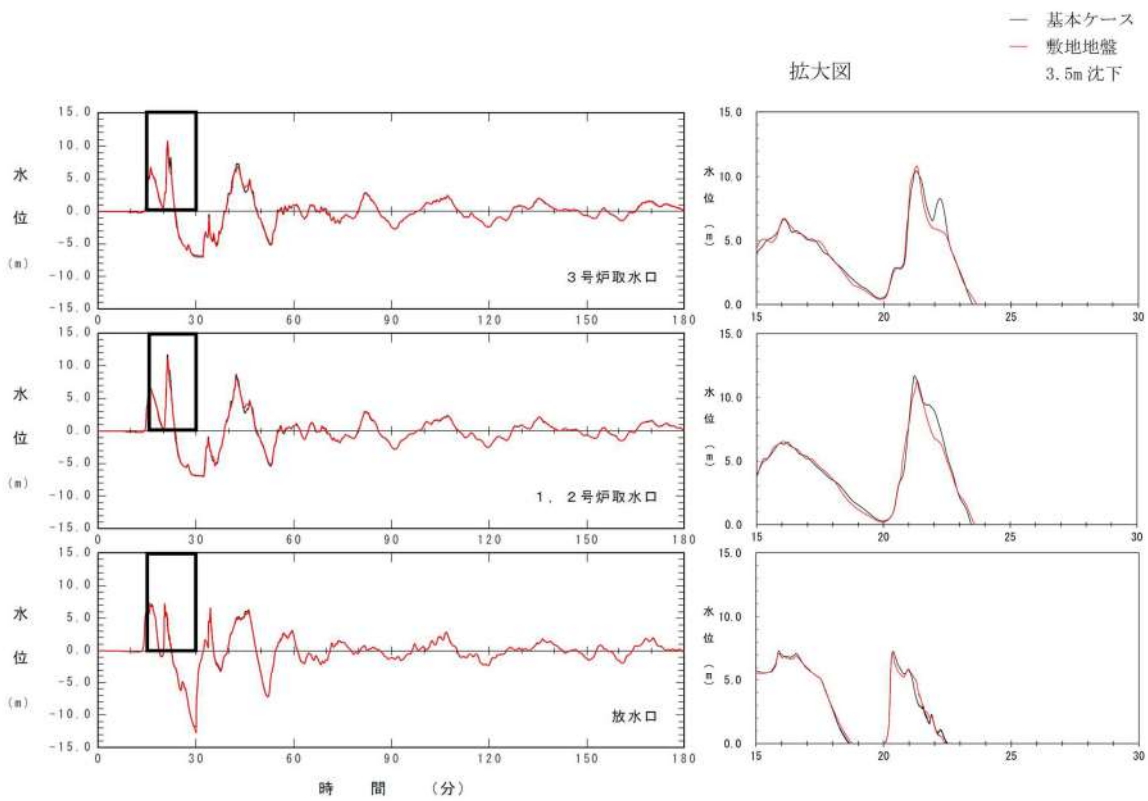


図 2. 1. c. b-22 (26) 敷地（陸域）の地盤変状（3.5m 沈下）の有無による水位時刻歴波形の比較（基準津波（波源G，南防波堤損傷））

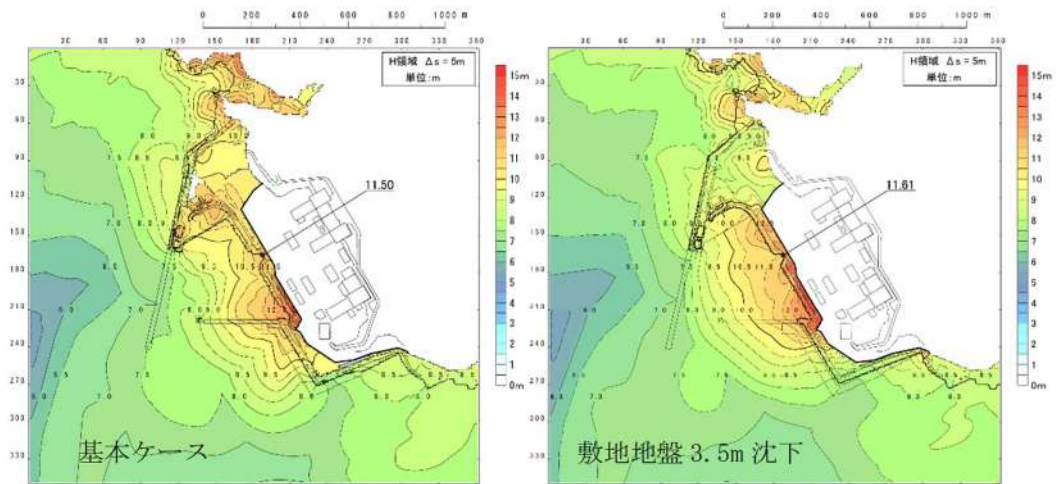


図 2. 1. c. b-22 (27) 敷地（陸域）の地盤変状（3.5m 沈下）の有無による最大水位上昇量分布の比較（基準津波（波源H，北防波堤損傷））

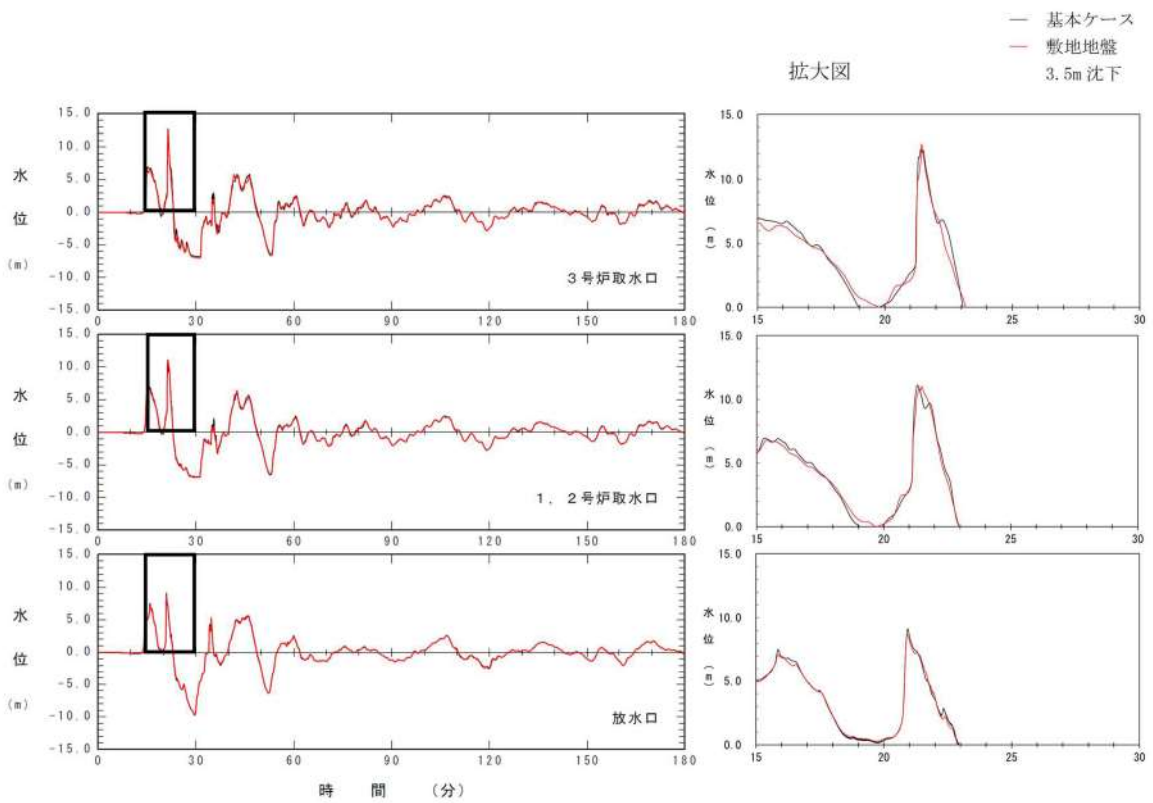


図 2. 1. c. b-22 (28) 敷地（陸域）の地盤変状（3.5m 沈下）の有無による水位時刻歴波形の比較（基準津波（波源H，北防波堤損傷））

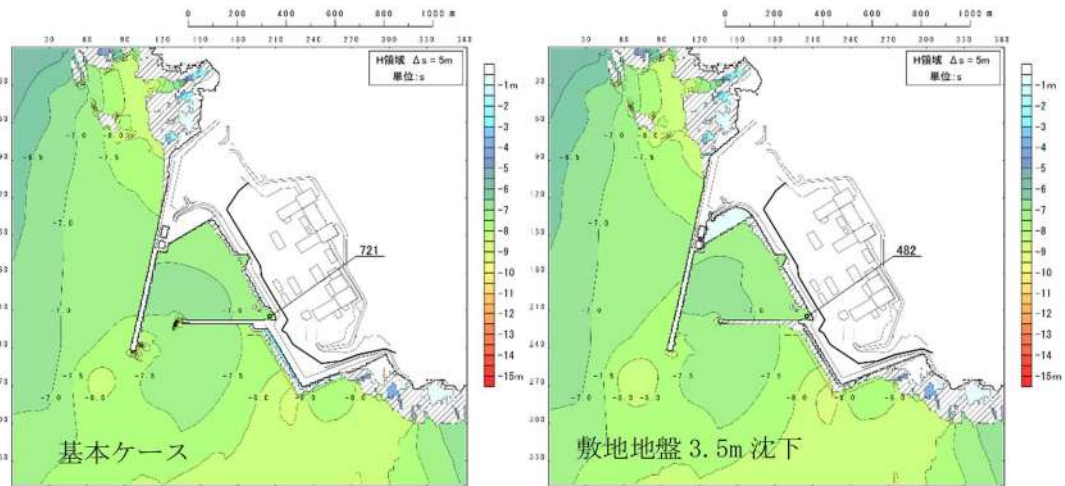


図 2. 1. c. b-22 (29) 敷地（陸域）の地盤変状（3.5m 沈下）の有無による最大水位下降量分布の比較（基準津波（波源 I, 防波堤損傷なし））

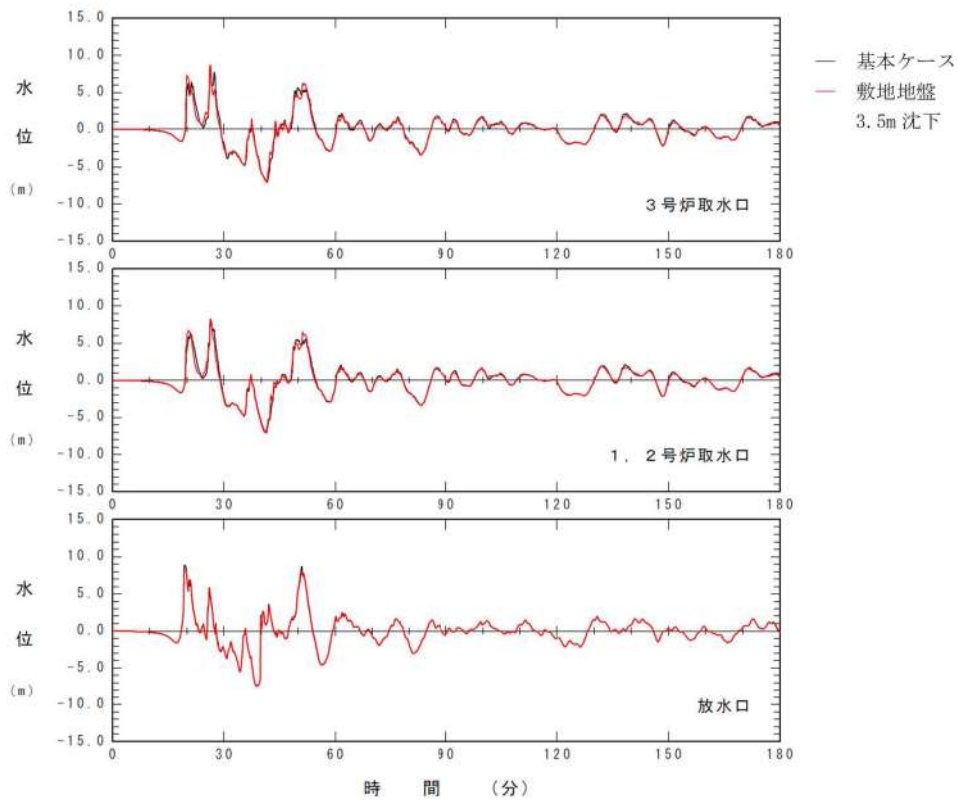


図 2. 1. c. b-22 (30) 敷地（陸域）の地盤変状（3.5m 沈下）の有無による水位時刻歴波形の比較（基準津波（波源 I, 防波堤損傷なし））

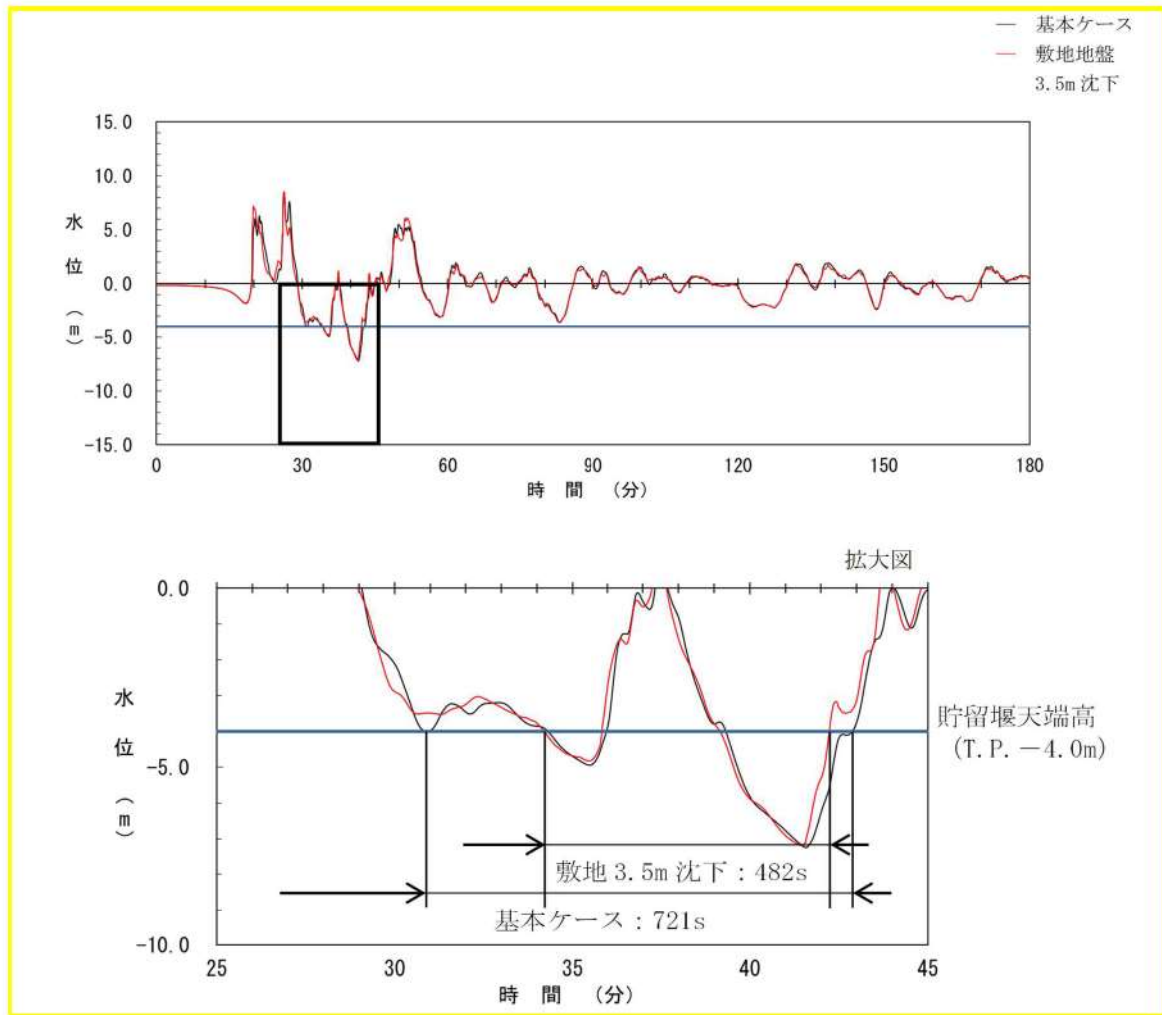


図 2.1.c.b-22 (31) 敷地（陸域）の地盤変状（3.5m 沈下）の有無による保守性を考慮した時間の比較（基準津波（波源 I，防波堤損傷なし））

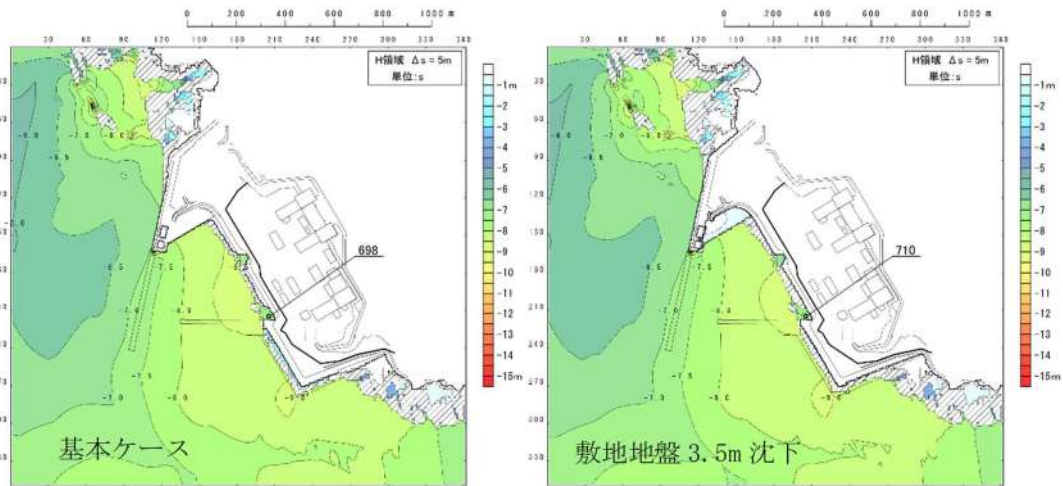


図 2. 1. c. b-22 (32) 敷地（陸域）の地盤変状（3.5m 沈下）の有無による最大水位下降量分布の比較（基準津波（波源 J，北及び南防波堤損傷））

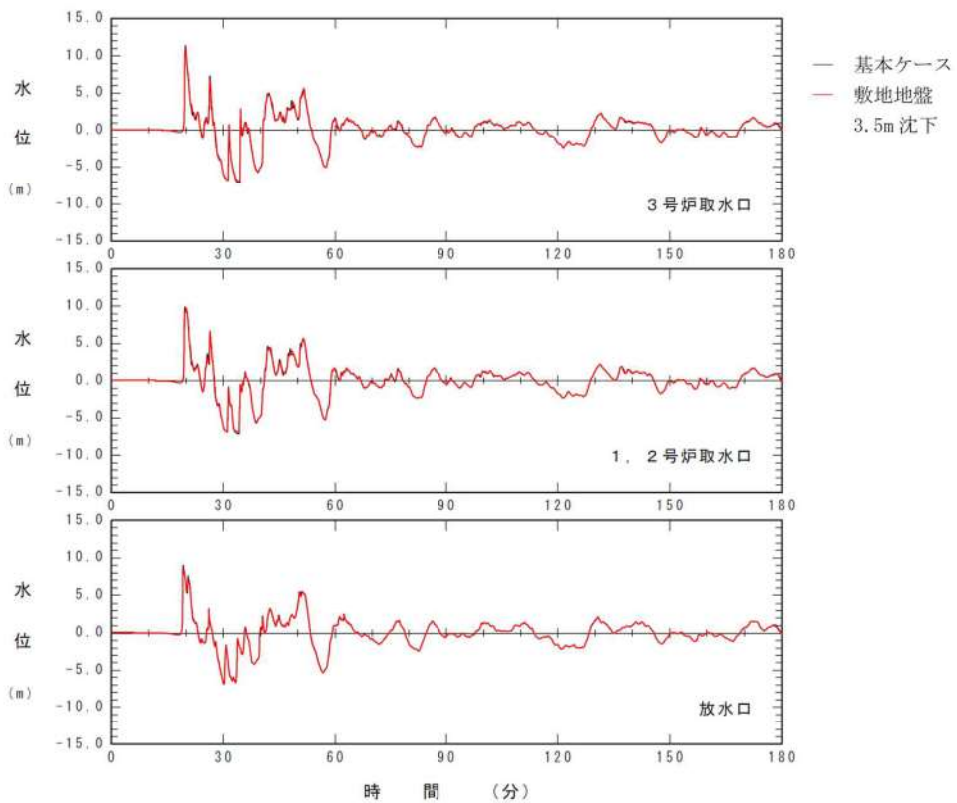


図 2. 1. c. b-22 (33) 敷地（陸域）の地盤変状（3.5m 沈下）の有無による水位時刻歴波形の比較（基準津波（波源 J，北及び南防波堤損傷））

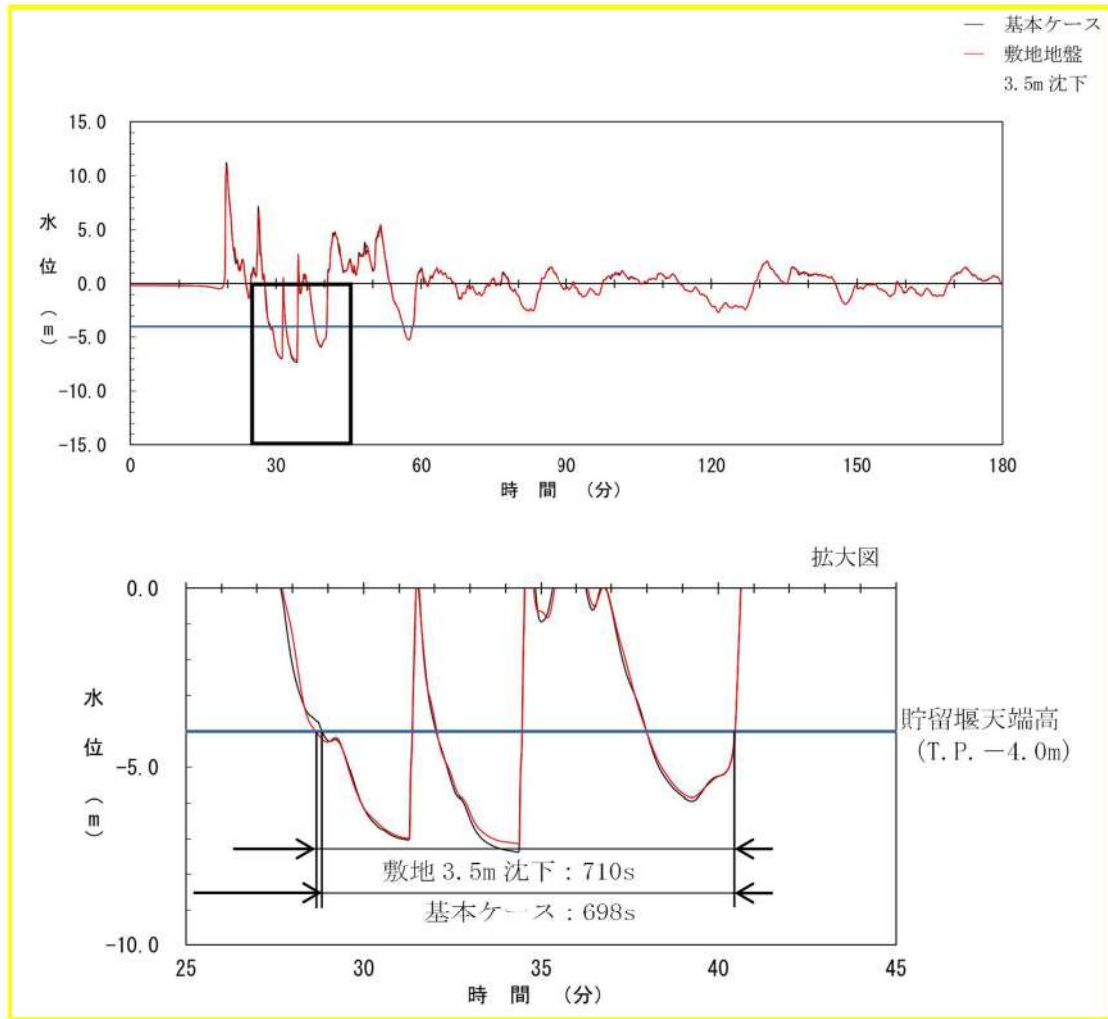


図 2.1.c.b-22 (34) 敷地（陸域）の地盤変状（3.5m 沈下）の有無による保守性を考慮した時間の比較（基準津波（波源 J，北及び南防波堤損傷））



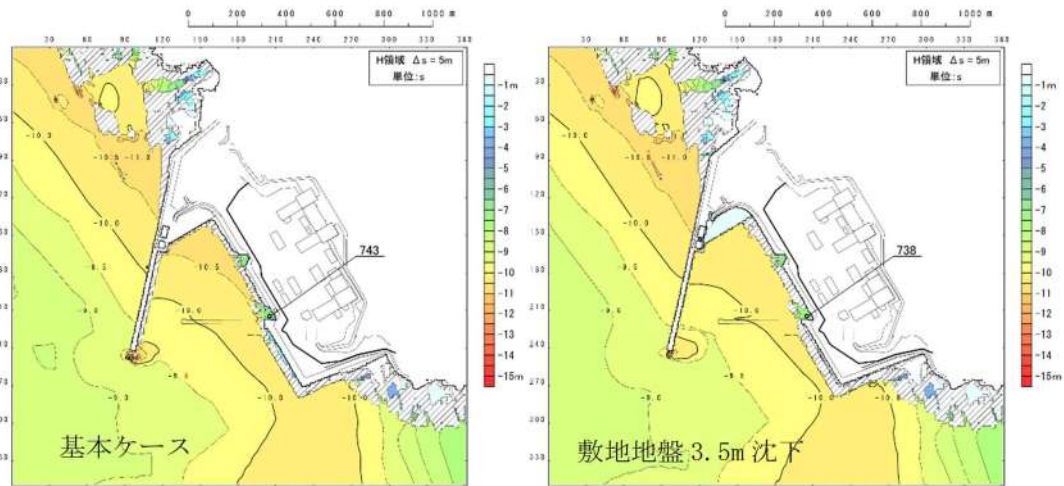


図 2. 1. c. b-22 (35) 敷地（陸域）の地盤変状（3.5m 沈下）の有無による最大水位下降量分布の比較（基準津波（波源K，南防波堤損傷））

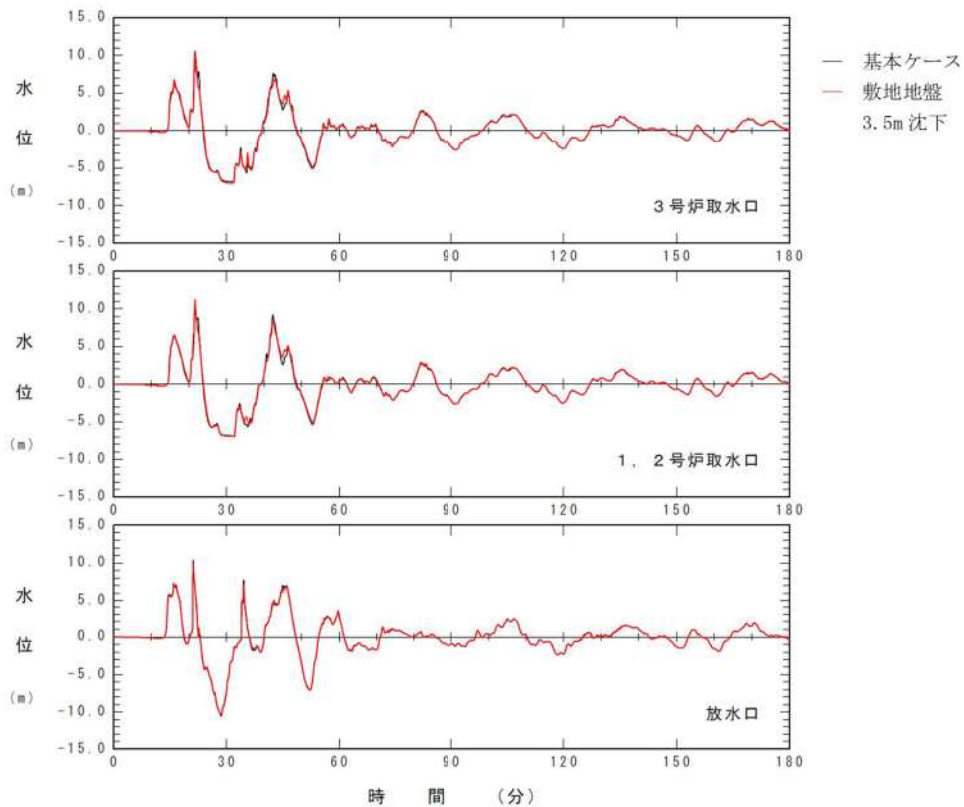


図 2. 1. c. b-22 (36) 敷地（陸域）の地盤変状（3.5m 沈下）の有無による水位時刻歴波形の比較（基準津波（波源K，南防波堤損傷））

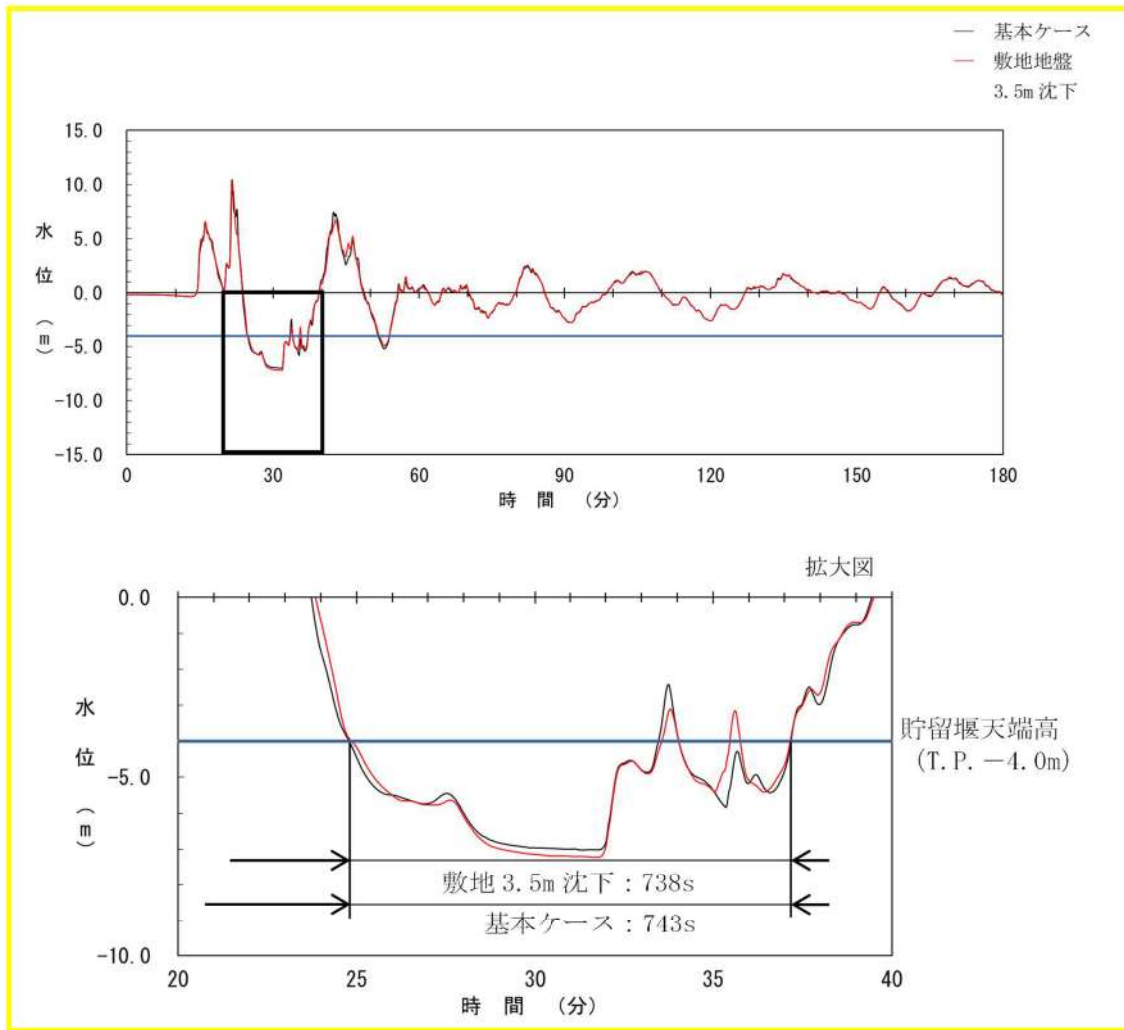


図 2.1.c.b-22 (37) 敷地（陸域）の地盤変状（3.5m 沈下）の有無による保守性を考慮した時間の比較（基準津波（波源K，南防波堤損傷））

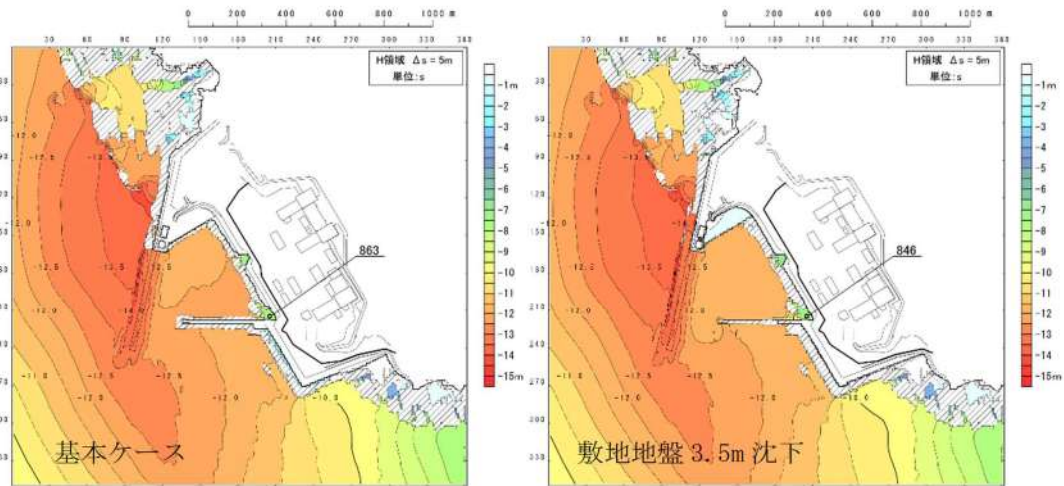


図 2. 1. c. b-22 (38) 敷地（陸域）の地盤変状（3.5m 沈下）の有無による最大水位下降量分布の比較（基準津波（波源 L，北防波堤損傷））

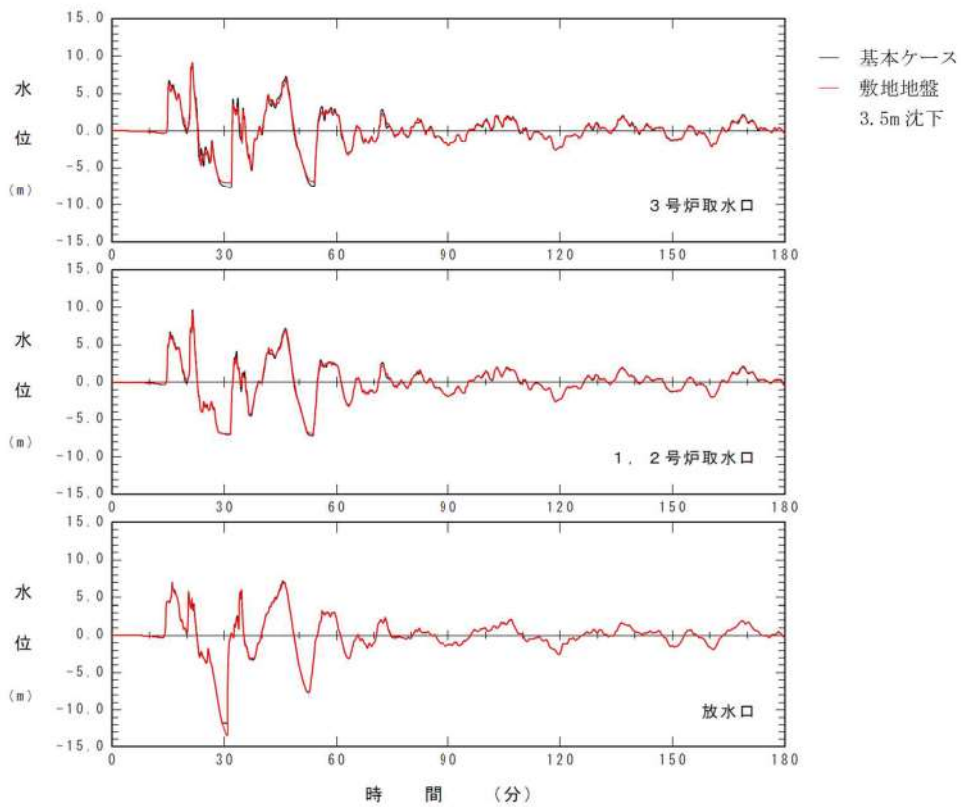


図 2. 1. c. b-22 (39) 敷地（陸域）の地盤変状（3.5m 沈下）の有無による水位時刻歴波形の比較（基準津波（波源 L，北防波堤損傷））

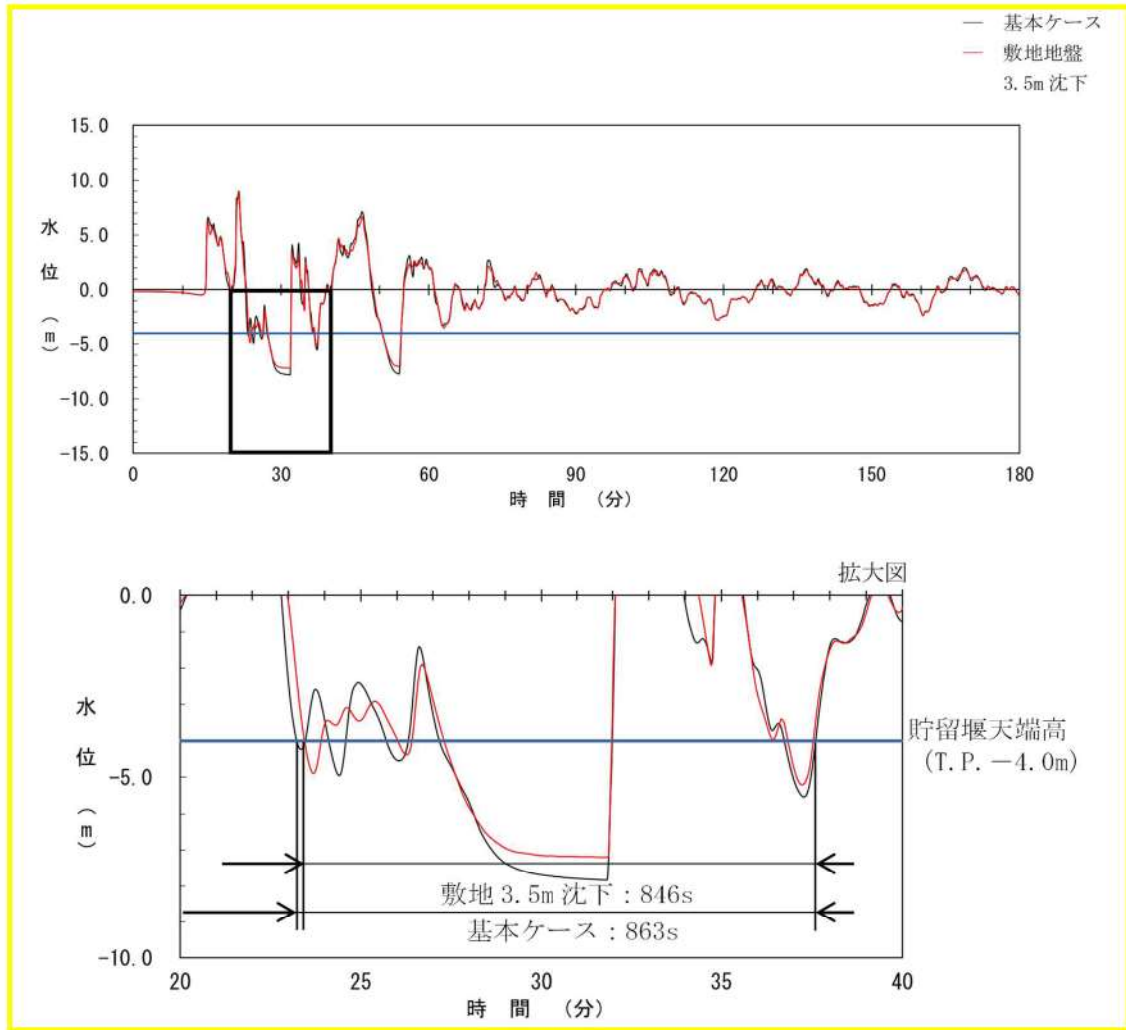


図 2.1.c.b-22 (40) 敷地（陸域）の地盤変状（3.5m 沈下）の有無による保守性を考慮した時間の比較（基準津波（波源 L，北防波堤損傷））

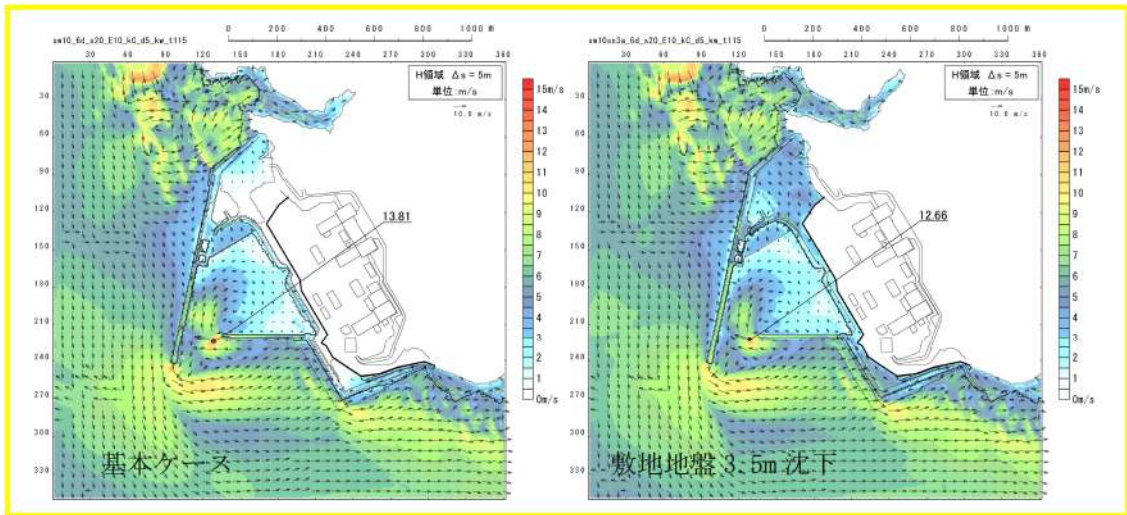


図 2. 1. c. b-22 (41) 敷地（陸域）の地盤変状（3.5m 沈下）の有無による最大流速分布の比較（基準津波（波源A，防波堤損傷なし））

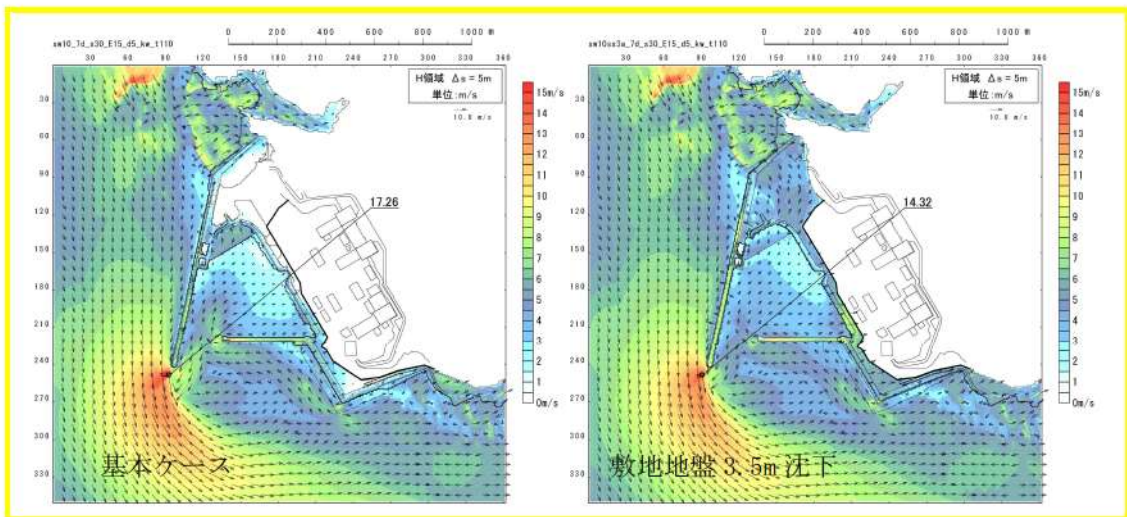


図 2. 1. c. b-22 (42) 敷地（陸域）の地盤変状（3.5m 沈下）の有無による最大流速分布の比較（基準津波（波源B，防波堤損傷なし））

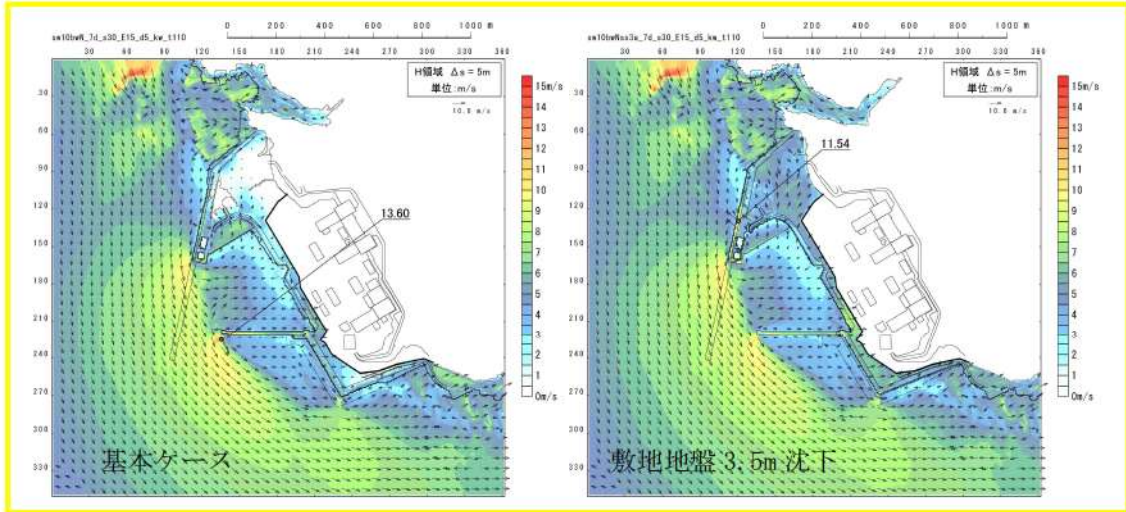


図 2. 1. c. b-22 (43) 敷地（陸域）の地盤変状（3.5m 沈下）の有無による最大流速分布の比較（基準津波（波源B，北防波堤損傷））

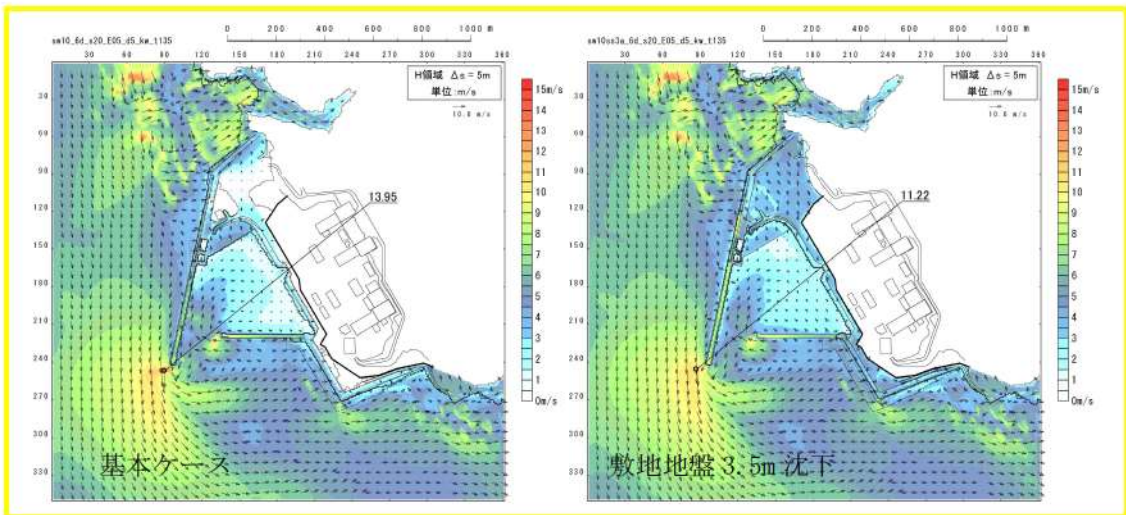


図 2. 1. c. b-22 (44) 敷地（陸域）の地盤変状（3.5m 沈下）の有無による最大流速分布の比較（基準津波（波源C，防波堤損傷なし））

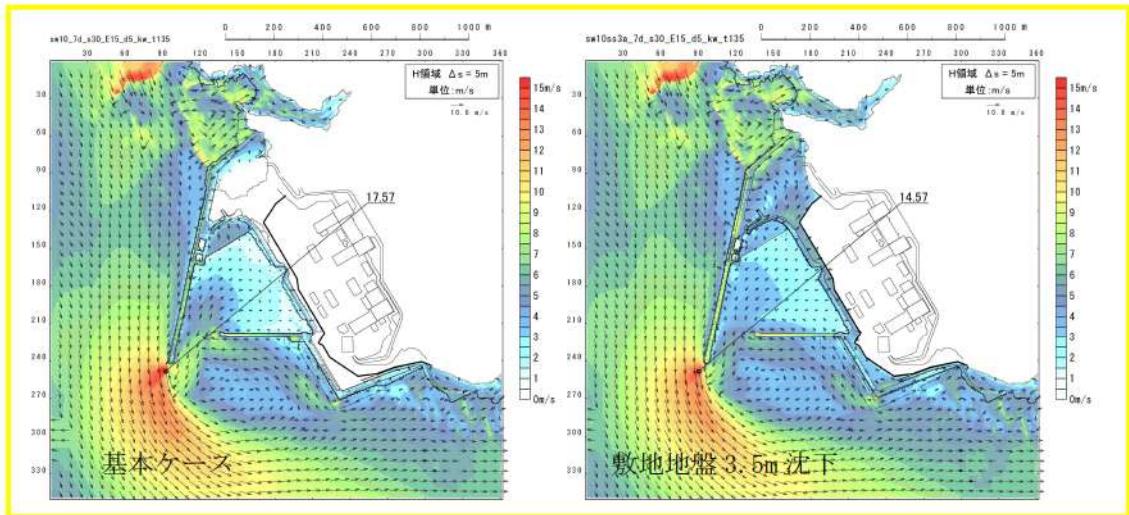


図 2. 1. c. b-22 (45) 敷地（陸域）の地盤変状（3.5m 沈下）の有無による最大流速分布の比較（基準津波（波源D，防波堤損傷なし））

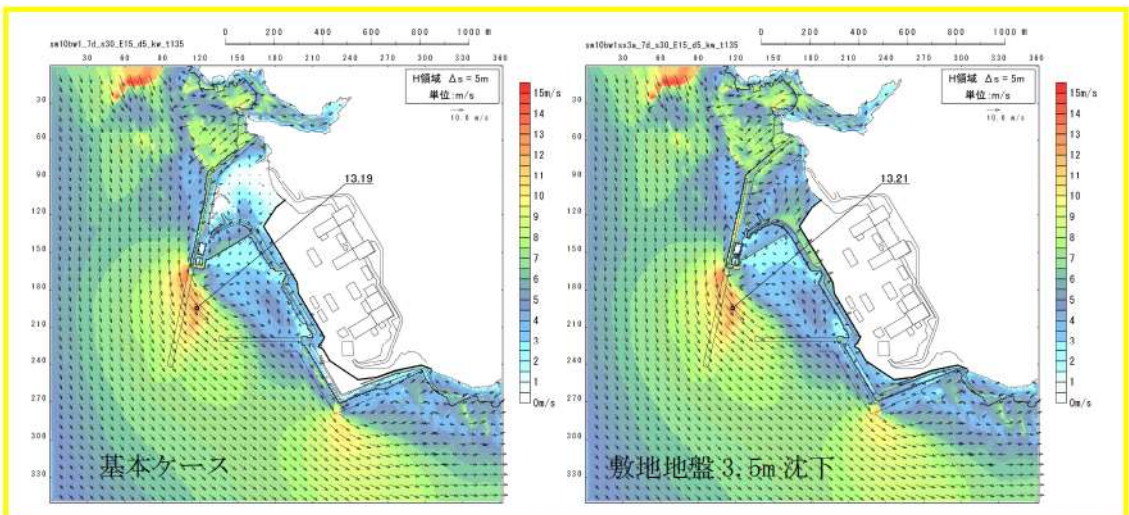


図 2. 1. c. b-22 (46) 敷地（陸域）の地盤変状（3.5m 沈下）の有無による最大流速分布の比較（基準津波（波源D，北及び南防波堤損傷））

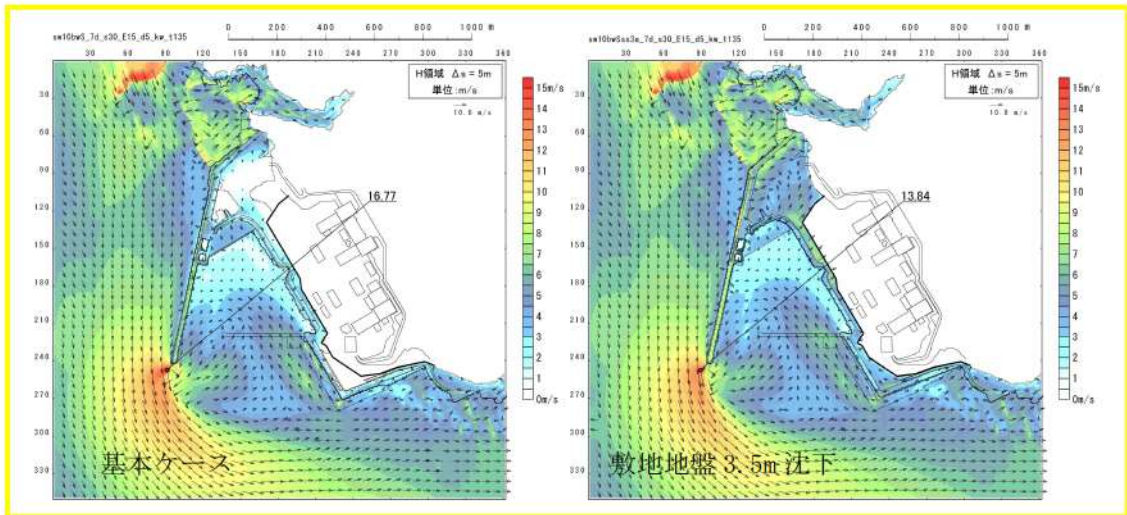


図 2. 1. c. b-22 (47) 敷地（陸域）の地盤変状（3.5m 沈下）の有無による最大流速分布の比較（基準津波（波源D，南防波堤損傷））

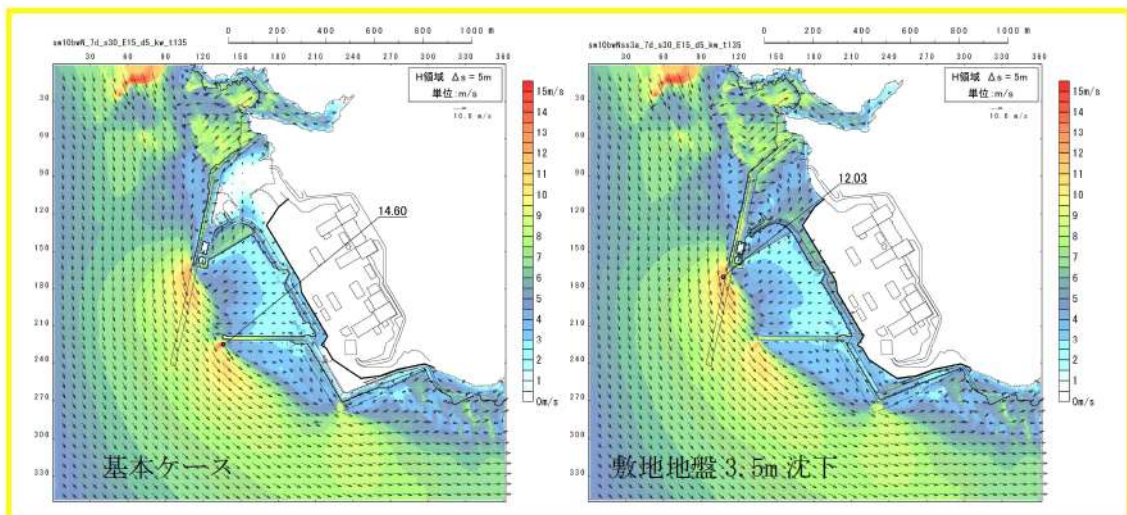


図 2. 1. c. b-22 (48) 敷地（陸域）の地盤変状（3.5m 沈下）の有無による最大流速分布の比較（基準津波（波源D，北防波堤損傷））



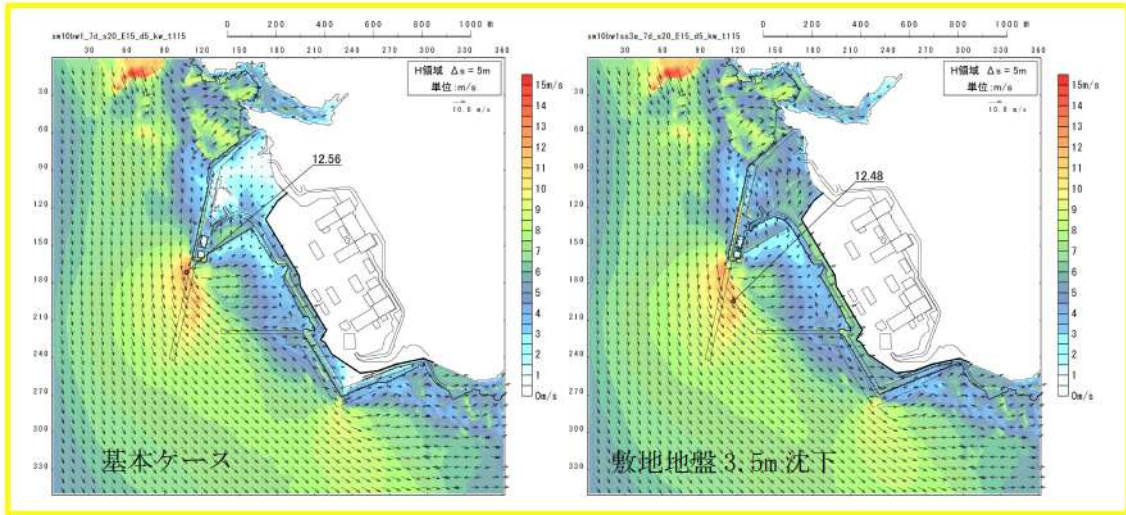


図 2. 1. c. b-22 (49) 敷地（陸域）の地盤変状（3.5m 沈下）の有無による最大流速分布の比較（基準津波（波源 E，北及び南防波堤損傷））

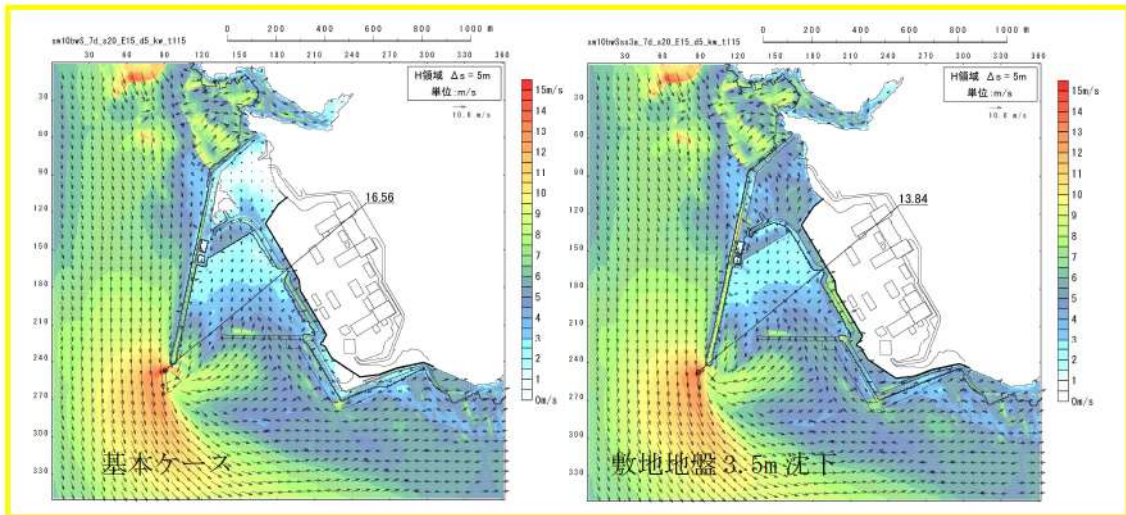


図 2. 1. c. b-22 (50) 敷地（陸域）の地盤変状（3.5m 沈下）の有無による最大流速分布の比較（基準津波（波源 E，南防波堤損傷））

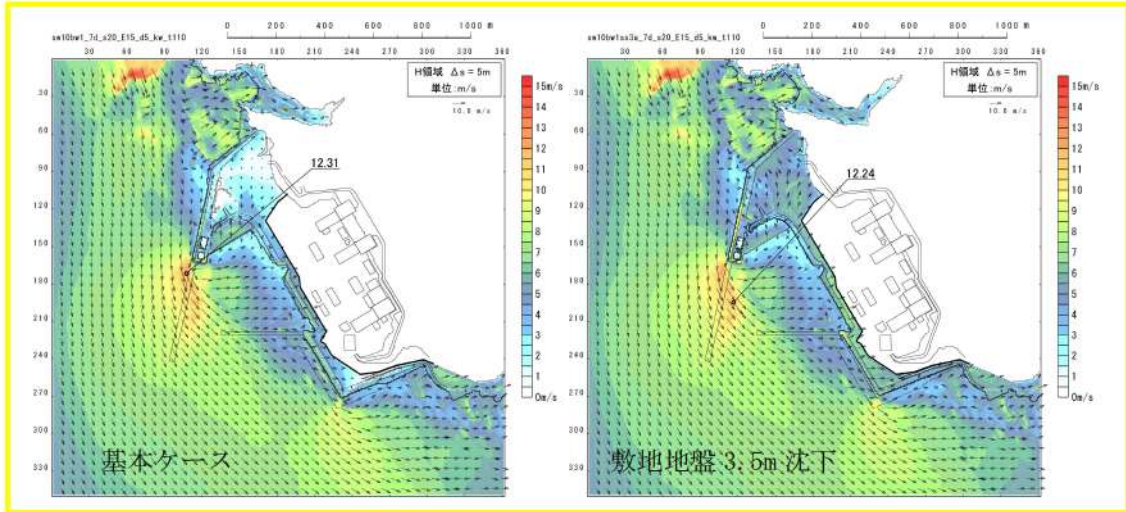


図 2. 1. c. b-22 (51) 敷地（陸域）の地盤変状（3.5m 沈下）の有無による最大流速分布の比較（基準津波（波源 F，北及び南防波堤損傷））

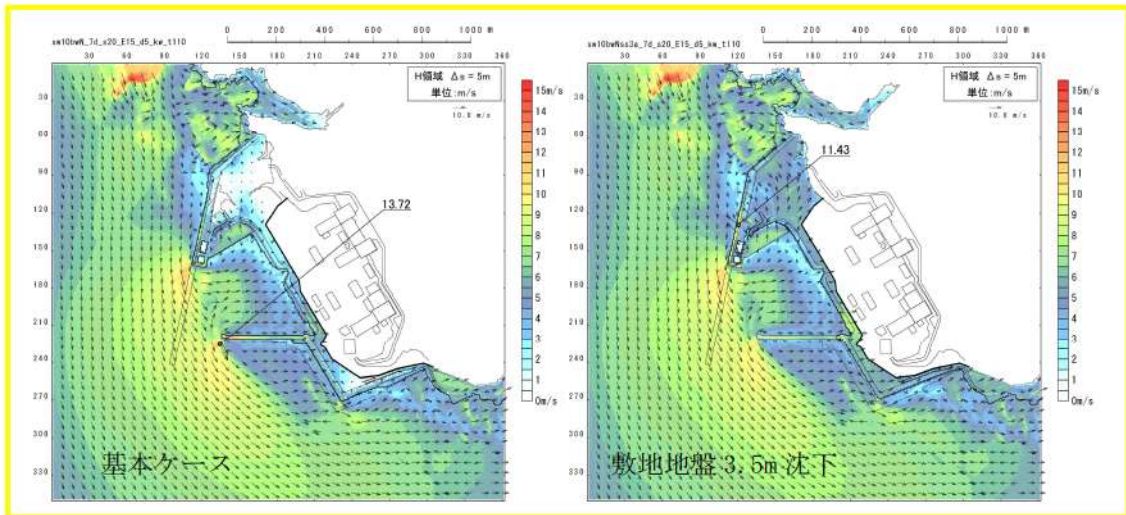


図 2. 1. c. b-22 (52) 敷地（陸域）の地盤変状（3.5m 沈下）の有無による最大流速分布の比較（基準津波（波源 F，北防波堤損傷））

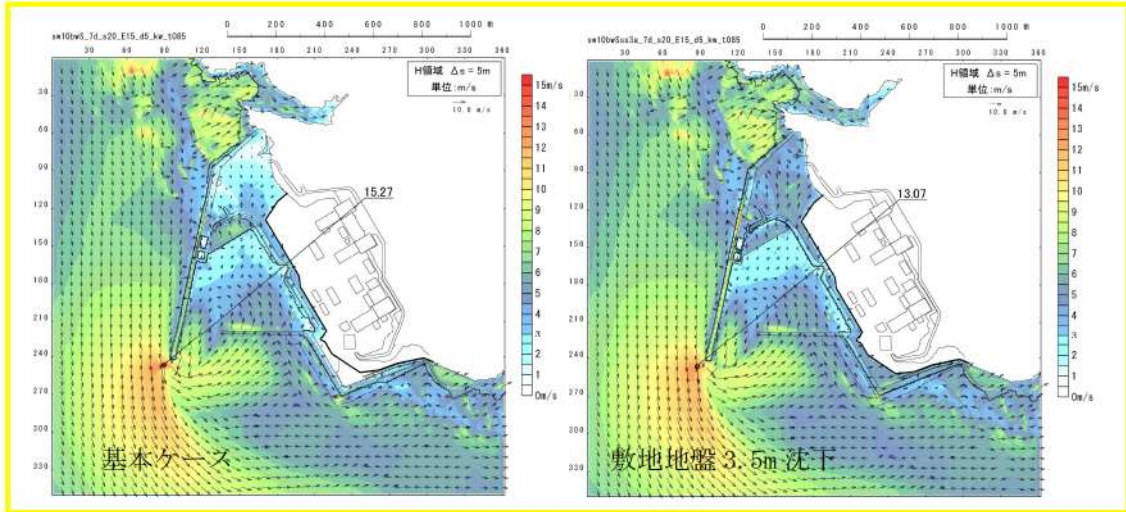


図 2. 1. c. b-22 (53) 敷地（陸域）の地盤変状（3.5m 沈下）の有無による最大流速分布の比較（基準津波（波源G，南防波堤損傷））

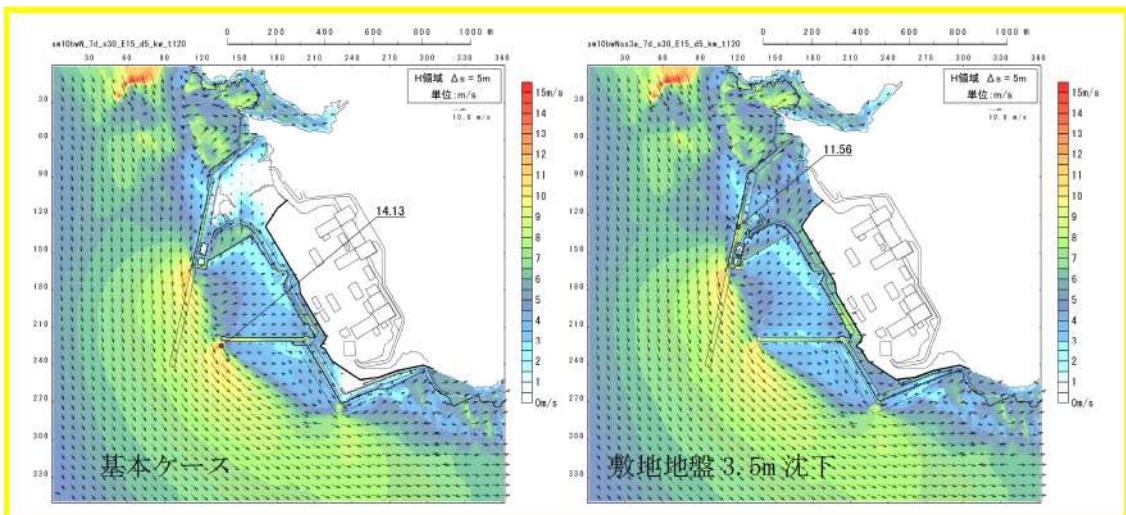


図 2. 1. c. b-22 (54) 敷地（陸域）の地盤変状（3.5m 沈下）の有無による最大流速分布の比較（基準津波（波源H，北防波堤損傷））

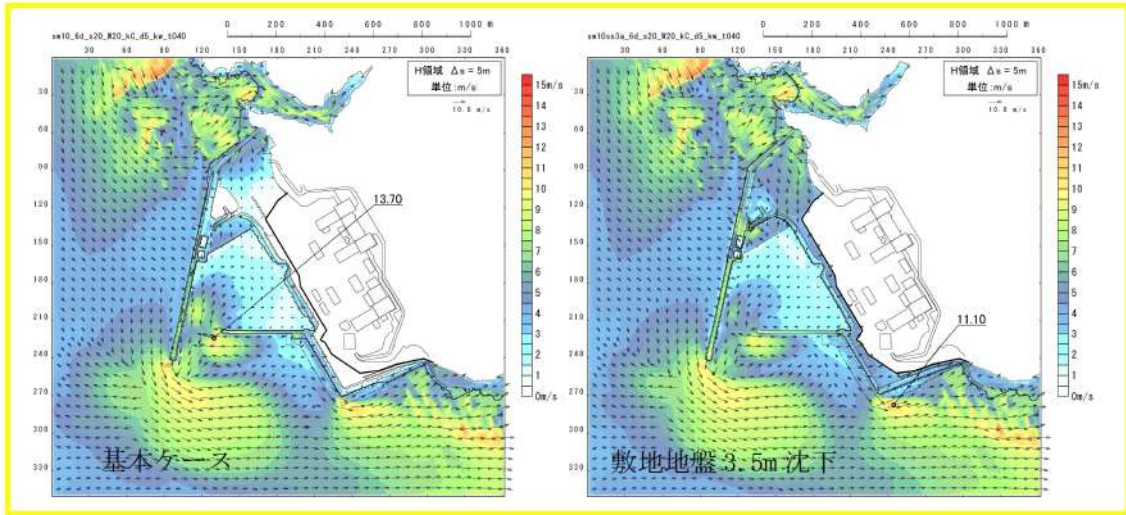


図 2. 1. c. b-22 (55) 敷地（陸域）の地盤変状（3.5m 沈下）の有無による最大流速分布の比較（基準津波（波源 I, 防波堤損傷なし））

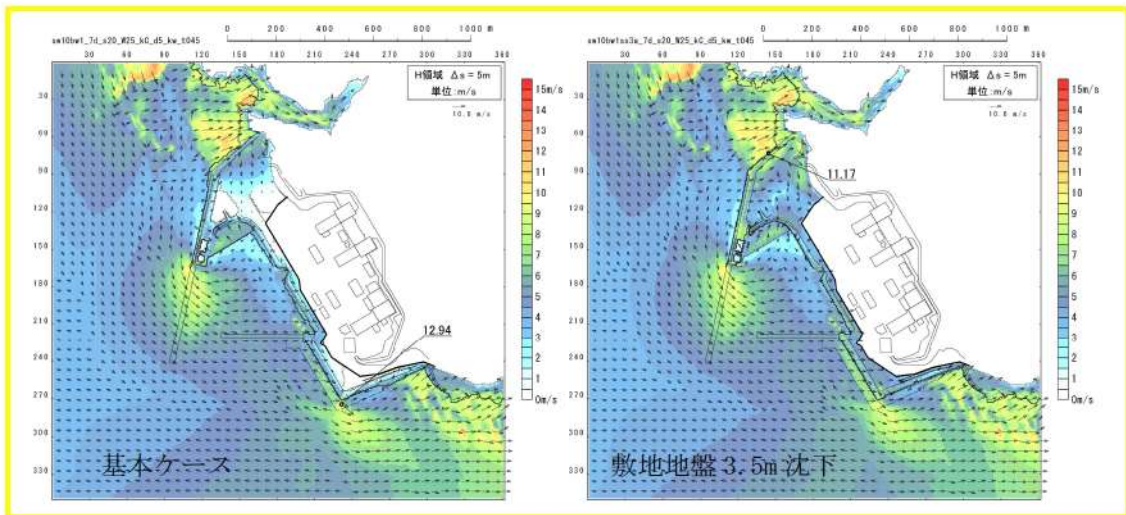


図 2. 1. c. b-22 (56) 敷地（陸域）の地盤変状（3.5m 沈下）の有無による最大流速分布の比較（基準津波（波源 J, 北及び南防波堤損傷））

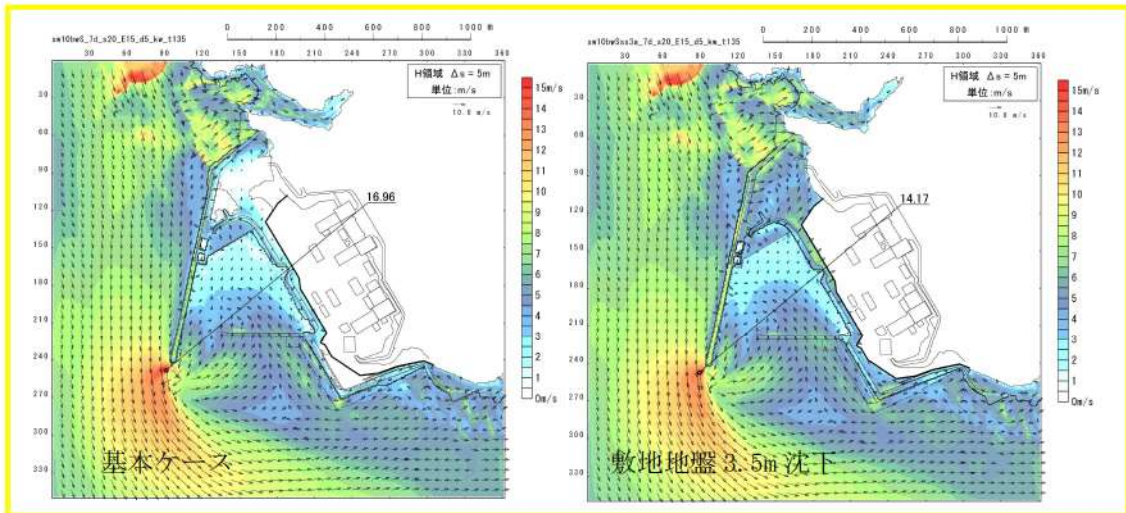


図 2.1.c.b-22 (57) 敷地（陸域）の地盤変状（3.5m 沈下）の有無による最大流速分布の比較（基準津波（波源K，南防波堤損傷））

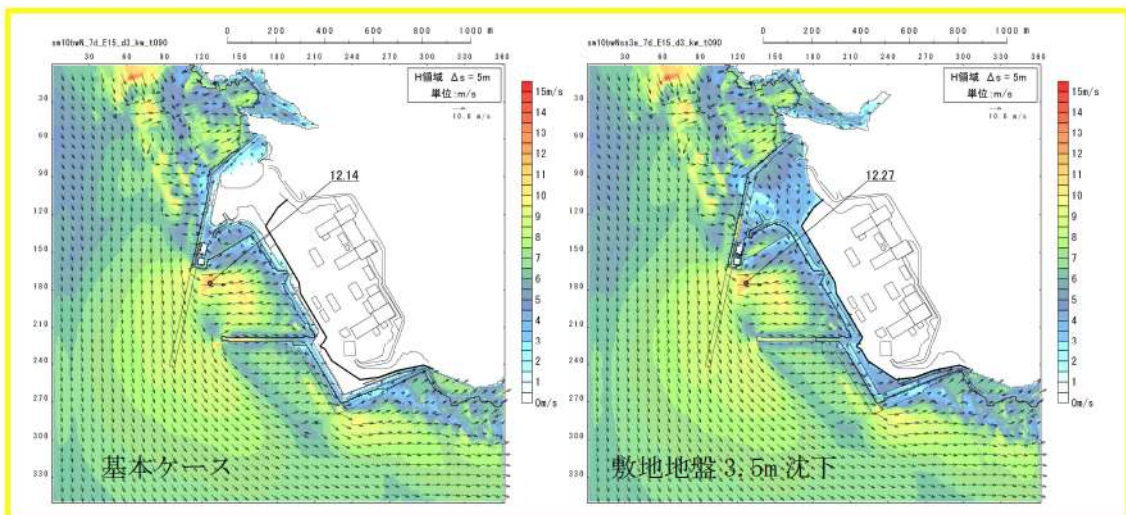


図 2.1.c.b-22 (58) 敷地（陸域）の地盤変状（3.5m 沈下）の有無による最大流速分布の比較（基準津波（波源L，北防波堤損傷））

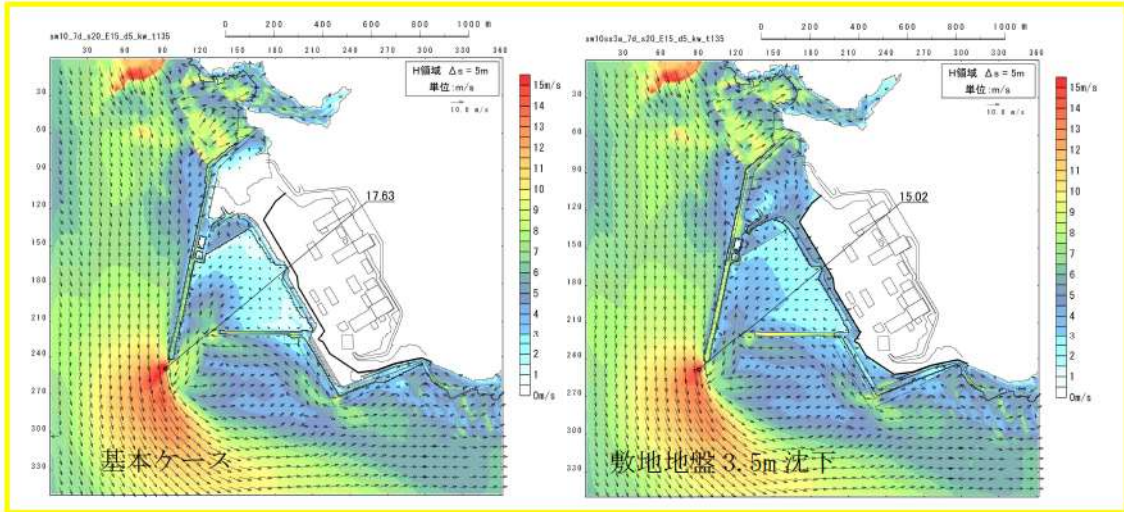


図 2.1.c.b-22 (59) 敷地（陸域）の地盤変状（3.5m 沈下）の有無による最大流速分布の比較（最大流速波源（波源K，防波堤損傷なし））

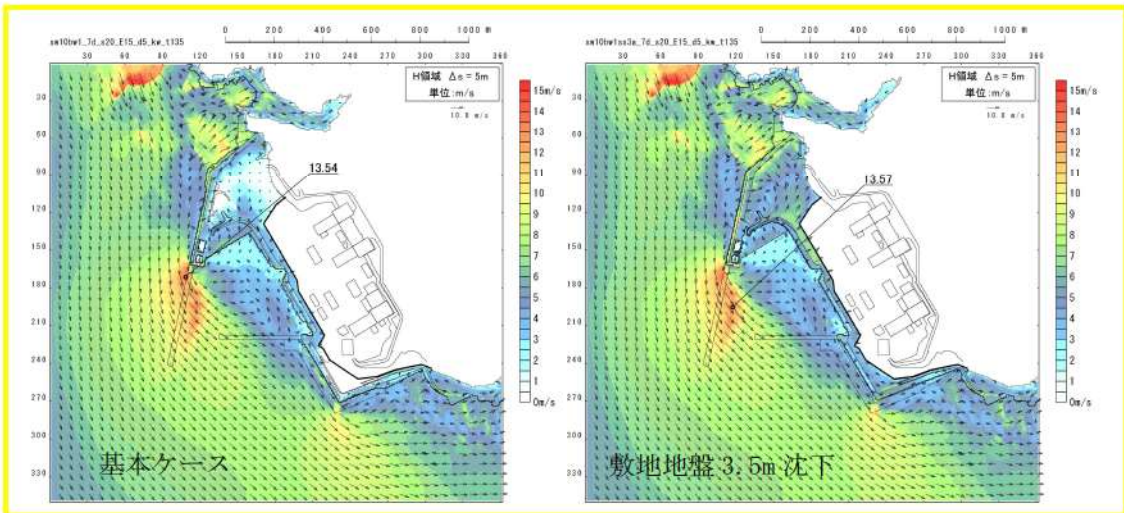


図 2.1.c.b-22 (60) 敷地（陸域）の地盤変状（3.5m 沈下）の有無による最大流速分布の比較（（最大流速波源（波源K，北及び南防波堤損傷））

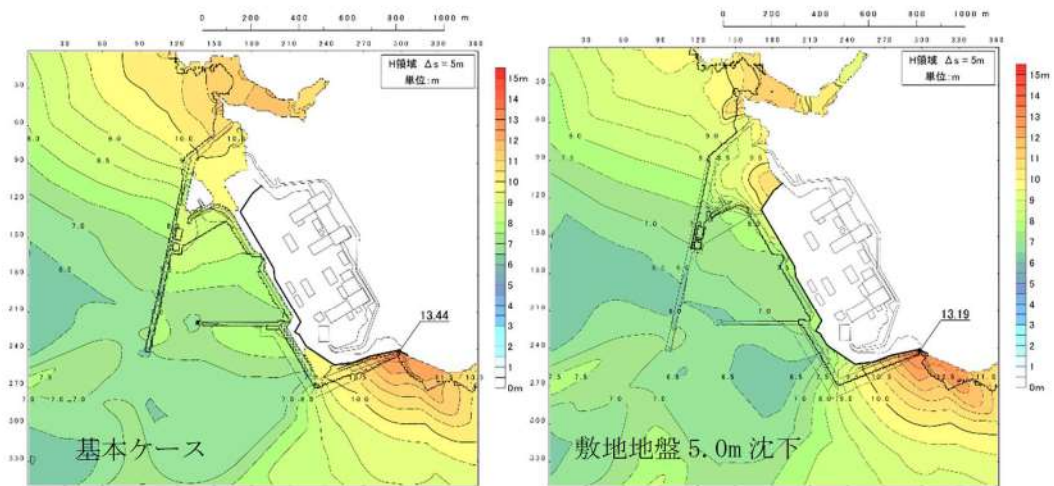


図 2. 1. c. b-23 (1) 敷地（陸域）の地盤変状（5.0m 沈下）の有無による最大水位上昇量分布の比較（基準津波（波源A，防波堤損傷なし））

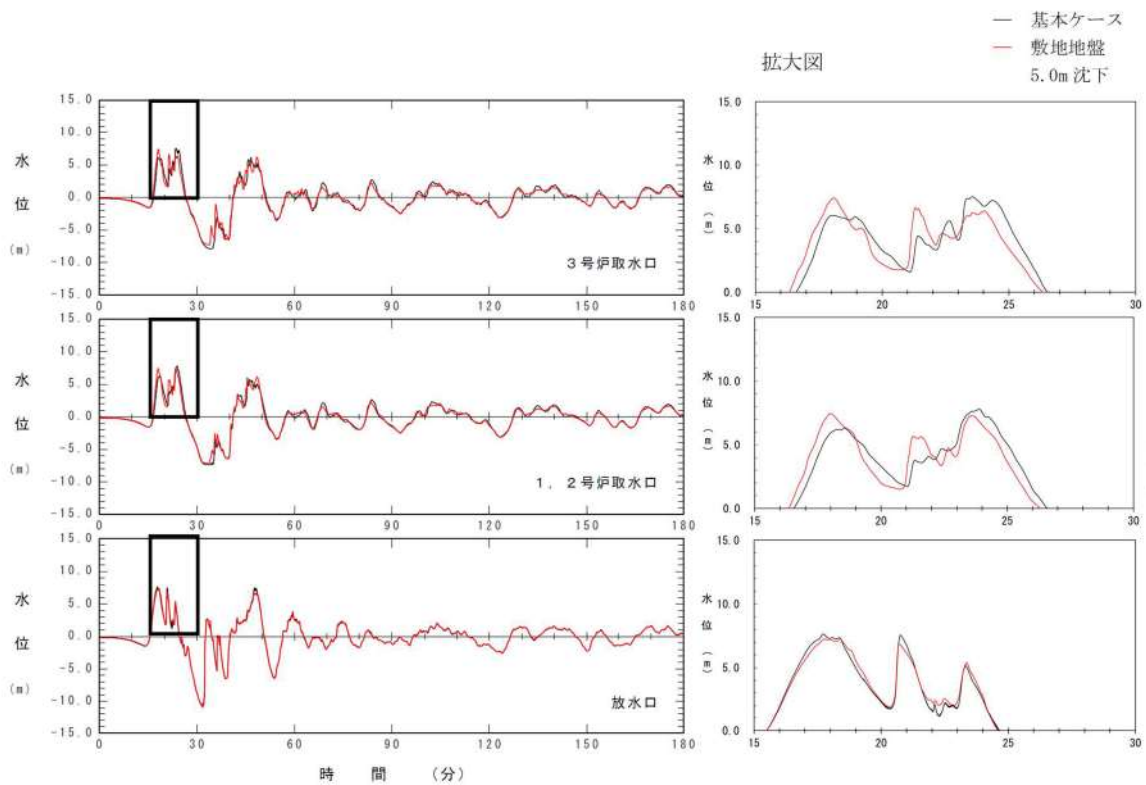


図 2. 1. c. b-23 (2) 敷地（陸域）の地盤変状（5.0m 沈下）の有無による水位時刻歴波形の比較（基準津波（波源A，防波堤損傷なし））

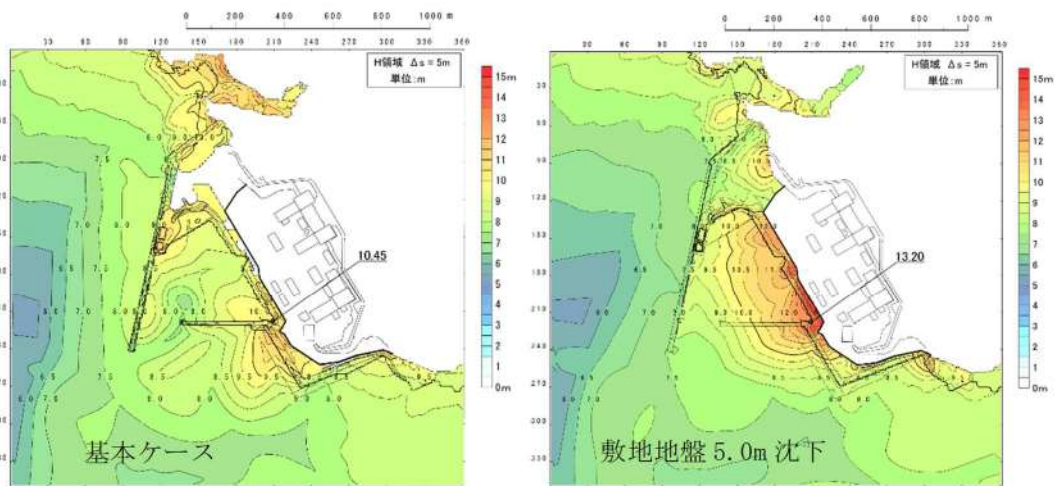


図 2. 1. c. b-23 (3) 敷地（陸域）の地盤変状（5.0m 沈下）の有無による最大水位上昇量分布の比較（基準津波（波源 B，防波堤損傷なし））

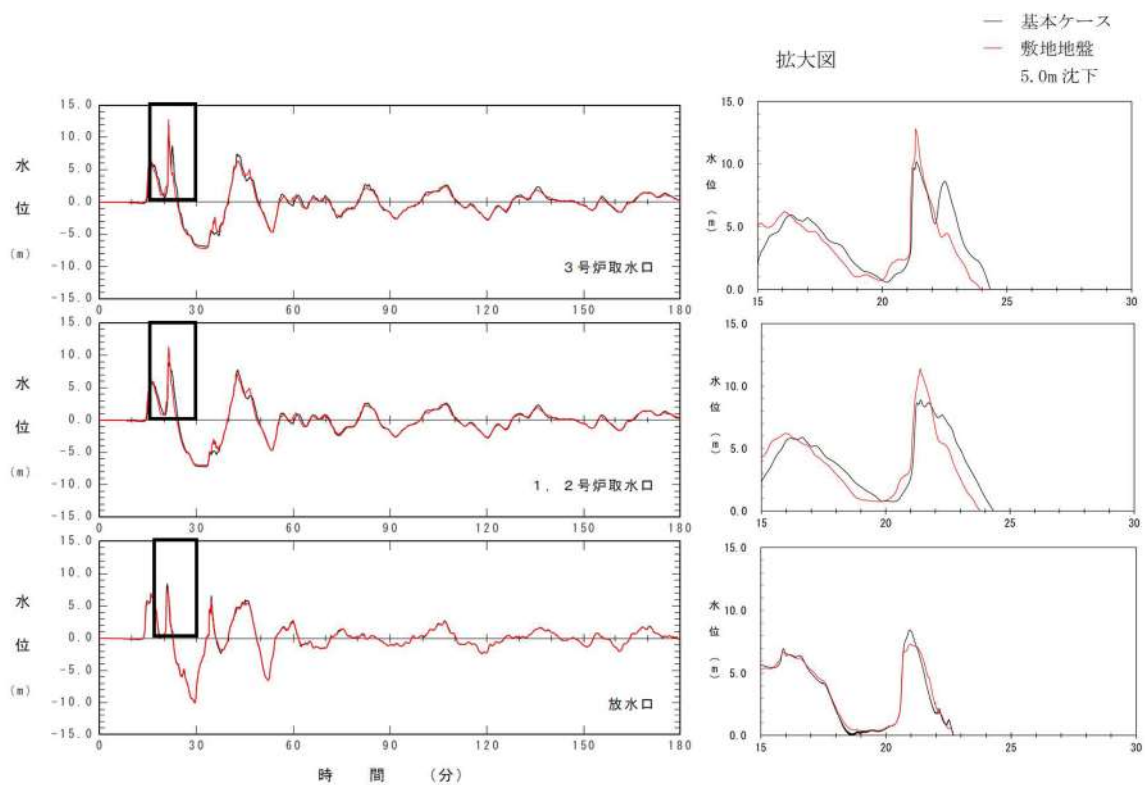


図 2. 1. c. b-23 (4) 敷地（陸域）の地盤変状（5.0m 沈下）の有無による水位時刻歴波形の比較（基準津波（波源 B，防波堤損傷なし））



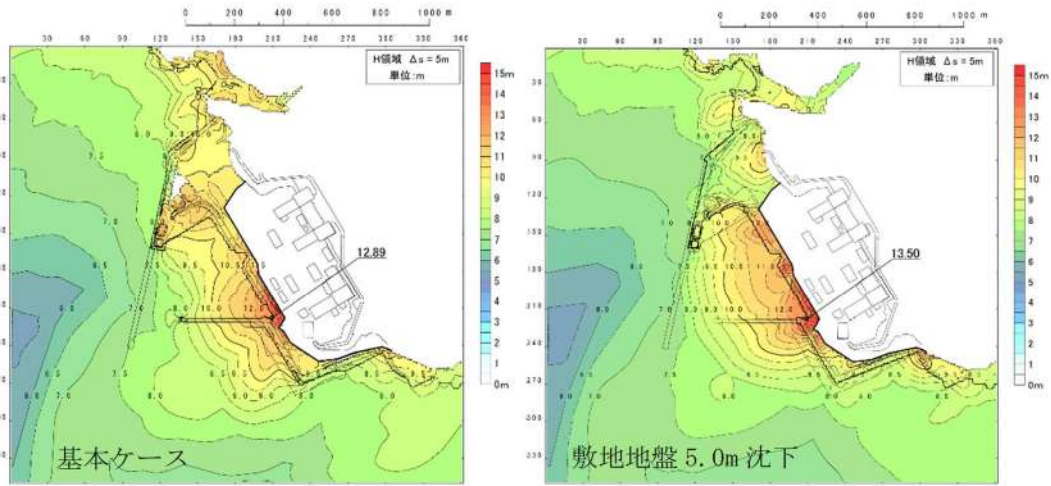


図 2. 1. c. b-23 (5) 敷地（陸域）の地盤変状（5.0m 沈下）の有無による最大水位上昇量分布の比較（基準津波（波源B，北防波堤損傷））

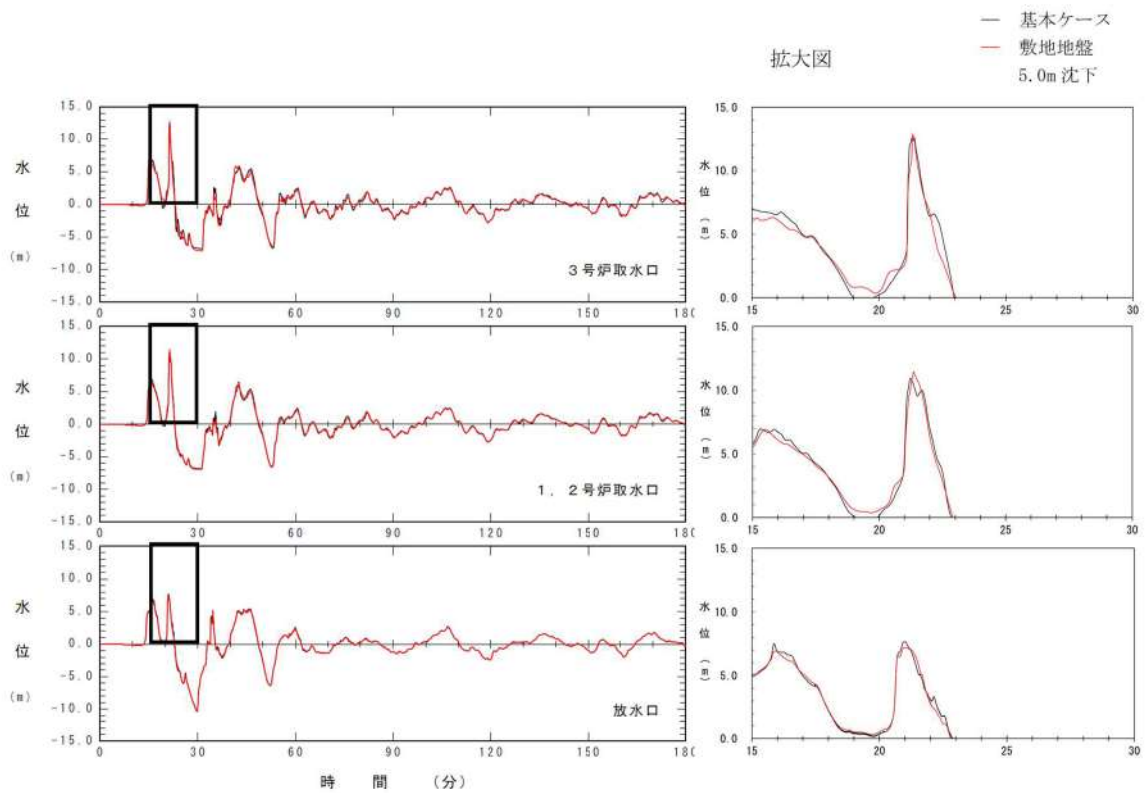


図 2. 1. c. b-23 (6) 敷地（陸域）の地盤変状（5.0m 沈下）の有無による水位時刻歴波形の比較（基準津波（波源B，北防波堤損傷））

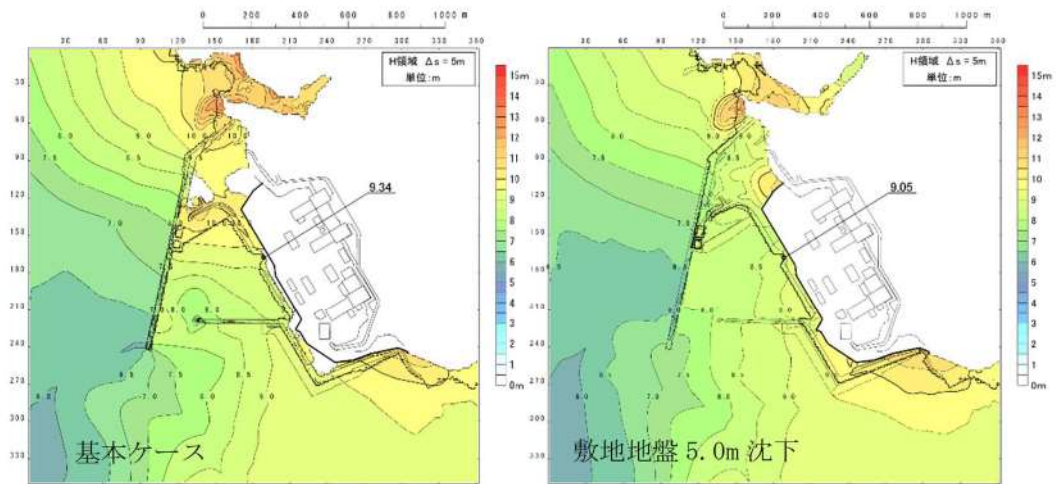


図 2. 1. c. b-23 (7) 敷地（陸域）の地盤変状（5.0m 沈下）の有無による最大水位上昇量分布の比較（基準津波（波源C，防波堤損傷なし））

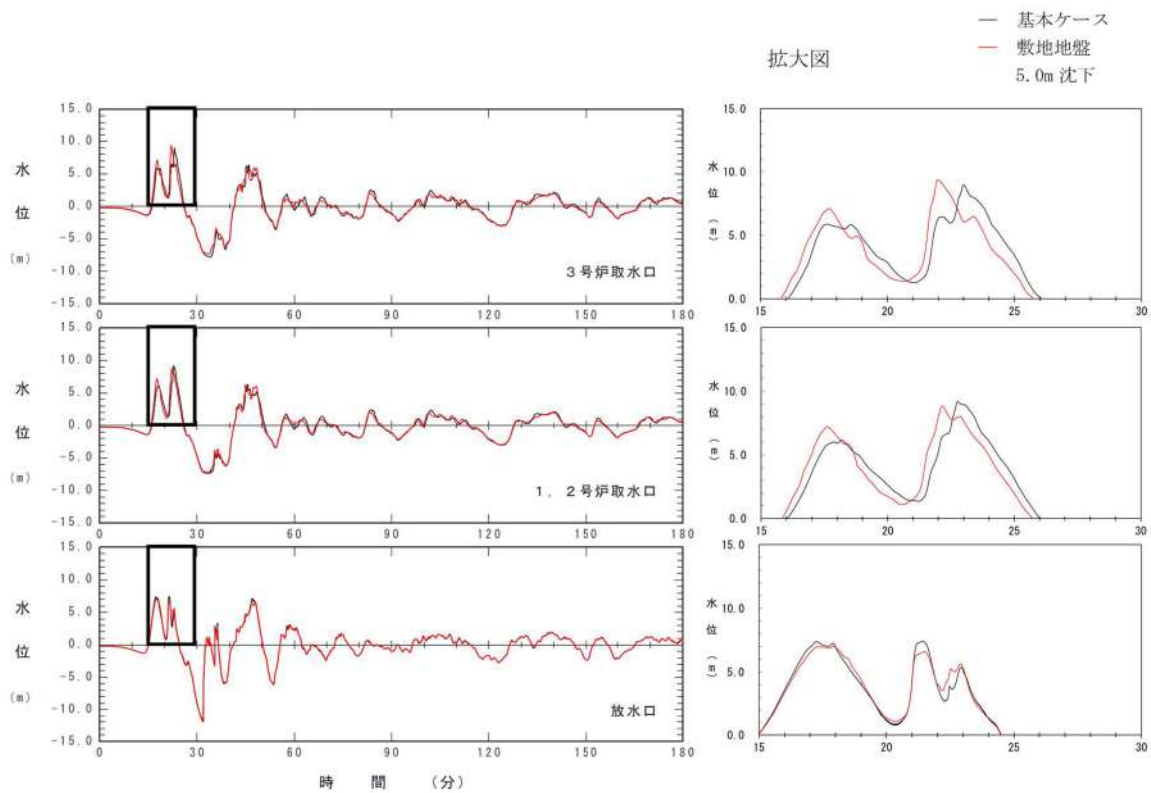


図 2. 1. c. b-23 (8) 敷地（陸域）の地盤変状（5.0m 沈下）の有無による水位時刻歴波形の比較（基準津波（波源C，防波堤損傷なし））

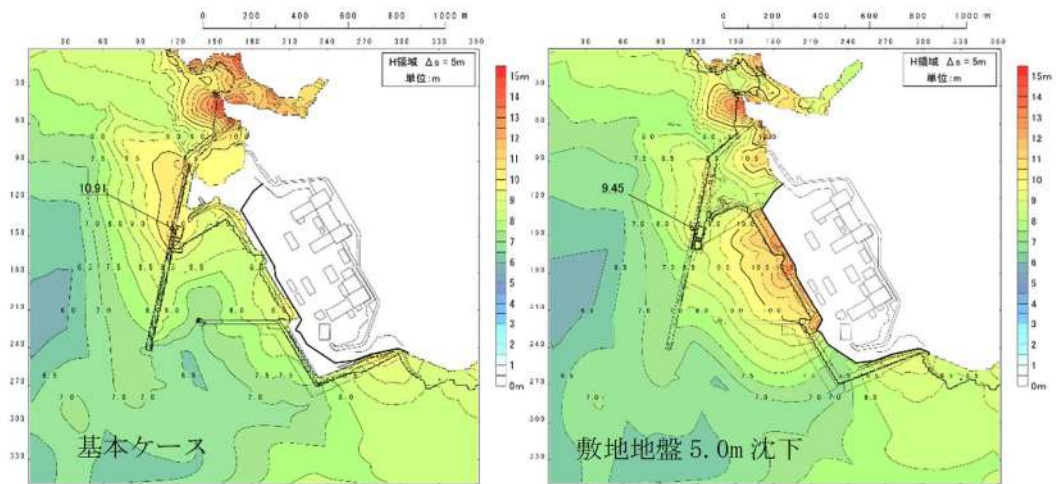


図 2.1.c.b-23 (9) 敷地（陸域）の地盤変状（5.0m 沈下）の有無による最大水位上昇量分布の比較（基準津波（波源D，防波堤損傷なし））

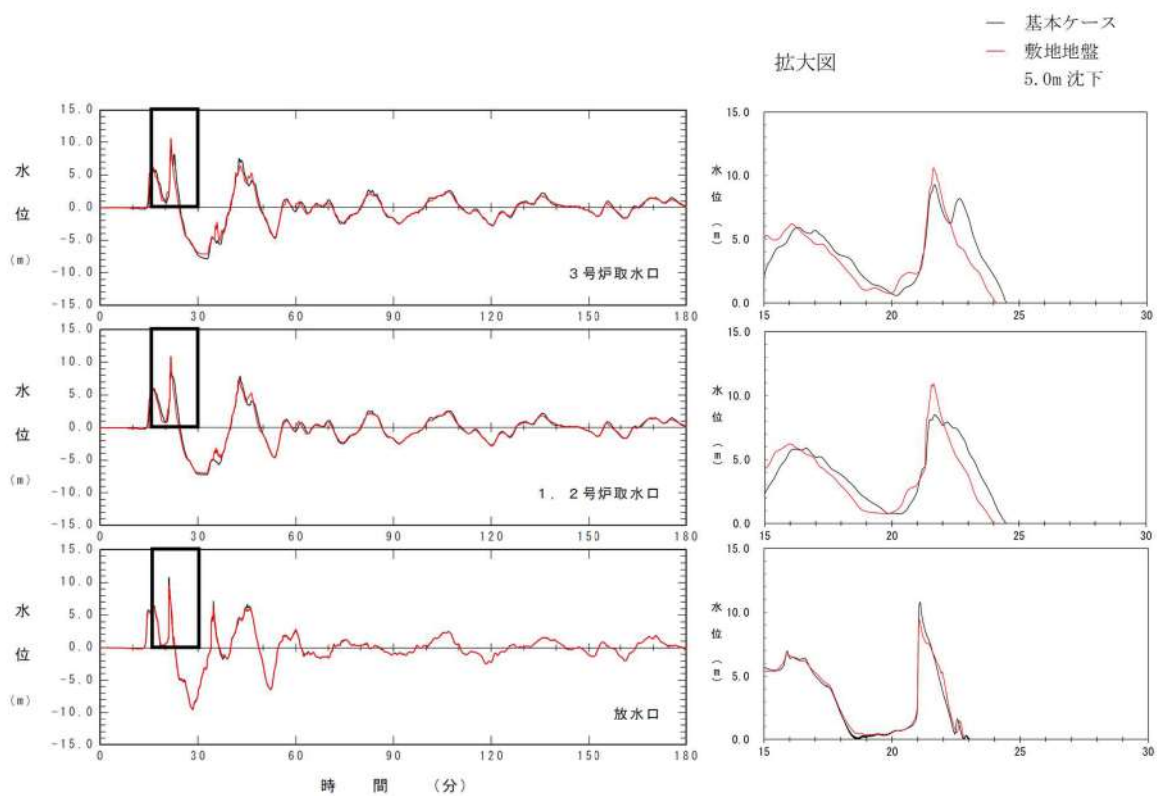


図 2.1.c.b-23 (10) 敷地（陸域）の地盤変状（5.0m 沈下）の有無による水位時刻歴波形の比較（基準津波（波源D，防波堤損傷なし））

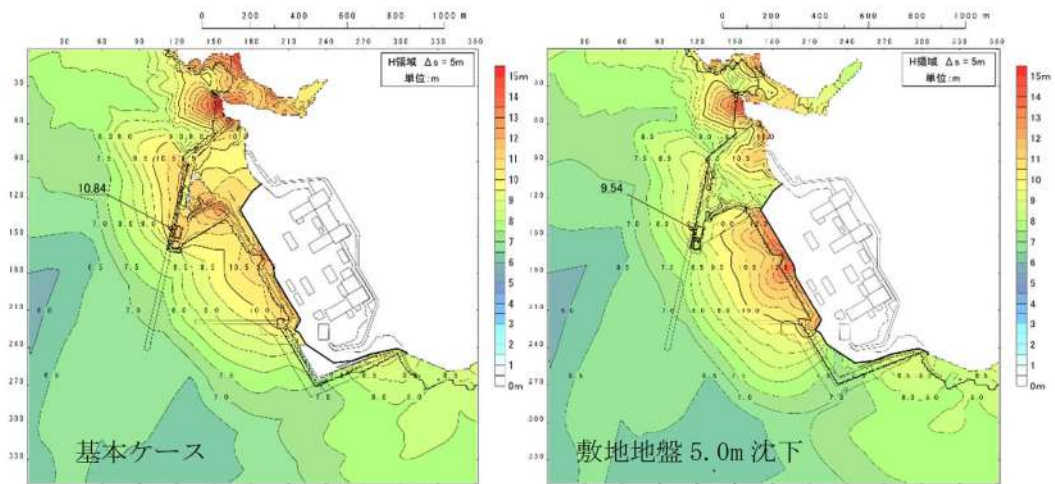


図 2.1.c.b-23 (11) 敷地（陸域）の地盤変状（5.0m 沈下）の有無による最大水位上昇量分布の比較（基準津波（波源D，北及び南防波堤損傷））

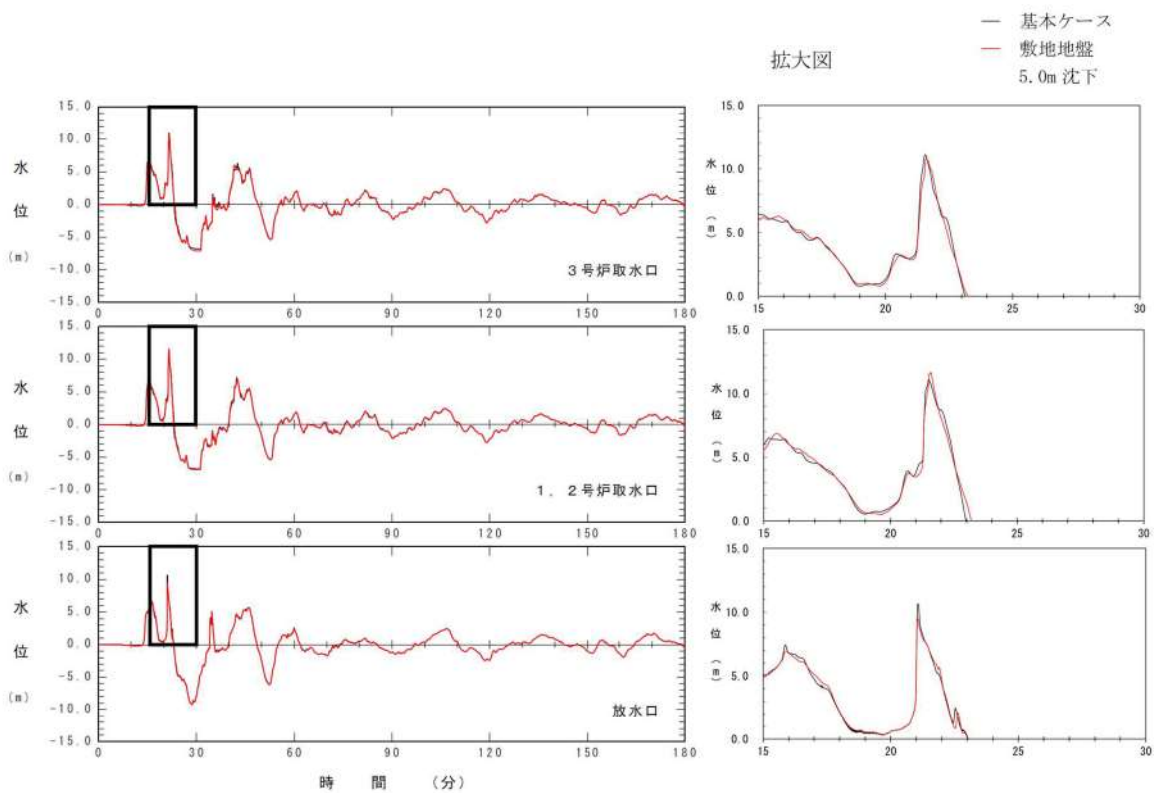


図 2.1.c.b-23 (12) 敷地（陸域）の地盤変状（5.0m 沈下）の有無による水位時刻歴波形の比較（基準津波（波源D，北及び南防波堤損傷））

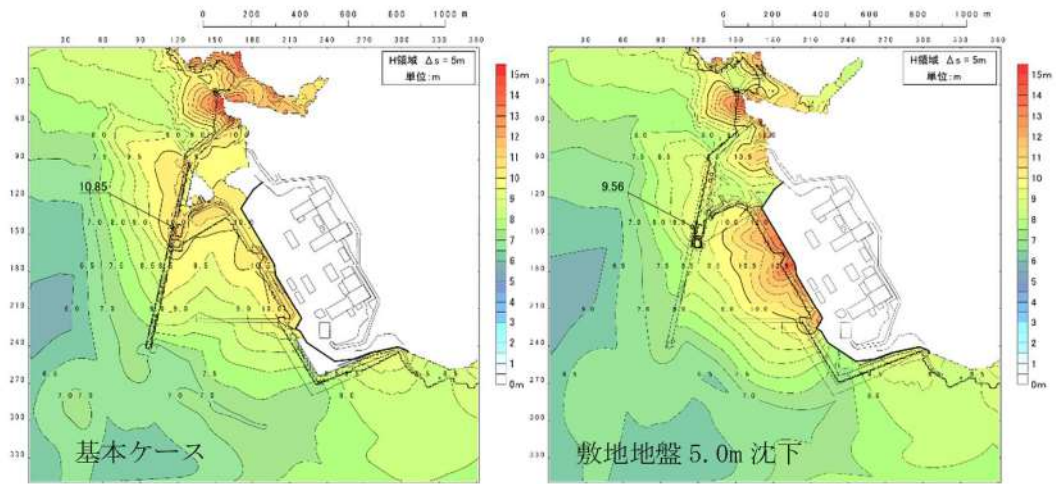


図 2.1.c.b-23 (13) 敷地（陸域）の地盤変状（5.0m 沈下）の有無による最大水位上昇量分布の比較（基準津波（波源D，南防波堤損傷））

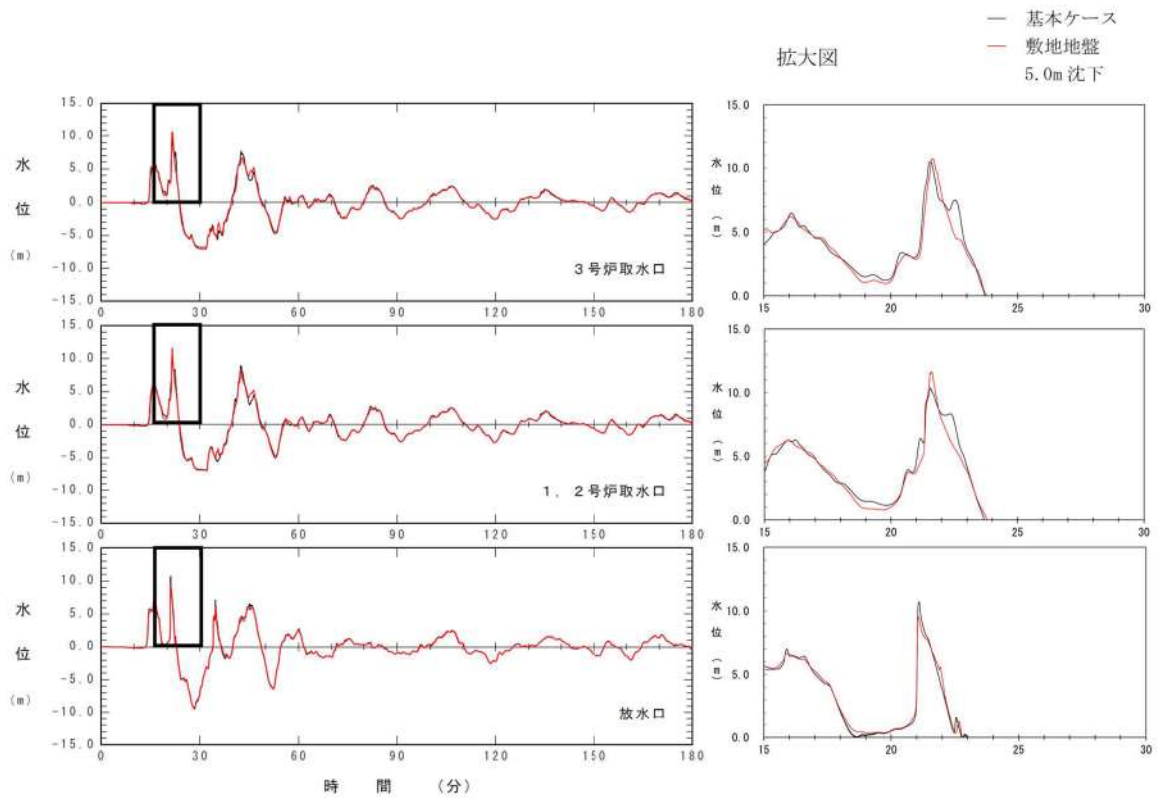


図 2.1.c.b-23 (14) 敷地（陸域）の地盤変状（5.0m 沈下）の有無による水位時刻歴波形の比較（基準津波（波源D，南防波堤損傷））

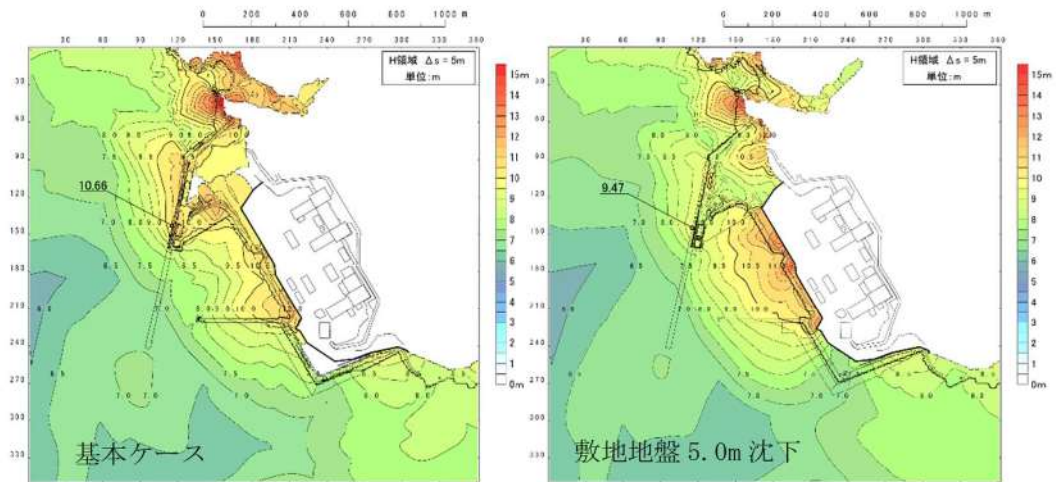


図 2. 1. c. b-23 (15) 敷地（陸域）の地盤変状（5.0m 沈下）の有無による最大水位上昇量分布の比較（基準津波（波源D，北防波堤損傷））

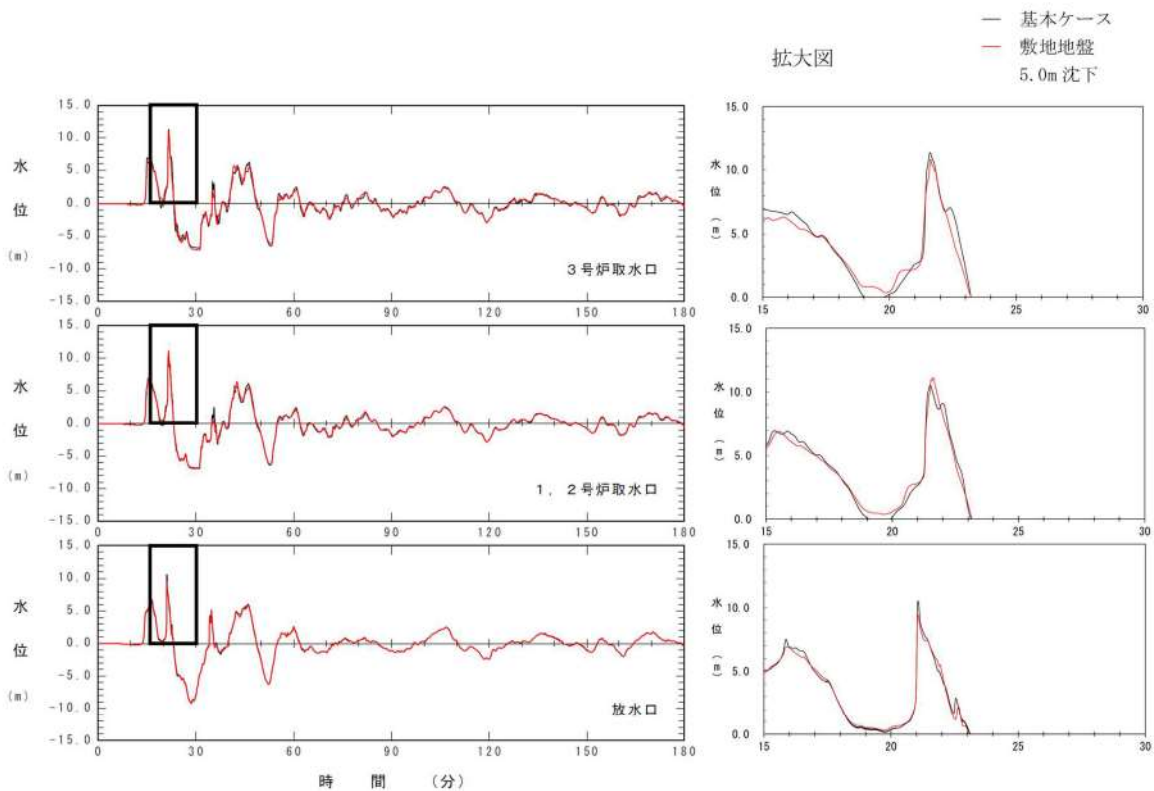


図 2. 1. c. b-23 (16) 敷地（陸域）の地盤変状（5.0m 沈下）の有無による水位時刻歴波形の比較（基準津波（波源D，北防波堤損傷））

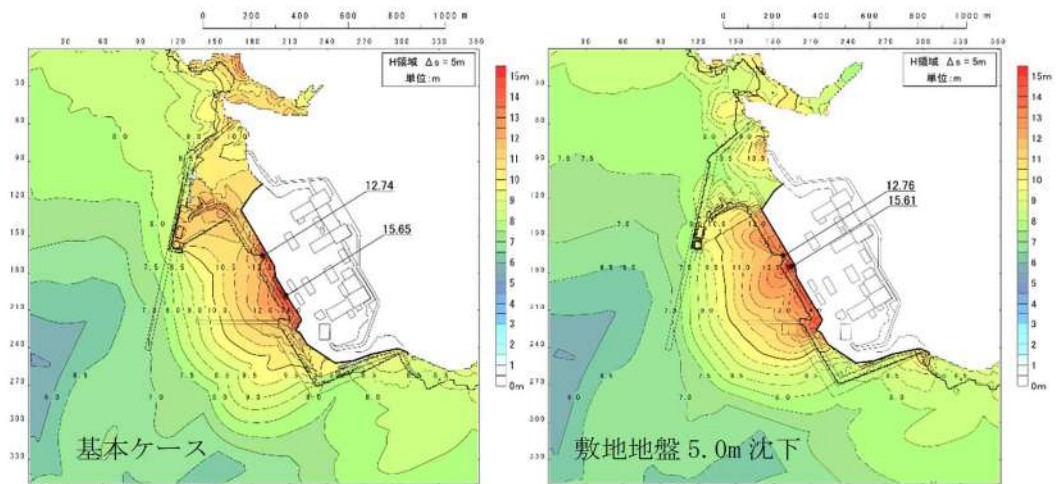


図 2.1.c.b-23 (17) 敷地（陸域）の地盤変状（5.0m 沈下）の有無による最大水位上昇量分布の比較（基準津波（波源E，北及び南防波堤損傷））

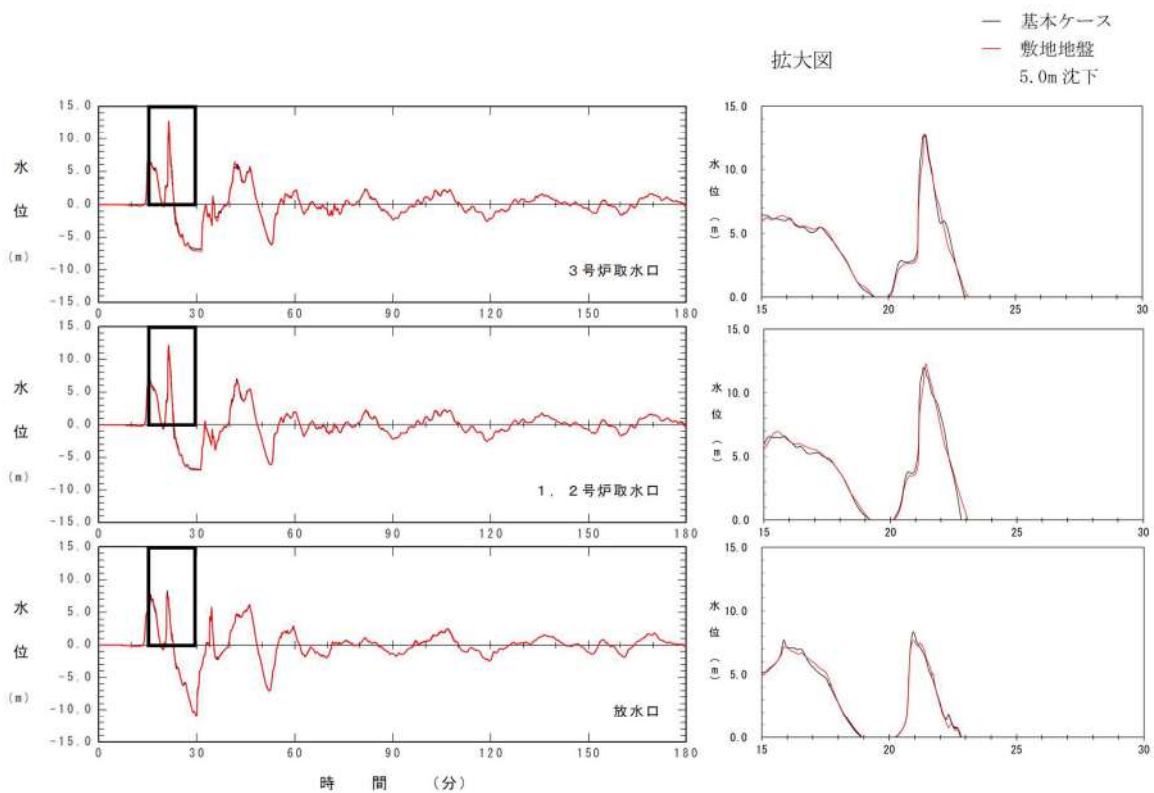


図 2.1.c.b-23 (18) 敷地（陸域）の地盤変状（5.0m 沈下）の有無による水位時刻歴波形の比較（基準津波（波源E，北及び南防波堤損傷））

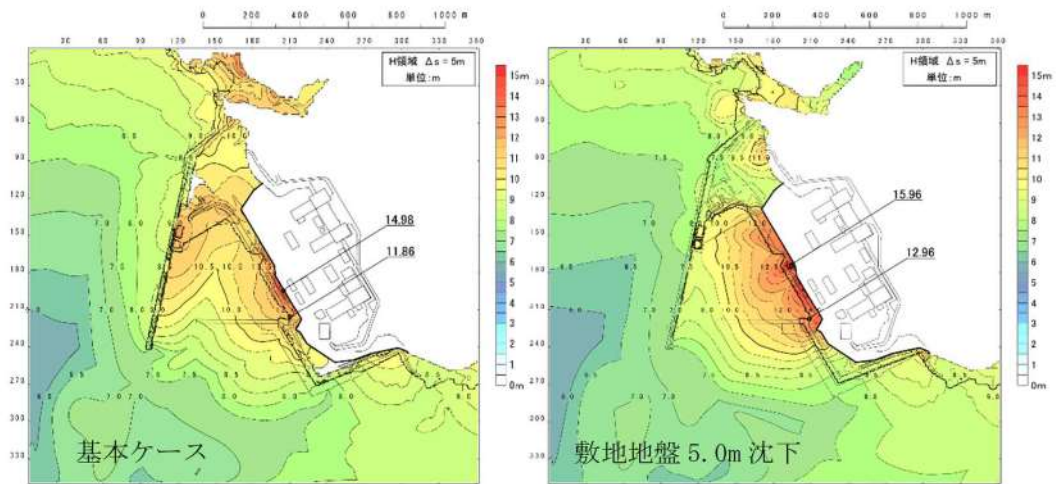


図 2.1.c.b-23 (19) 敷地（陸域）の地盤変状（5.0m 沈下）の有無による最大水位上昇量分布の比較（基準津波（波源E，南防波堤損傷））

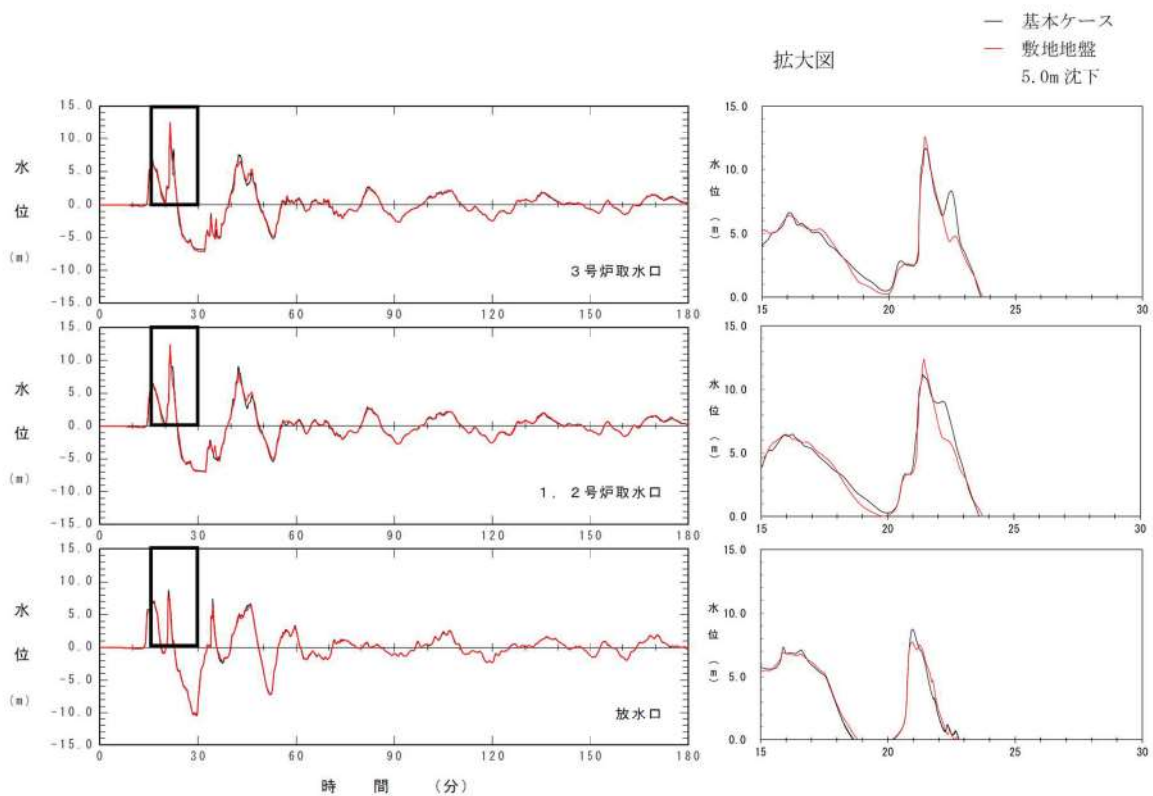


図 2.1.c.b-23 (20) 敷地（陸域）の地盤変状（5.0m 沈下）の有無による水位時刻歴波形の比較（基準津波（波源E，南防波堤損傷））



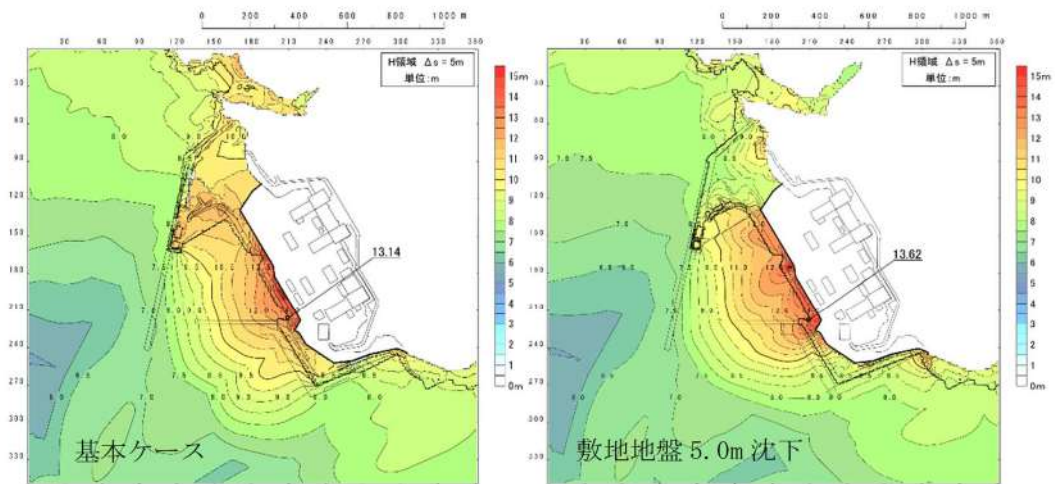


図 2.1.c.b-23 (21) 敷地（陸域）の地盤変状（5.0m 沈下）の有無による最大水位上昇量分布の比較（基準津波（波源 F，北及び南防波堤損傷））

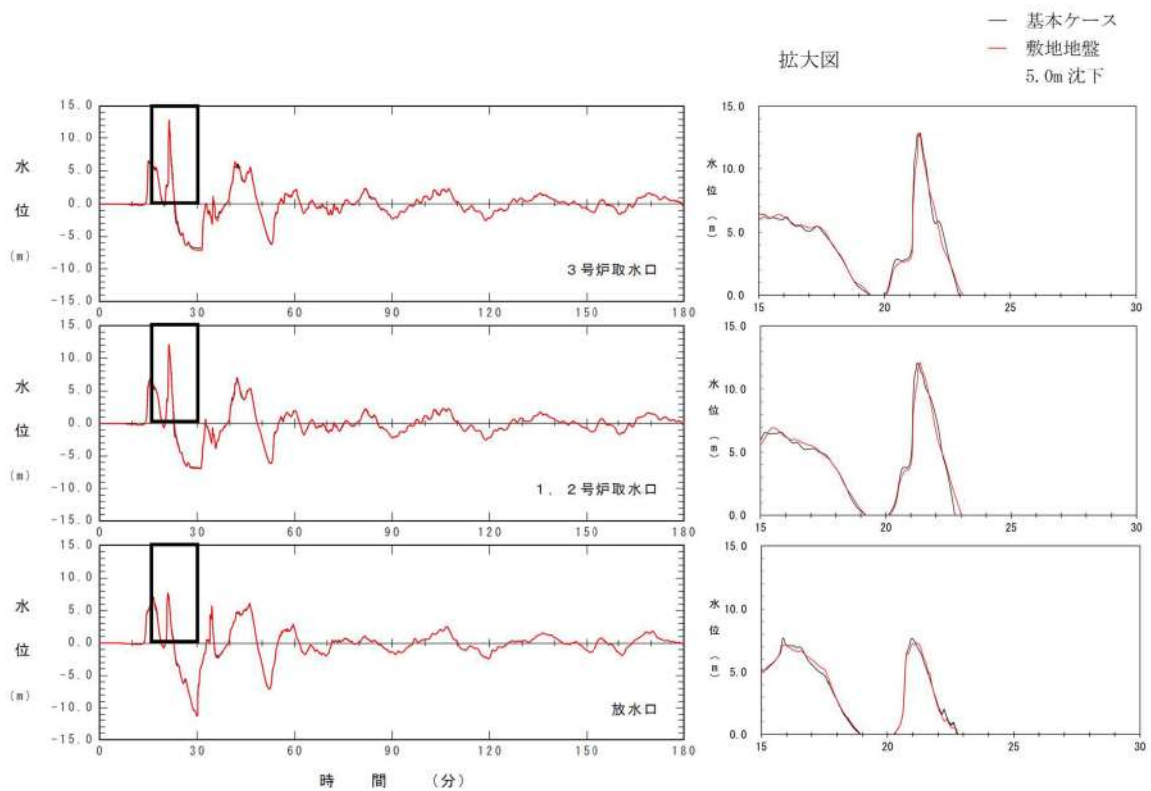


図 2.1.c.b-23 (22) 敷地（陸域）の地盤変状（5.0m 沈下）の有無による水位時刻歴波形の比較（基準津波（波源 F，北及び南防波堤損傷））

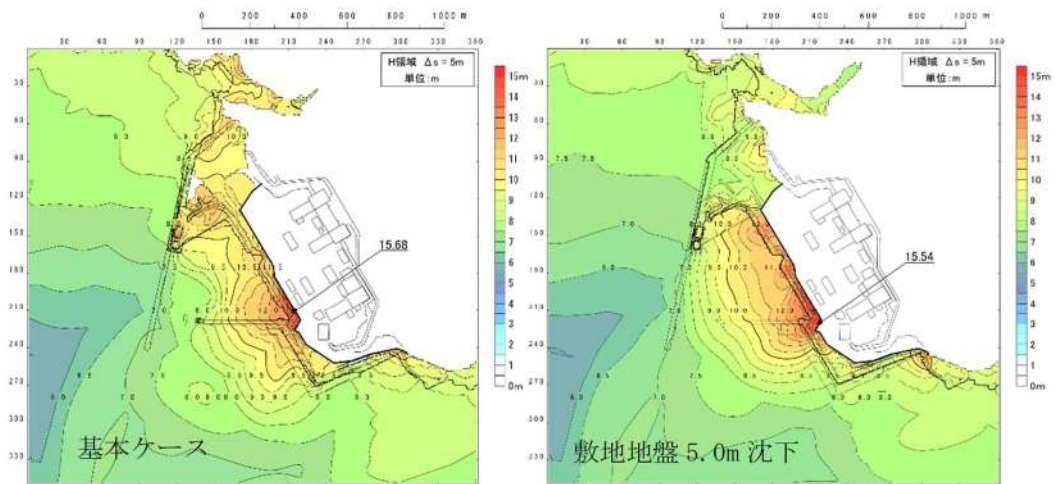


図 2.1.c.b-23 (23) 敷地（陸域）の地盤変状（5.0m 沈下）の有無による最大水位上昇量分布の比較（基準津波（波源 F，北防波堤損傷））

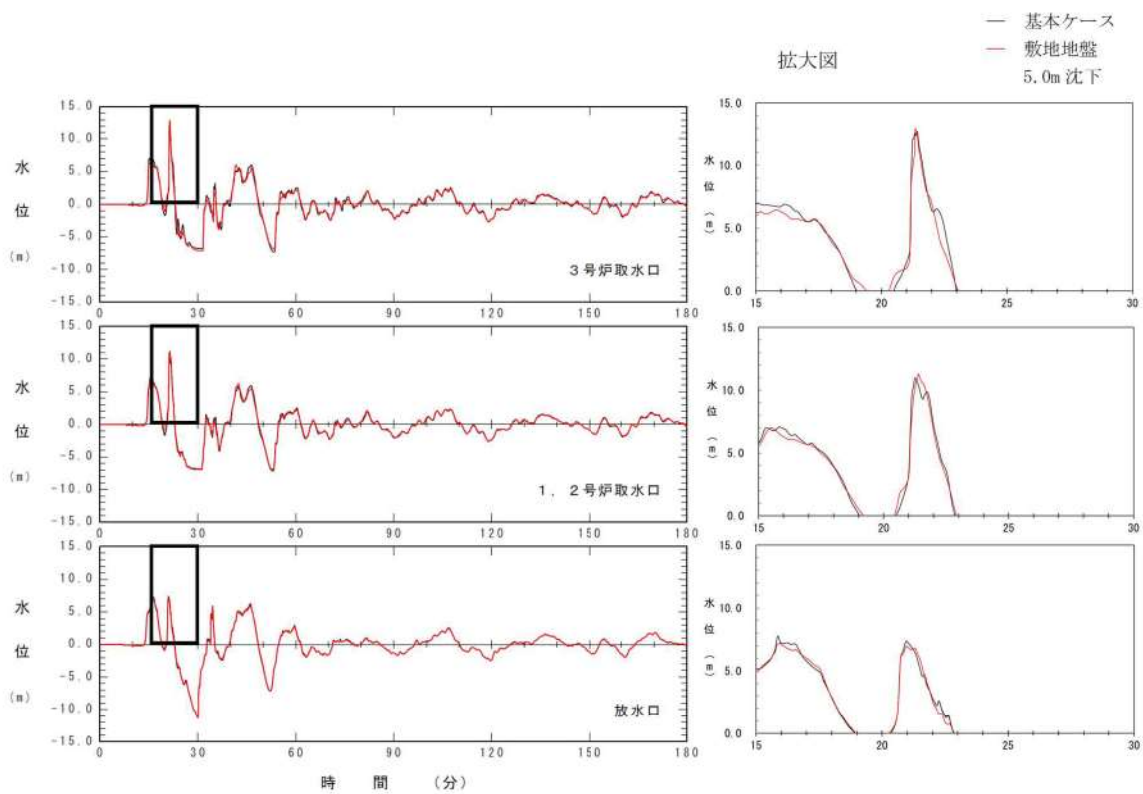


図 2.1.c.b-23 (24) 敷地（陸域）の地盤変状（5.0m 沈下）の有無による水位時刻歴波形の比較（基準津波（波源 F，北防波堤損傷））

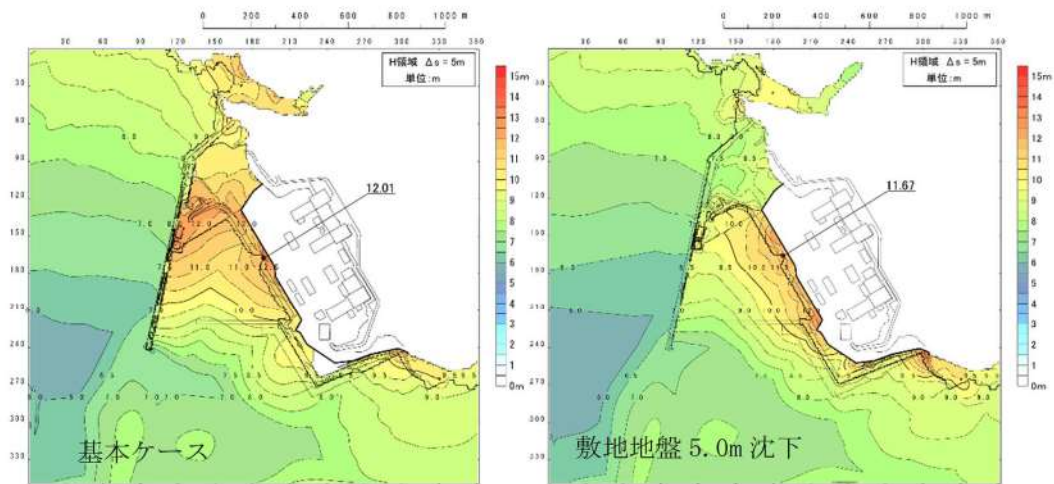


図 2. 1. c. b-23 (25) 敷地（陸域）の地盤変状（5.0m 沈下）の有無による最大水位上昇量分布の比較（基準津波（波源G，南防波堤損傷））

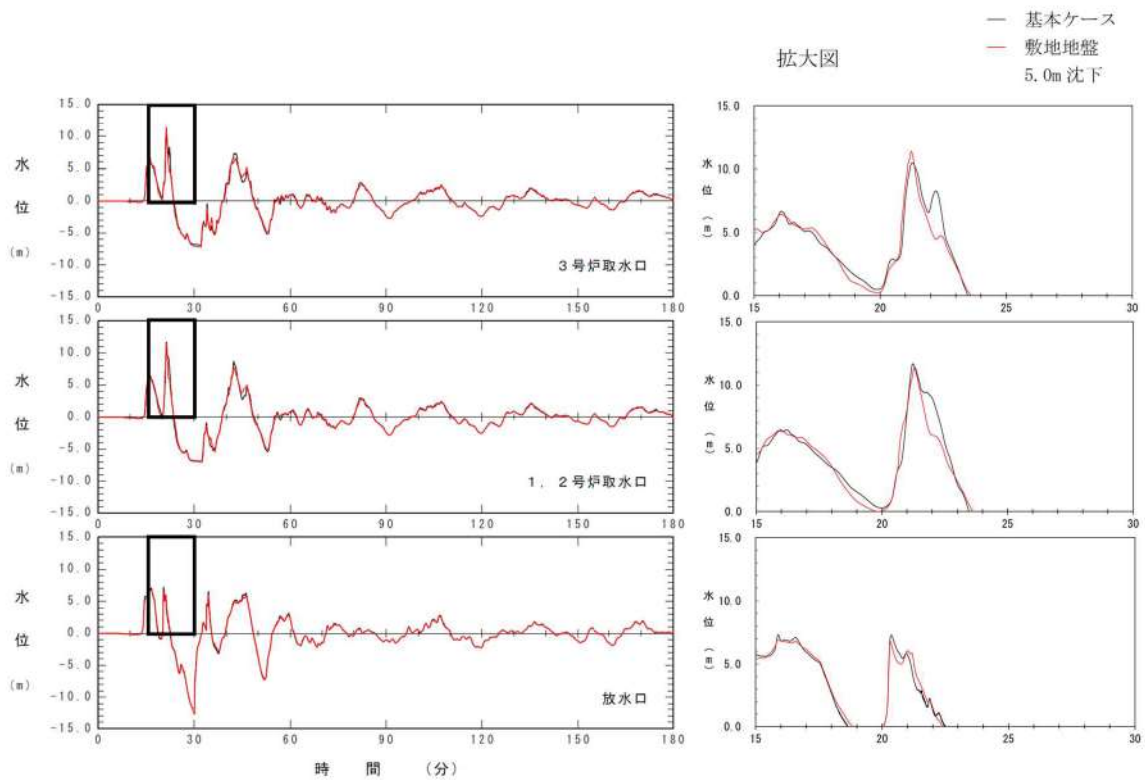


図 2. 1. c. b-23 (26) 敷地（陸域）の地盤変状（5.0m 沈下）の有無による水位時刻歴波形の比較（基準津波（波源G，南防波堤損傷））

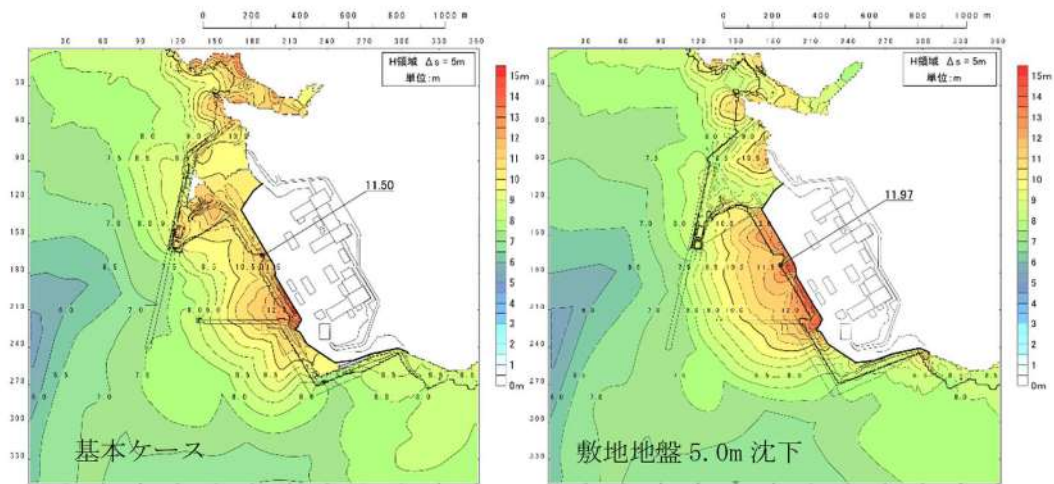


図 2.1.c.b-23 (27) 敷地（陸域）の地盤変状（5.0m 沈下）の有無による最大水位上昇量分布の比較（基準津波（波源H，北防波堤損傷））

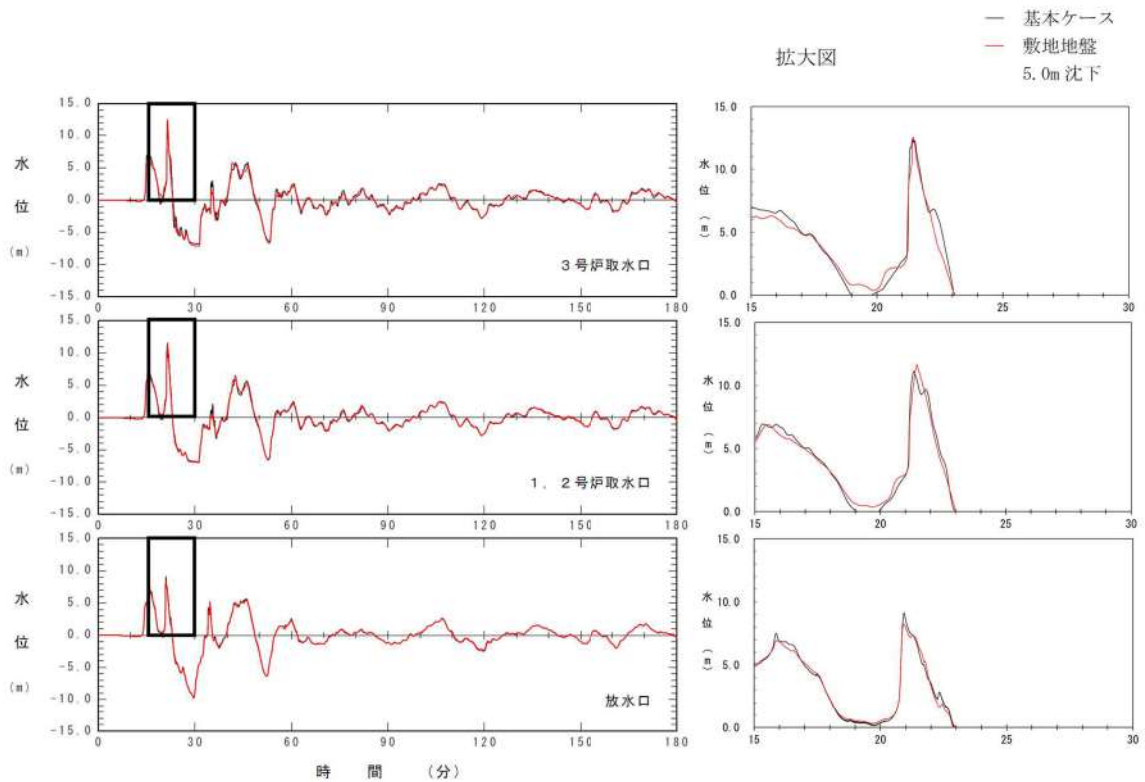


図 2.1.c.b-23 (28) 敷地（陸域）の地盤変状（5.0m 沈下）の有無による水位時刻歴波形の比較（基準津波（波源H，北防波堤損傷））

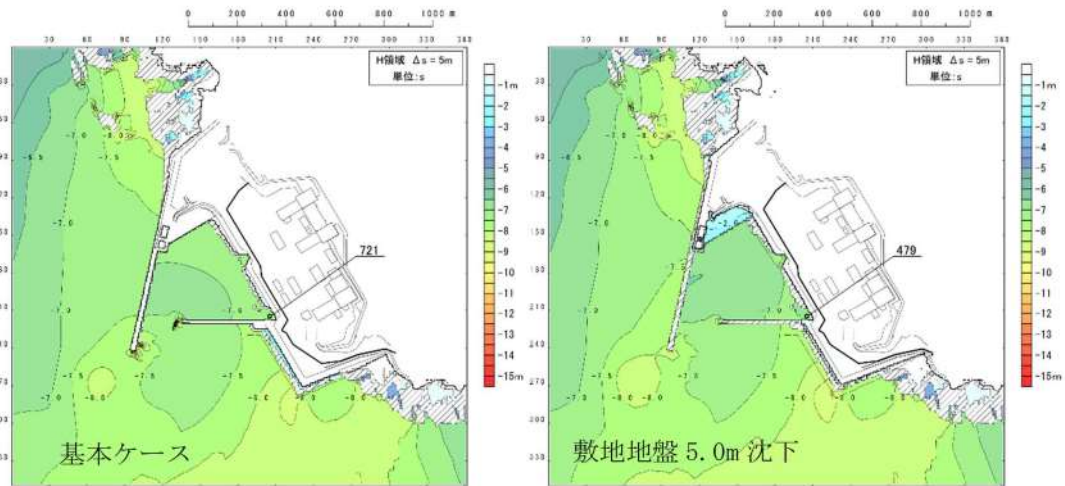


図 2. 1. c. b-23 (29) 敷地（陸域）の地盤変状（5.0m 沈下）の有無による最大水位下降量分布の比較（基準津波（波源 I, 防波堤損傷なし））

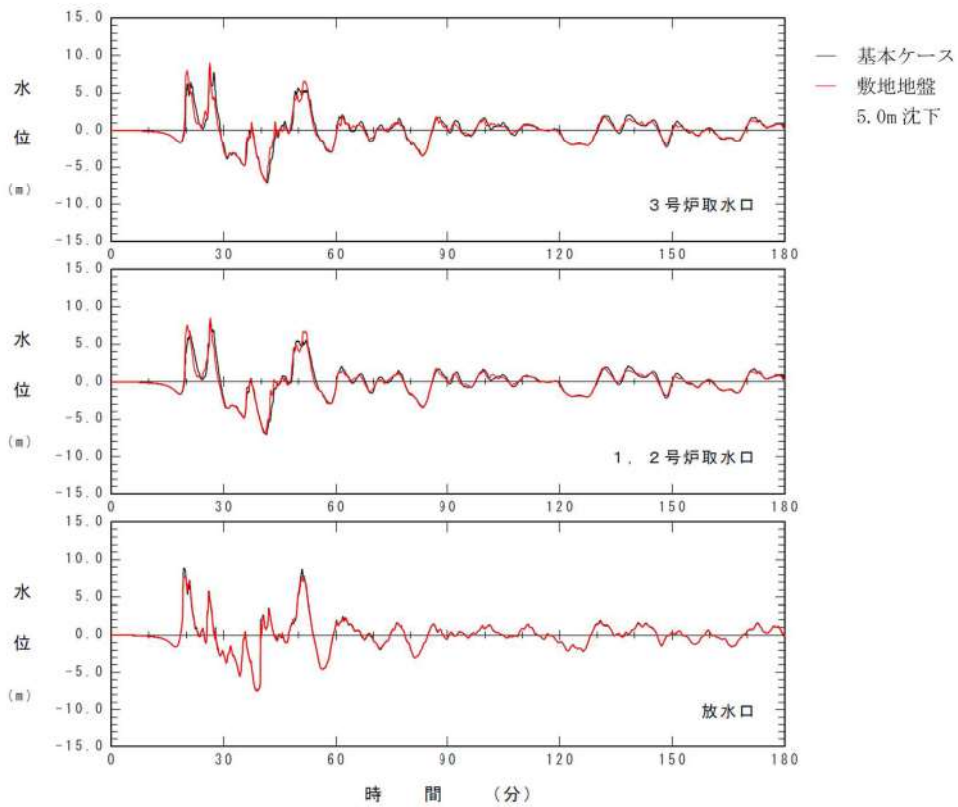


図 2. 1. c. b-23 (30) 敷地（陸域）の地盤変状（5.0m 沈下）の有無による水位時刻歴波形の比較（基準津波（波源 I, 防波堤損傷なし））

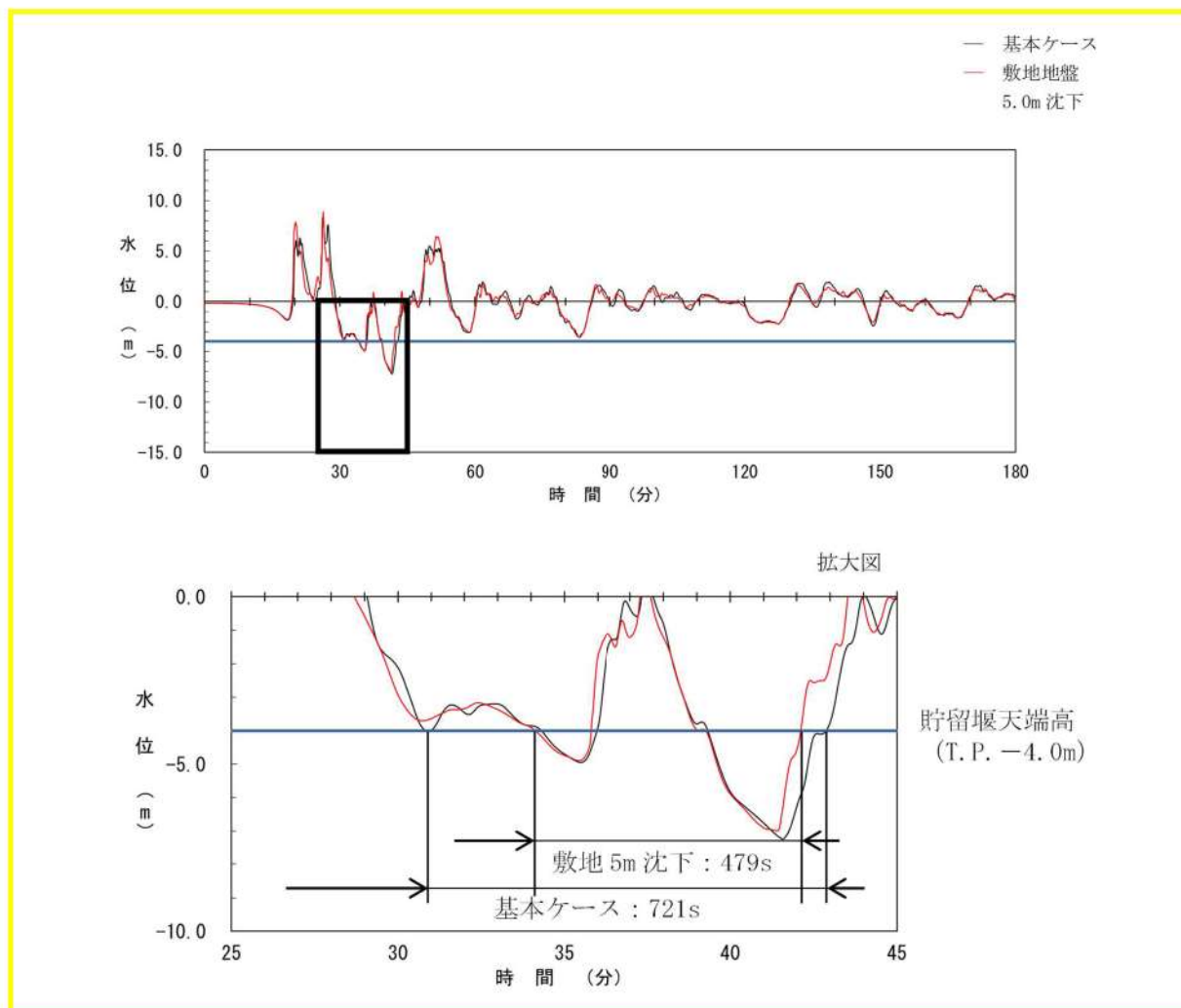


図 2.1.c.b-23 (31) 敷地 (陸域) の地盤変状 (5.0m 沈下) の有無による保守性を考慮した時間の比較 (基準津波 (波源 I, 防波堤損傷なし))

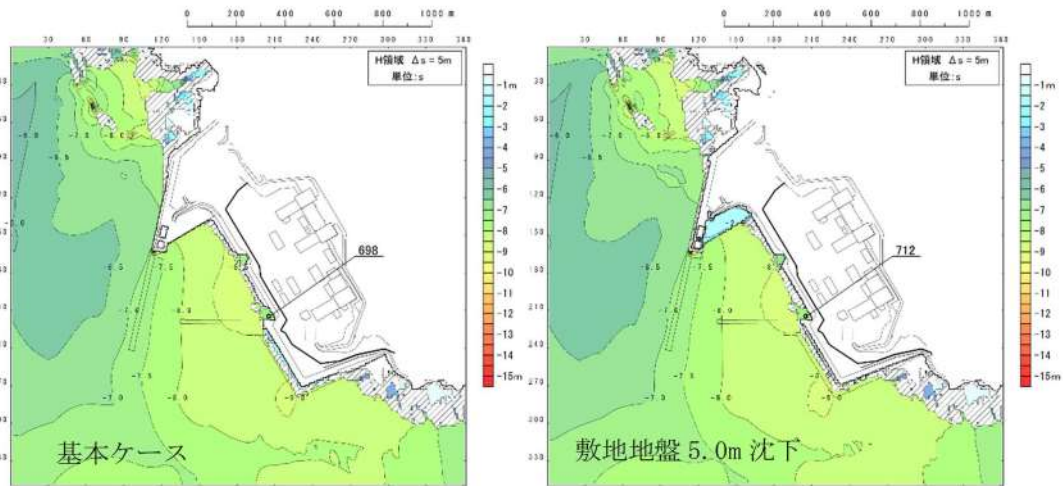


図 2. 1. c. b-23 (32) 敷地（陸域）の地盤変状（5.0m 沈下）の有無による水位時刻歴波形の比較（基準津波（波源 J，北及び南防波堤損傷））

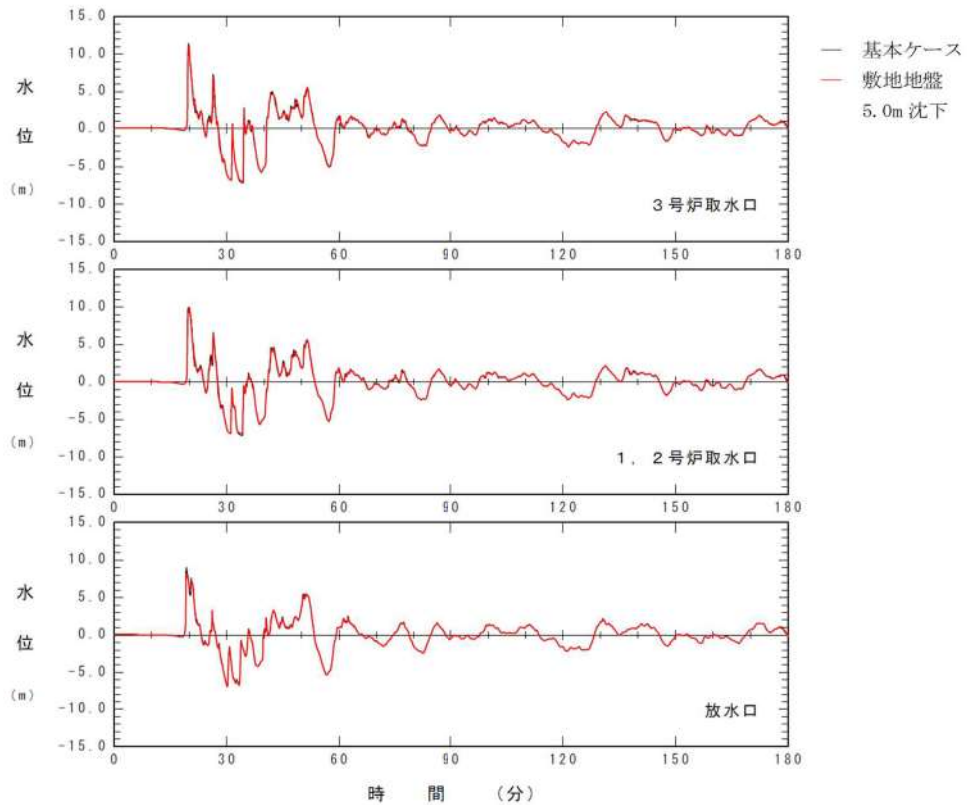


図 2. 1. c. b-23 (33) 敷地（陸域）の地盤変状（5.0m 沈下）の有無による水位時刻歴波形の比較（基準津波（波源 J，北及び南防波堤損傷））

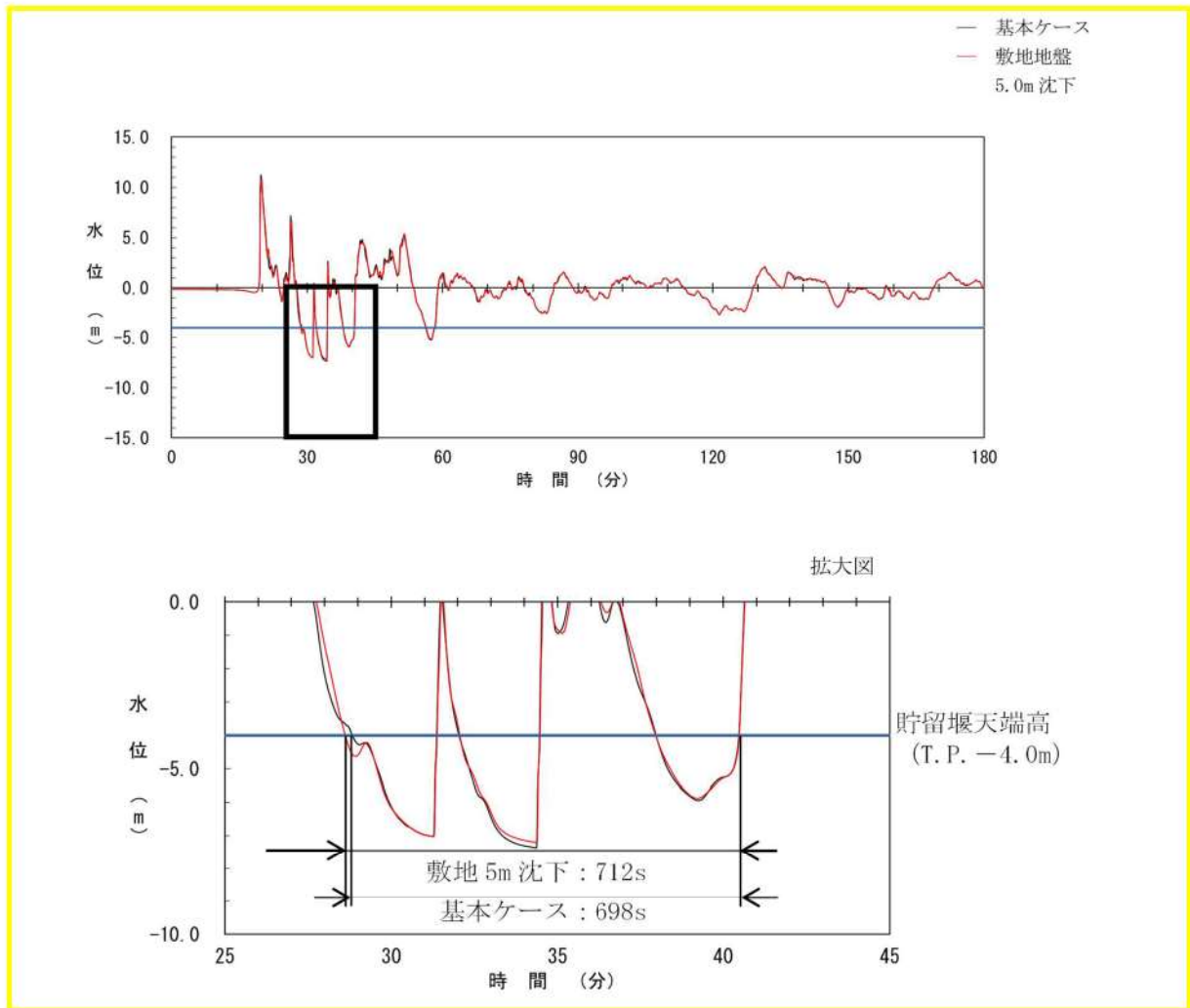


図 2.1.c.b-23 (34) 敷地（陸域）の地盤変状（5.0m 沈下）の有無による保守性を考慮した時間の比較（基準津波（波源 J，北及び南防波堤損傷））



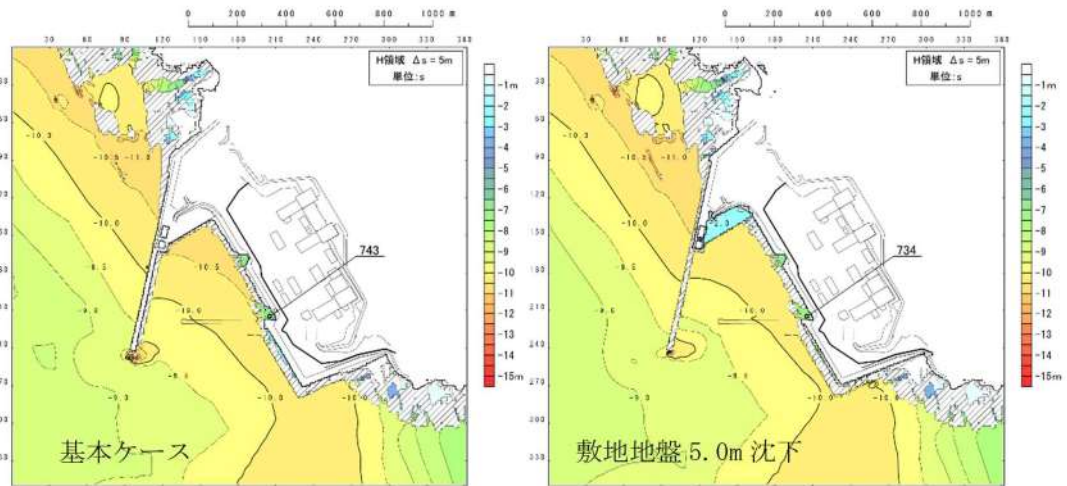


図 2. 1. c. b-23 (35) 敷地（陸域）の地盤変状（5.0m 沈下）の有無による最大水位下降量分布の比較（基準津波（波源K，南防波堤損傷））

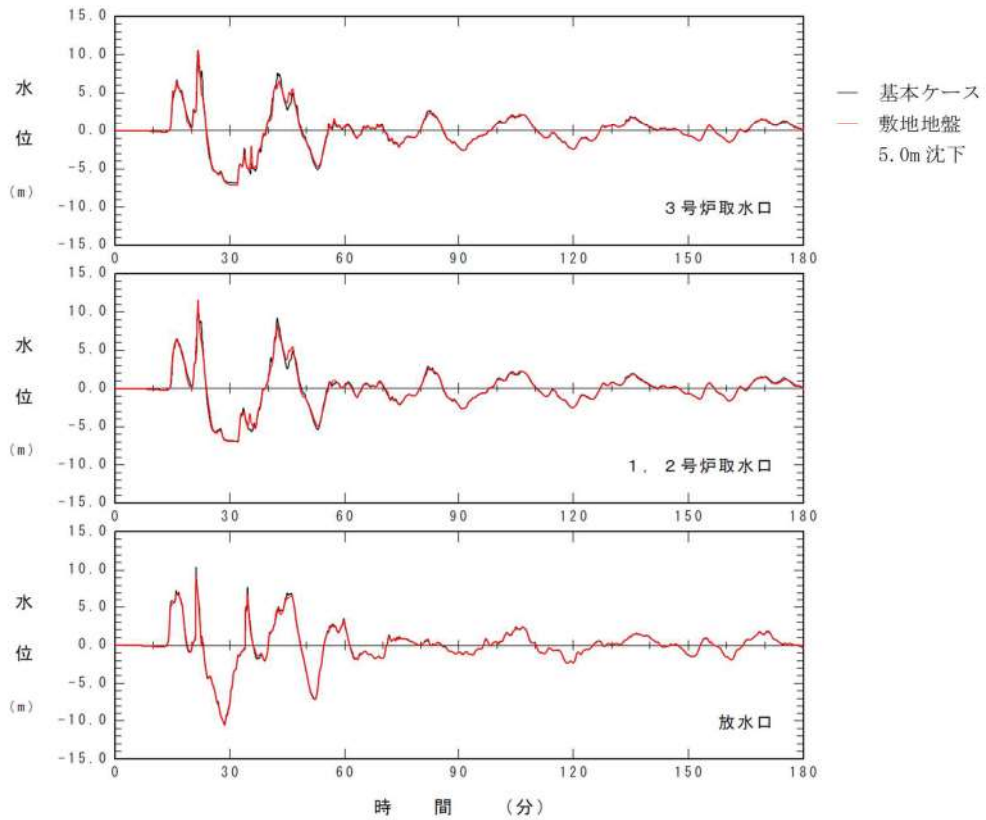


図 2. 1. c. b-23 (36) 敷地（陸域）の地盤変状（5.0m 沈下）の有無による水位時刻歴波形の比較（基準津波（波源K，南防波堤損傷））

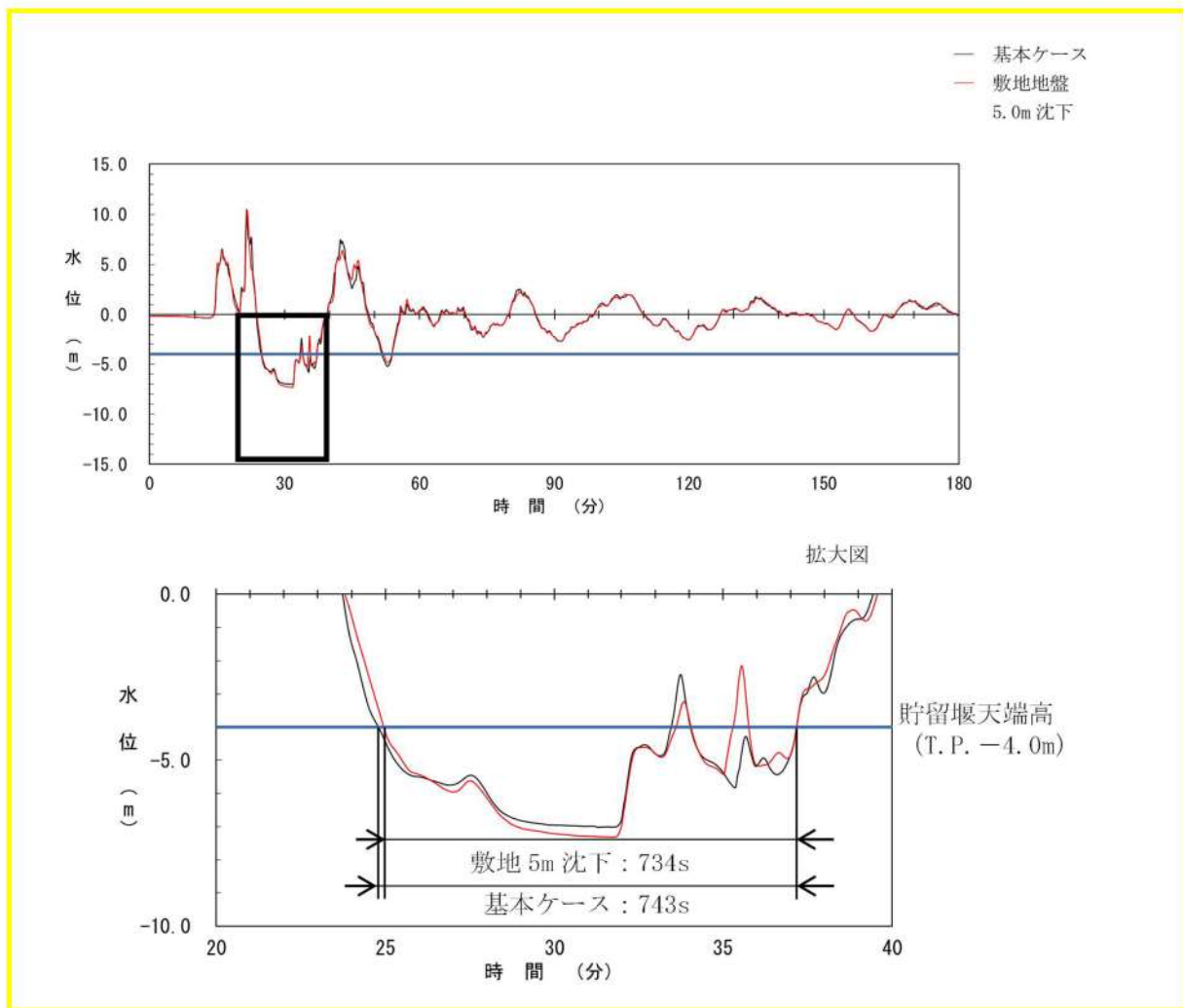


図 2.1.c.b-23 (37) 敷地（陸域）の地盤変状（5.0m 沈下）の有無による保守性を考慮した時間の比較（基準津波（波源 K，南防波堤損傷））

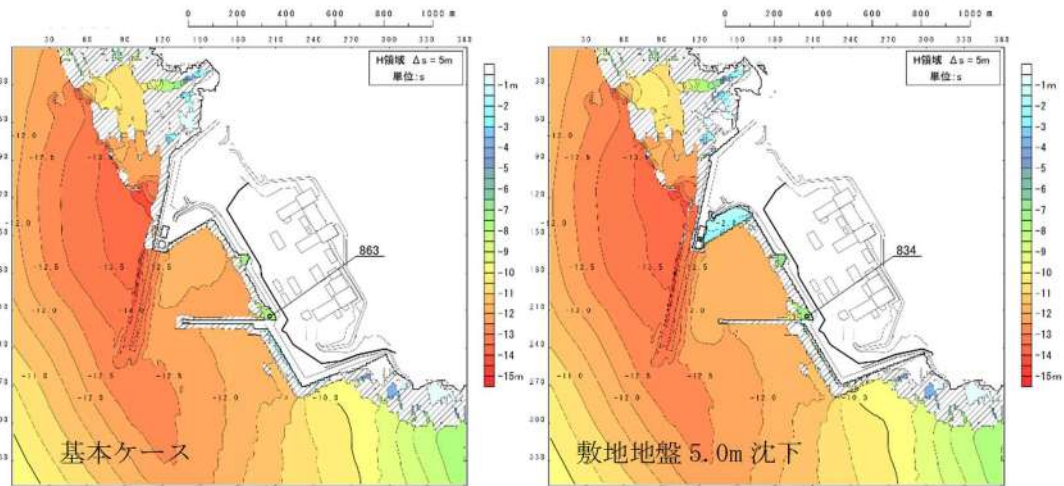


図 2. 1. c. b-23 (38) 敷地（陸域）の地盤変状（5.0m 沈下）の有無による最大水位下降量分布の比較（基準津波（波源 L，北防波堤損傷））

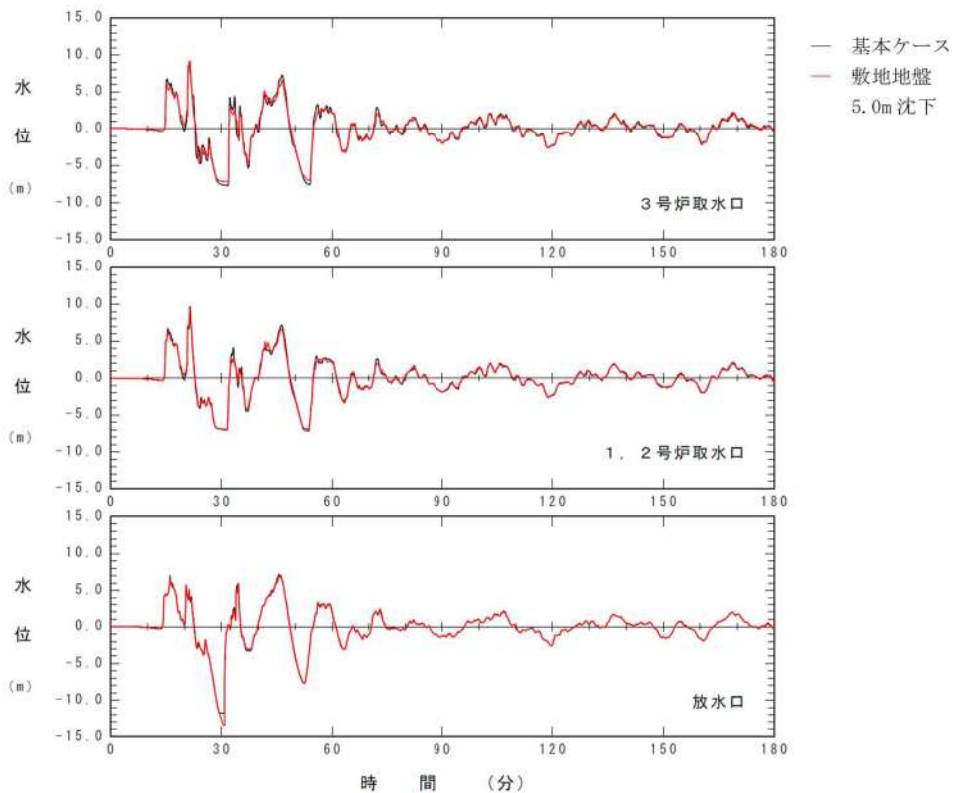


図 2. 1. c. b-23 (39) 敷地（陸域）の地盤変状（5.0m 沈下）の有無による水位時刻歴波形の比較（基準津波（波源 L，北防波堤損傷））

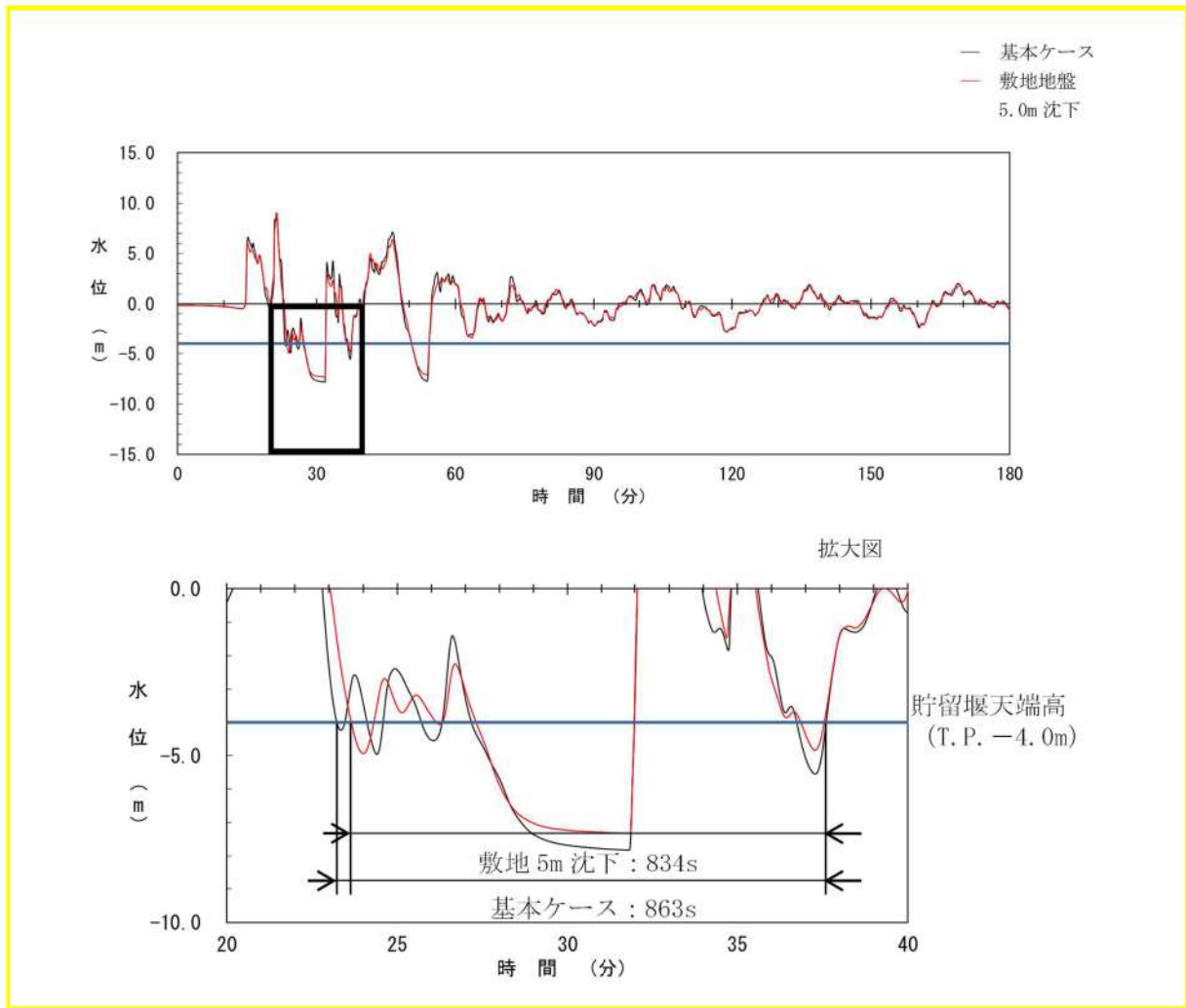


図 2.1.c.b-23 (40) 敷地（陸域）の地盤変状（5.0m 沈下）の有無による保守性を考慮した時間の比較（基準津波（波源 L，北防波堤損傷））

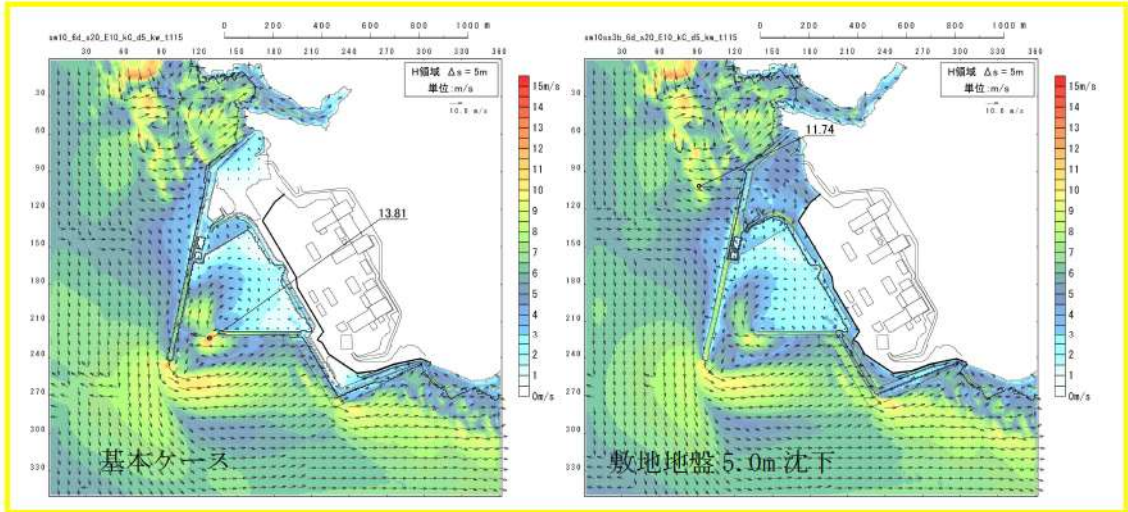


図 2.1.c.b-23 (41) 敷地（陸域）の地盤変状（5.0m 沈下）の有無による最大流速分布の比較（基準津波（波源A，防波堤損傷なし））

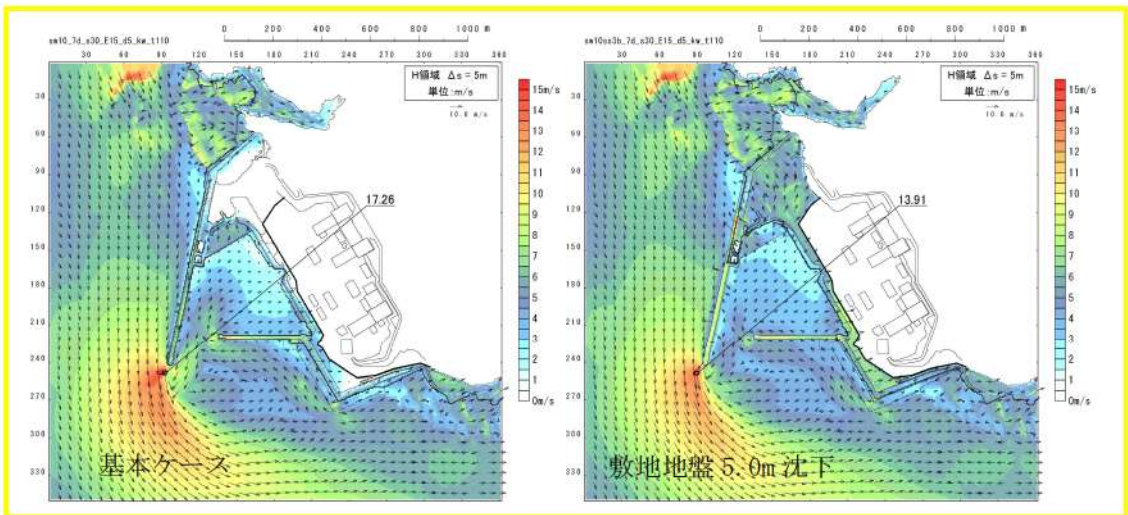


図 2.1.c.b-23 (42) 敷地（陸域）の地盤変状（5.0m 沈下）の有無による最大流速分布の比較（基準津波（波源B，防波堤損傷なし））

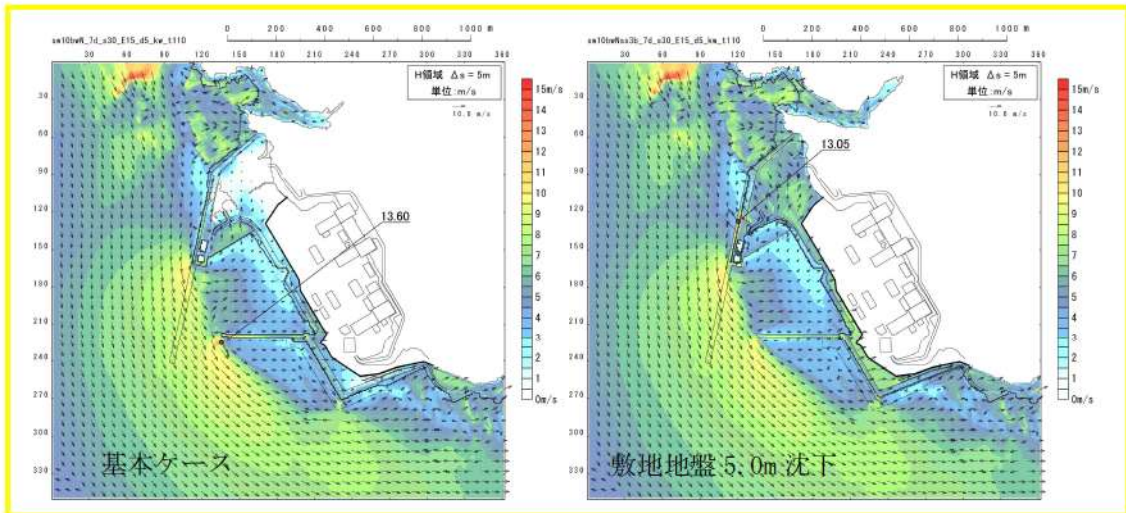


図 2.1.c.b-23 (43) 敷地（陸域）の地盤変状（5.0m 沈下）の有無による最大流速分布の比較（基準津波（波源B，北防波堤損傷））

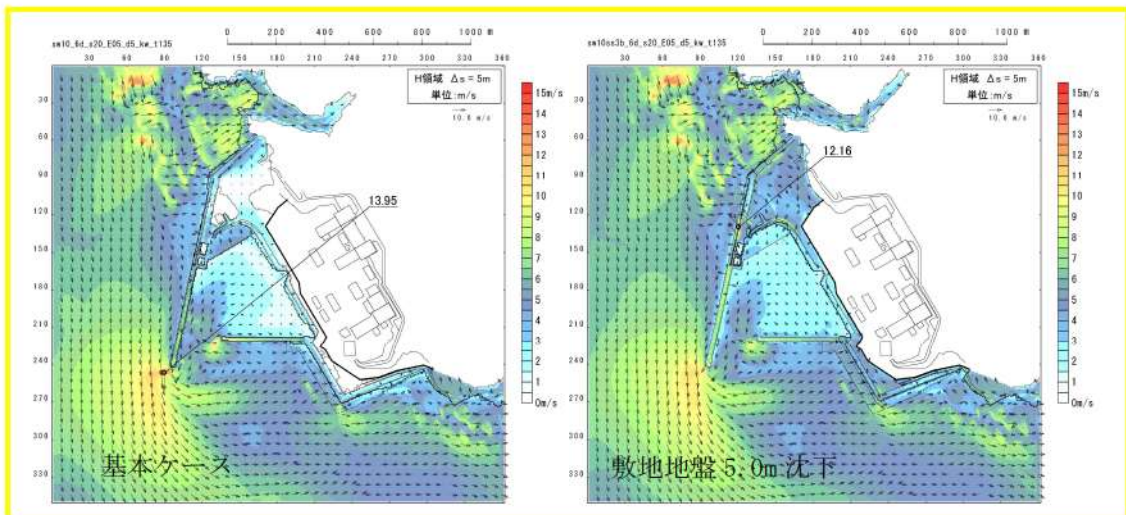


図 2.1.c.b-23 (44) 敷地（陸域）の地盤変状（5.0m 沈下）の有無による最大流速分布の比較（基準津波（波源C，防波堤損傷なし））

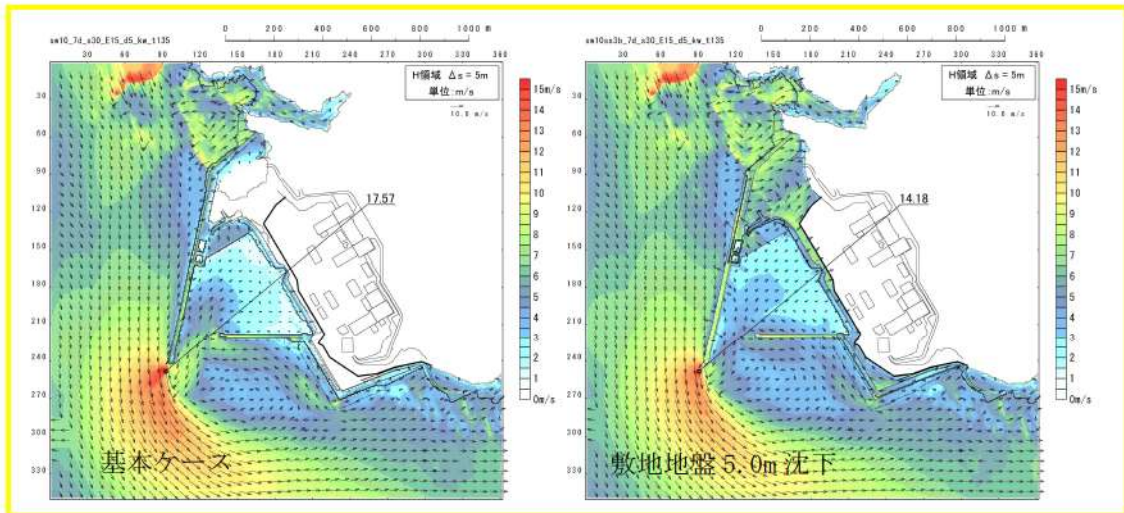


図 2.1.c.b-23 (45) 敷地（陸域）の地盤変状（5.0m 沈下）の有無による最大流速分布の比較（基準津波（波源D，防波堤損傷なし））

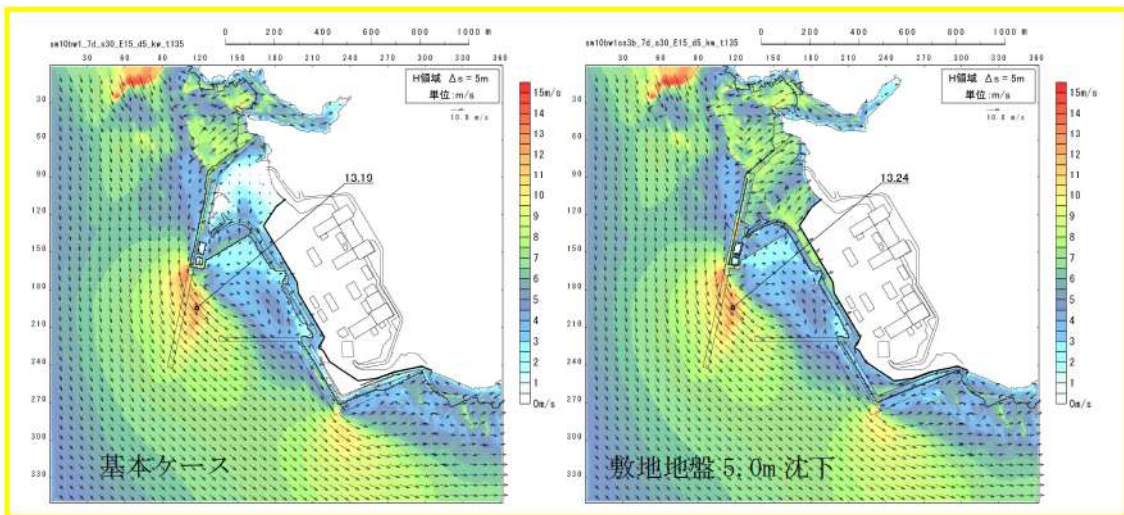


図 2.1.c.b-23 (46) 敷地（陸域）の地盤変状（5.0m 沈下）の有無による最大流速分布の比較（基準津波（波源D，北及び南防波堤損傷））

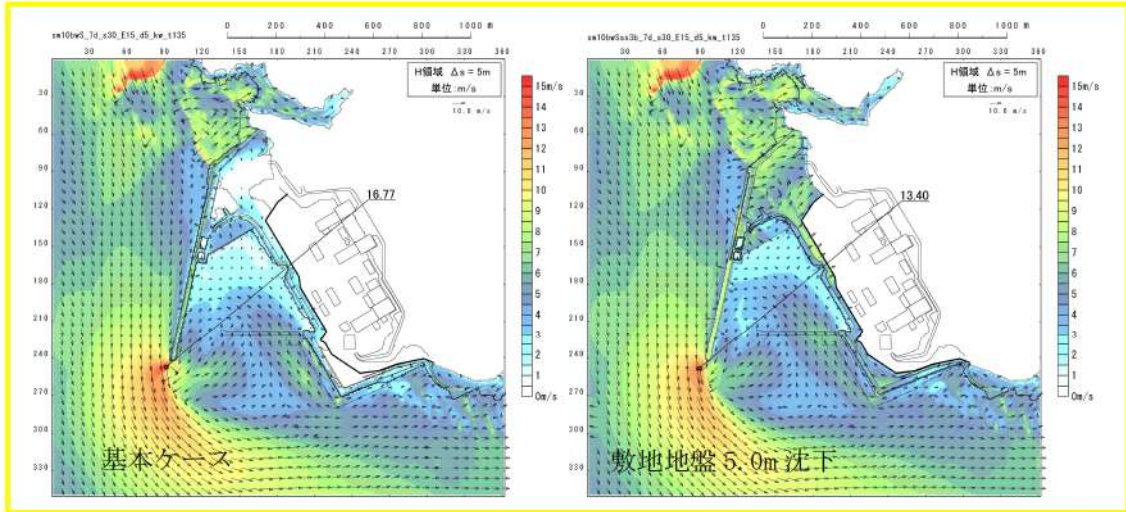


図 2.1.c.b-23 (47) 敷地（陸域）の地盤変状（5.0m 沈下）の有無による最大流速分布の比較（基準津波（波源D，南防波堤損傷））

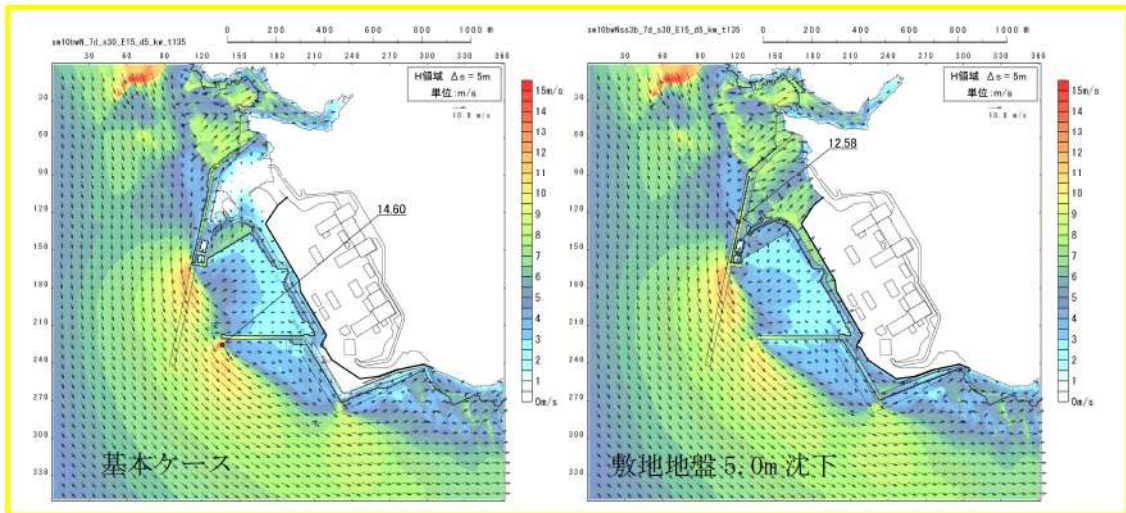


図 2.1.c.b-23 (48) 敷地（陸域）の地盤変状（5.0m 沈下）の有無による最大流速分布の比較（基準津波（波源D，北防波堤損傷））



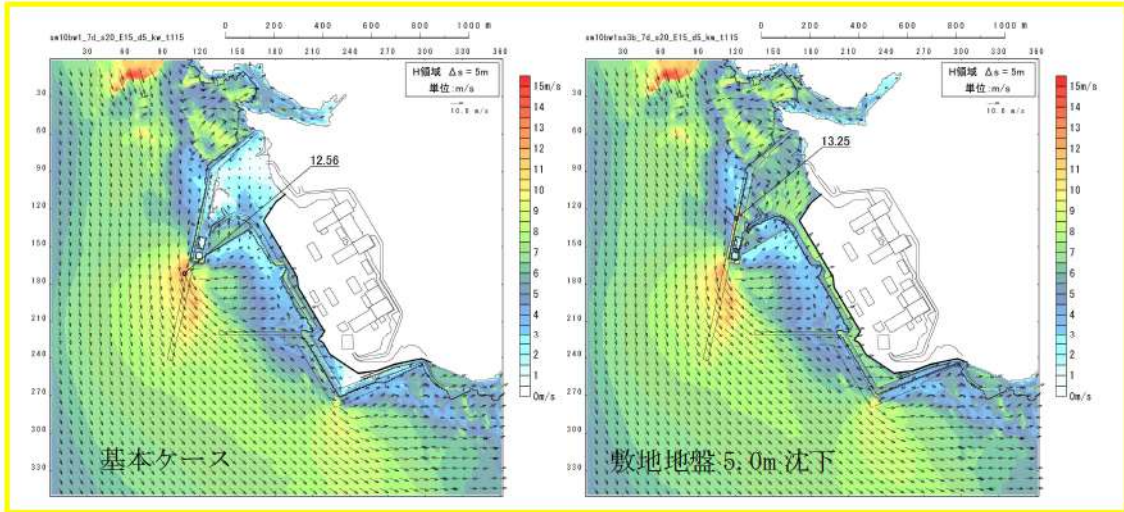


図 2.1.c.b-23 (49) 敷地（陸域）の地盤変状（5.0m 沈下）の有無による最大流速分布の比較（基準津波（波源E，北及び南防波堤損傷））

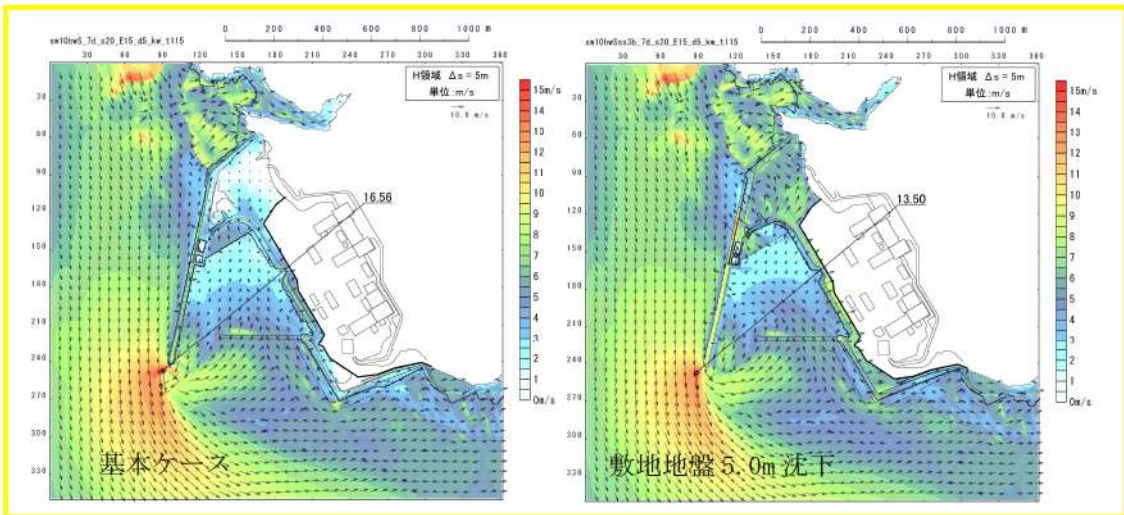


図 2.1.c.b-23 (50) 敷地（陸域）の地盤変状（5.0m 沈下）の有無による最大流速分布の比較（基準津波（波源E，南防波堤損傷））

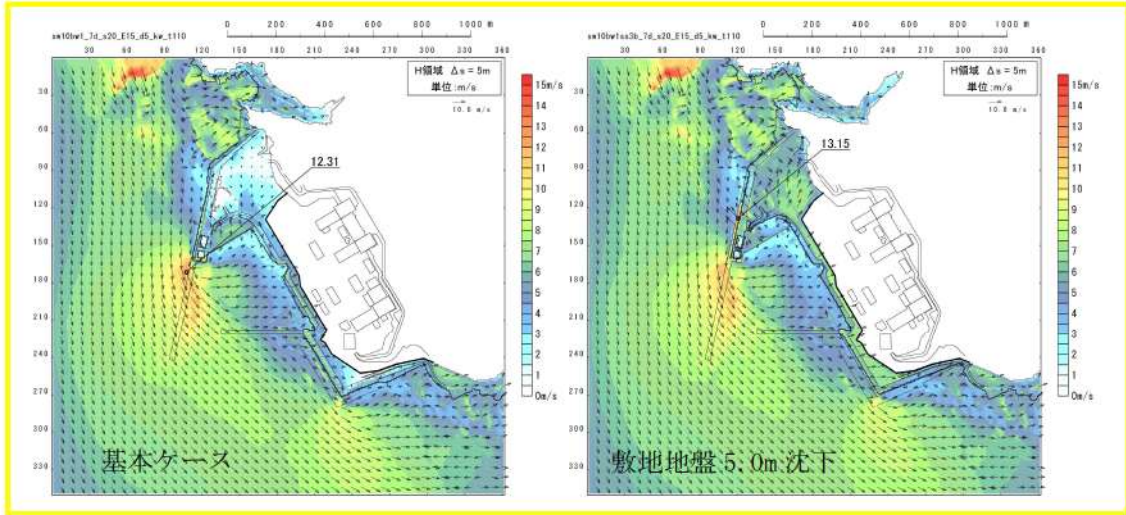


図 2.1.c.b-23 (51) 敷地（陸域）の地盤変状（5.0m 沈下）の有無による最大流速分布の比較（基準津波（波源 F，北及び南防波堤損傷））

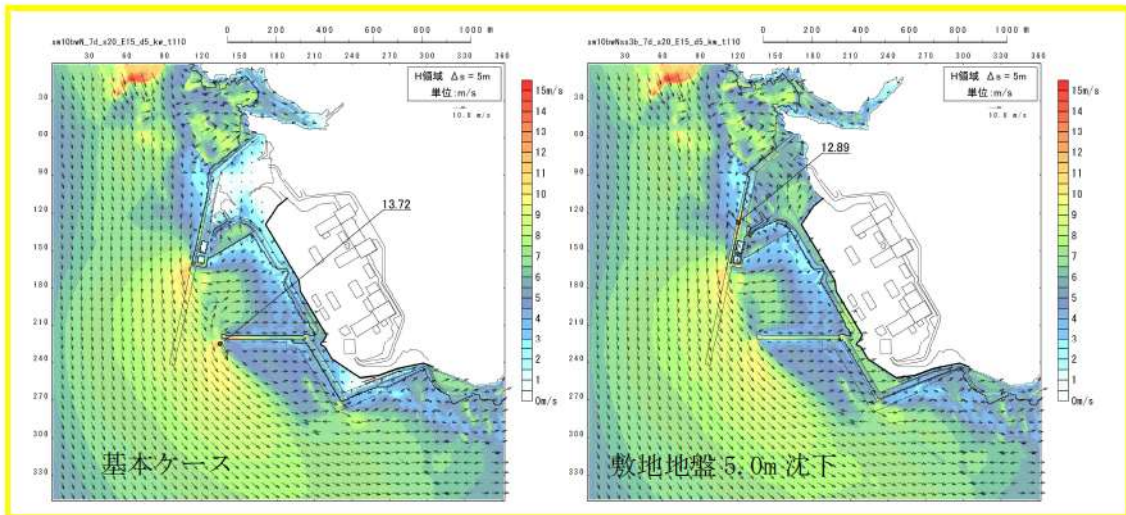


図 2.1.c.b-23 (52) 敷地（陸域）の地盤変状（5.0m 沈下）の有無による最大流速分布の比較（基準津波（波源 F，北防波堤損傷））

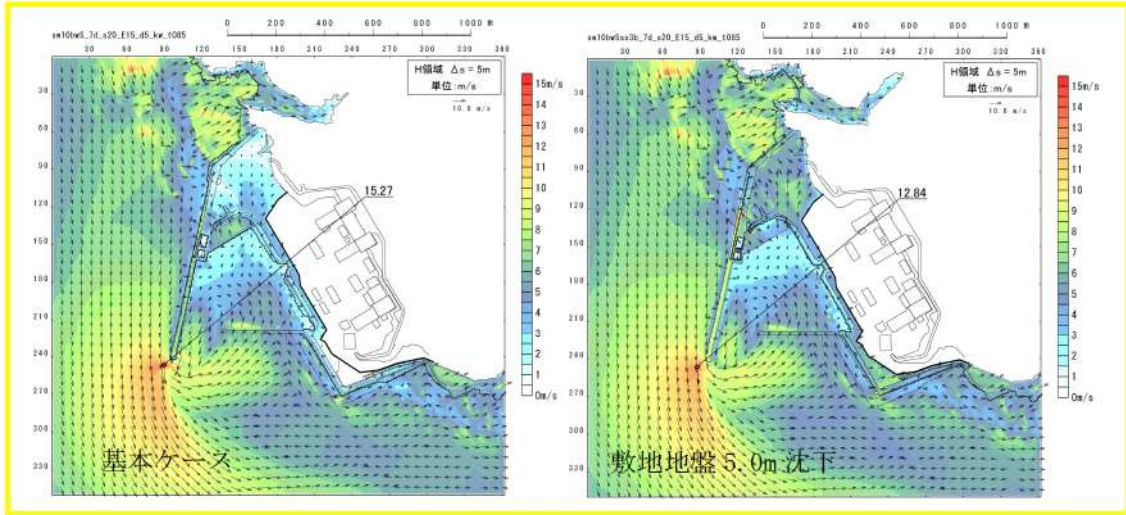


図 2.1.c.b-23 (53) 敷地（陸域）の地盤変状（5.0m 沈下）の有無による最大流速分布の比較（基準津波（波源G，南防波堤損傷））

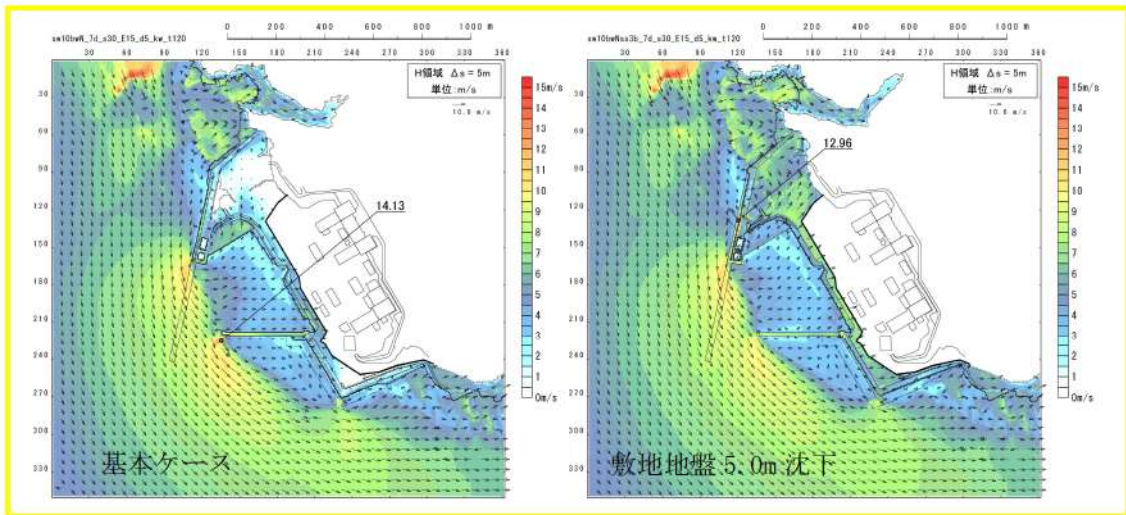


図 2.1.c.b-23 (54) 敷地（陸域）の地盤変状（5.0m 沈下）の有無による最大流速分布の比較（基準津波（波源H，北防波堤損傷））

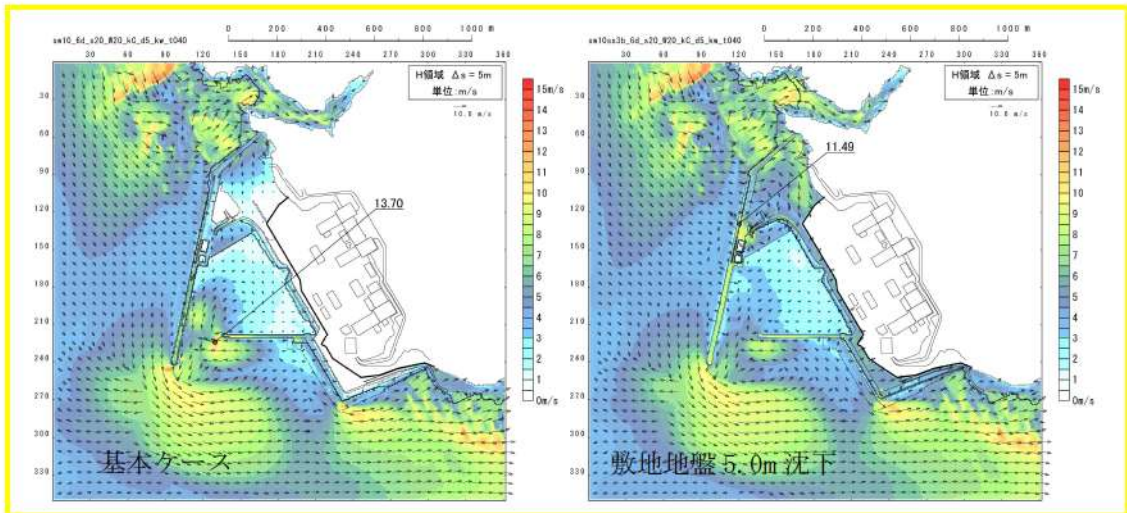


図 2.1.c.b-23 (55) 敷地（陸域）の地盤変状（5.0m 沈下）の有無による最大流速分布の比較（基準津波（波源 I，防波堤損傷なし））

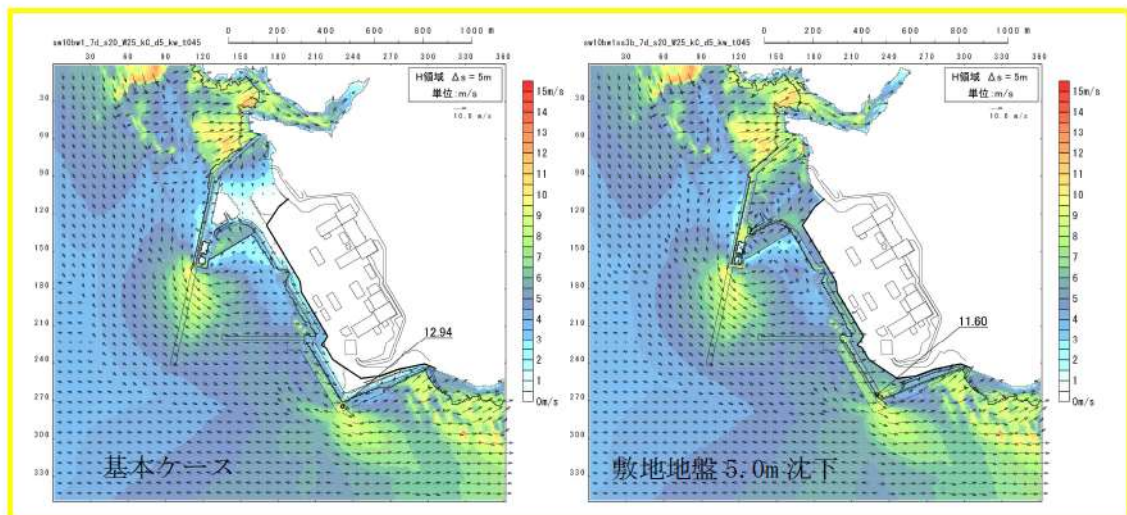


図 2.1.c.b-23 (56) 敷地（陸域）の地盤変状（5.0m 沈下）の有無による最大流速分布の比較（基準津波（波源 J，北及び南防波堤損傷））

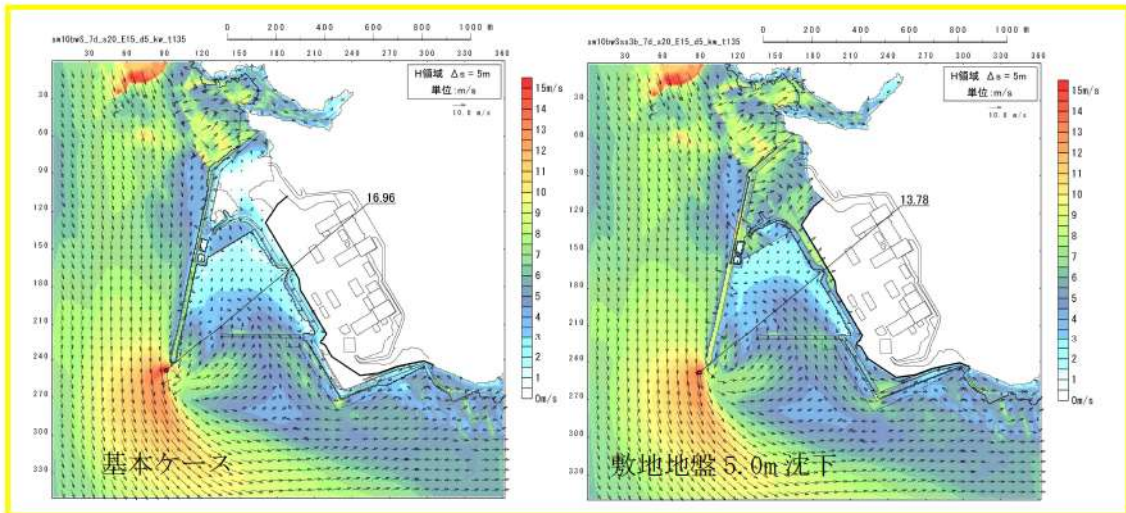


図 2.1.c.b-23 (57) 敷地（陸域）の地盤変状（5.0m 沈下）の有無による最大流速分布の比較（基準津波（波源K，南防波堤損傷））

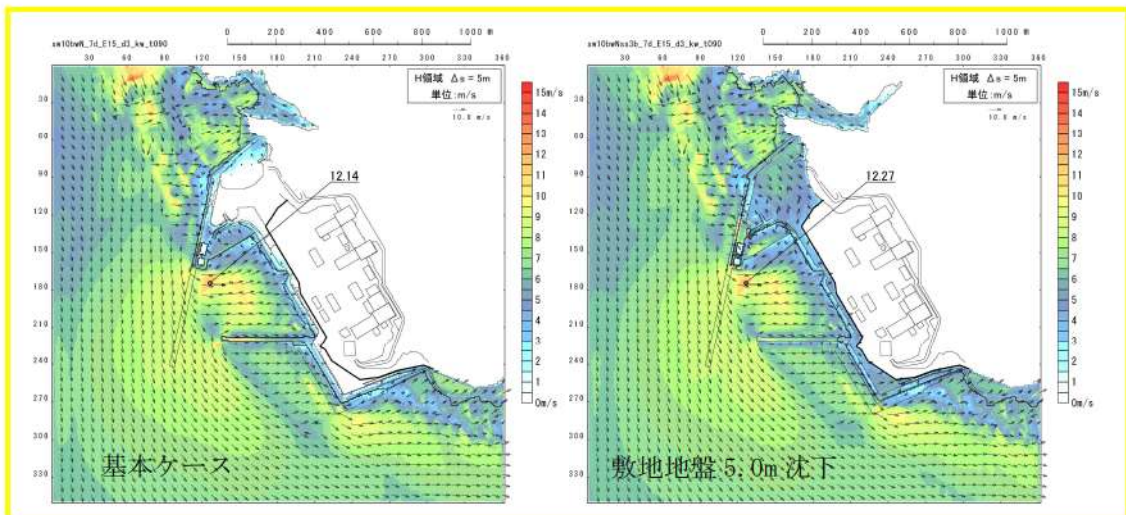


図 2.1.c.b-23 (58) 敷地（陸域）の地盤変状（5.0m 沈下）の有無による最大流速分布の比較（基準津波（波源L，北防波堤損傷））

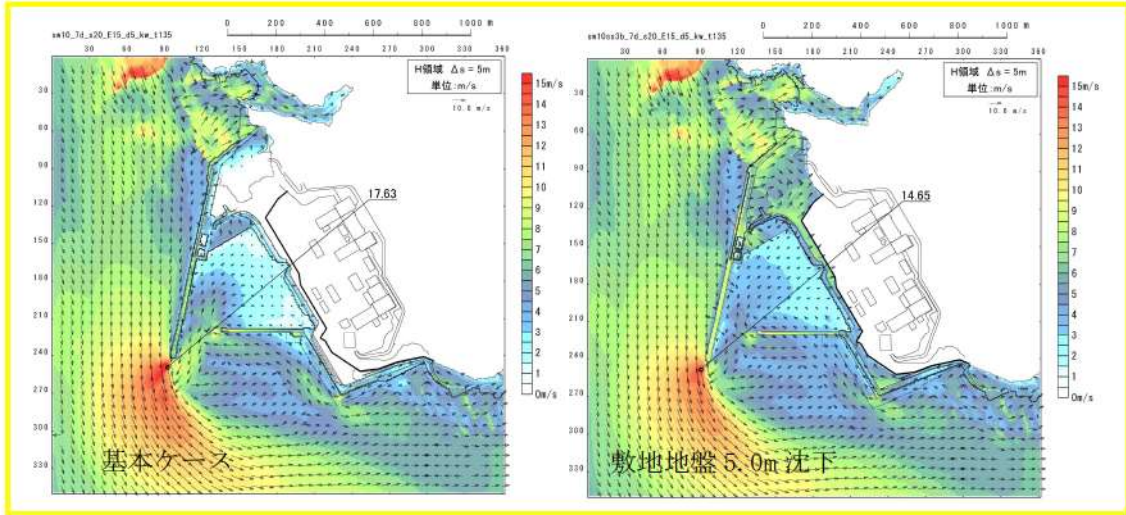


図 2.1.c.b-23 (59) 敷地（陸域）の地盤変状（5.0m 沈下）の有無による最大流速分布の比較（最大流速波源（波源K，防波堤損傷なし））

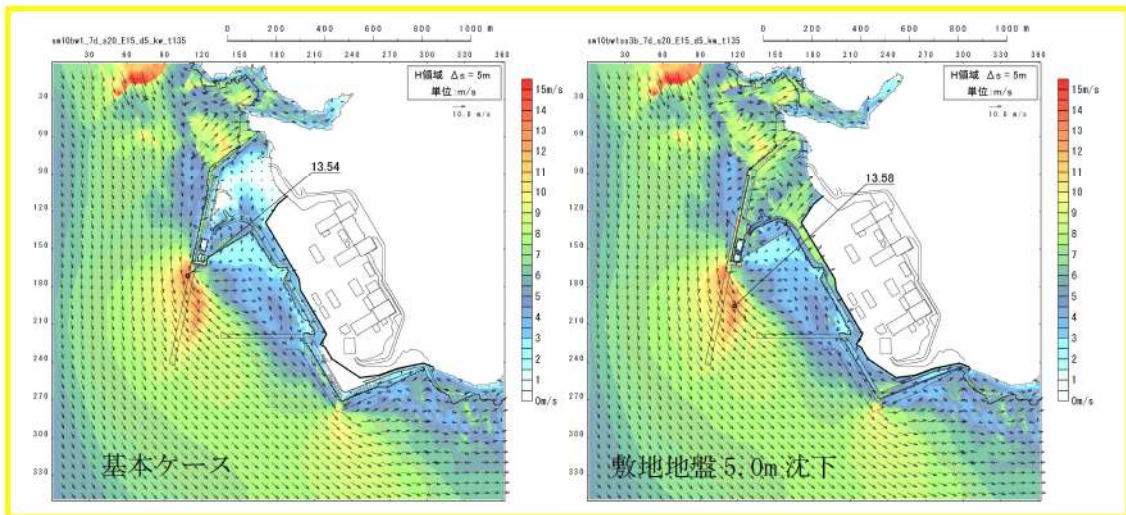


図 2.1.c.b-23 (60) 敷地（陸域）の地盤変状（5.0m 沈下）の有無による最大流速分布の比較（（最大流速波源（波源K，北及び南防波堤損傷））

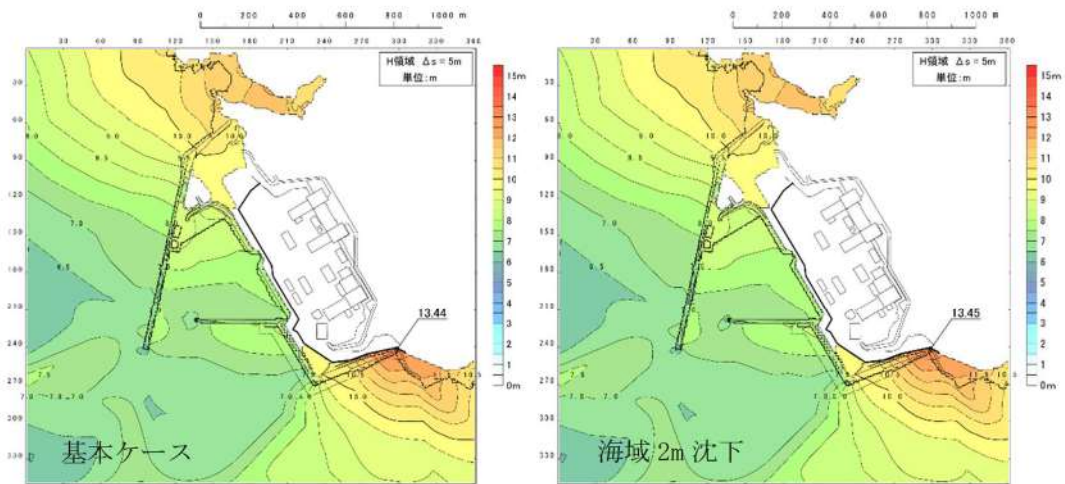


図 2. 1. c. c-6 (1) 敷地（海域）の地盤変状の有無による最大水位上昇量分布の比較（基準津波（波源A，防波堤損傷なし））

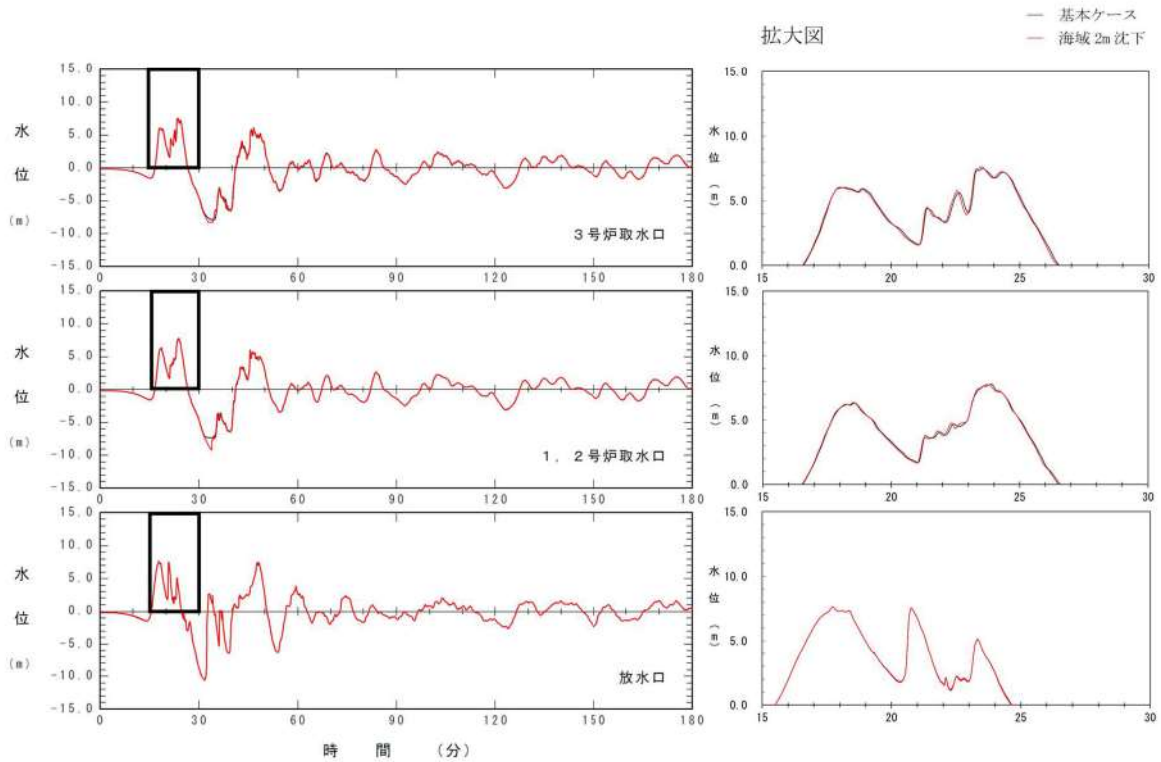


図 2. 1. c. c-6 (2) 敷地（海域）の地盤変状の有無による水位時刻歴波形の比較（基準津波（波源A，防波堤損傷なし））

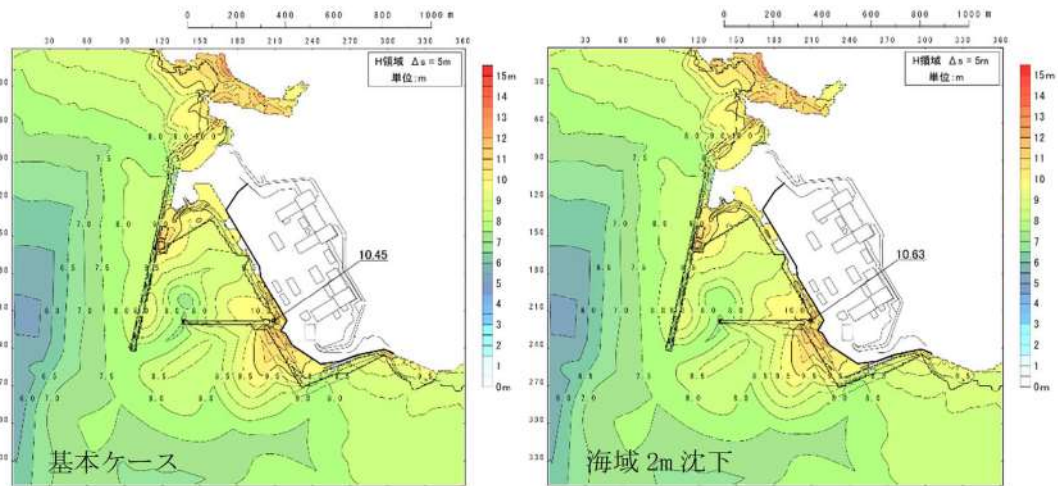


図 2. 1. c. c-6 (3) 敷地（海域）の地盤変状の有無による最大水位上昇量分布の比較（基準津波（波源B，防波堤損傷なし））

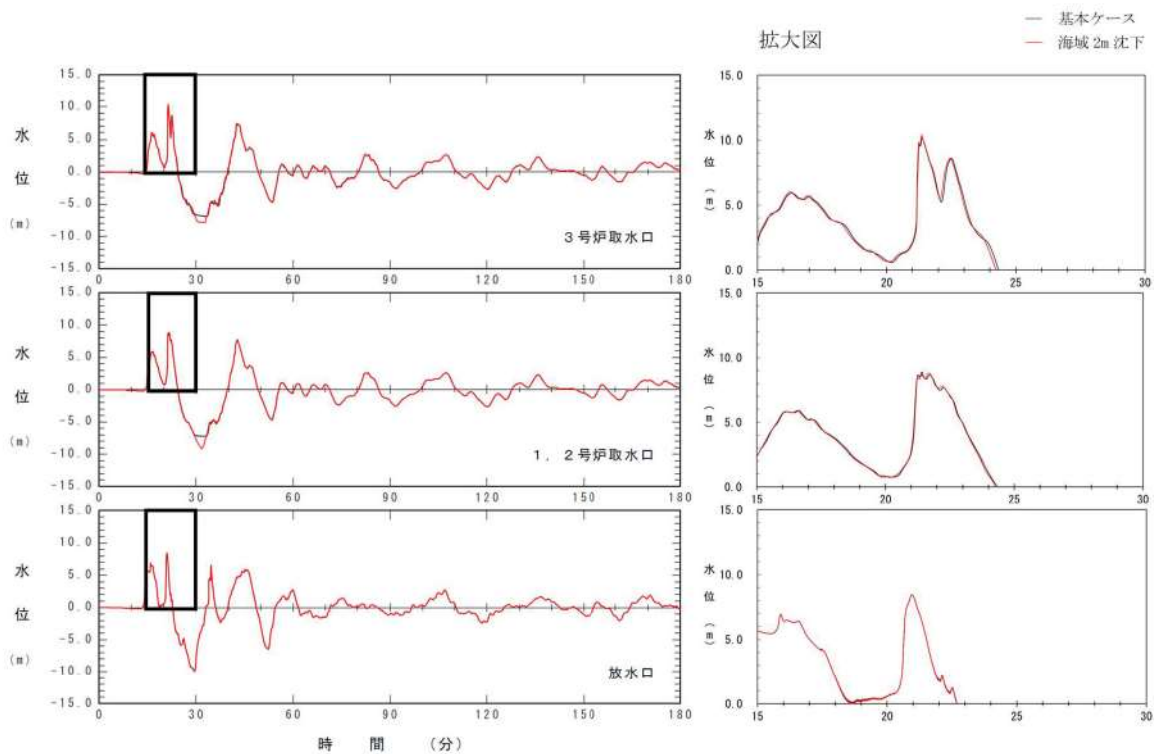


図 2. 1. c. c-6 (4) 敷地（海域）の地盤変状の有無による水位時刻歴波形の比較（基準津波（波源B，防波堤損傷なし））



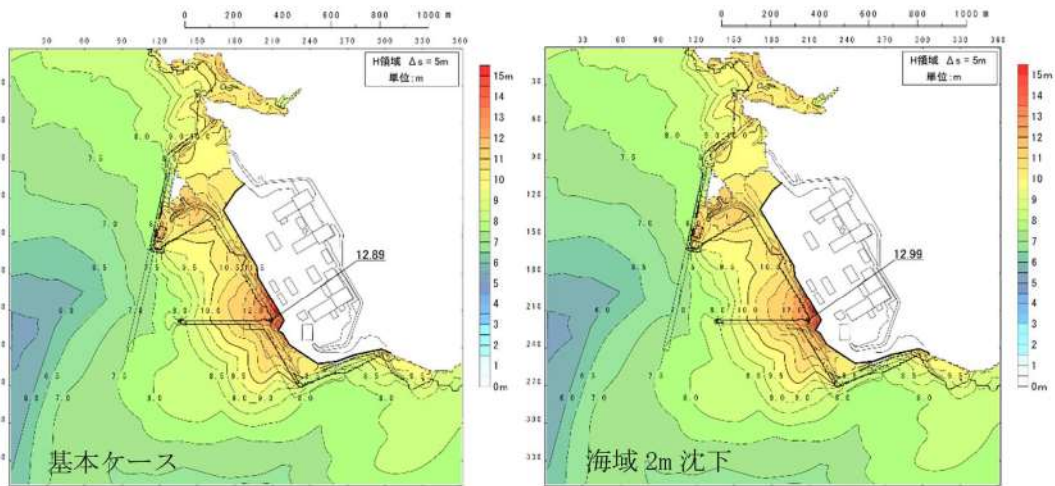


図 2. 1. c. c-6 (5) 敷地 (海域) の地盤変状の有無による最大水位上昇量分布の比較 (基準津波 (波源 B, 北防波堤損傷))

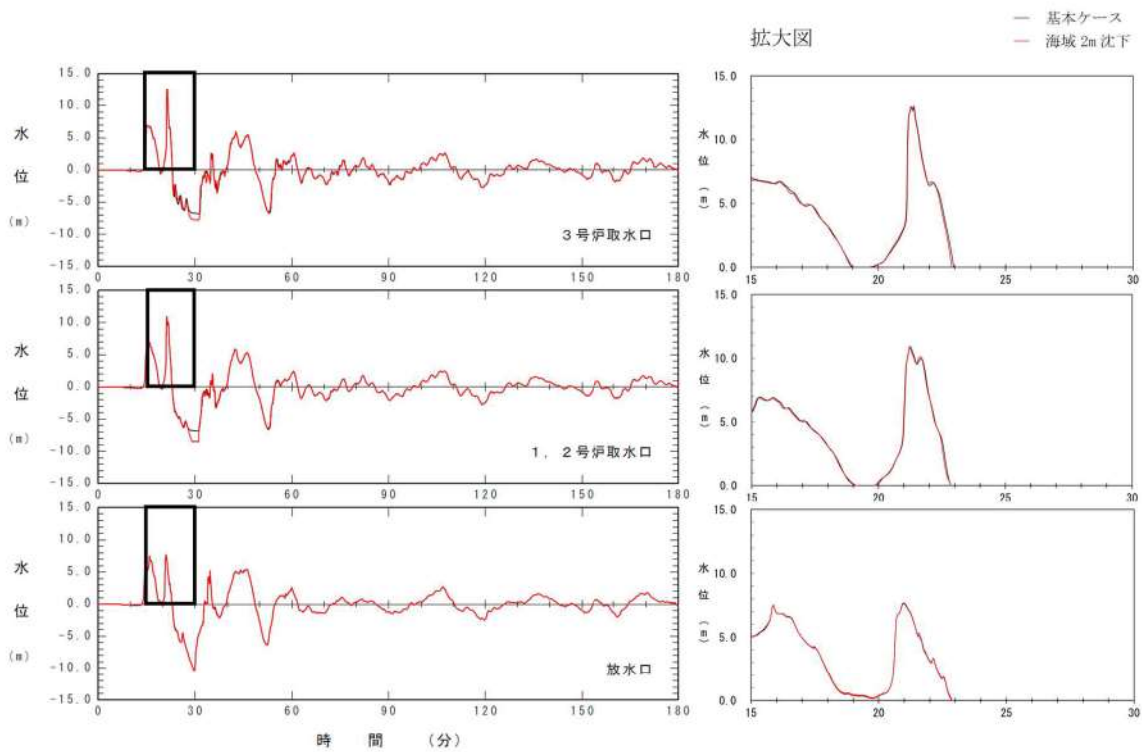


図 2. 1. c. c-6 (6) 敷地 (海域) の地盤変状の有無による水位時刻歴波形の比較 (基準津波 (波源 B, 北防波堤損傷))

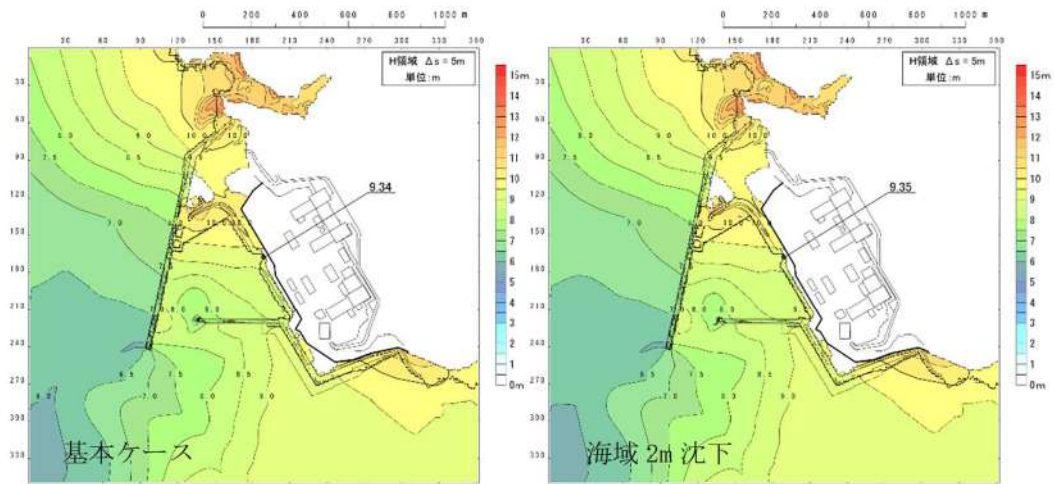


図 2. 1. c. c-6 (7) 敷地 (海域) の地盤変状の有無による最大水位上昇量分布の比較 (基準津波 (波源C, 防波堤損傷なし))

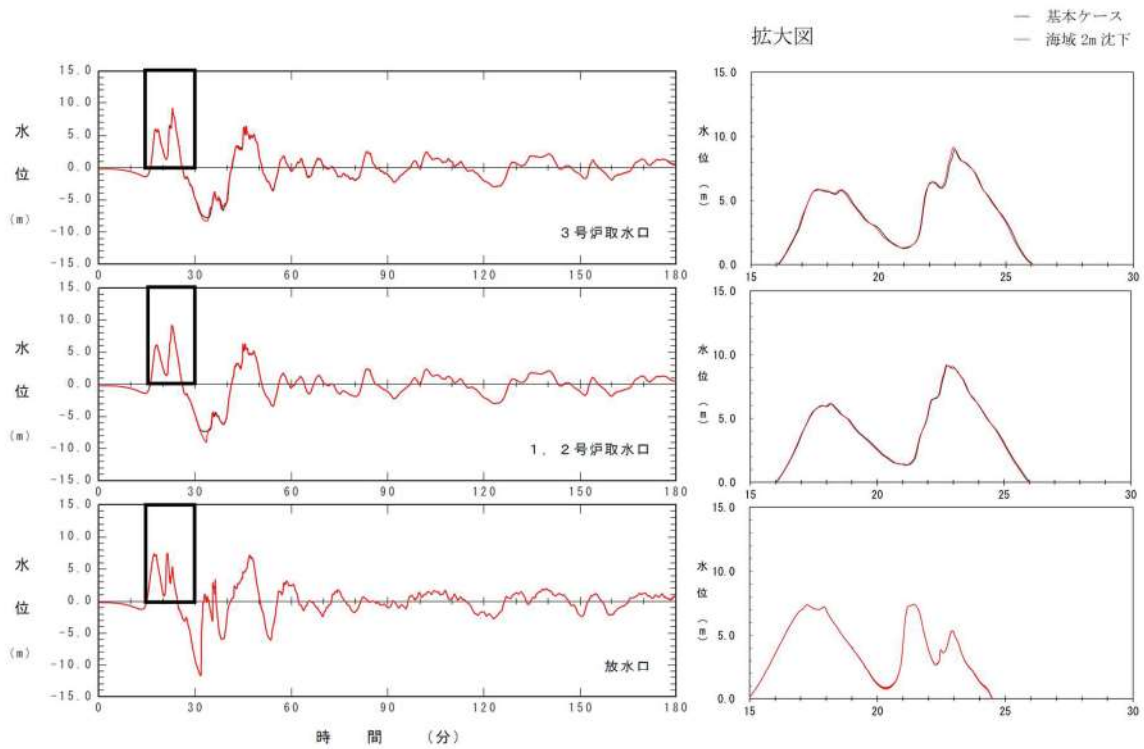


図 2. 1. c. c-6 (8) 敷地 (海域) の地盤変状の有無による水位時刻歴波形の比較 (基準津波 (波源C, 防波堤損傷なし))

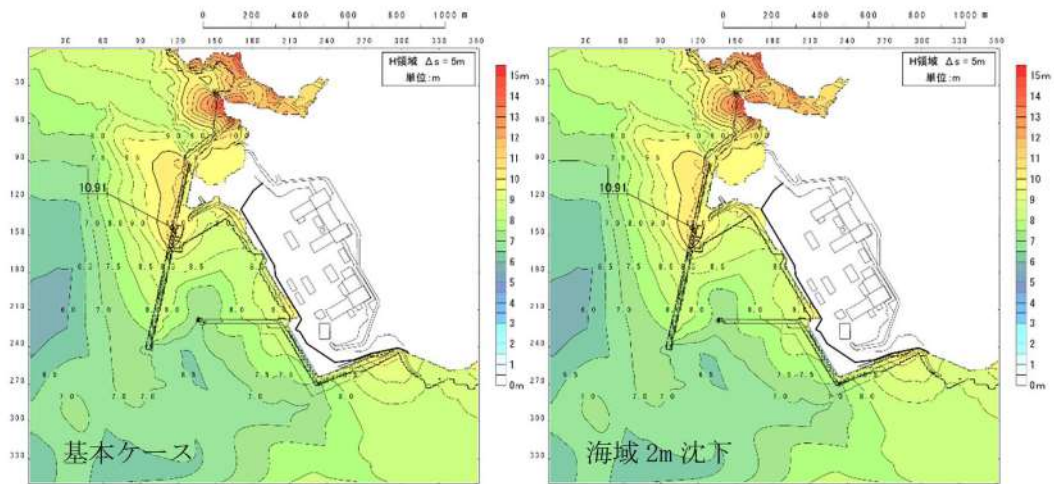


図 2.1.c.c-6 (9) 敷地（海域）の地盤変状の有無による最大水位上昇量分布の比較（基準津波（波源D，防波堤損傷なし））

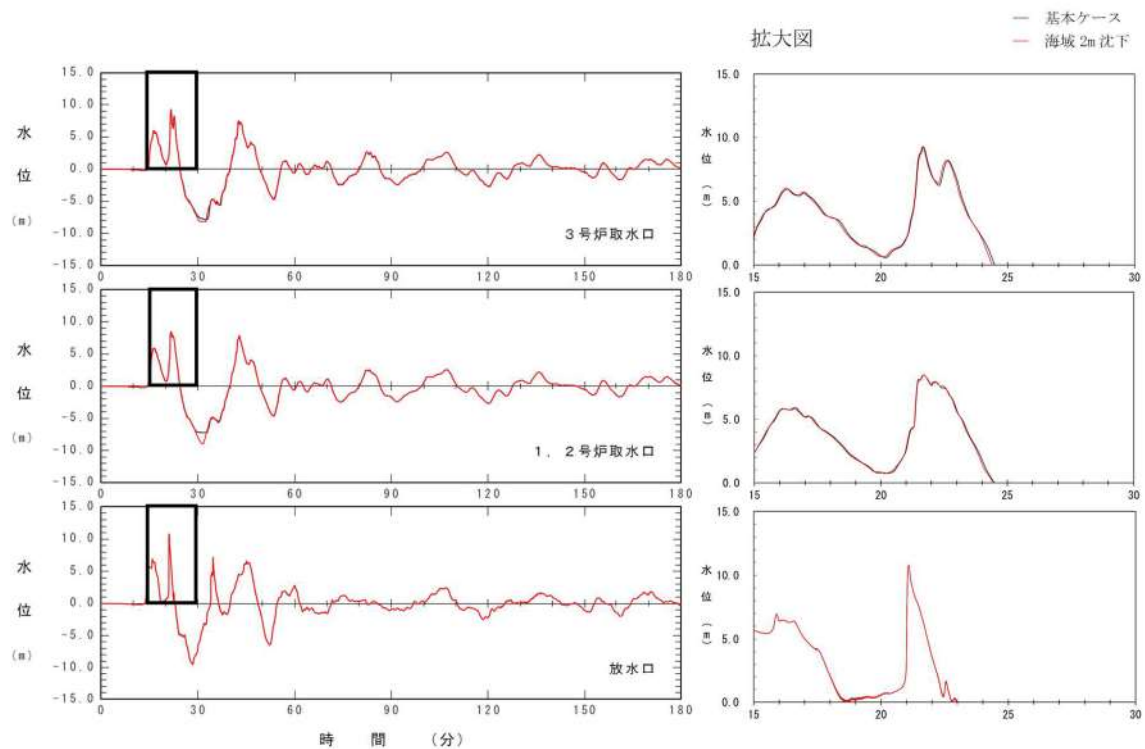


図 2.1.c.c-6 (10) 敷地（海域）の地盤変状の有無による水位時刻歴波形の比較（基準津波（波源D，防波堤損傷なし））

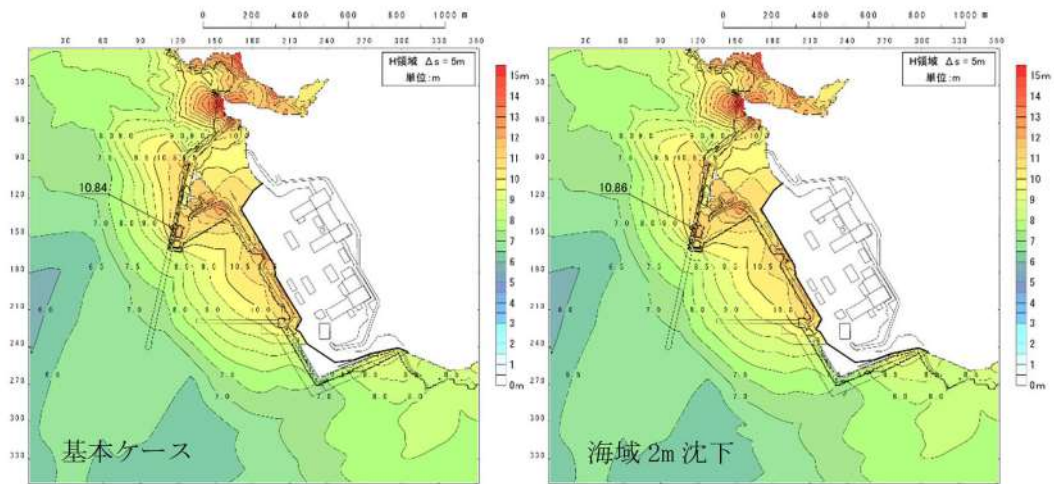


図 2.1.c.c-6 (11) 敷地（海域）の地盤変状の有無による最大水位上昇量分布の比較（基準津波（波源D，北及び南防波堤損傷））

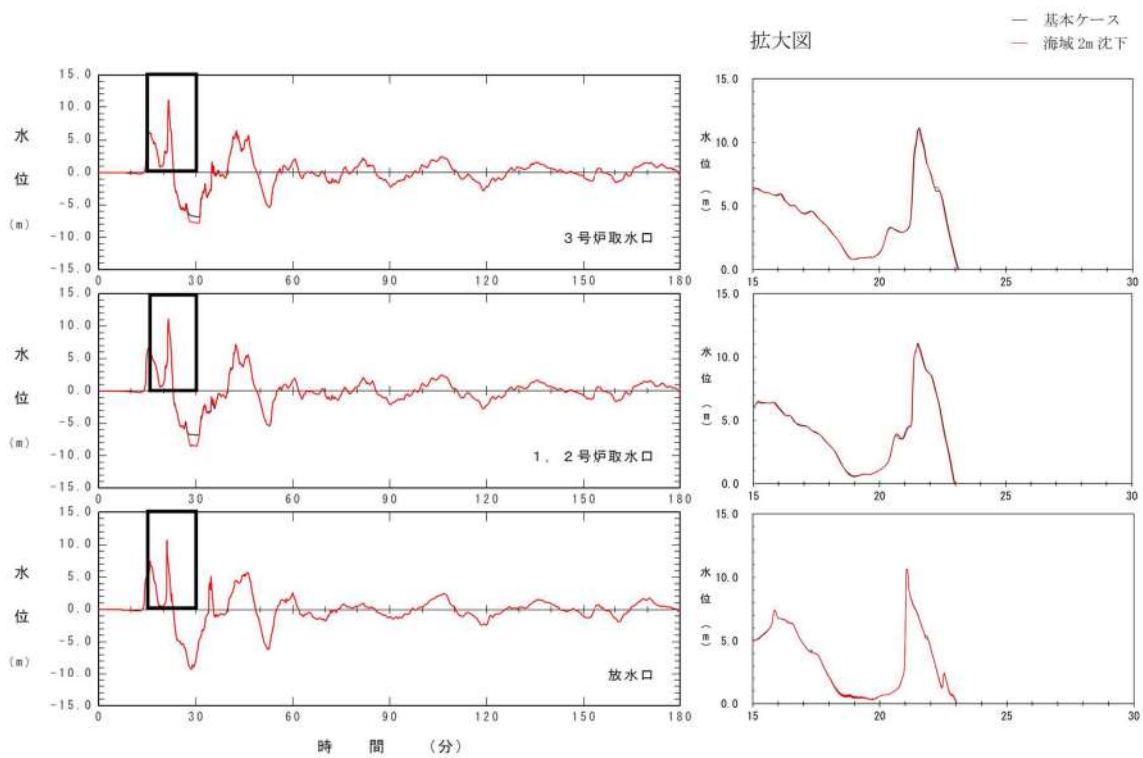


図 2.1.c.c-6 (12) 敷地（海域）の地盤変状の有無による水位時刻歴波形の比較（基準津波（波源D，北及び南防波堤損傷））

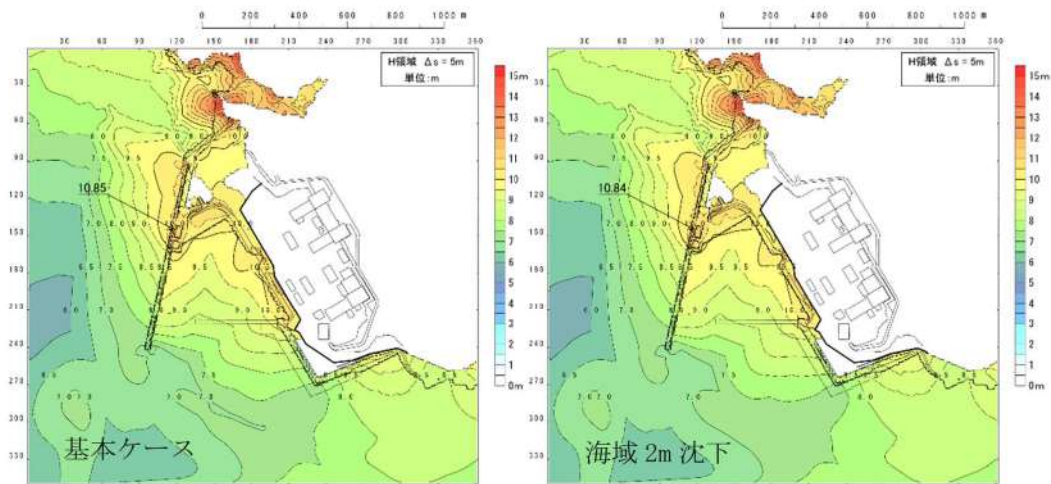


図 2.1.c.c-6 (13) 敷地（海域）の地盤変状の有無による最大水位上昇量分布の比較（基準津波（波源D，南防波堤損傷））

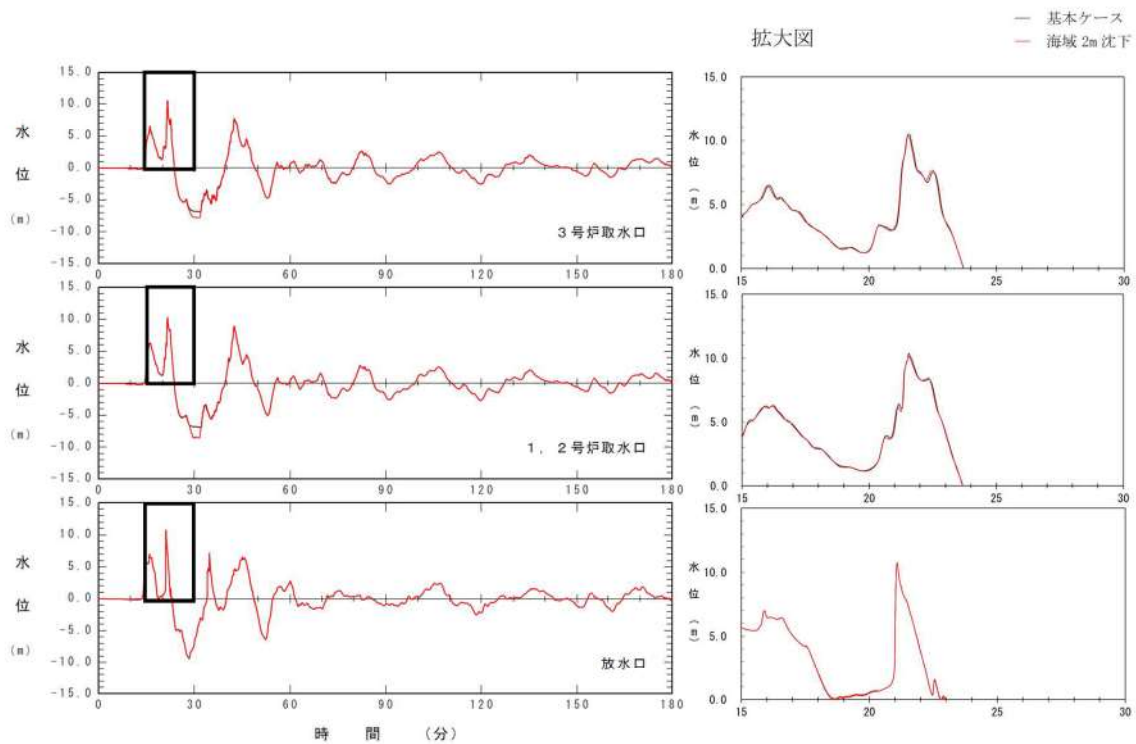


図 2.1.c.c-6 (14) 敷地（海域）の地盤変状の有無による水位時刻歴波形の比較（基準津波（波源D，南防波堤損傷））

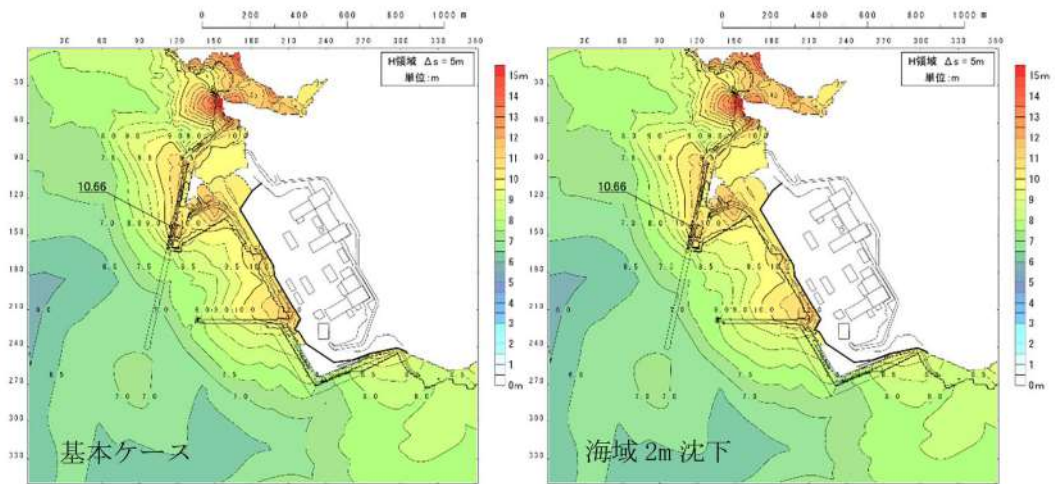


図 2.1.c.c-6 (15) 敷地（海域）の地盤変状の有無による最大水位上昇量分布の比較（基準津波（波源D，北防波堤損傷））

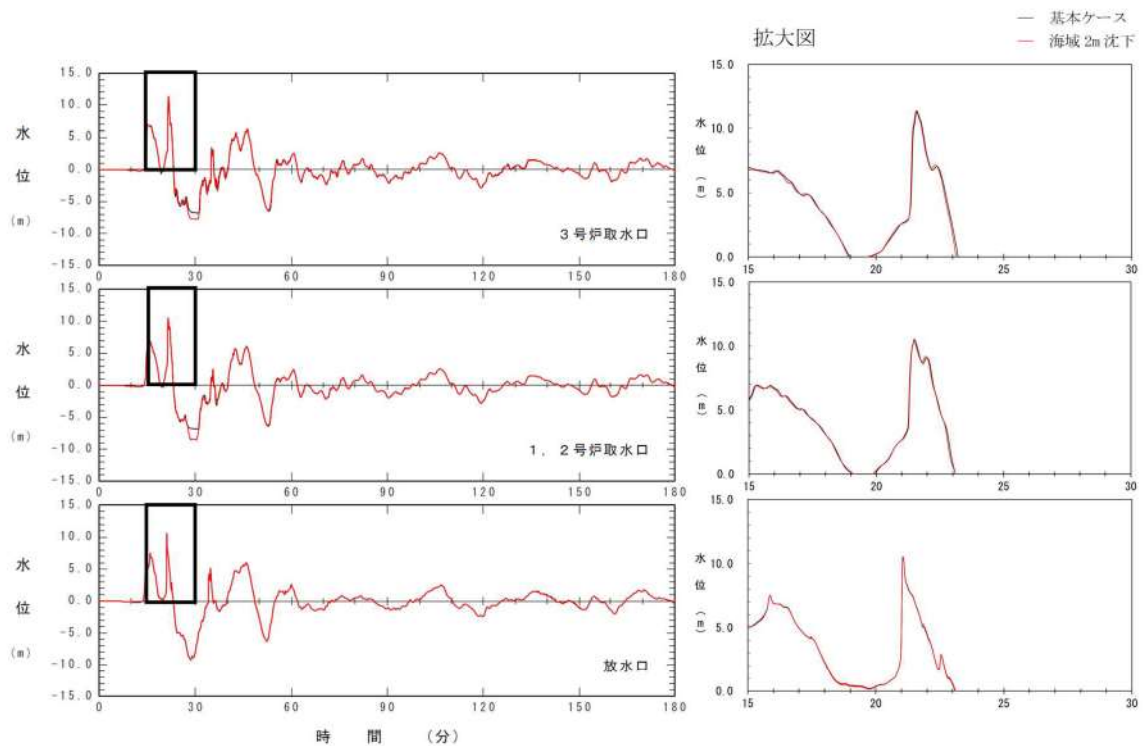


図 2.1.c.c-6 (16) 敷地（海域）の地盤変状の有無による水位時刻歴波形の比較（基準津波（波源D，北防波堤損傷））

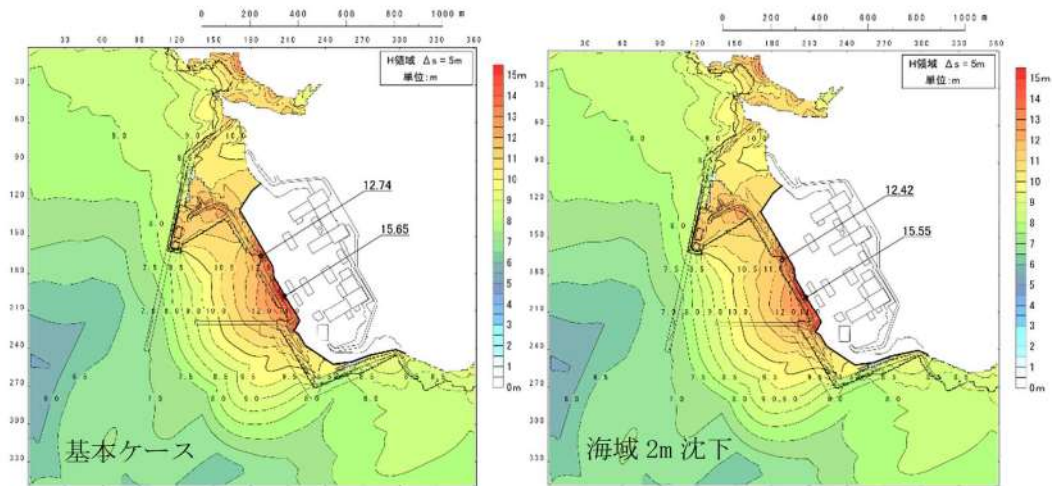


図 2.1.c.c-6 (17) 敷地（海域）の地盤変状の有無による最大水位上昇量分布の比較（基準津波（波源E，北及び南防波堤損傷））

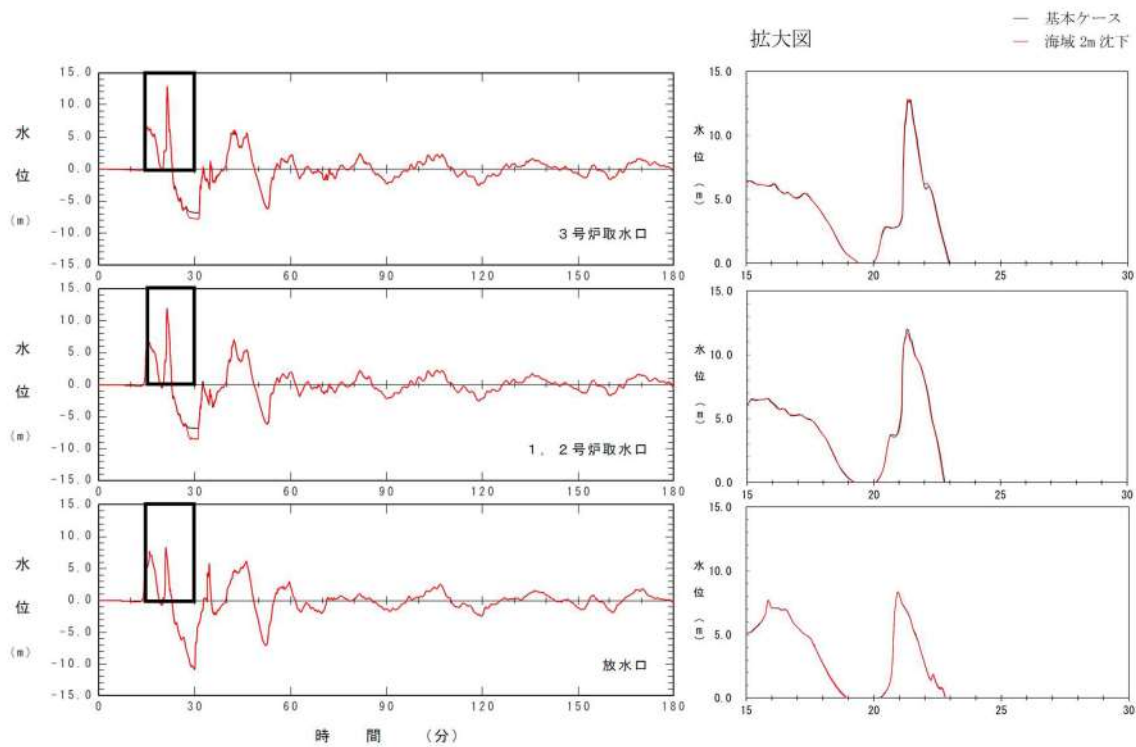


図 2.1.c.c-6 (18) 敷地（海域）の地盤変状の有無による水位時刻歴波形の比較（基準津波（波源E，北及び南防波堤損傷））

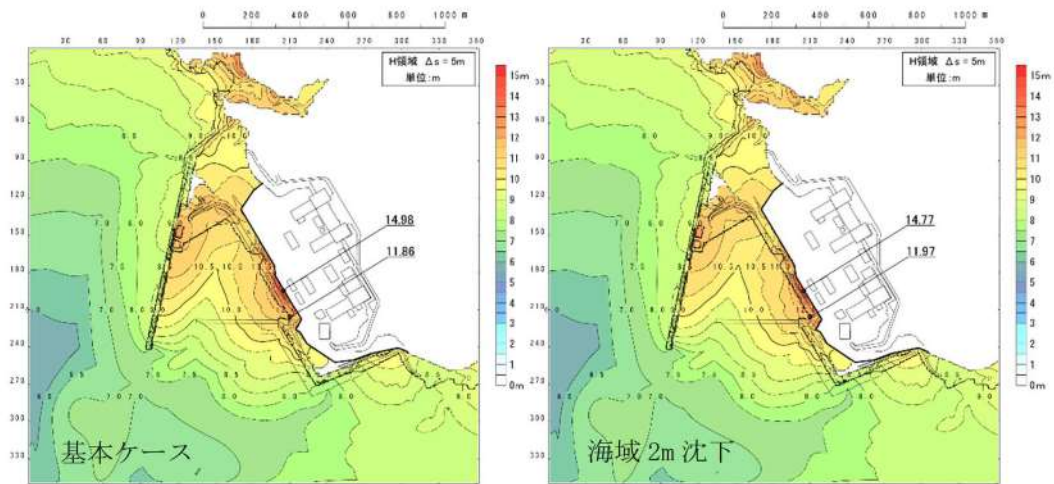


図 2.1.c.c-6 (19) 敷地(海域)の地盤変状の有無による最大水位上昇量分布の比較(基準津波(波源E, 南防波堤損傷))

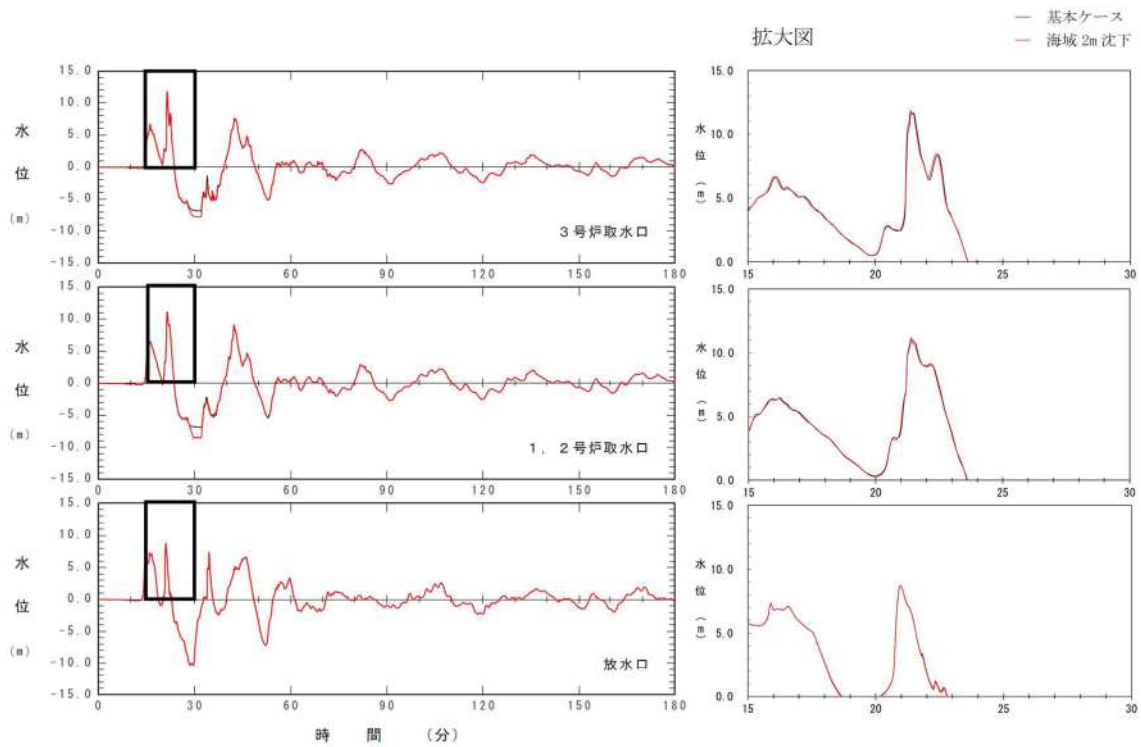


図 2.1.c.c-6 (20) 敷地(海域)の地盤変状の有無による水位時刻歴波形の比較(基準津波(波源E, 南防波堤損傷))



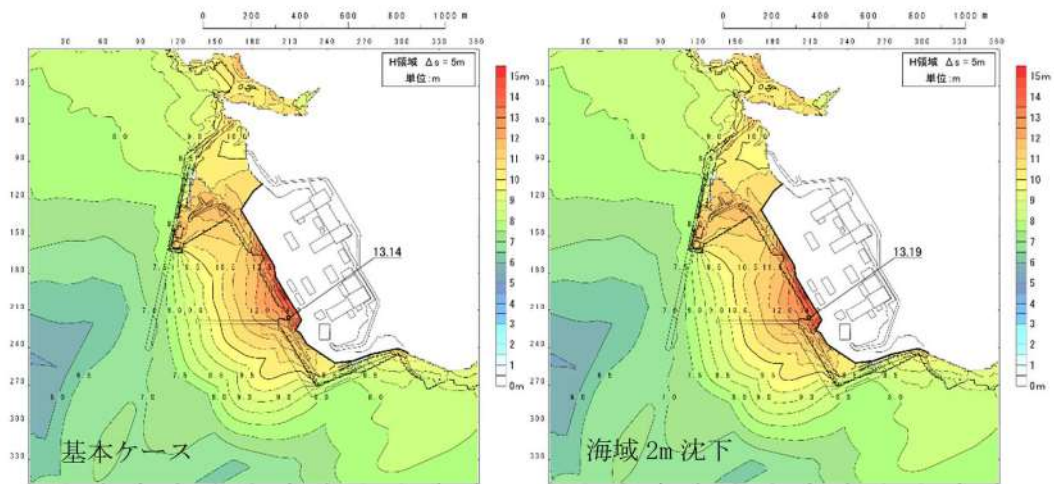


図 2.1.c.c-6 (21) 敷地（海域）の地盤変状の有無による最大水位上昇量分布の比較（基準津波（波源F，北及び南防波堤損傷））

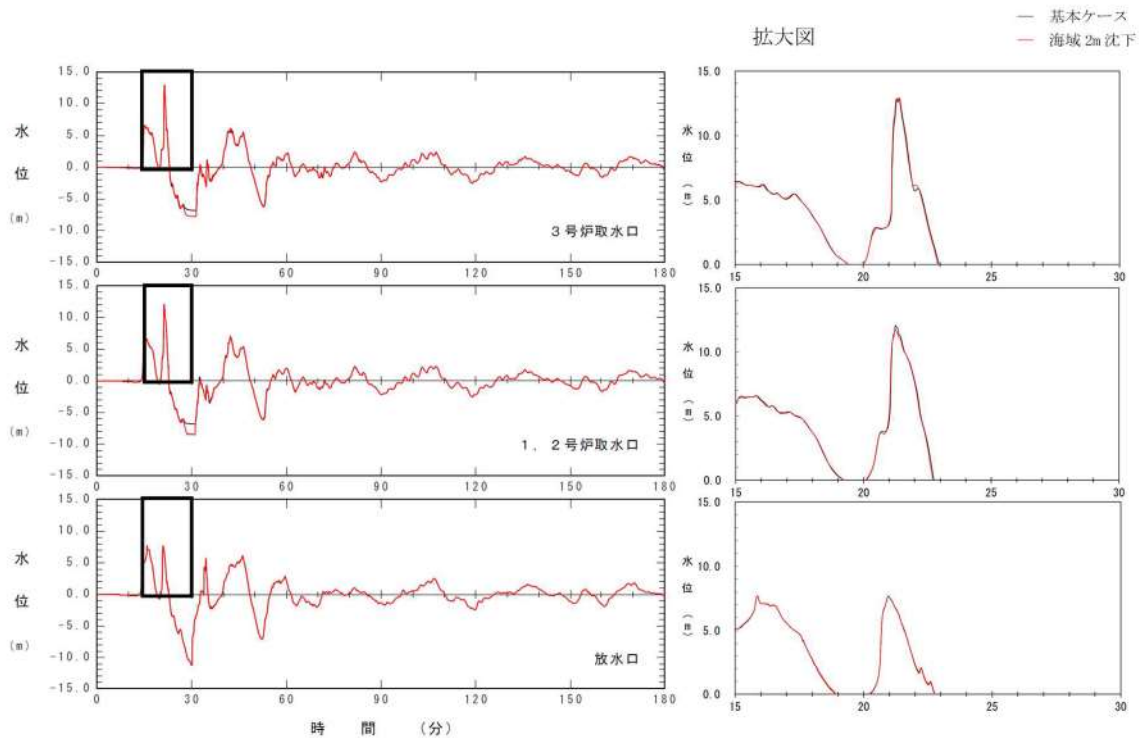


図 2.1.c.c-6 (22) 敷地（海域）の地盤変状の有無による水位時刻歴波形の比較（基準津波（波源F，北及び南防波堤損傷））

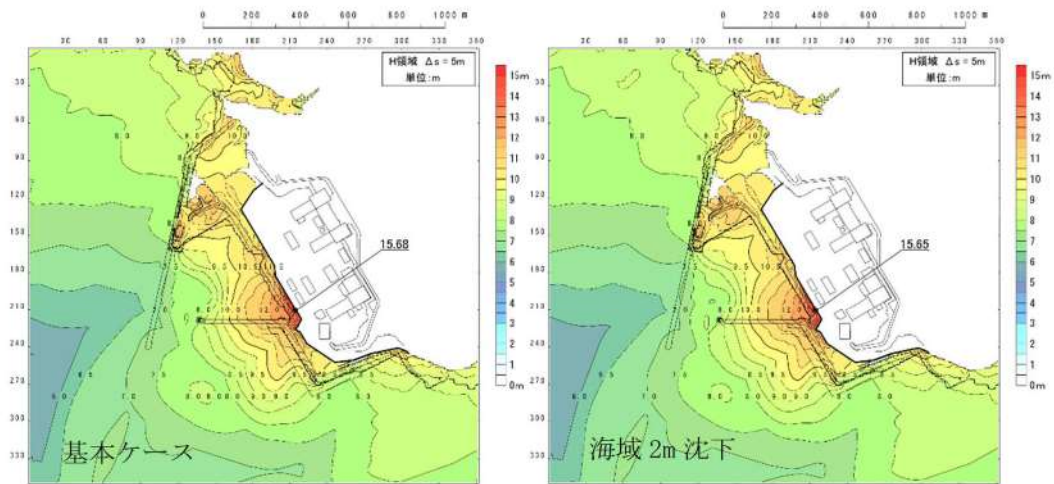


図 2.1.c.c-6 (23) 敷地（海域）の地盤変状の有無による最大水位上昇量分布の比較（基準津波（波源F，北防波堤損傷））

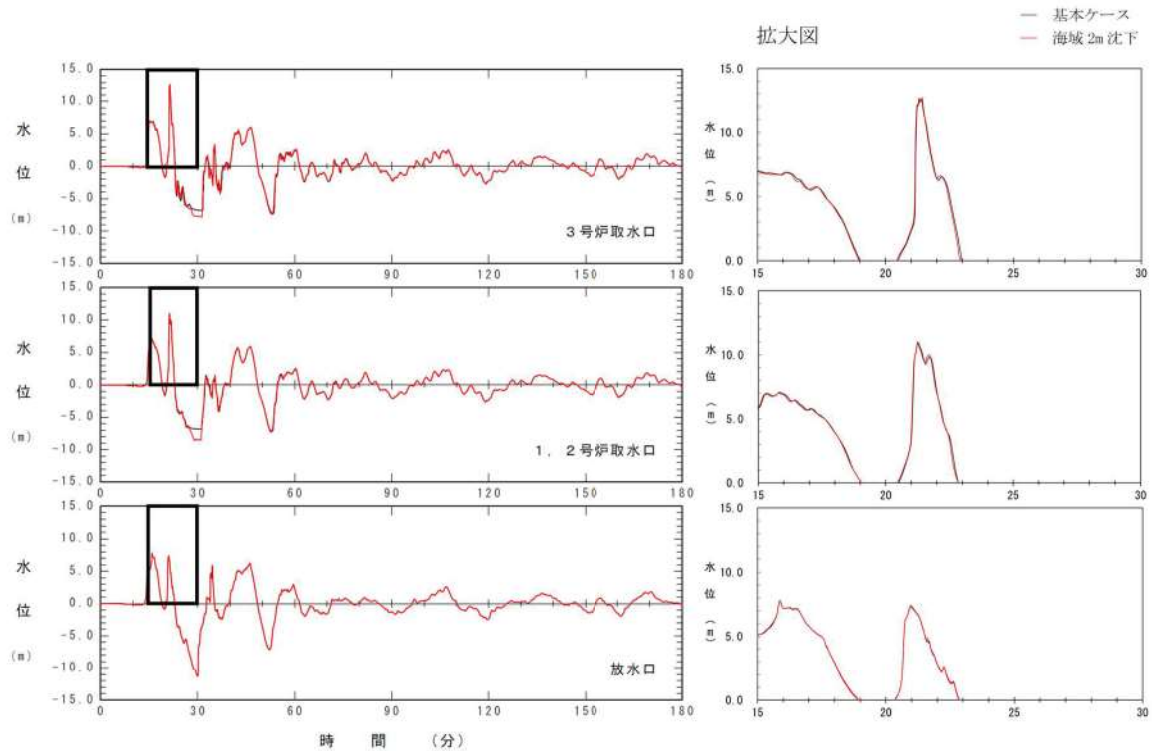


図 2.1.c.c-6 (24) 敷地（海域）の地盤変状の有無による水位時刻歴波形の比較（基準津波（波源F，北防波堤損傷））

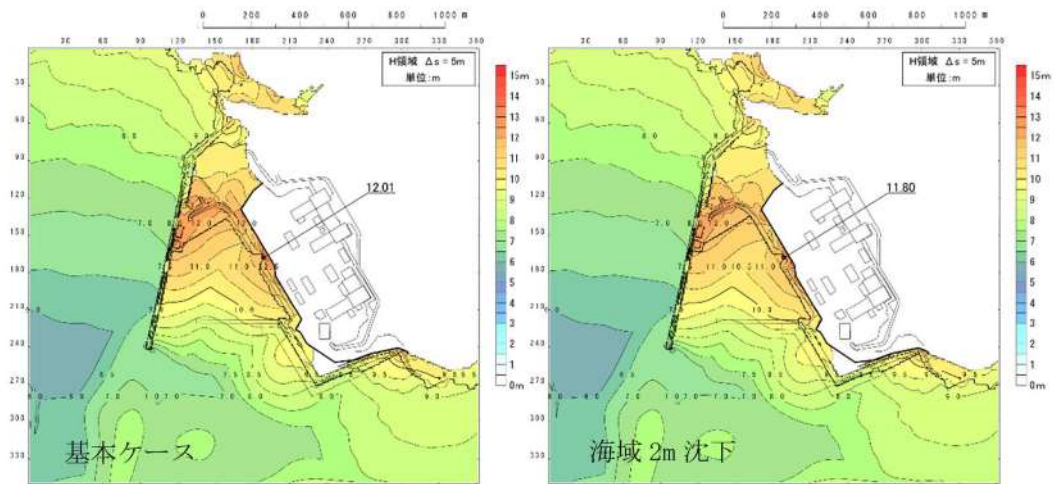


図 2.1.c.c-6 (25) 敷地（海域）の地盤変状の有無による最大水位上昇量分布の比較（基準津波（波源G，南防波堤損傷））

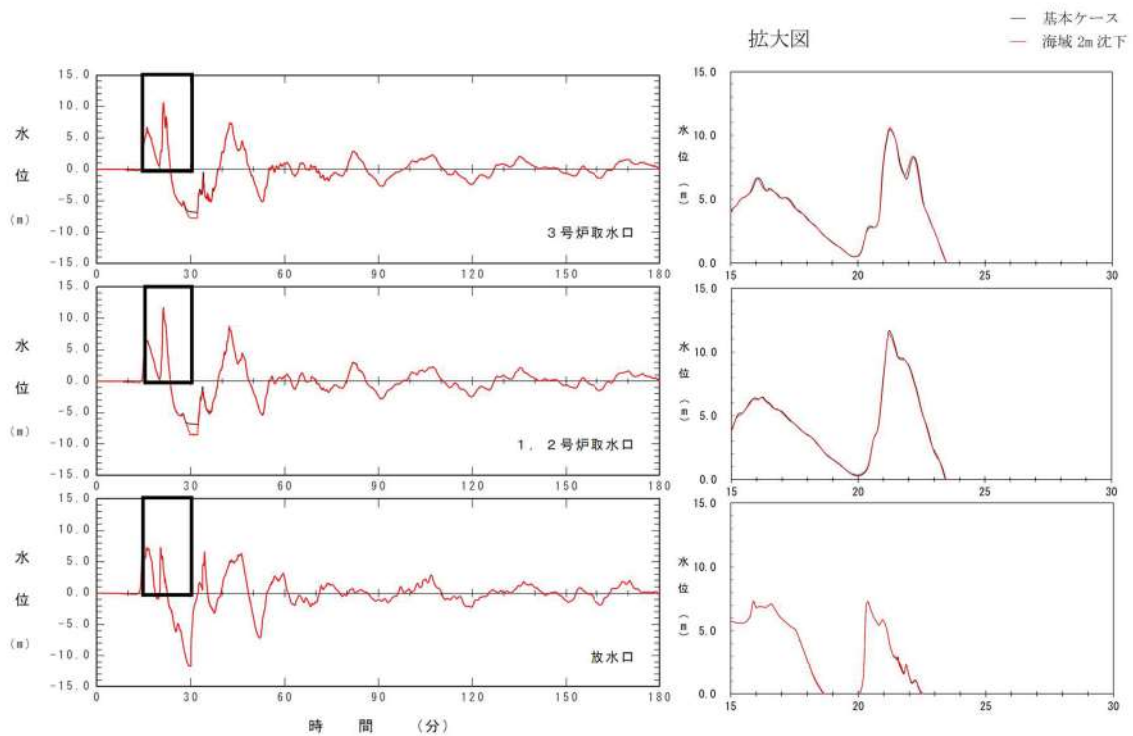


図 2.1.c.c-6 (26) 敷地（海域）の地盤変状の有無による水位時刻歴波形の比較（基準津波（波源G，南防波堤損傷））

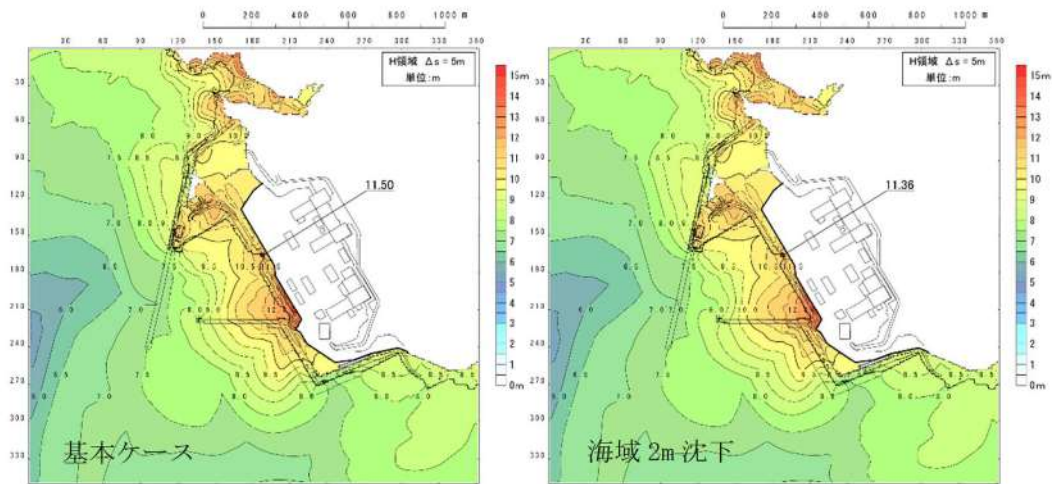


図 2.1.c.c-6 (27) 敷地（海域）の地盤変状の有無による最大水位上昇量分布の比較（基準津波（波源H，北防波堤損傷））

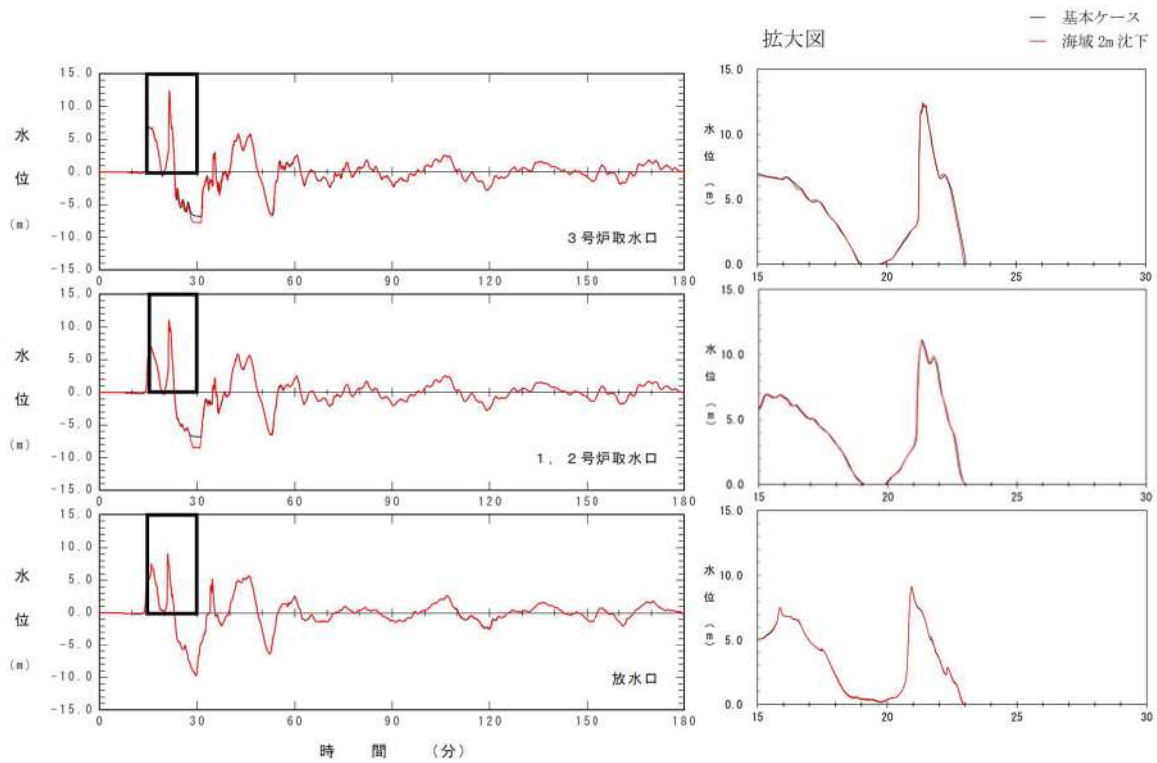


図 2.1.c.c-6 (28) 敷地（海域）の地盤変状の有無による水位時刻歴波形の比較（基準津波（波源H，北防波堤損傷））

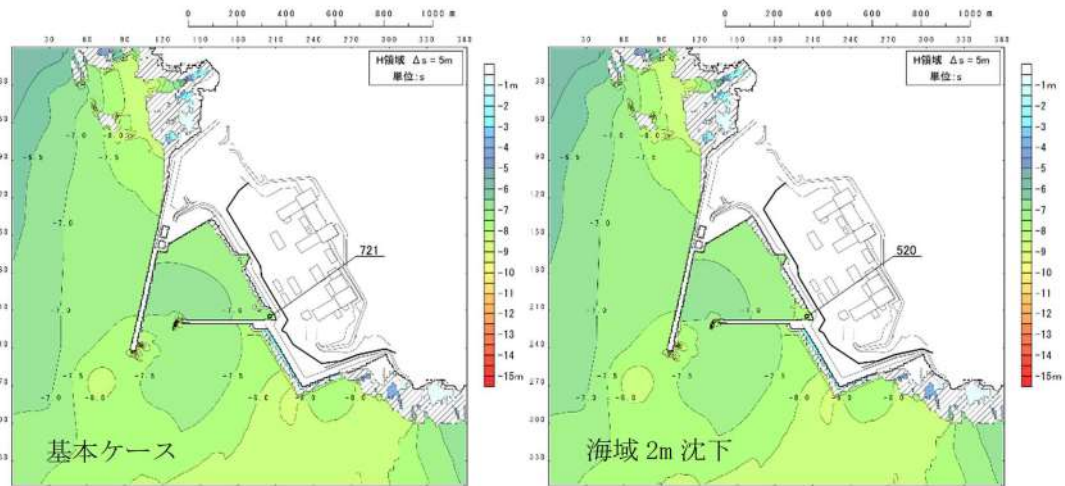


図 2.1.c.c-6 (29) 敷地 (海域) の地盤変状の有無による最大水位下降量分布の比較 (基準津波 (波源 I, 防波堤損傷なし) )

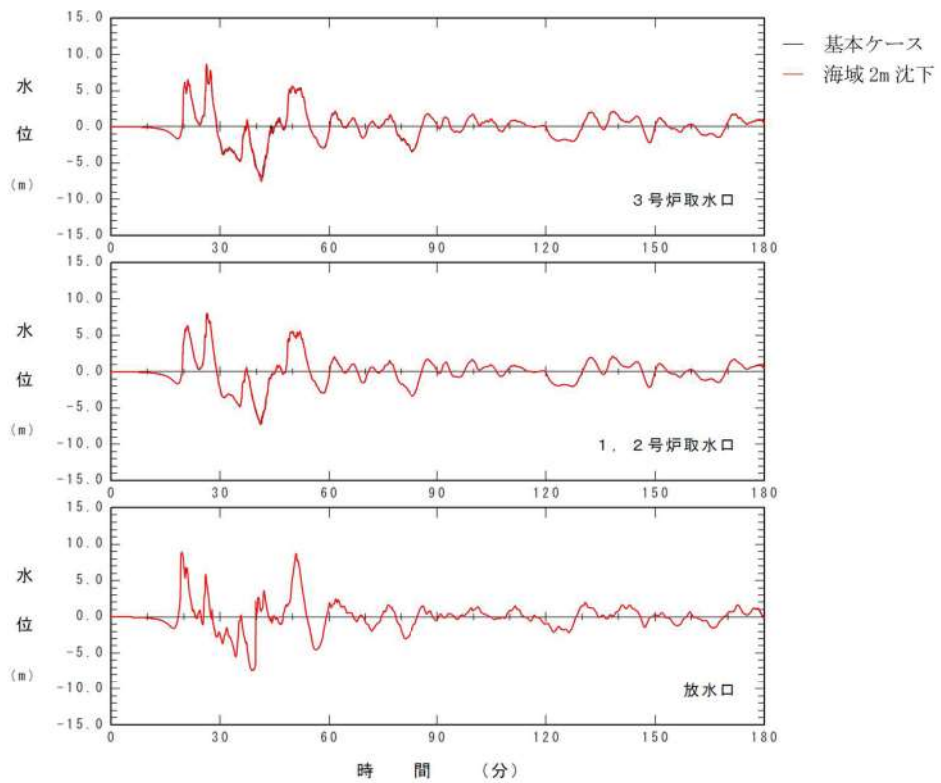


図 2.1.c.c-6 (30) 敷地 (海域) の地盤変状の有無による水位時刻歴波形の比較 (基準津波 (波源 I, 防波堤損傷なし) )

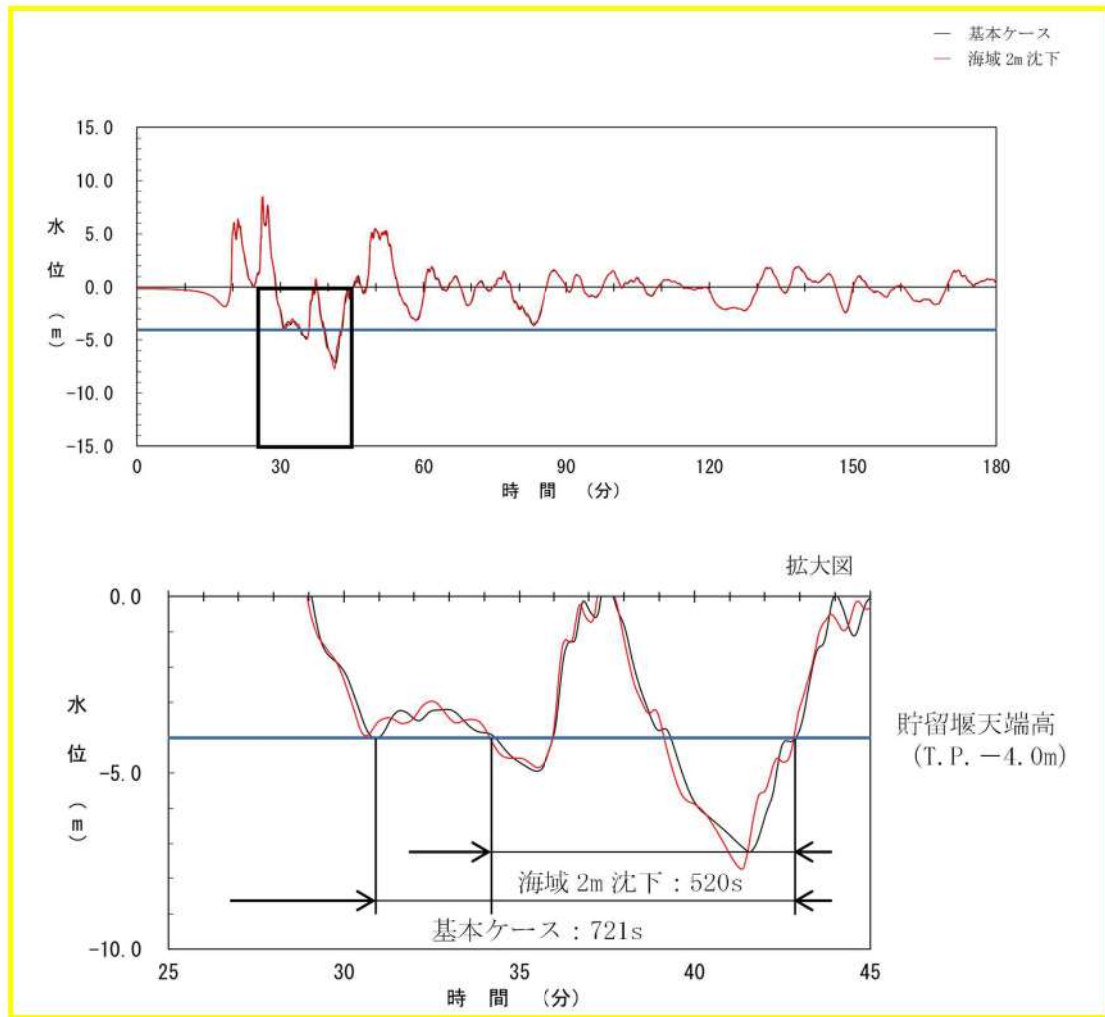


図 2. 1. c. c-6 (31) 敷地 (海域) の地盤変状の有無による保守性を考慮した時間の比較 (基準津波 (波源 I, 防波堤損傷なし))

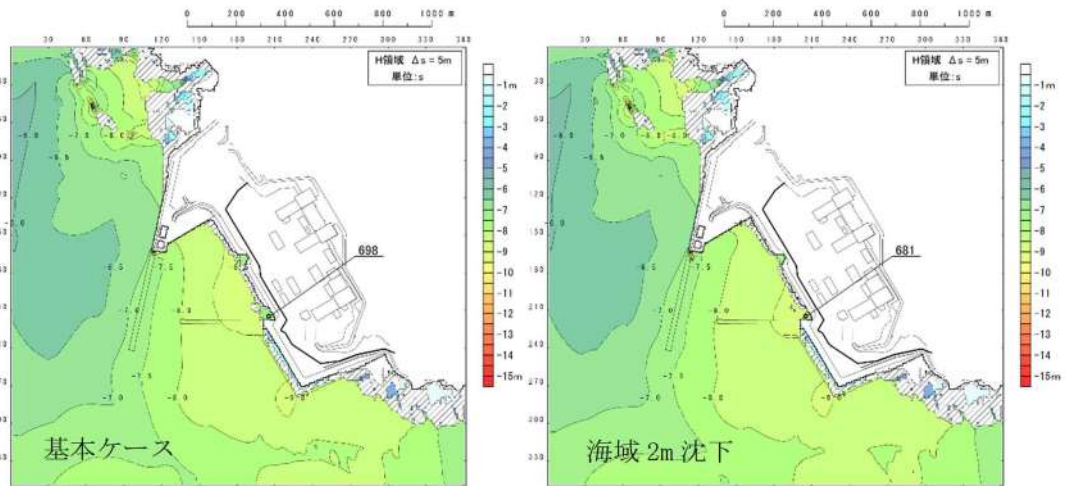


図 2.1.c.c-6 (32) 敷地 (海域) の地盤変状の有無による最大水位下降量分布の比較 (基準津波 (波源 J, 北及び南防波堤損傷))

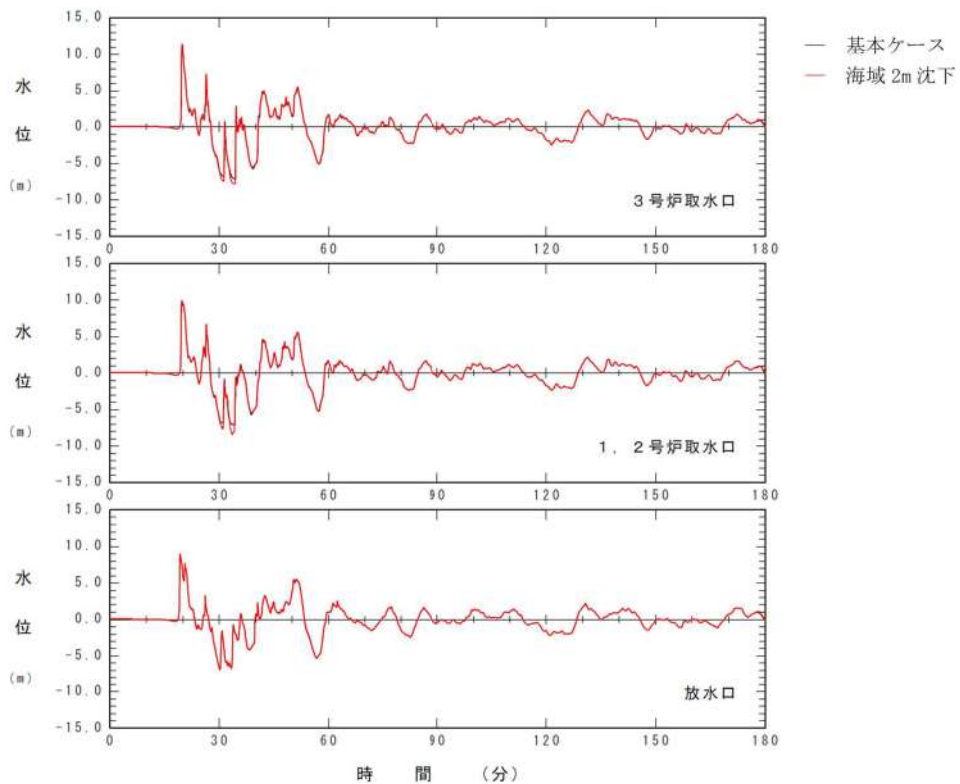


図 2.1.c.c-6 (33) 敷地 (海域) の地盤変状の有無による水位時刻歴波形の比較 (基準津波 (波源 J, 北及び南防波堤損傷))

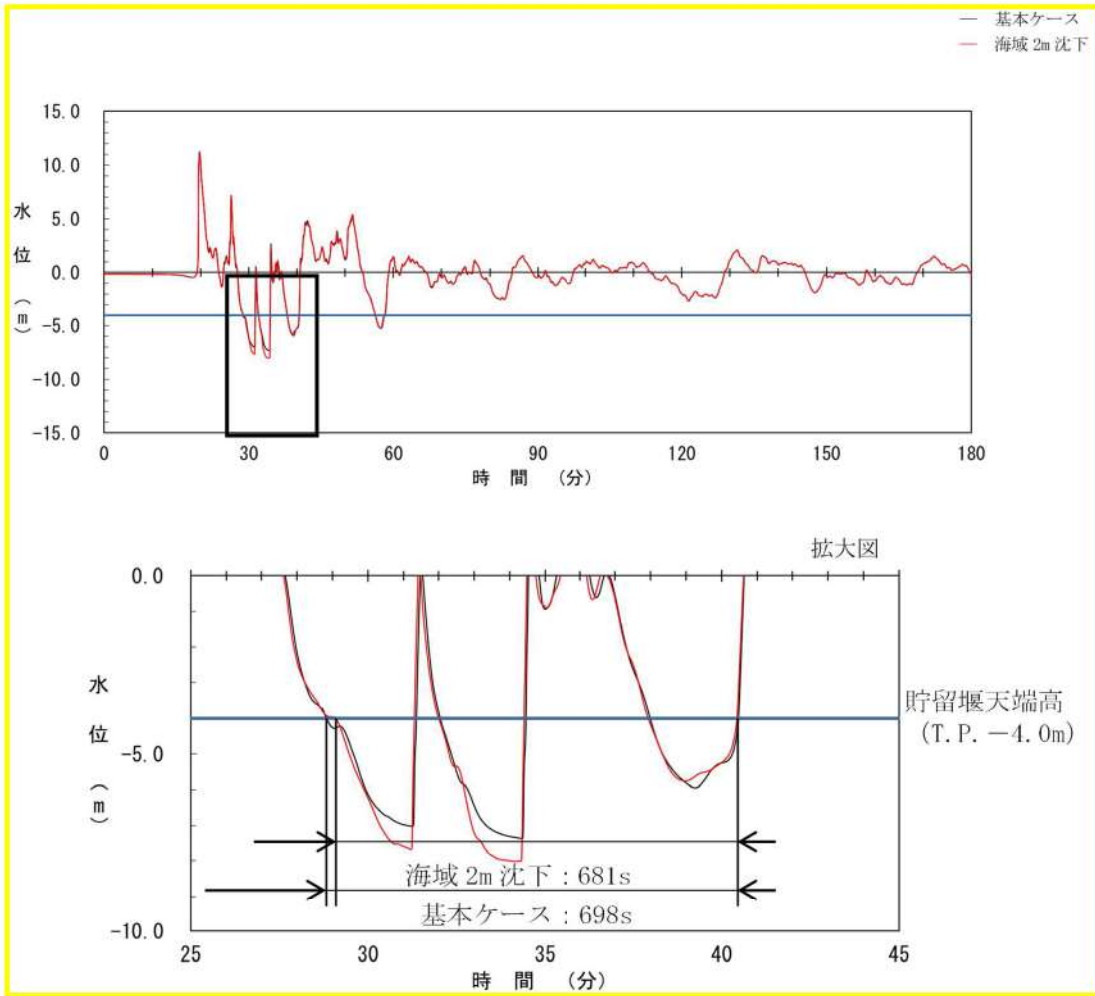


図 2. 1. c. c-6 (34) 敷地 (海域) の地盤変状の有無による保守性を考慮した時間の比較 (基準津波 (波源 J, 北及び南防波堤損傷))



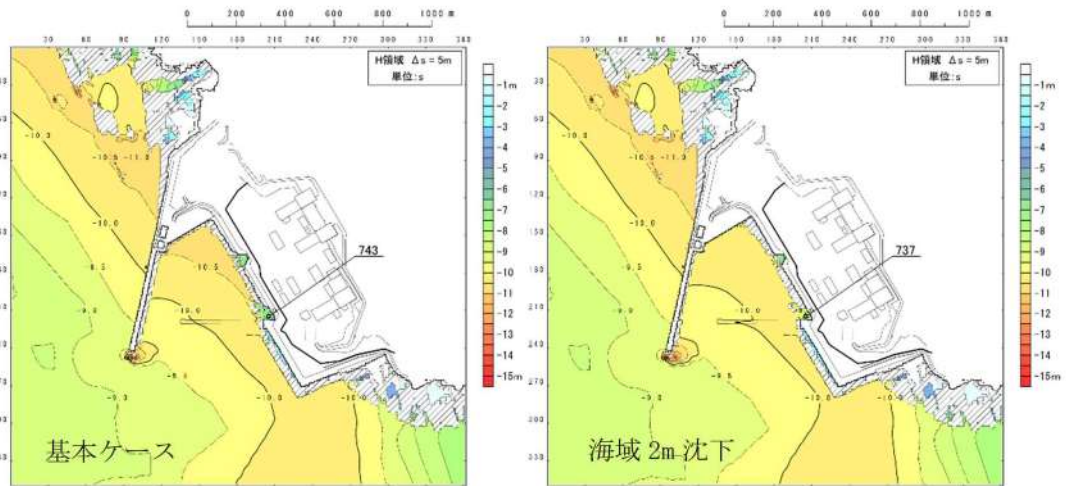


図 2.1.c.c-6 (35) 敷地（海域）の地盤変状の有無による最大水位下降量分布の比較（基準津波（波源K，南防波堤損傷））

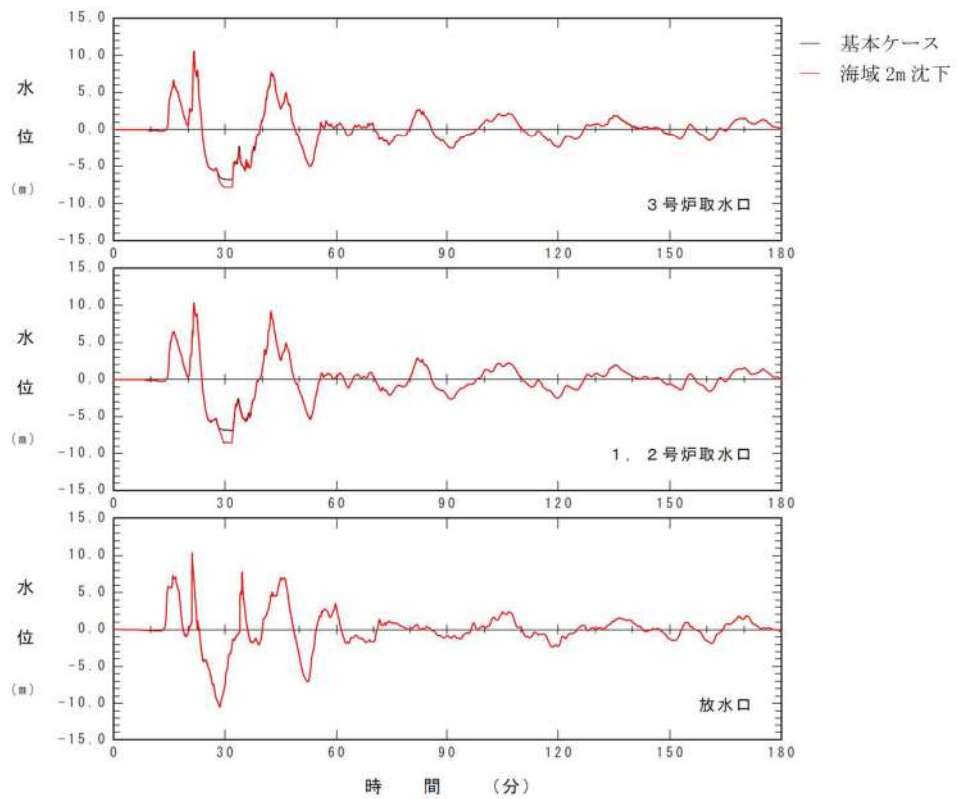


図 2.1.c.c-6 (36) 敷地（海域）の地盤変状の有無による水位時刻歴波形の比較（基準津波（波源K，南防波堤損傷））

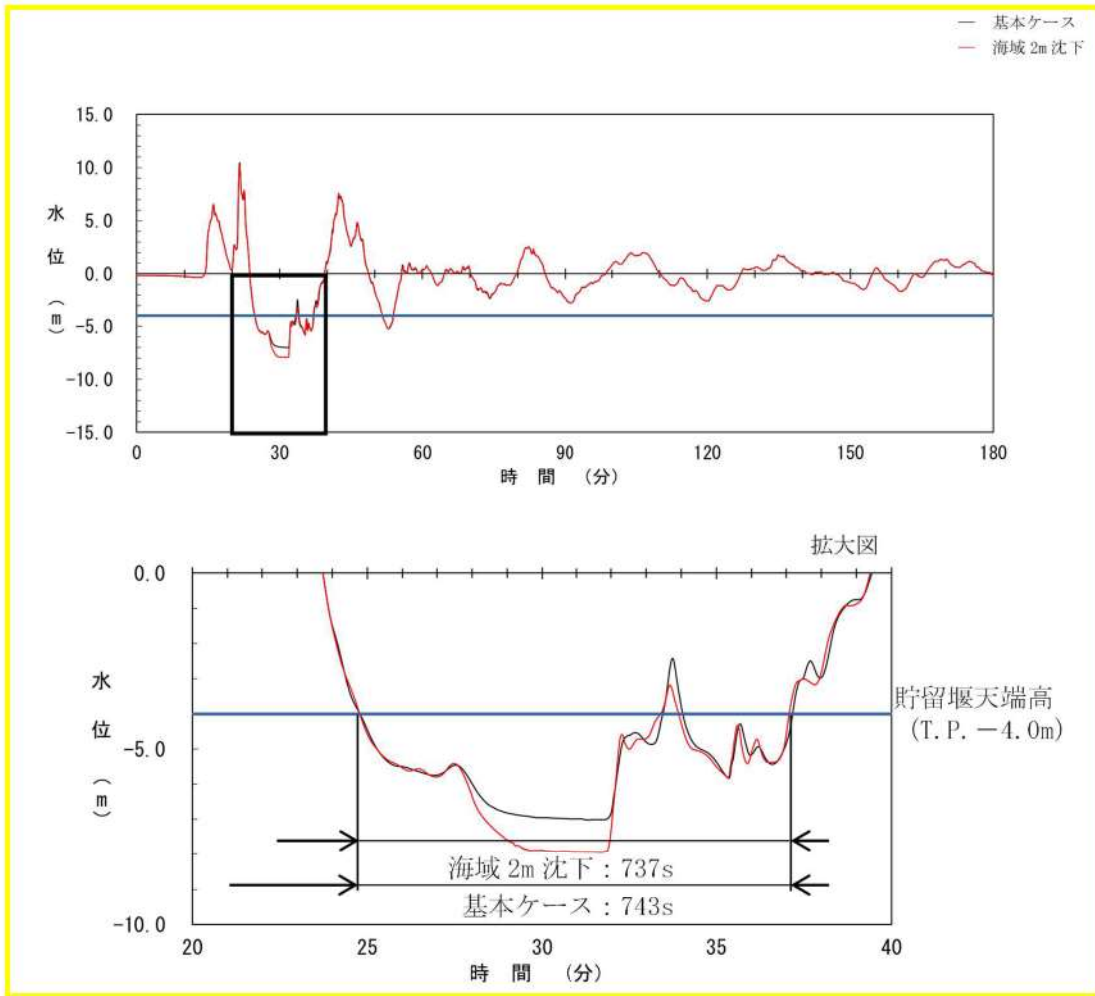


図 2. 1. c. c-6 (37) 敷地（海域）の地盤変状の有無による保守性を考慮した時間の比較（基準津波（波源Ⅰ，南防波堤損傷））

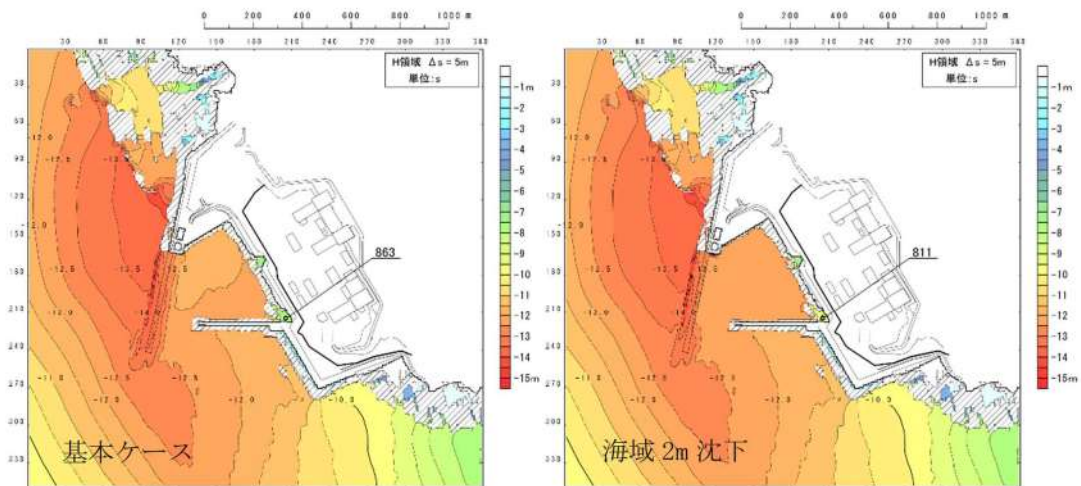


図 2.1.c.c-6 (38) 敷地（海域）の地盤変状の有無による最大水位下降量分布の比較（基準津波（波源L，北防波堤損傷））

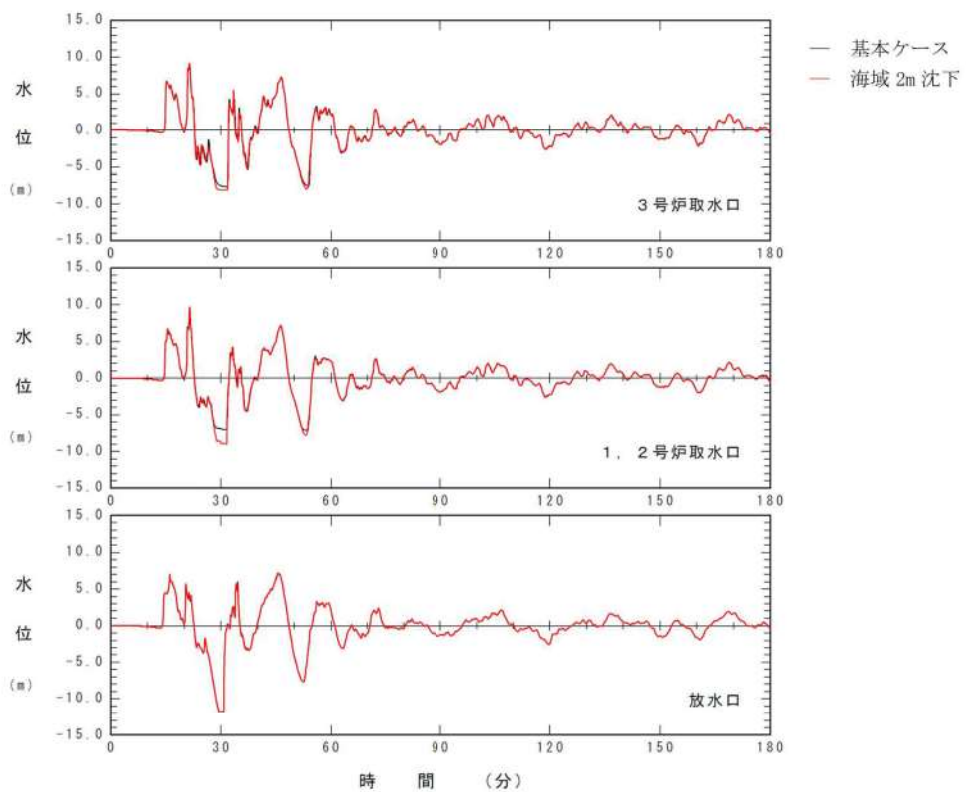


図 2.1.c.c-6 (39) 敷地（海域）の地盤変状の有無による水位時刻歴波形の比較（基準津波（波源L，北防波堤損傷））

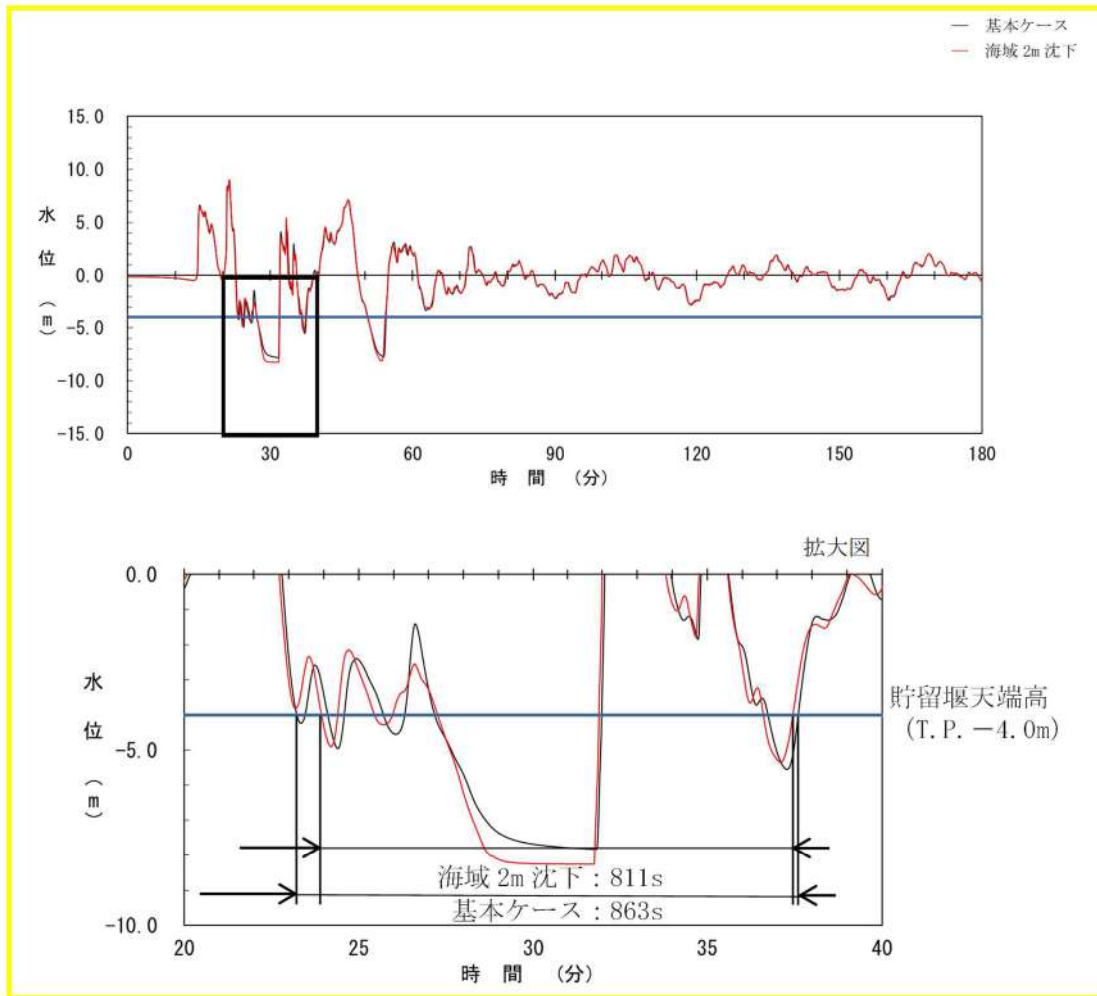


図 2. 1. c. c-6 (40) 敷地 (海域) の地盤変状の有無による保守性を考慮した時間の比較 (基準津波 (波源 L, 北防波堤損傷))

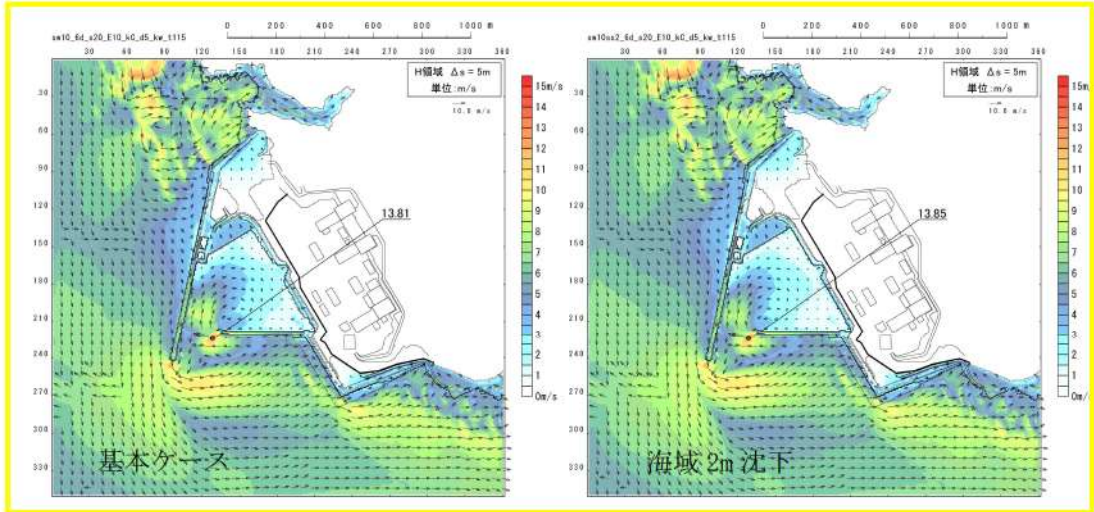


図 2. 1. c. c-6 (41) 敷地（海域）の地盤変状の有無による最大流速分布の比較  
（基準津波（波源A，防波堤損傷なし））

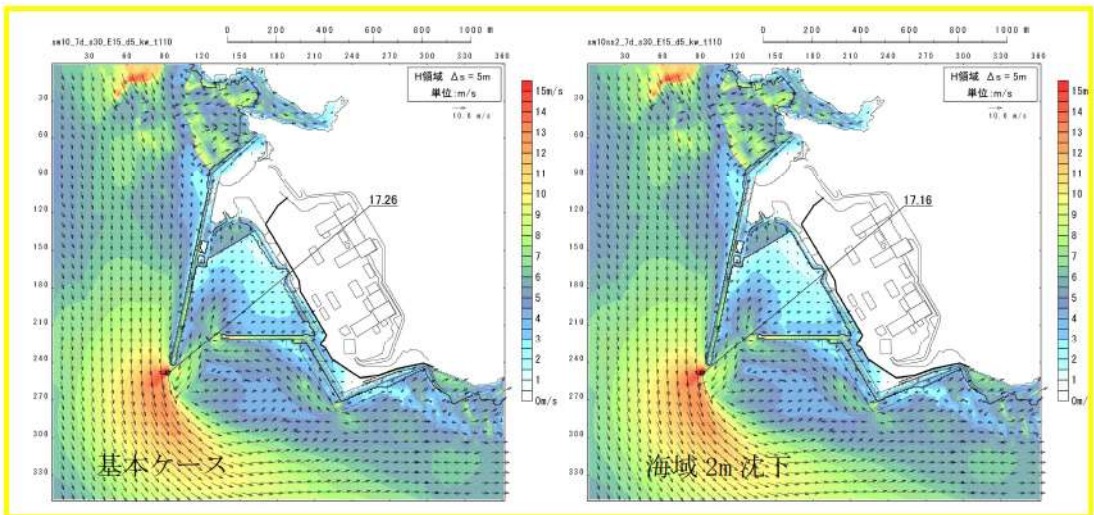


図 2. 1. c. c-6 (42) 敷地（海域）の地盤変状の有無による最大流速分布の比較  
（基準津波（波源B，防波堤損傷なし））

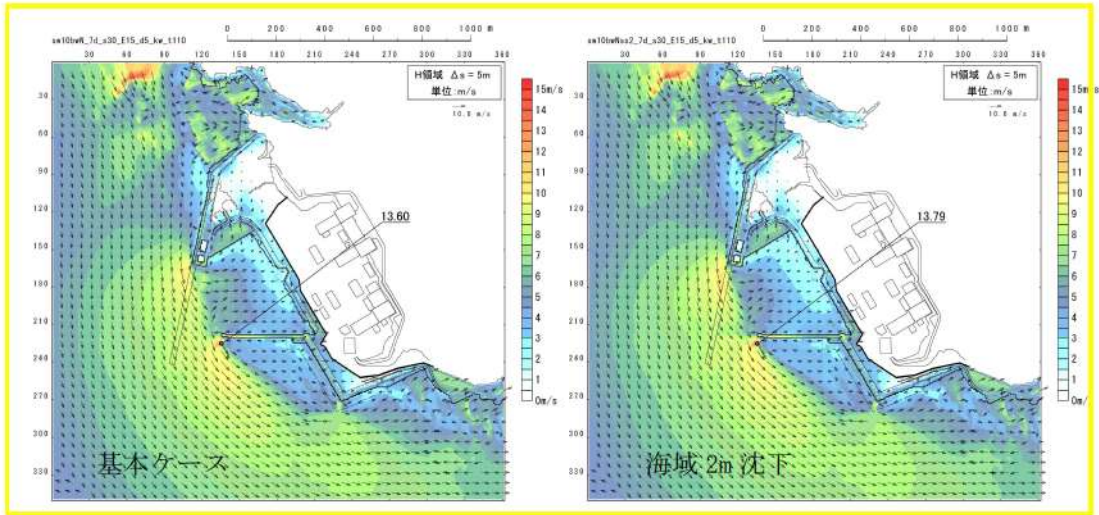


図 2. 1. c. c-6 (43) 敷地（海域）の地盤変状の有無による最大流速分布の比較（基準津波（波源 B，北防波堤損傷））

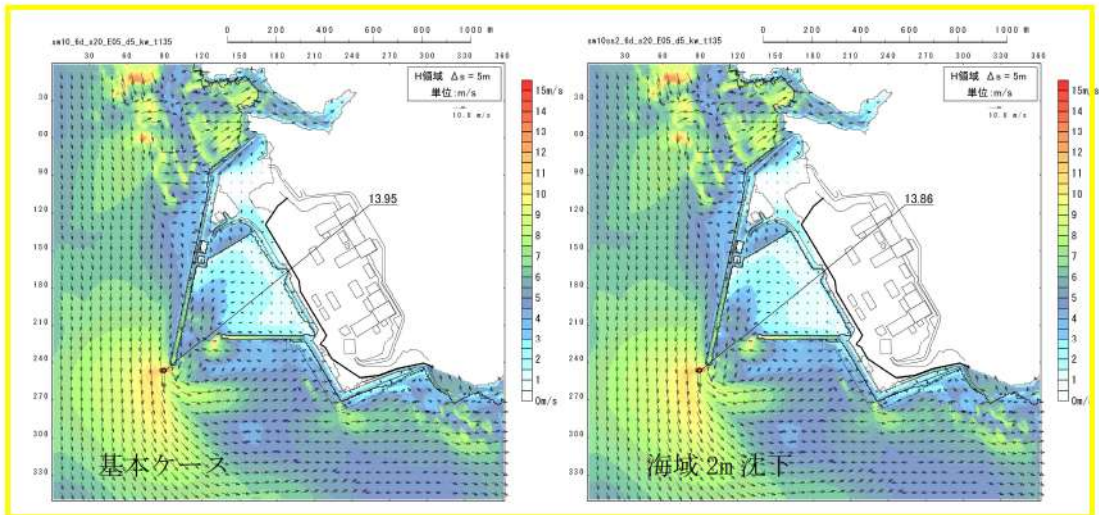


図 2. 1. c. c-6 (44) 敷地（海域）の地盤変状の有無による最大流速分布の比較（基準津波（波源 C，防波堤損傷なし））

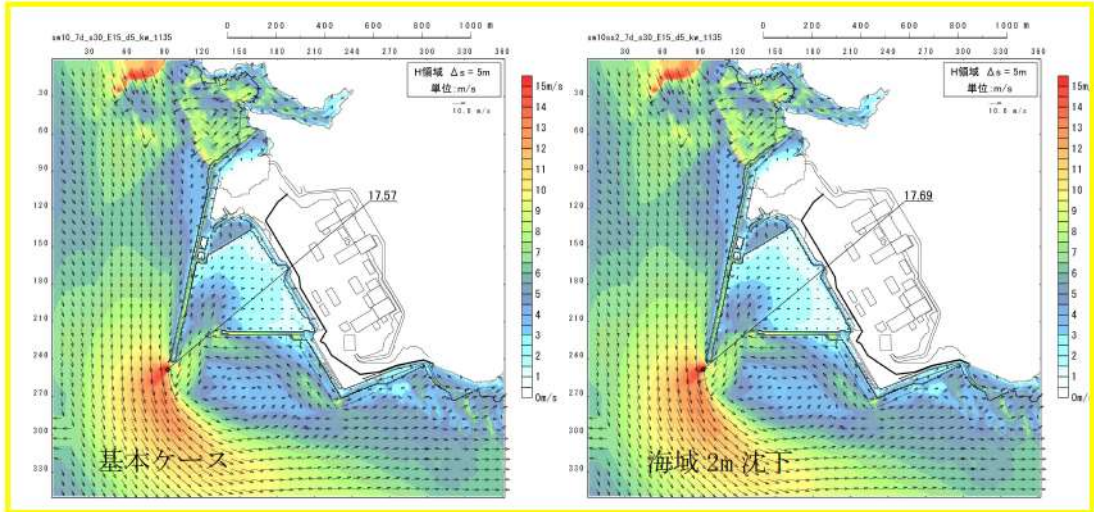


図 2. 1. c. c-6 (45) 敷地（海域）の地盤変状の有無による最大流速分布の比較  
 （基準津波（波源D，防波堤損傷なし））

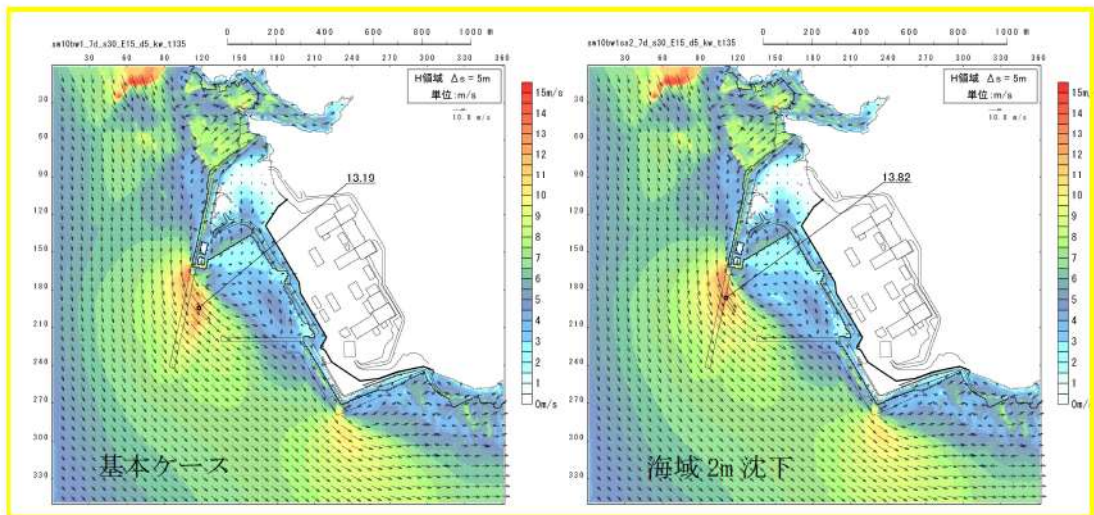


図 2. 1. c. c-6 (46) 敷地（海域）の地盤変状の有無による最大流速分布の比較  
 （基準津波（波源D，北及び南防波堤損傷））

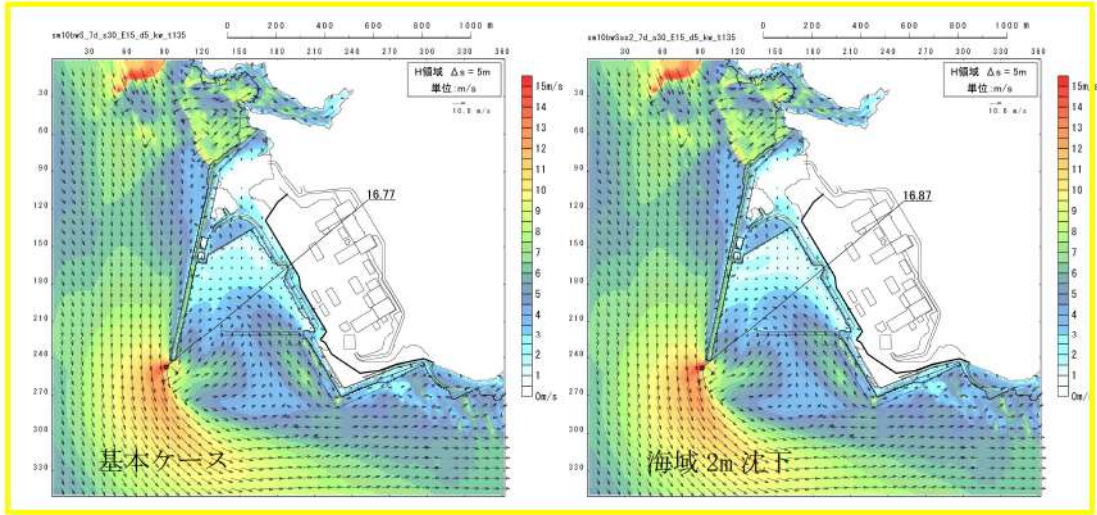


図 2. 1. c. c-6 (47) 敷地（海域）の地盤変状の有無による最大流速分布の比較（基準津波（波源D，南防波堤損傷））

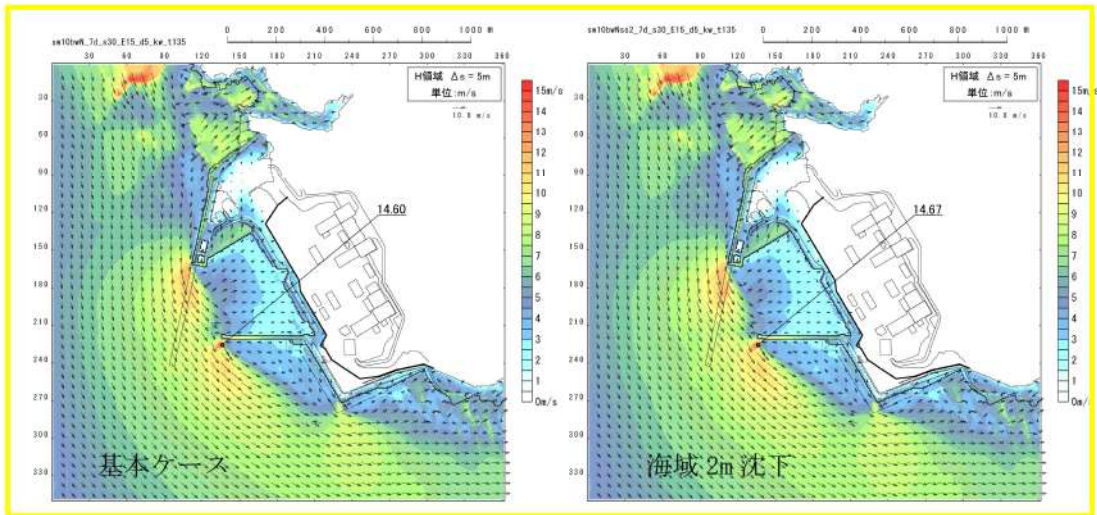


図 2. 1. c. c-6 (48) 敷地（海域）の地盤変状の有無による最大流速分布の比較（基準津波（波源D，北防波堤損傷））



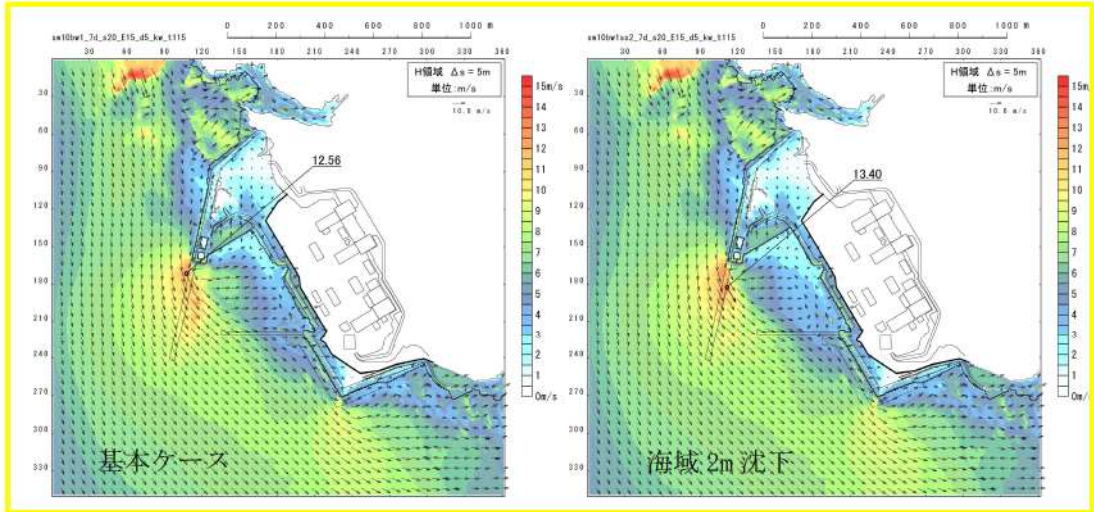


図 2. 1. c. c-6 (49) 敷地（海域）の地盤変状の有無による最大流速分布の比較  
 （基準津波（波源E，北及び南防波堤損傷））

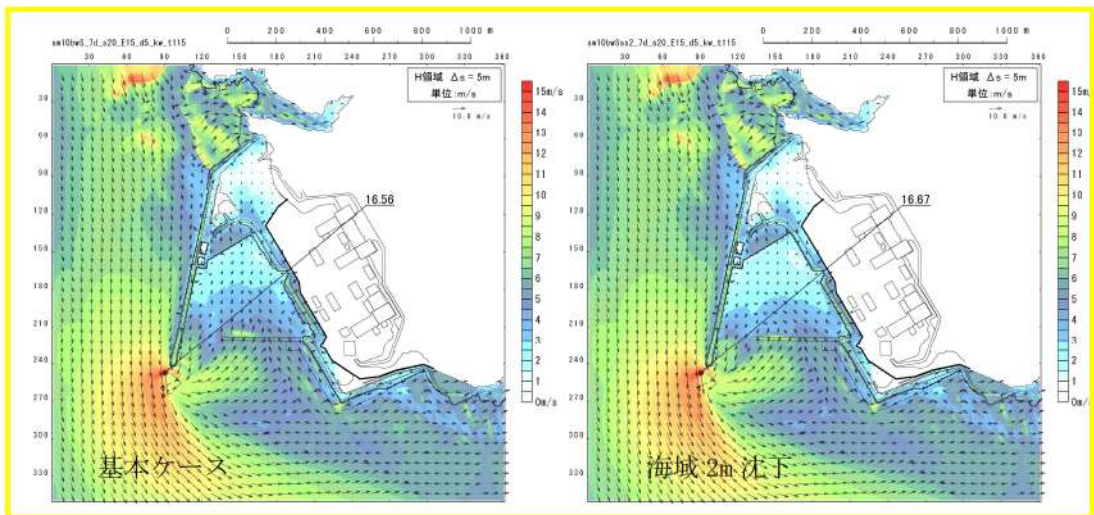


図 2. 1. c. c-6 (50) 敷地（海域）の地盤変状の有無による最大流速分布の比較  
 （基準津波（波源E，南防波堤損傷））

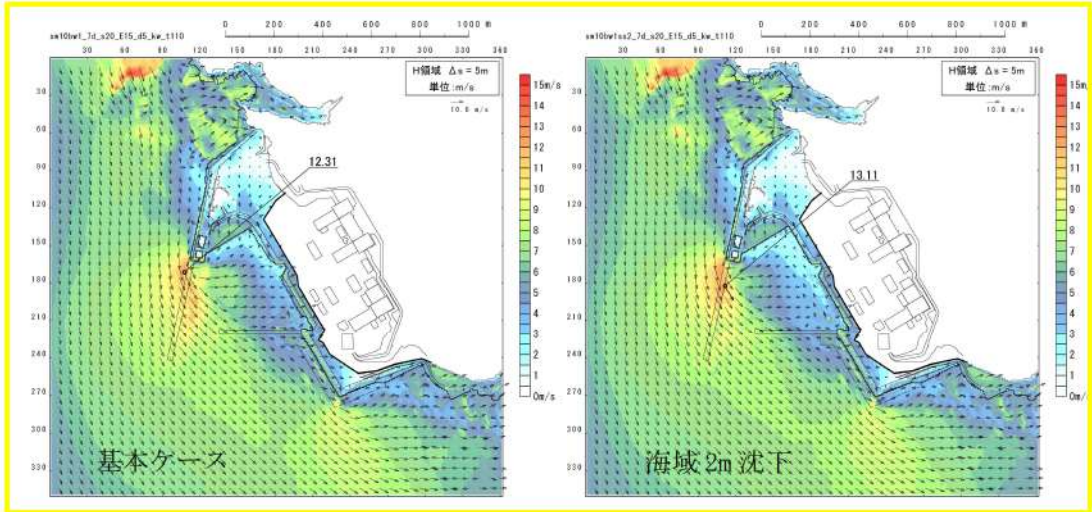


図 2. 1. c. c-6 (51) 敷地（海域）の地盤変状の有無による最大流速分布の比較  
（基準津波（波源 F，北及び南防波堤損傷））

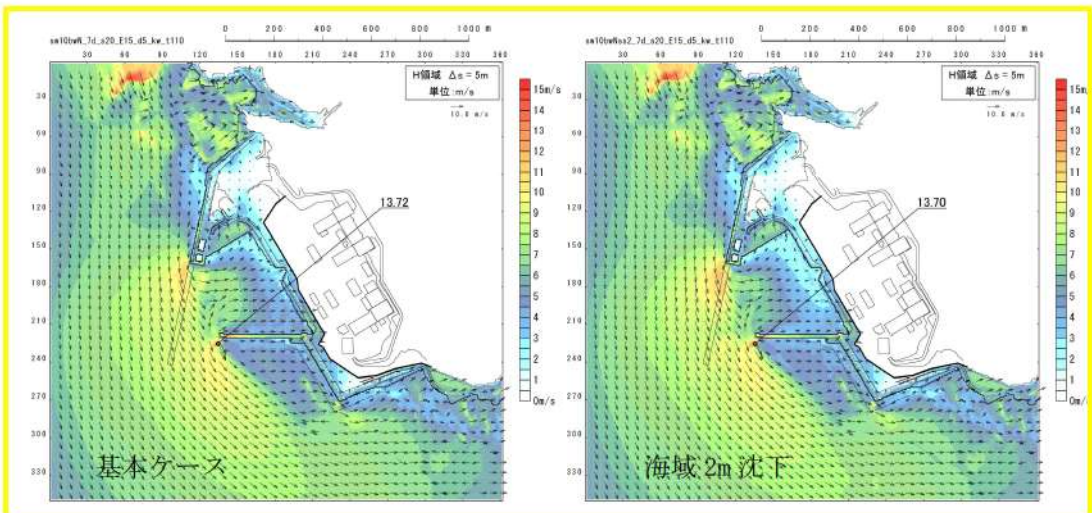


図 2. 1. c. c-6 (52) 敷地（海域）の地盤変状の有無による最大流速分布の比較  
（基準津波（波源 F，北防波堤損傷））

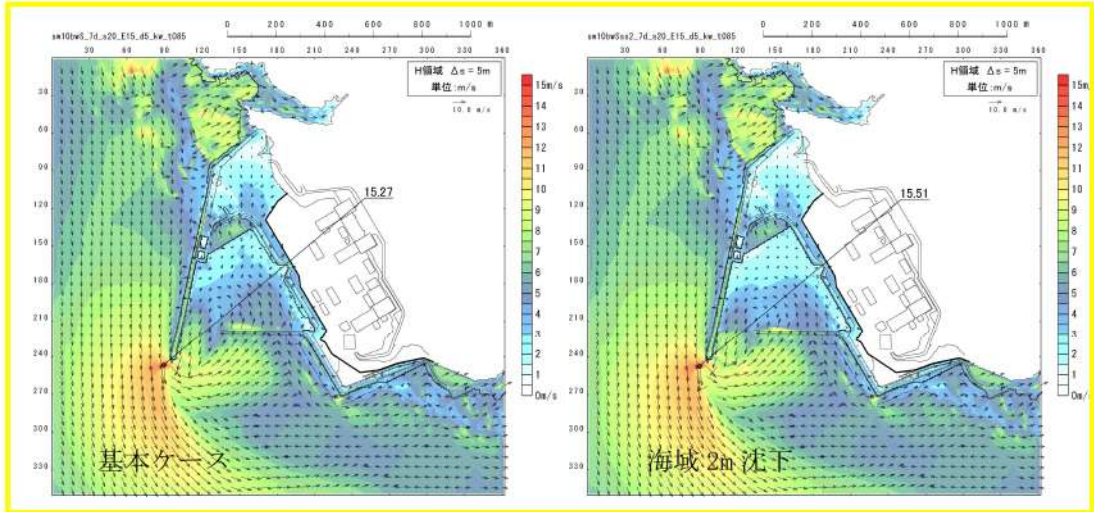


図 2. 1. c. c-6 (53) 敷地（海域）の地盤変状の有無による最大流速分布の比較  
（基準津波（波源G，南防波堤損傷））

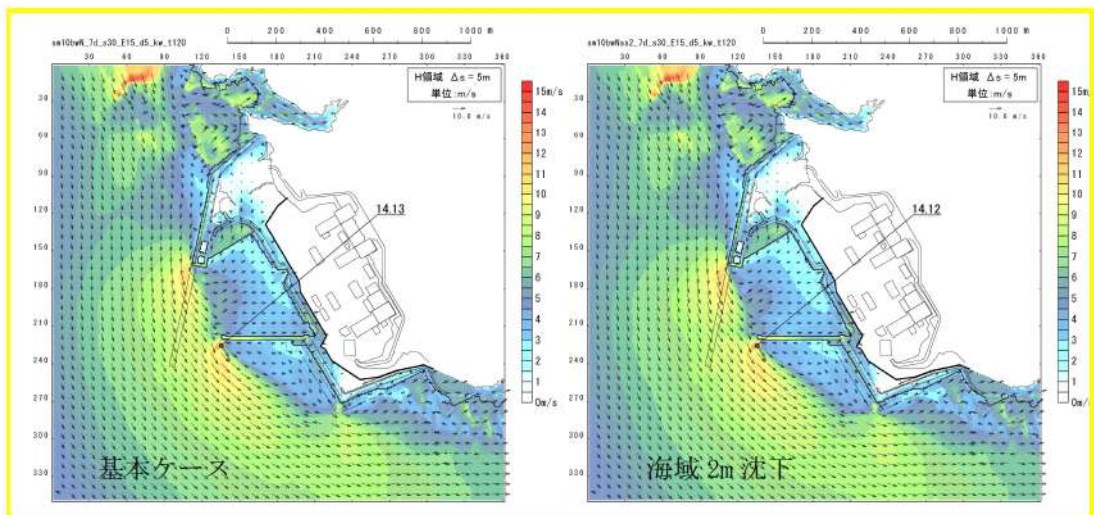


図 2. 1. c. c-6 (54) 敷地（海域）の地盤変状の有無による最大流速分布の比較  
（基準津波（波源H，北防波堤損傷））

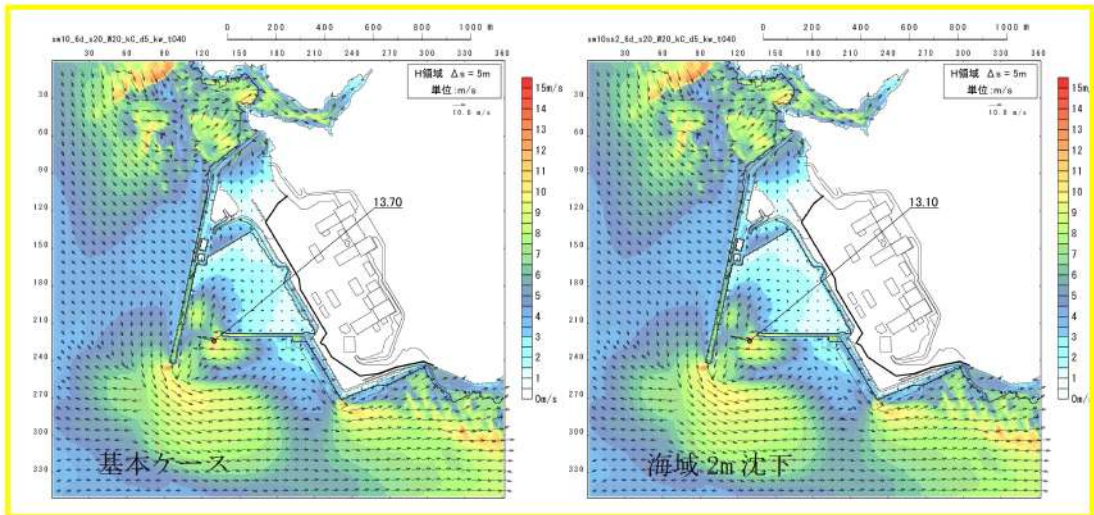


図 2. 1. c. c-6 (55) 敷地（海域）の地盤変状の有無による最大流速分布の比較  
（基準津波（波源 I，防波堤損傷なし））

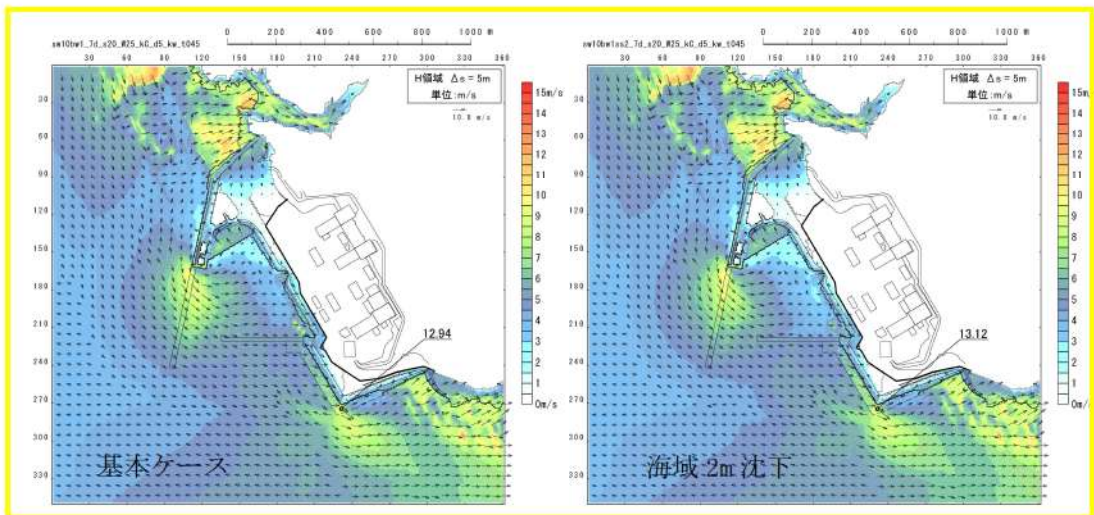


図 2. 1. c. c-6 (56) 敷地（海域）の地盤変状の有無による最大流速分布の比較  
（基準津波（波源 J，北及び南防波堤損傷））

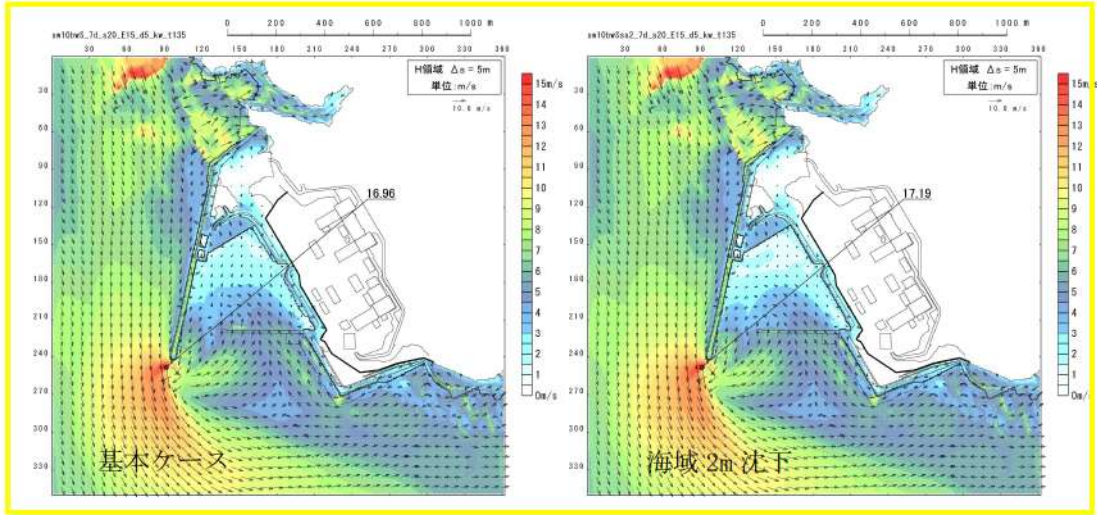


図 2. 1. c. c-6 (57) 敷地（海域）の地盤変状の有無による最大流速分布の比較（基準津波（波源K，南防波堤損傷））

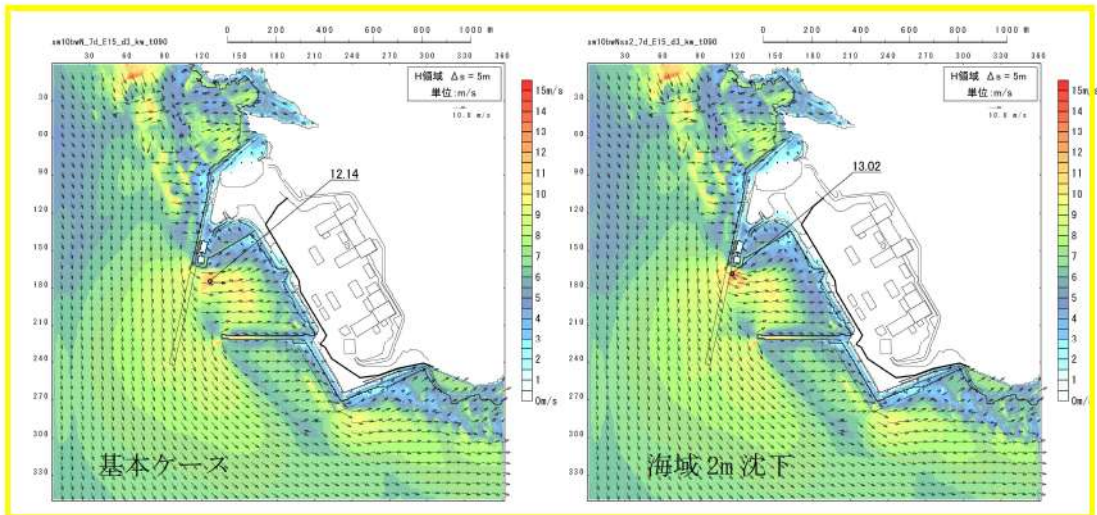


図 2. 1. c. c-6 (58) 敷地（海域）の地盤変状の有無による最大流速分布の比較（基準津波（波源L，北防波堤損傷））

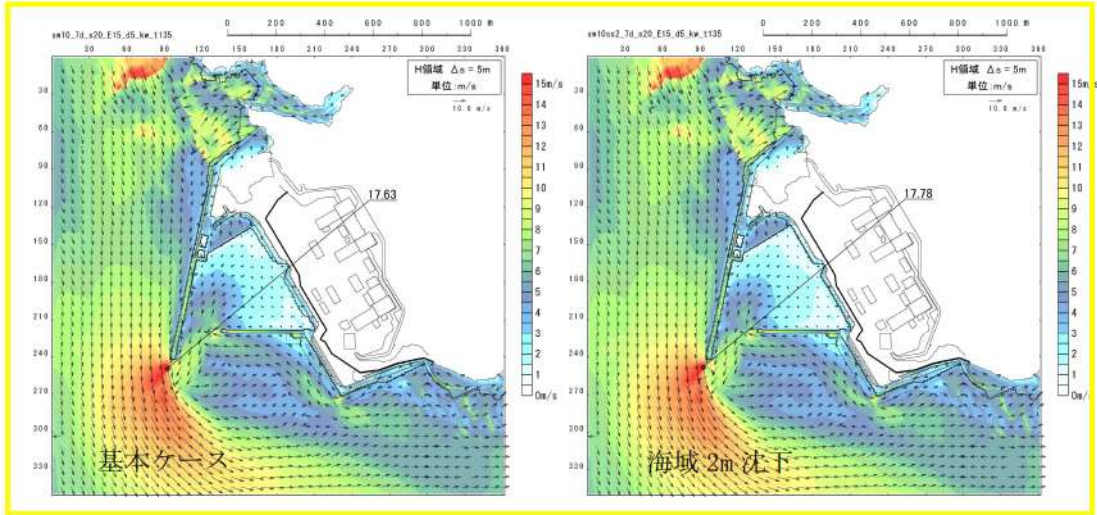


図 2. 1. c. c-6 (59) 敷地 (海域) の地盤変状の有無による最大流速分布の比較  
(最大流速波源 (波源K, 防波堤損傷なし))

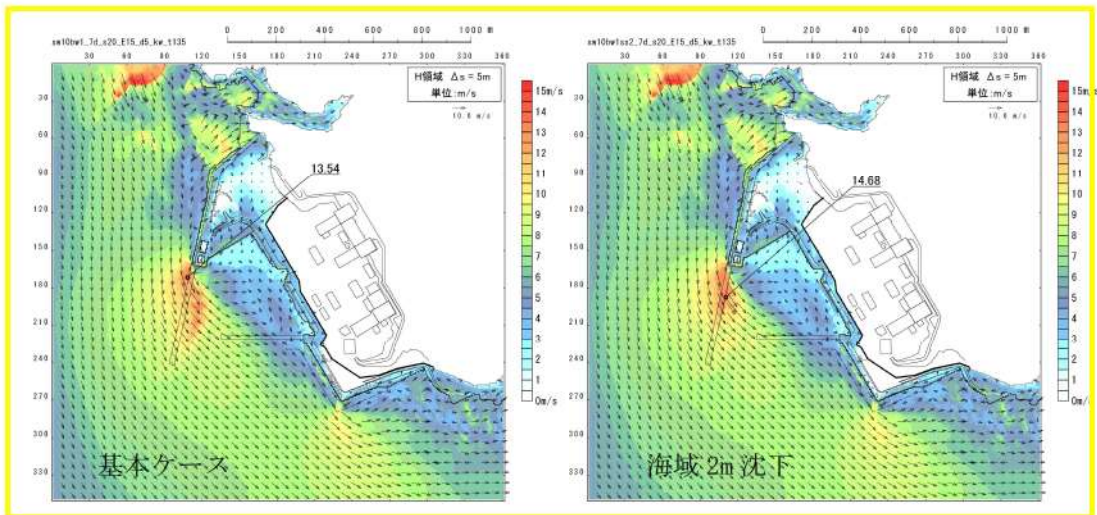
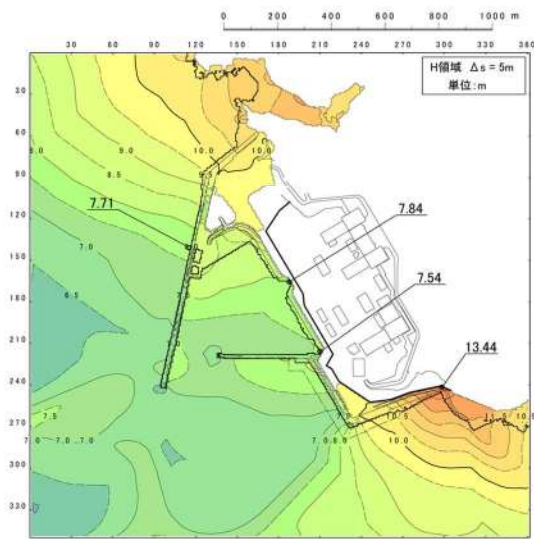
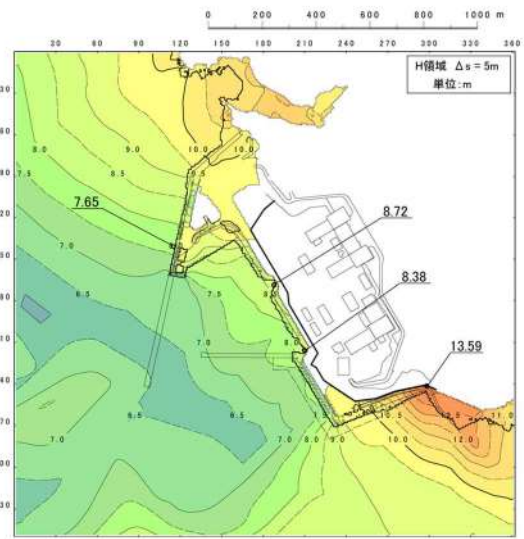


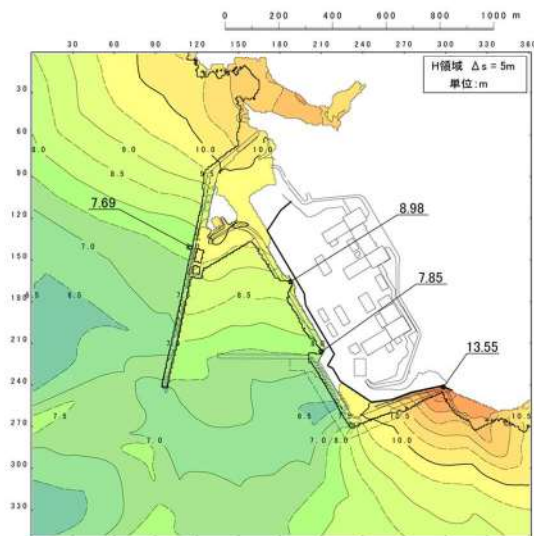
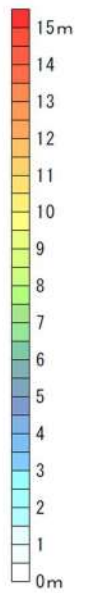
図 2. 1. c. c-6 (60) 敷地 (海域) の地盤変状の有無による最大流速分布の比較  
(最大流速波源 (波源K, 北及び南防波堤損傷))



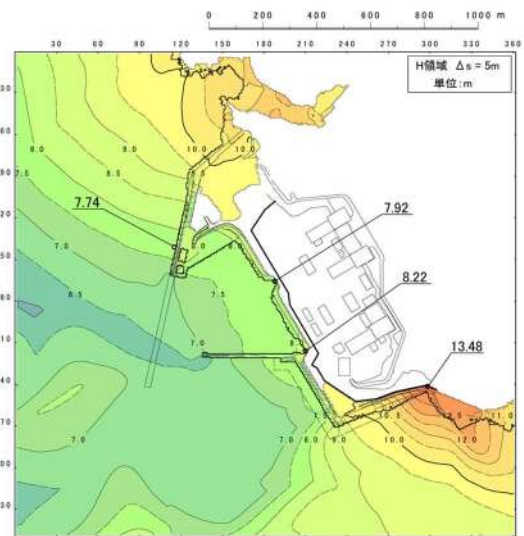
最大水位上昇量分布  
(防波堤損傷なし)



最大水位上昇量分布  
(北及び南防波堤損傷)



最大水位上昇量分布  
(南防波堤損傷)



最大水位上昇量分布  
(北防波堤損傷)

図 2. 1. d. a-1 (1) 防波堤の有無による最大水位上昇量分布の比較  
(基準津波 (波源A))

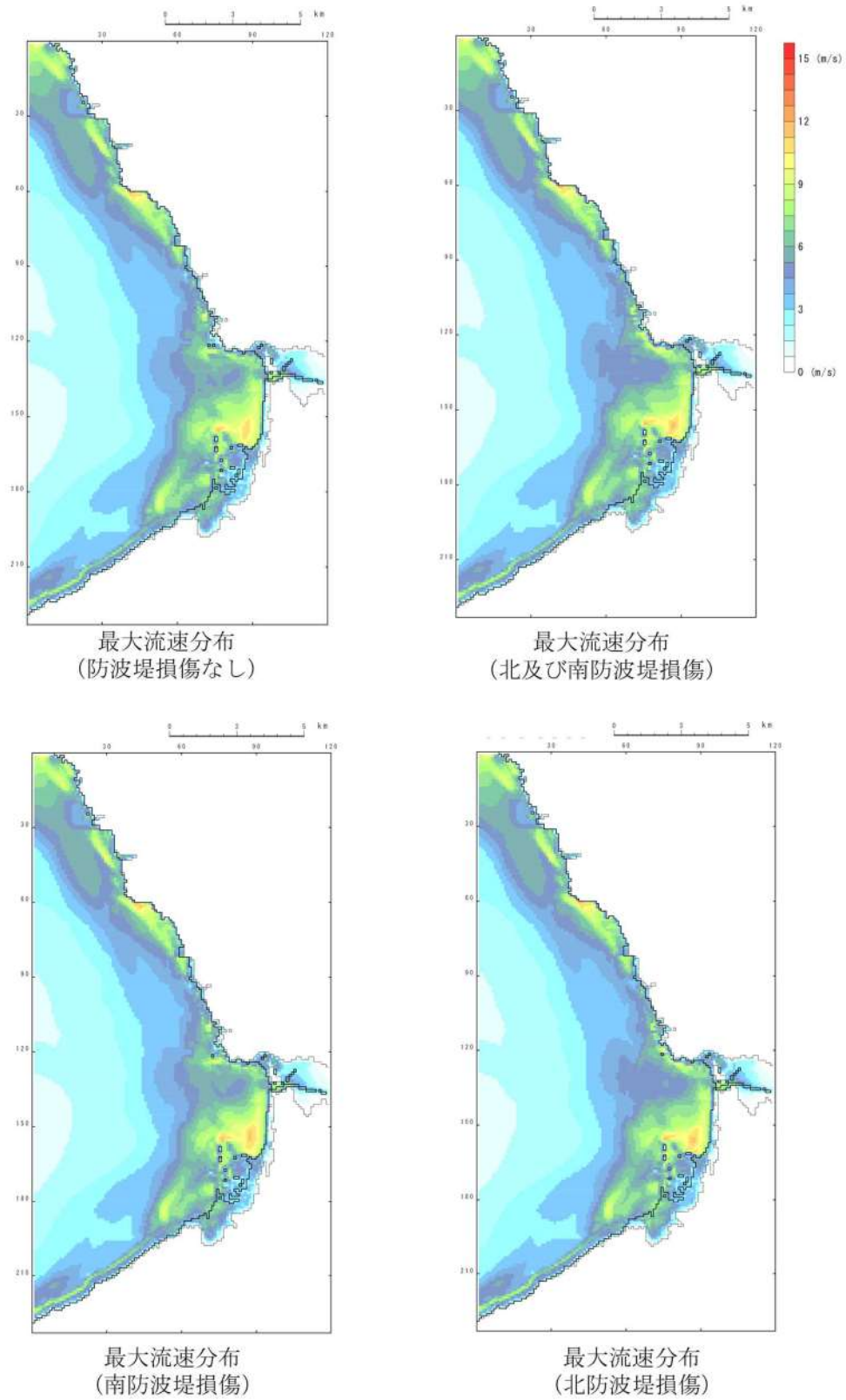


図 2.1.d.a-2 (1) 発電所沖合の流況 ((基準津波 (波源 A)))



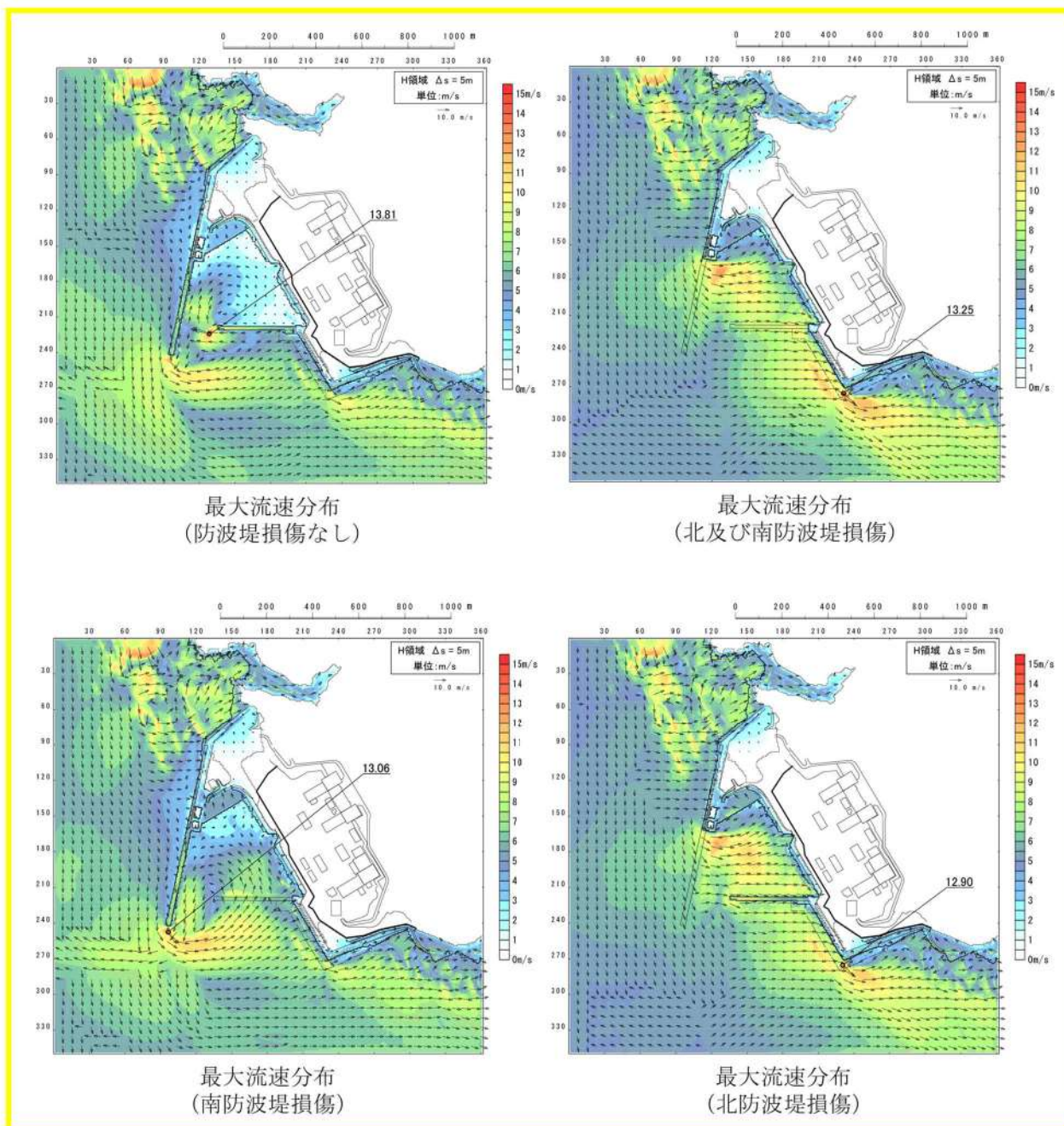


図 2. 1. d. a-3 (1) 港湾内及び港湾外の流況 ((基準津波 (波源 A))

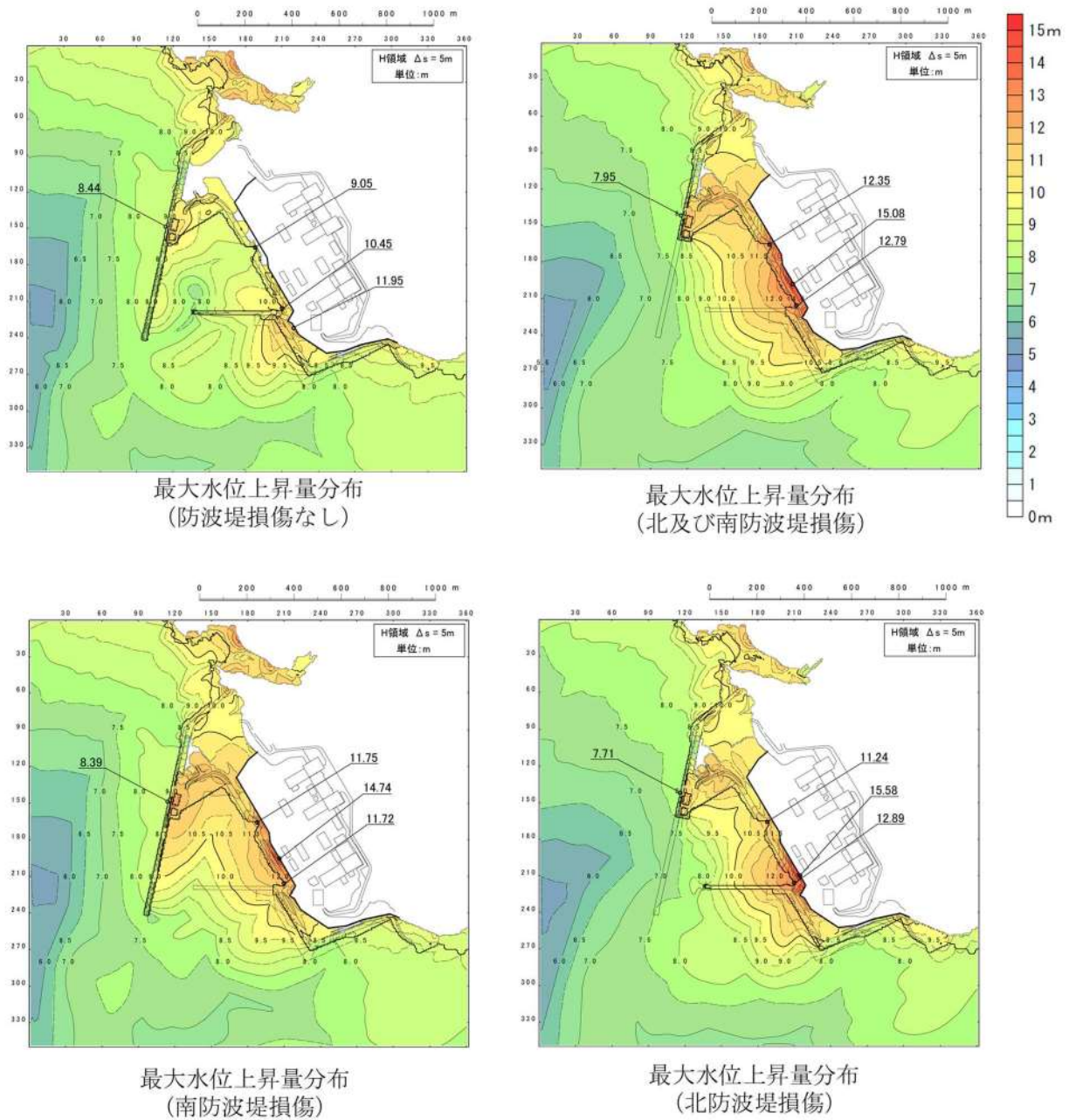
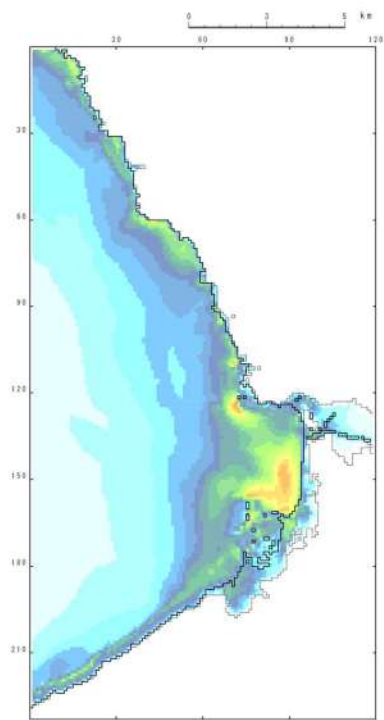
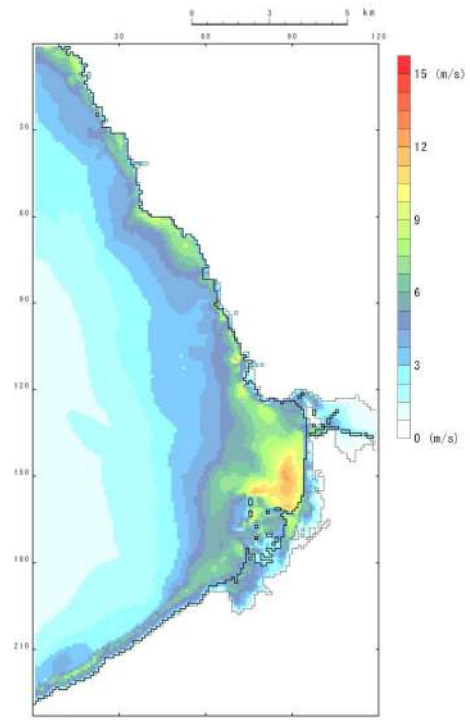


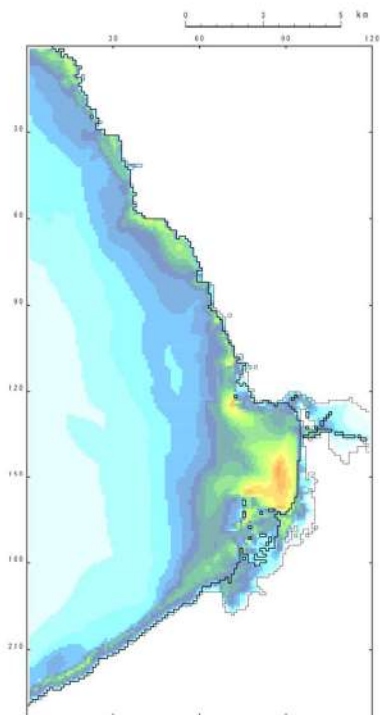
図 2. 1. d. a-1 (2) 防波堤の有無による最大水位上昇量分布の比較  
((基準津波 (波源 B))



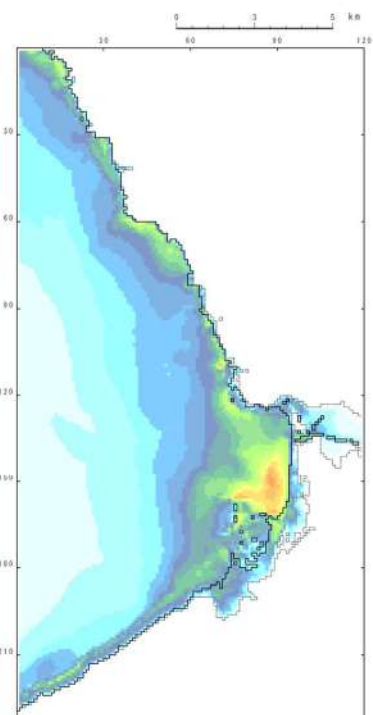
最大流速分布  
(防波堤損傷なし)



最大流速分布  
(北及び南防波堤損傷)



最大流速分布  
(南防波堤損傷)



最大流速分布  
(北防波堤損傷)

図 2.1.d.a-2 (2) 発電所沖合の流況 ((基準津波 (波源 B)))

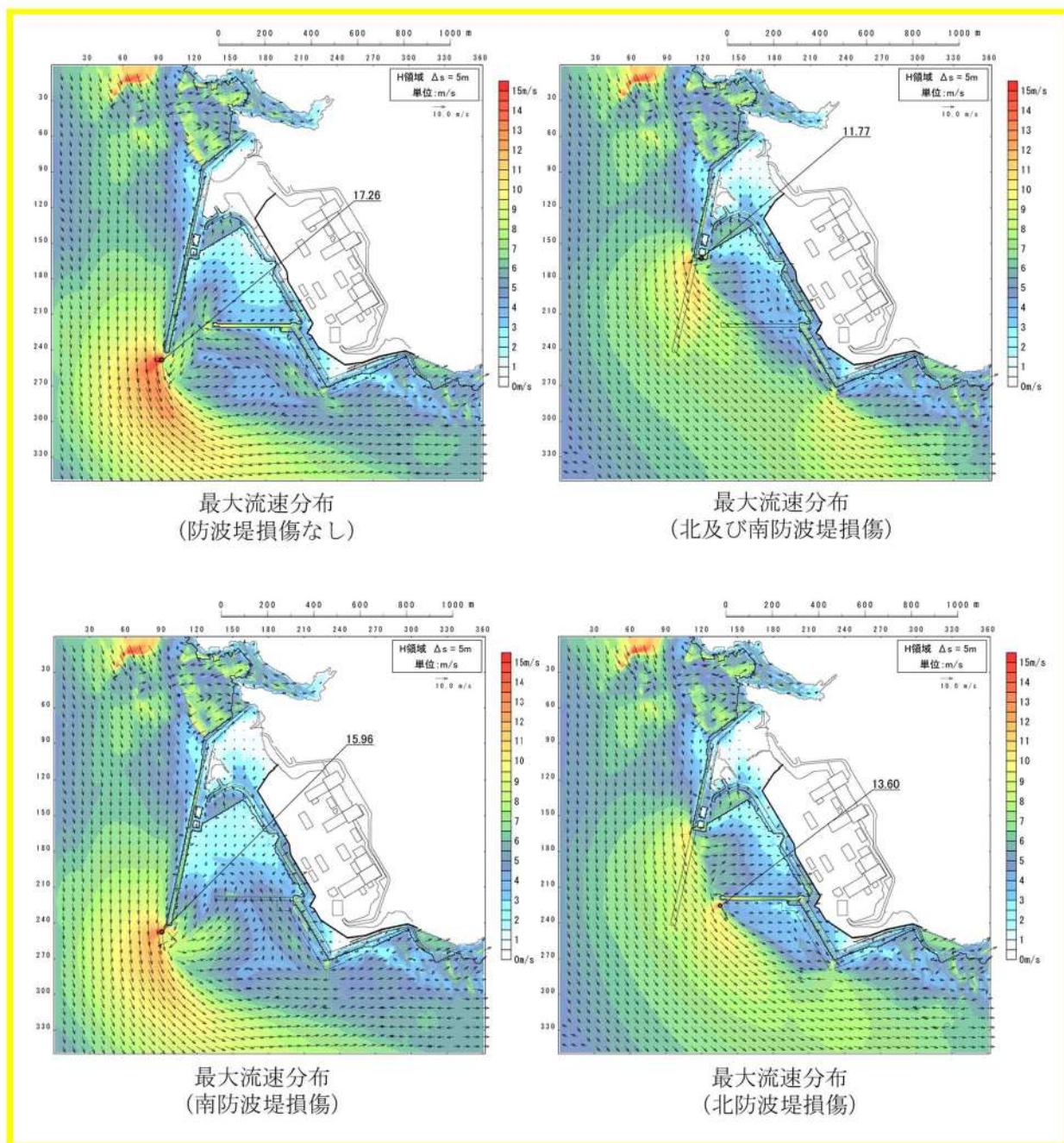


図 2. 1. d. a-3 (2) 港湾内及び港湾外の流況 ((基準津波 (波源 B))

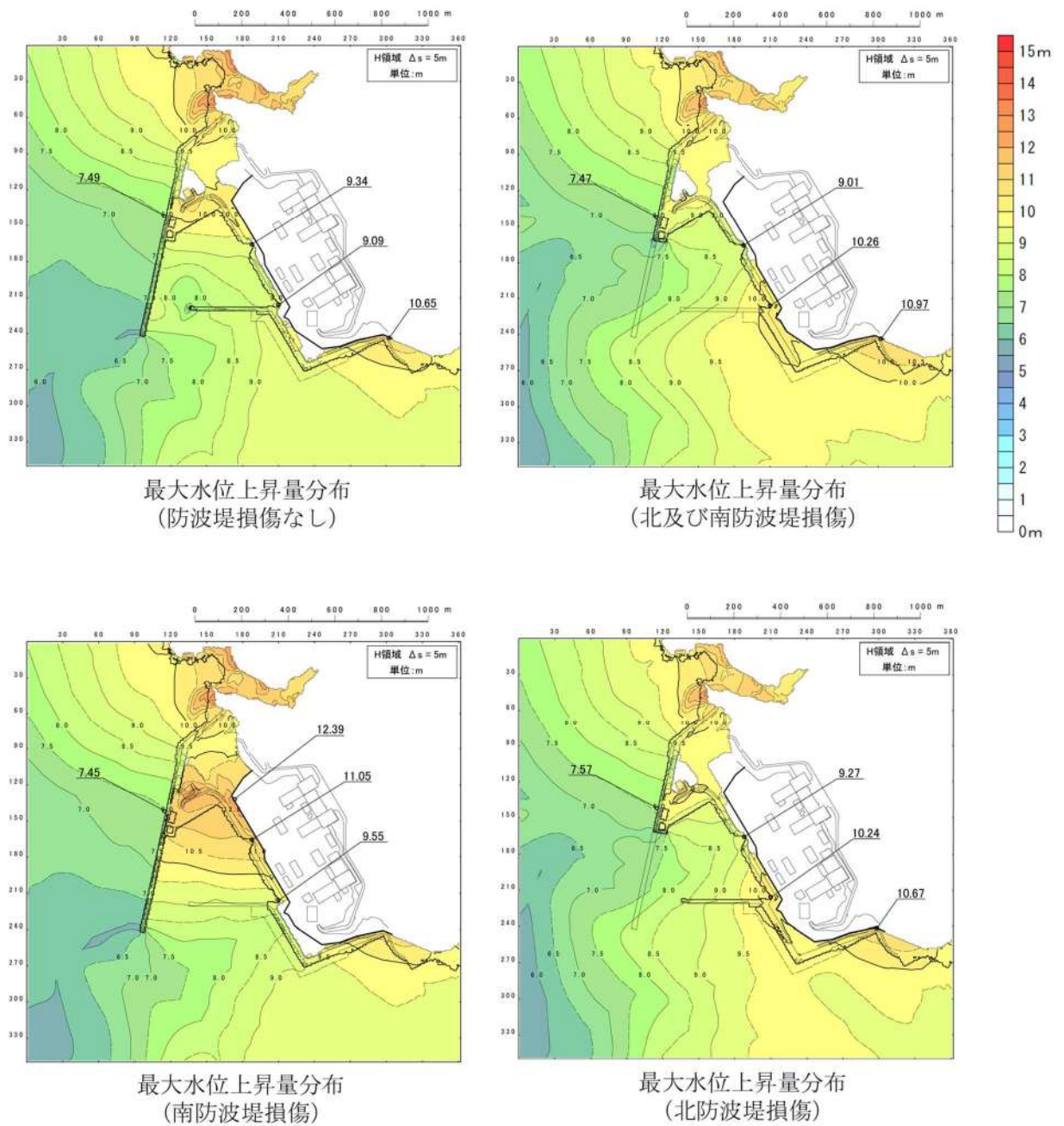


図 2. 1. d. a-1 (3) 防波堤の有無による最大水位上昇量分布の比較  
(基準津波 (波源 C))

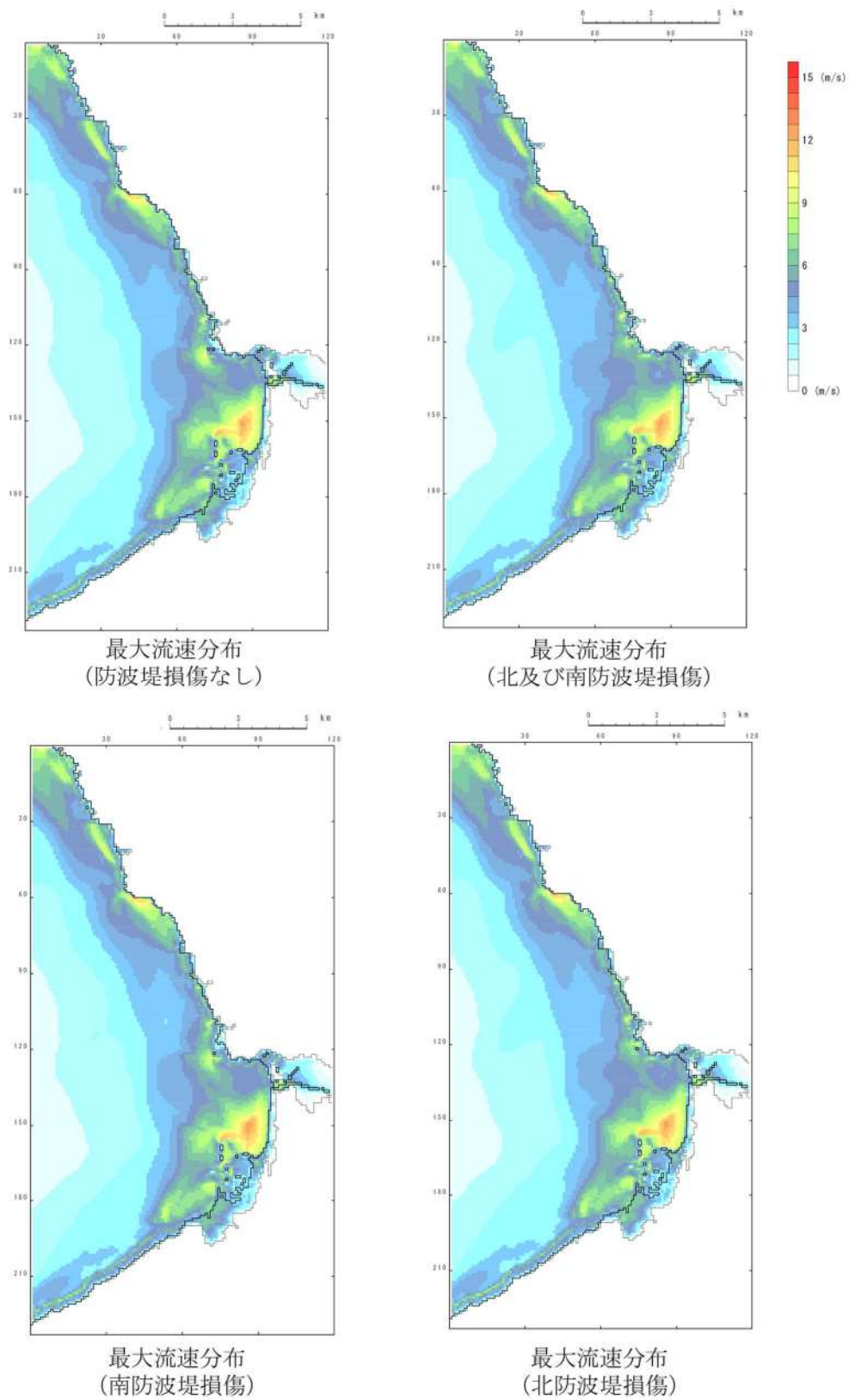


図 2.1.d.a-2 (3) 発電所沖合の流況 ((基準津波 (波源C))

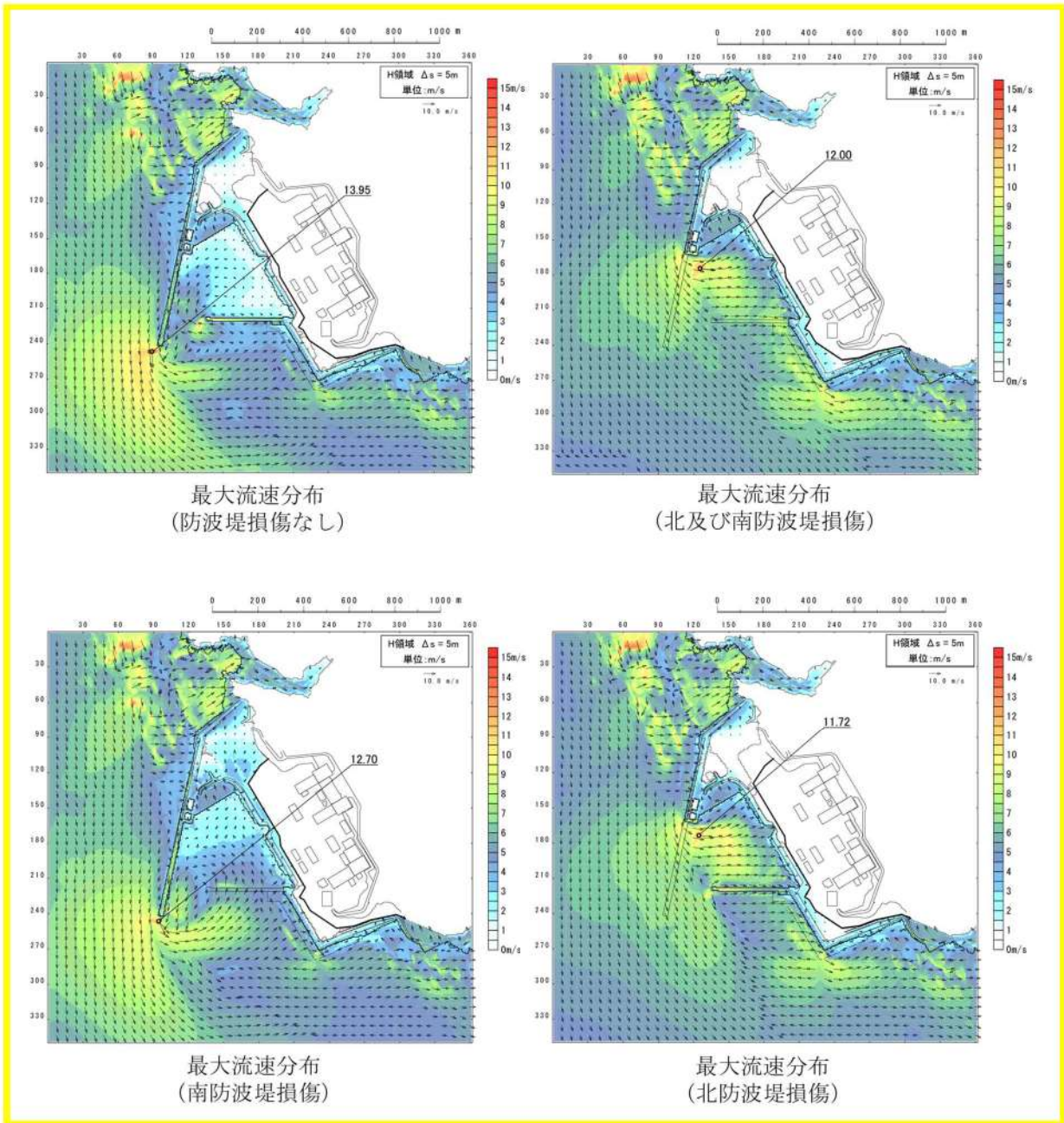
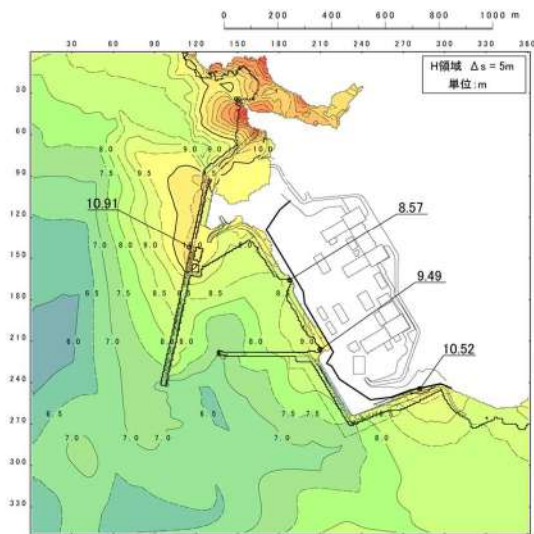
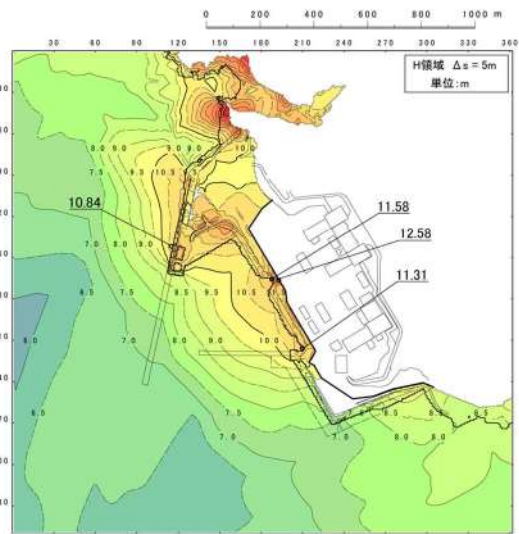


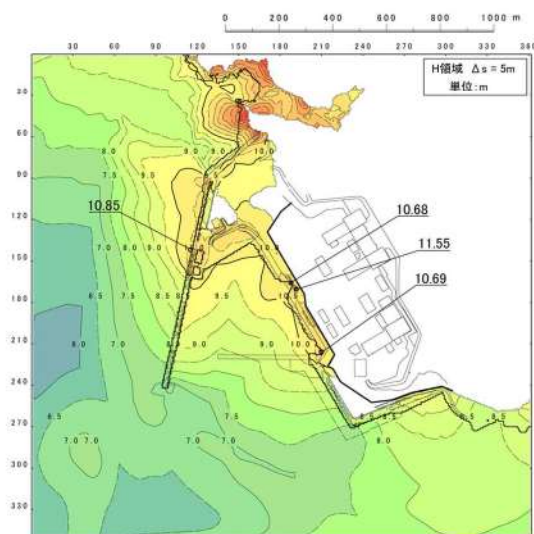
図 2. 1. d. a-3 (3) 港湾内及び港湾外の流況 ((基準津波 (波源 C))



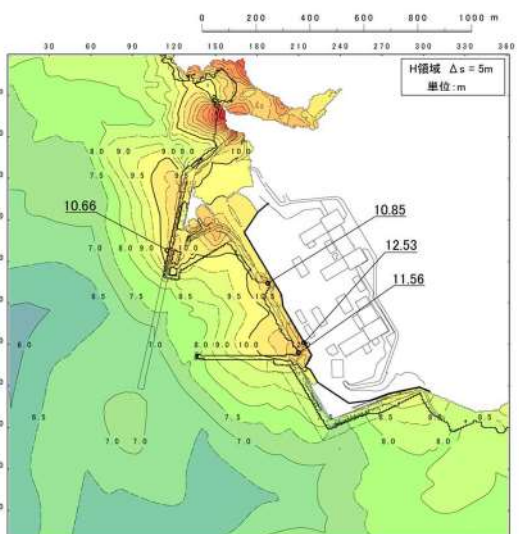
最大水位上昇量分布  
(防波堤損傷なし)



最大水位上昇量分布  
(北及び南防波堤損傷)



最大水位上昇量分布  
(南防波堤損傷)



最大水位上昇量分布  
(北防波堤損傷)

図 2. 1. d. a-1 (4) 防波堤の有無による最大水位上昇量分布の比較  
(標準津波 (波源D))



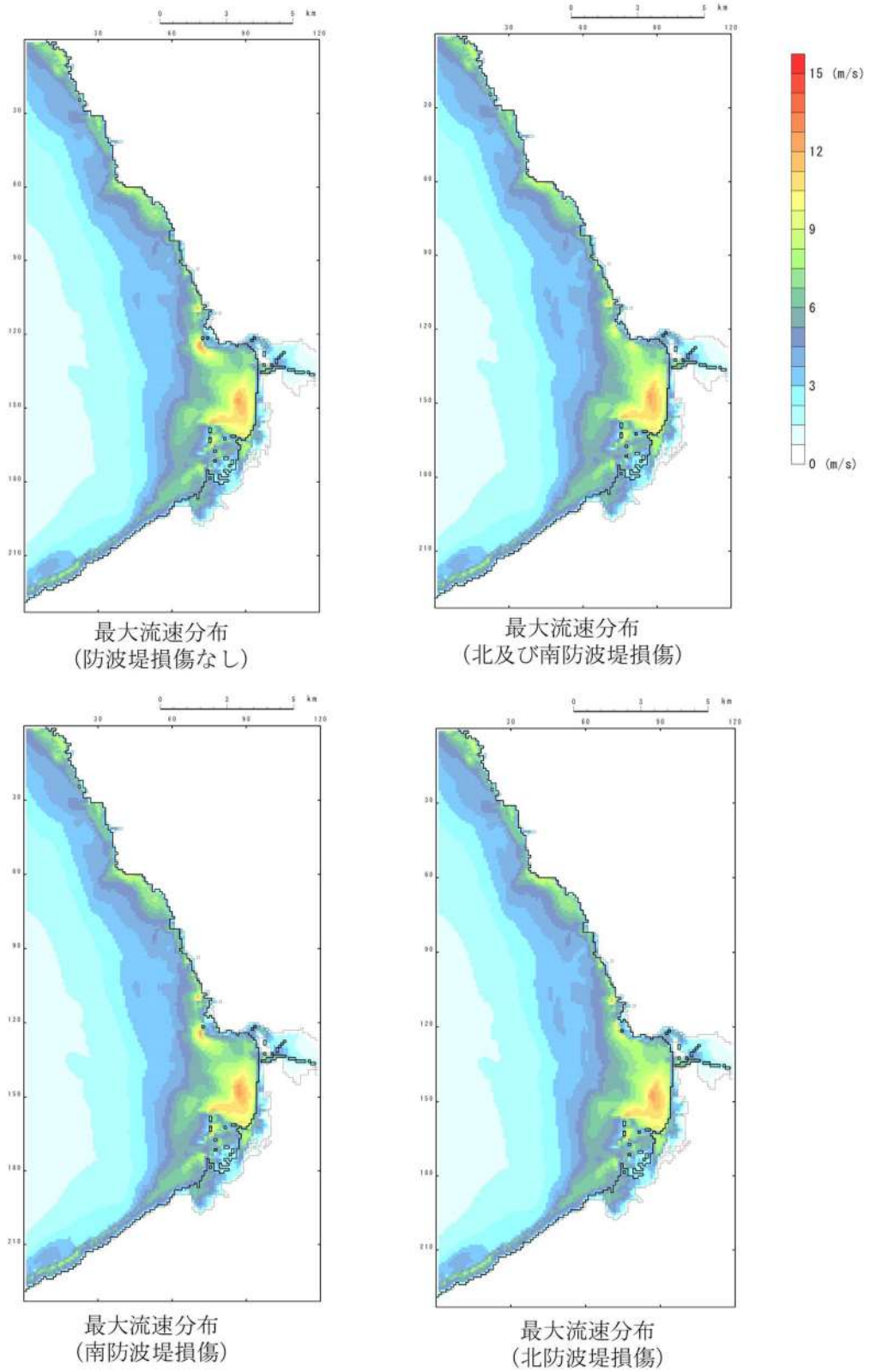


図 2.1. d. a-2 (4) 発電所沖合の流況 ((基準津波 (波源D))

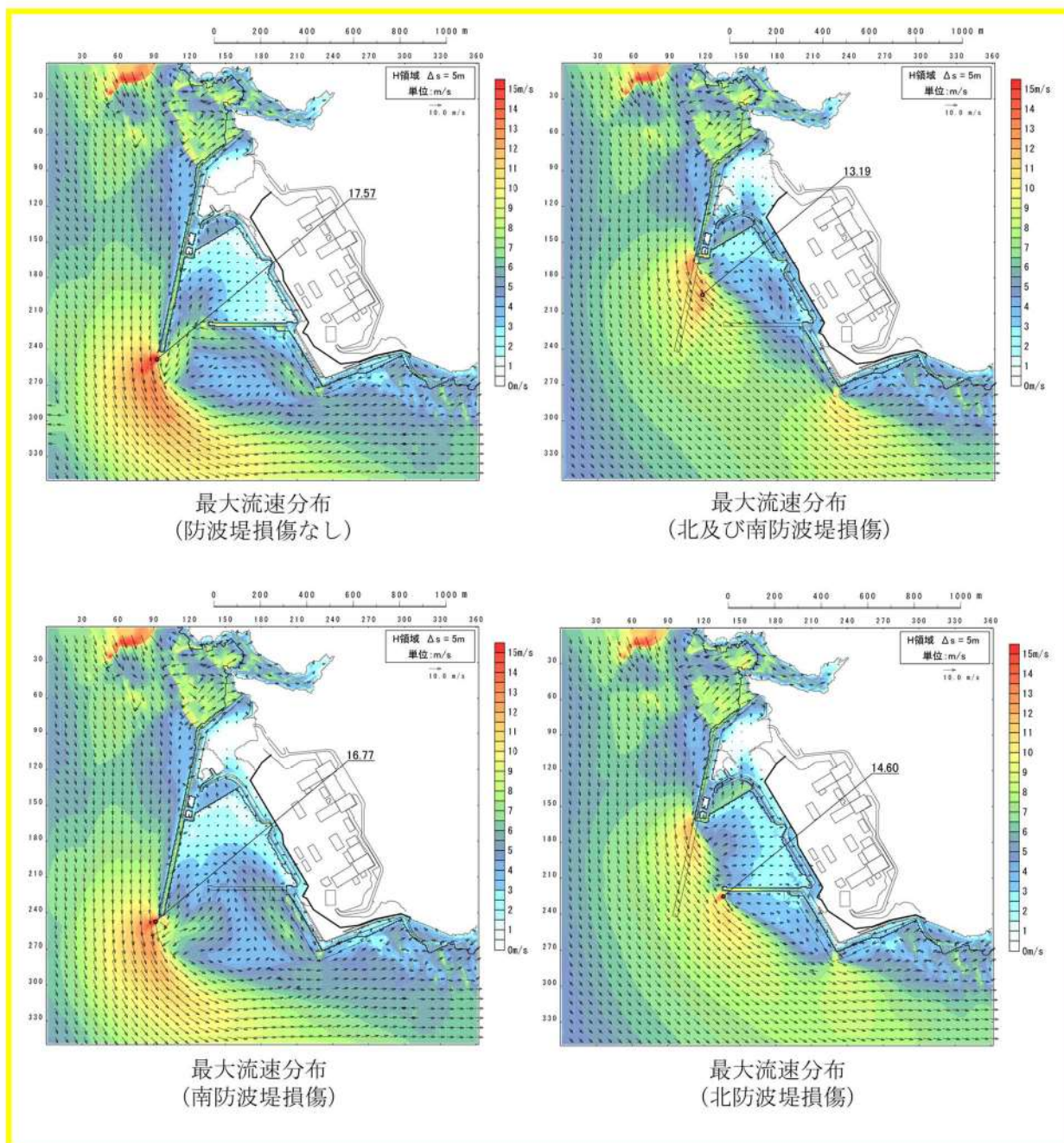
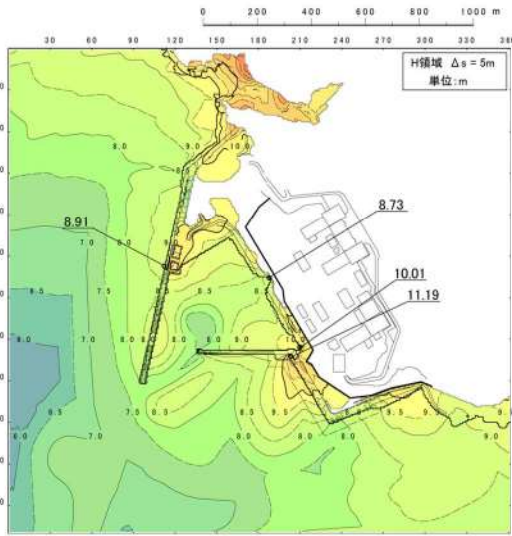
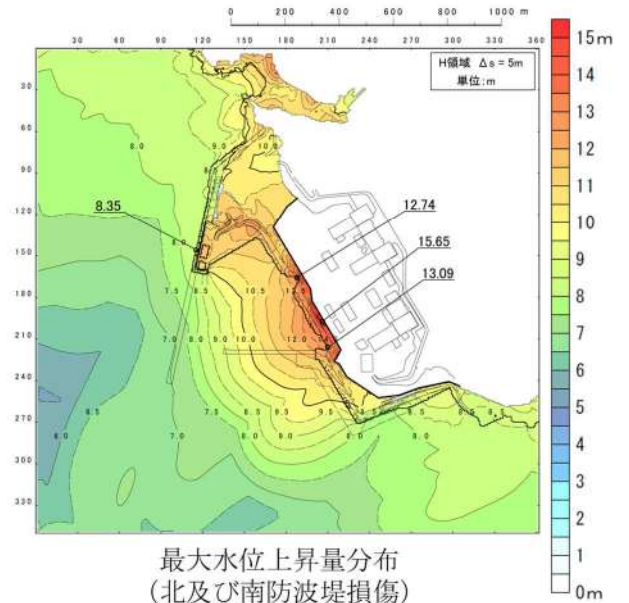


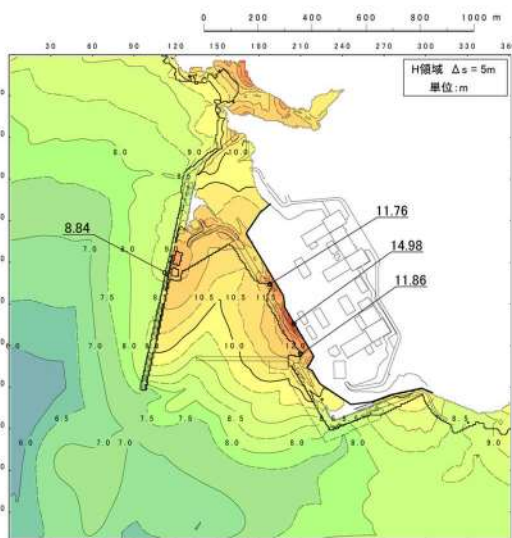
図 2.1.d.a-3 (4) 港湾内及び港湾外の流況 ((基準津波 (波源D)))



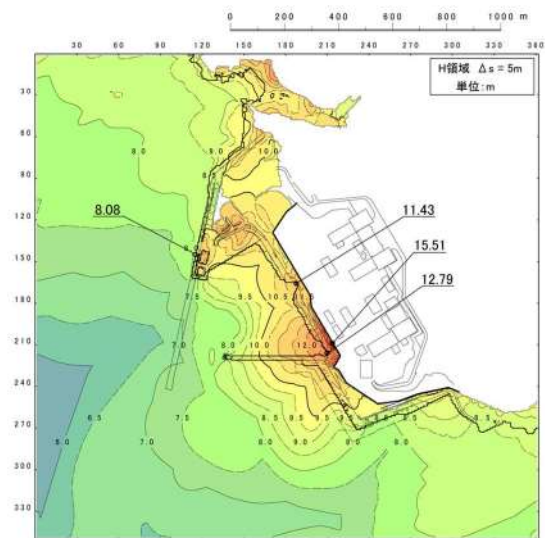
最大水位上昇量分布  
(防波堤損傷なし)



最大水位上昇量分布  
(北及び南防波堤損傷)

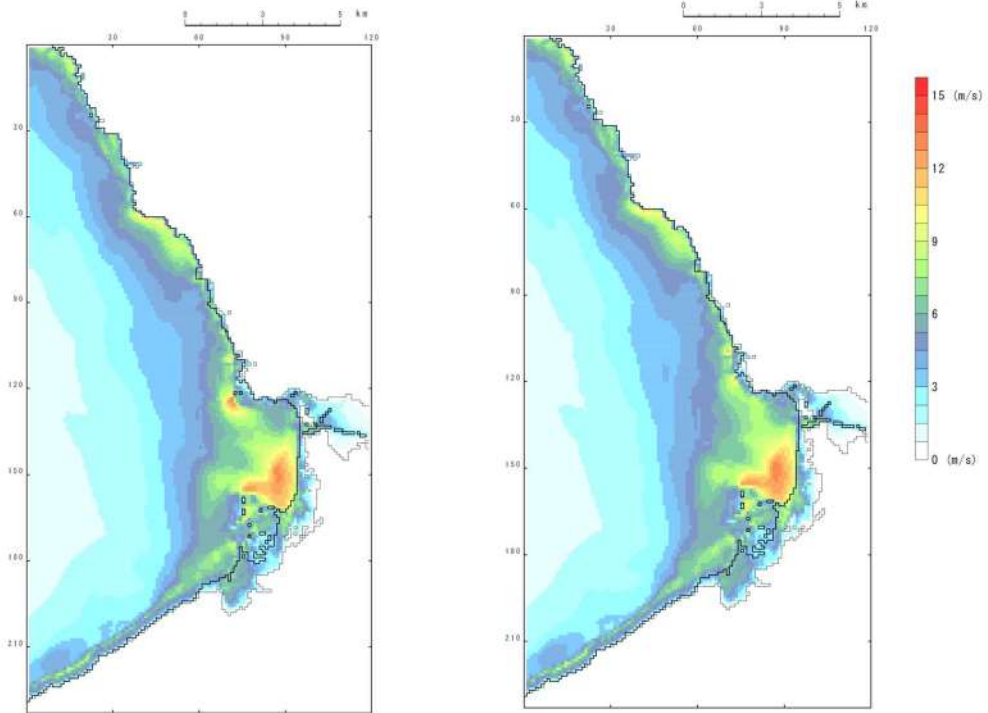


最大水位上昇量分布  
(南防波堤損傷)



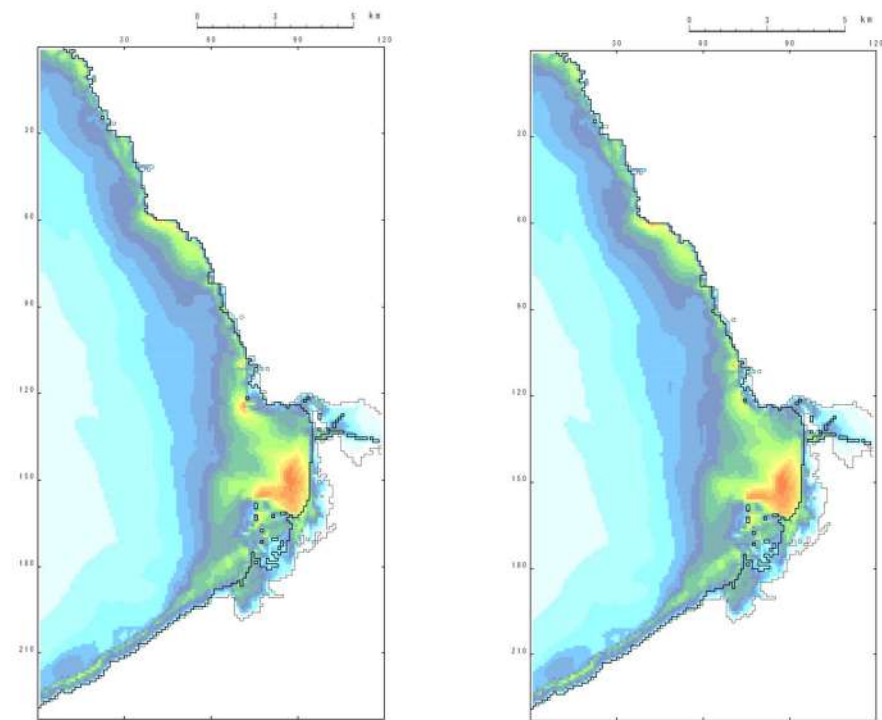
最大水位上昇量分布  
(北防波堤損傷)

図 2. 1. d. a-1 (5) 防波堤の有無による最大水位上昇量分布の比較  
(標準津波 (波源E))



最大流速分布  
(防波堤損傷なし)

最大流速分布  
(北及び南防波堤損傷)



最大流速分布  
(南防波堤損傷)

最大流速分布  
(北防波堤損傷)

図 2. 1. d. a-2 (5) 発電所沖合の流況 ((基準津波 (波源 E))

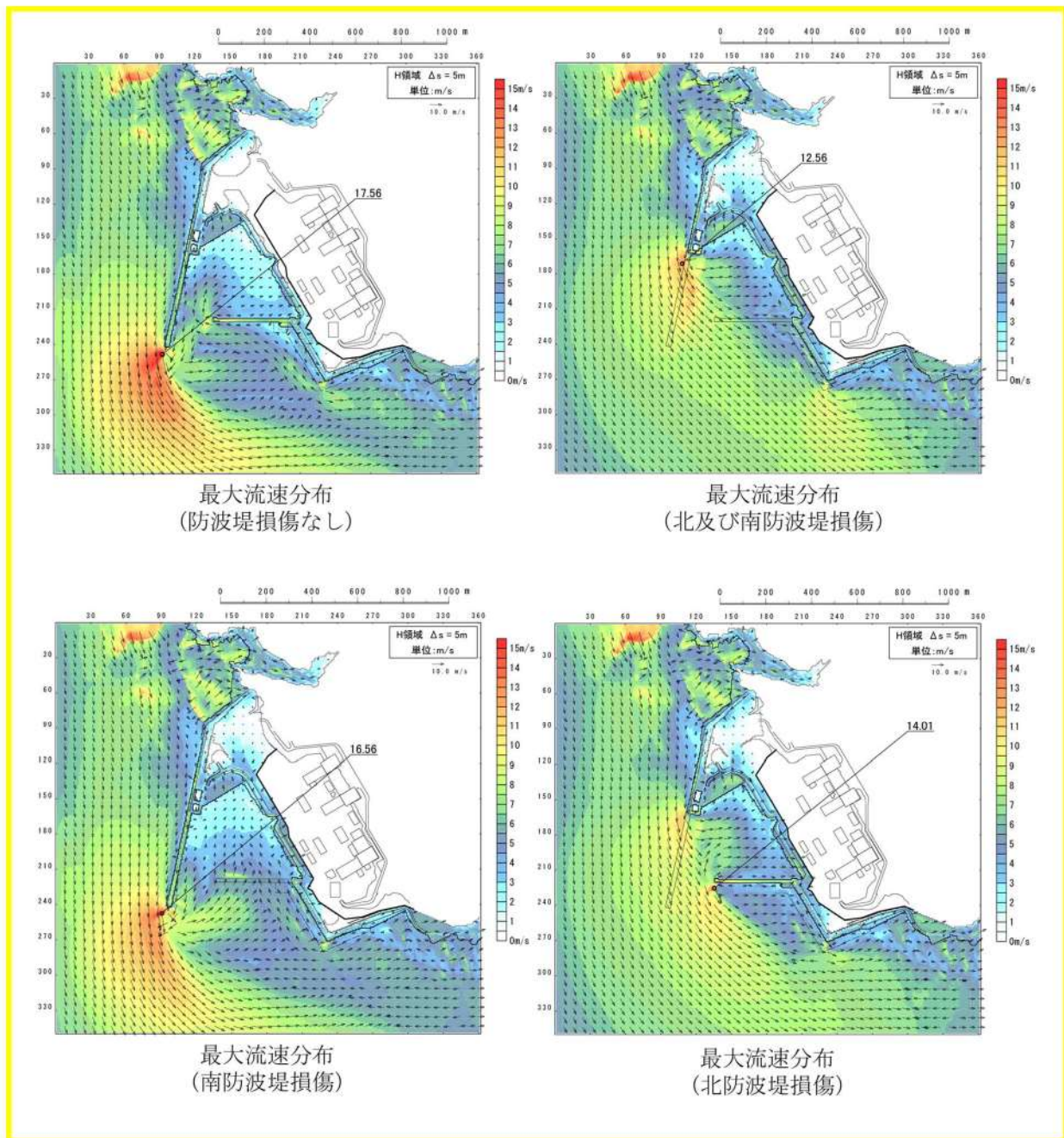


図 2. 1. d. a-3 (5) 港湾内及び港湾外の流況 ((基準津波 (波源 E))

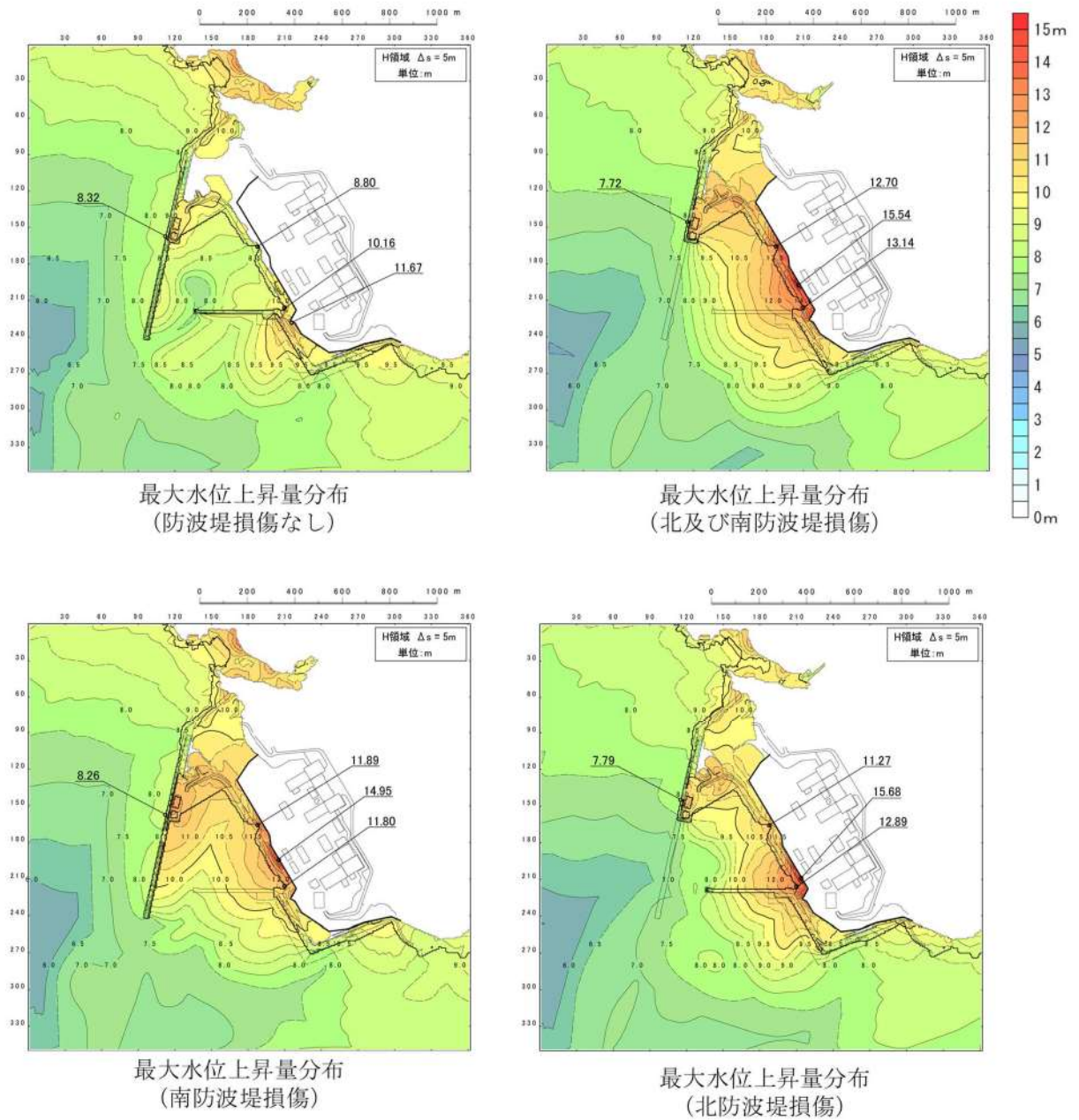


図 2.1.d.a-1 (6) 防波堤の有無による最大水位上昇量分布の比較  
((基準津波 (波源 F))

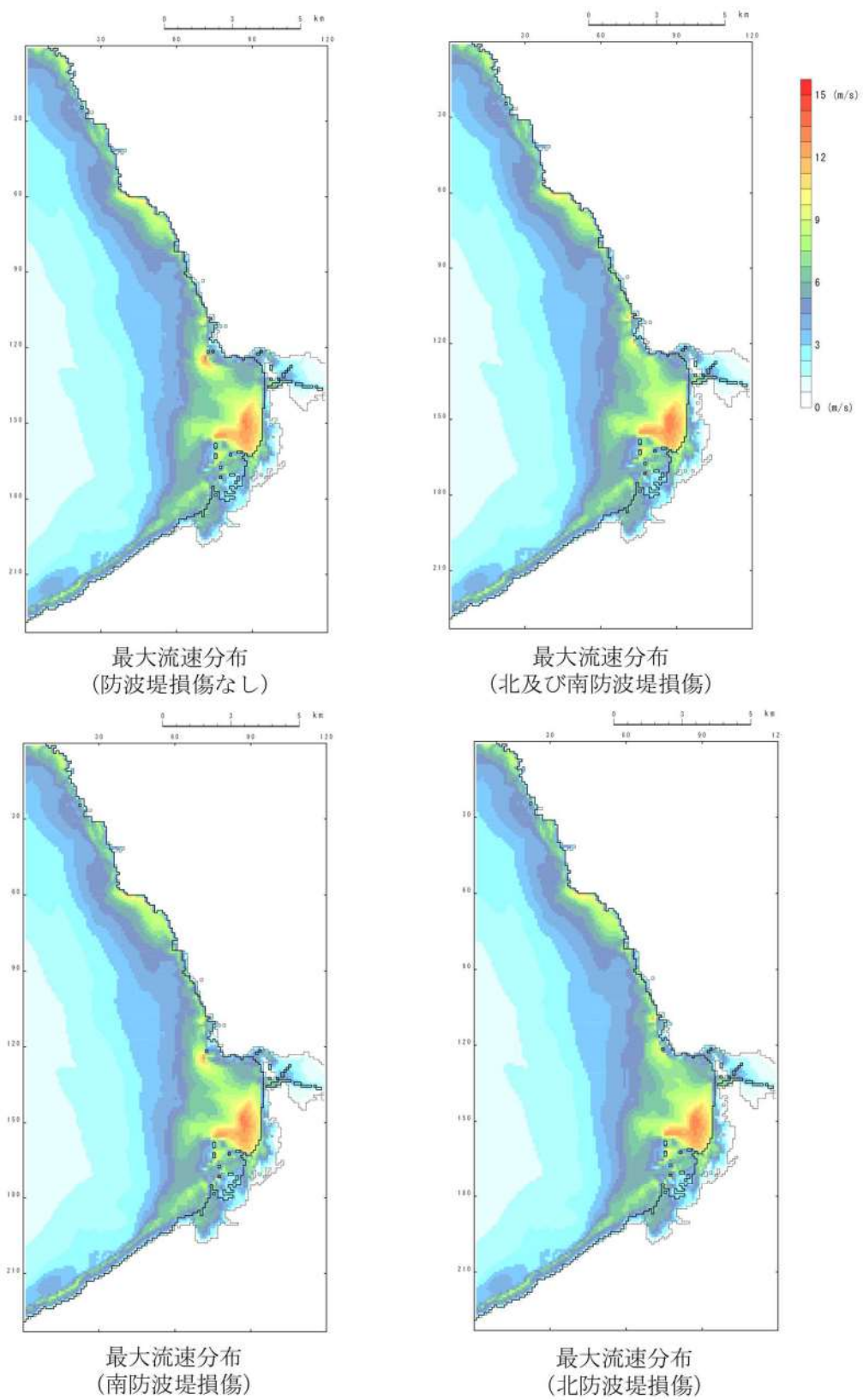


図 2.1.d.a-2 (6) 発電所沖合の流況 ((基準津波 (波源 F))

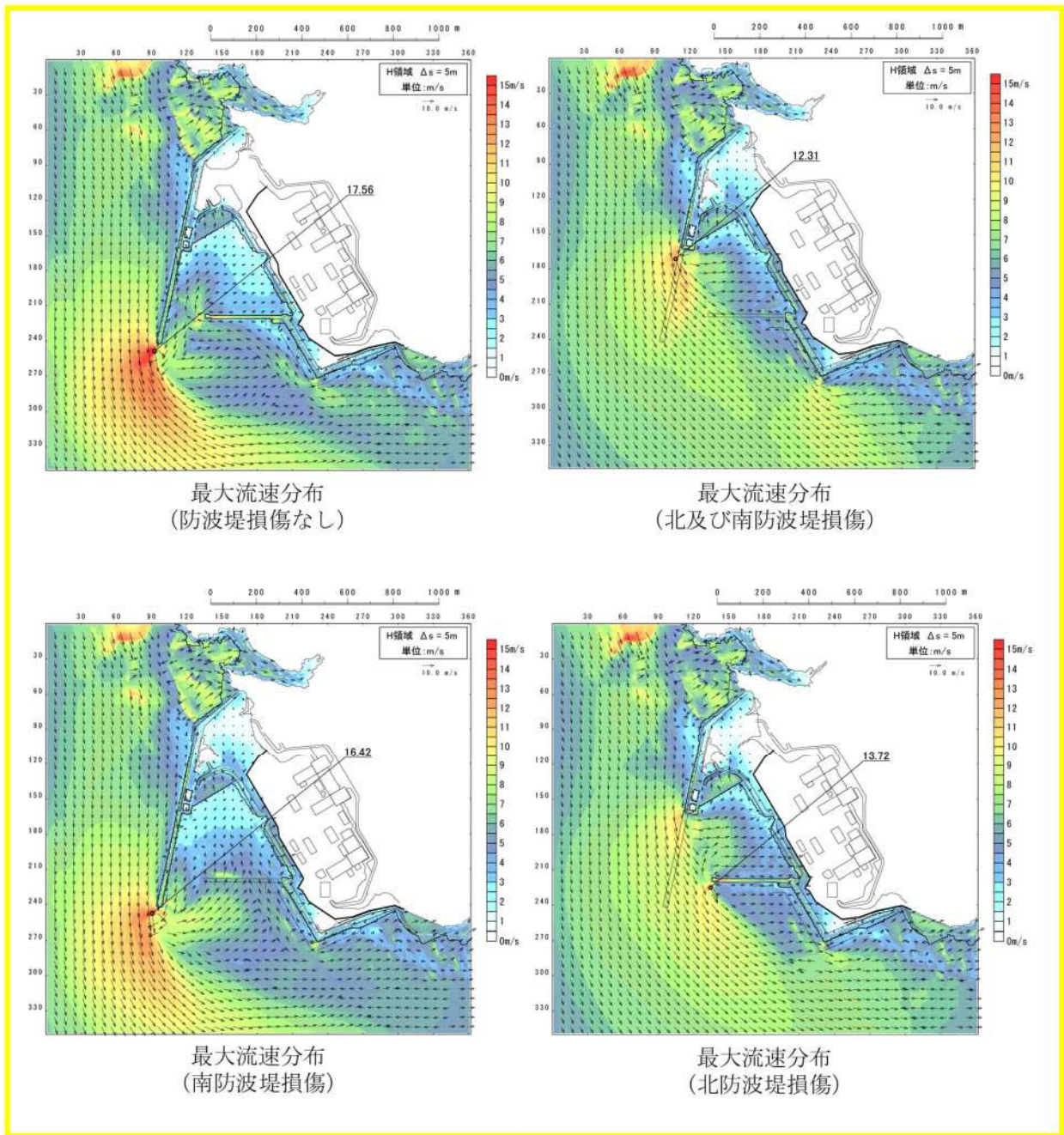


図 2. 1. d. a-3 (6) 港湾内及び港湾外の流況 ((基準津波 (波源 F))



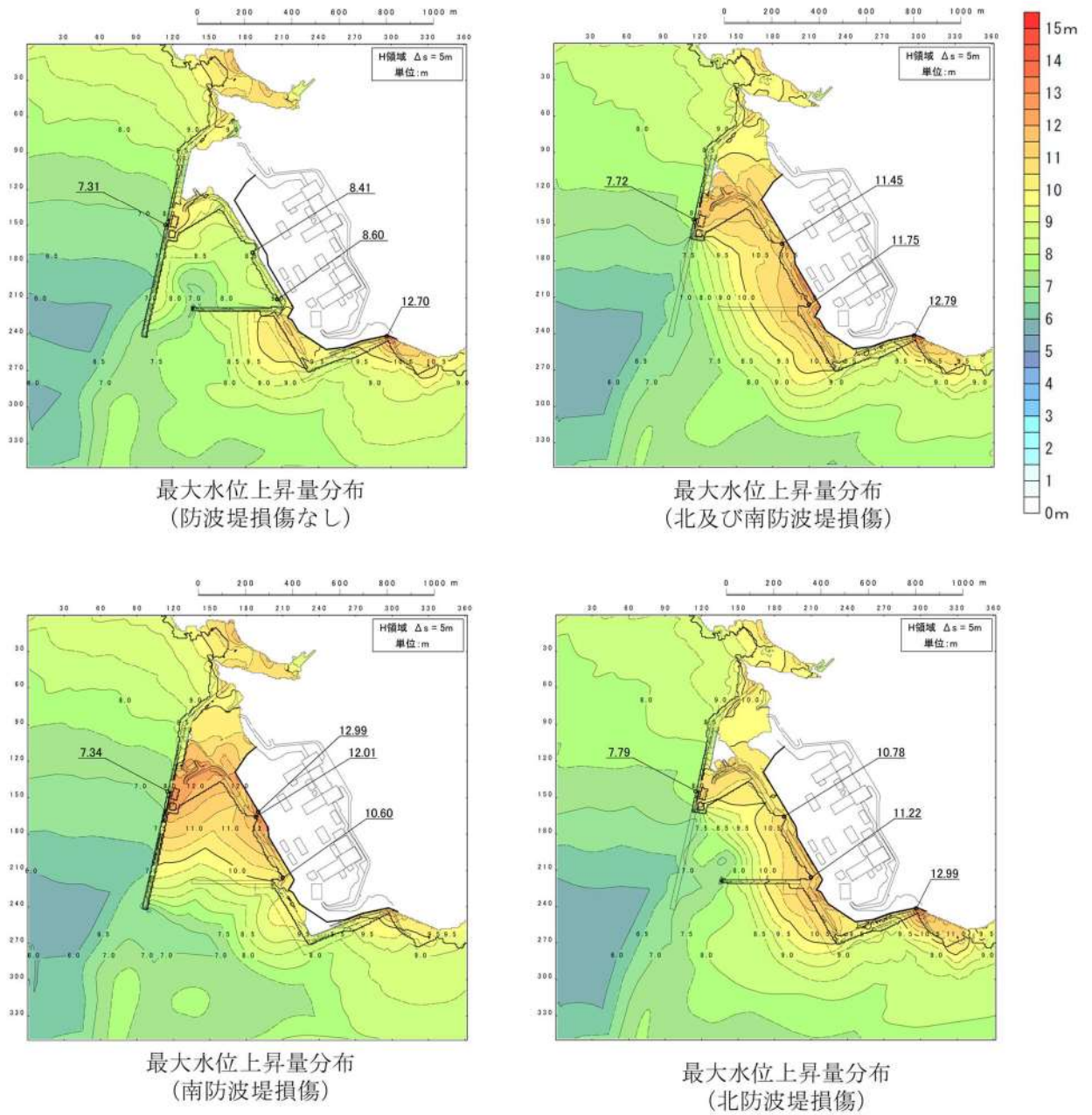


図 2.1.d.a-1 (7) 防波堤の有無による最大水位上昇量分布の比較  
((基準津波 (波源G))

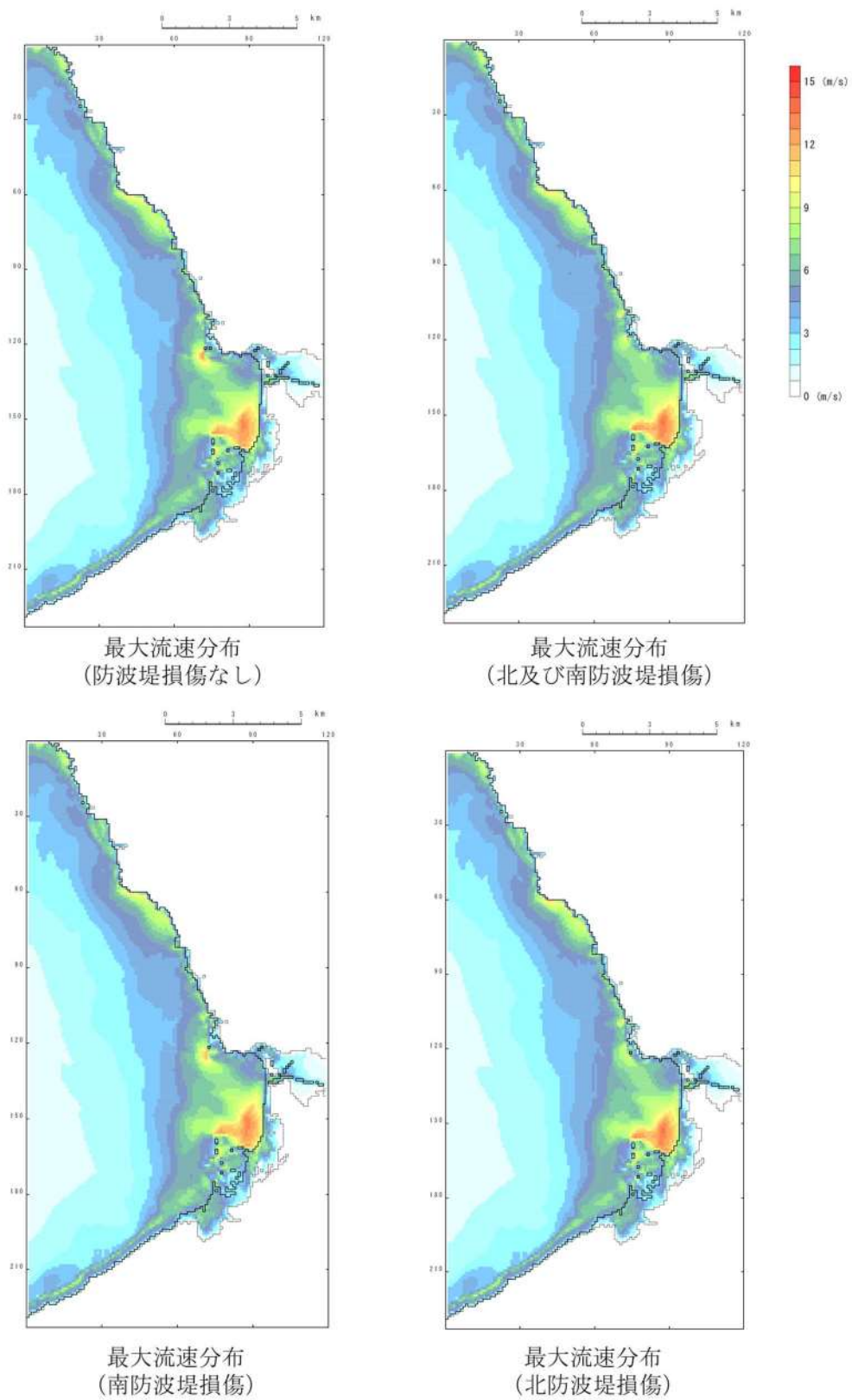


図 2.1.d.a-2 (7) 発電所沖合の流況 ((基準津波 (波源G)))

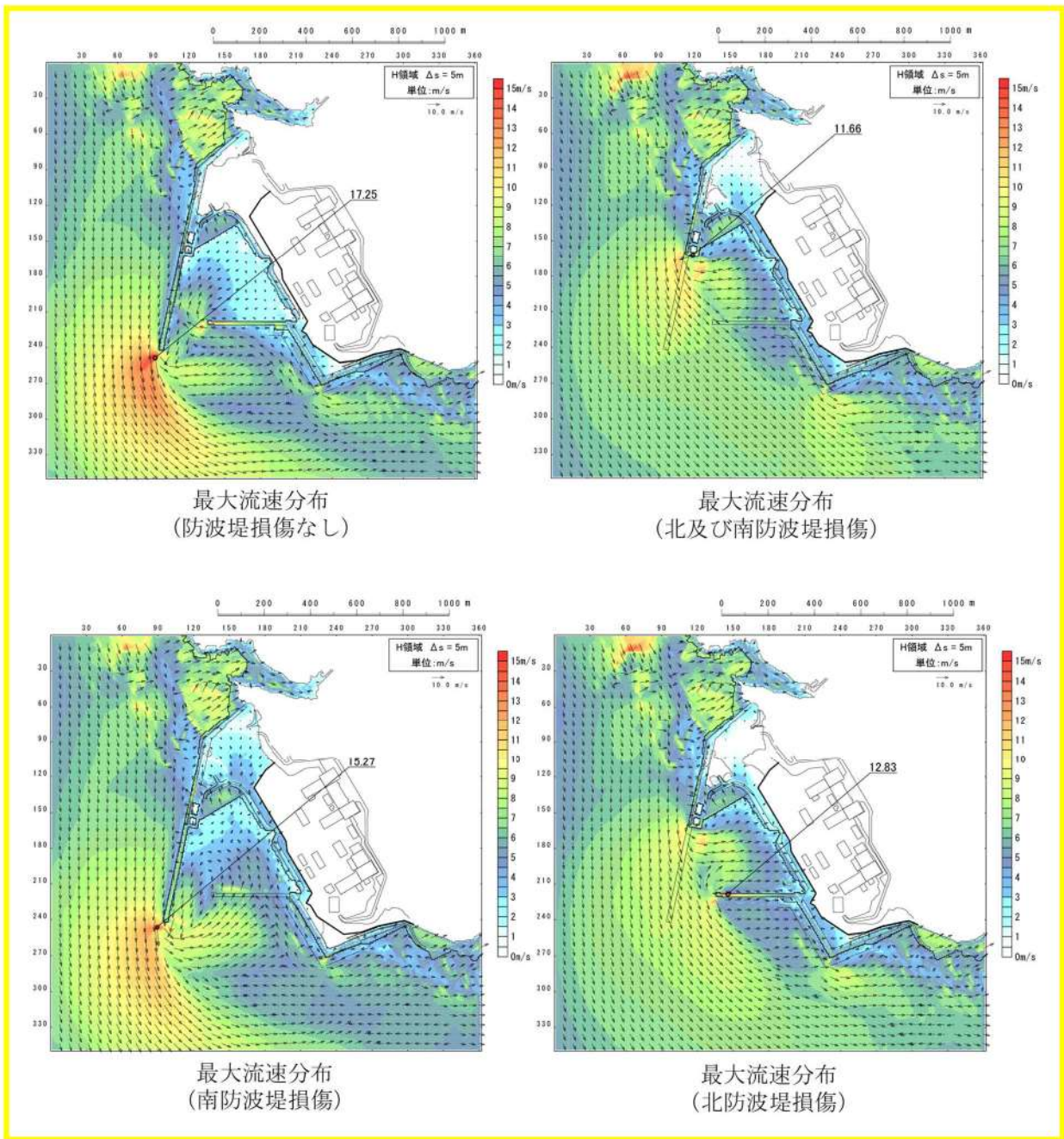
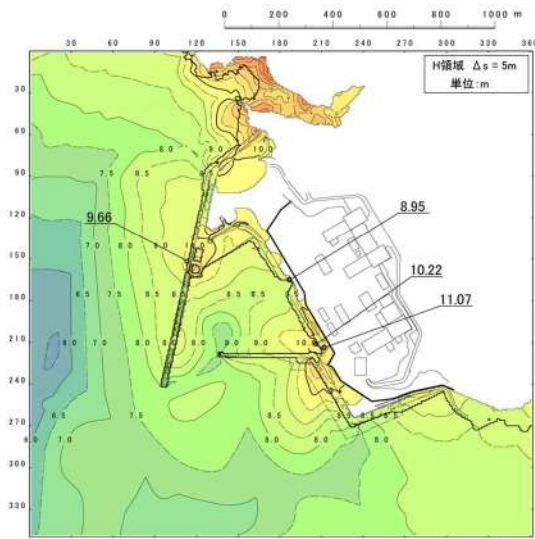
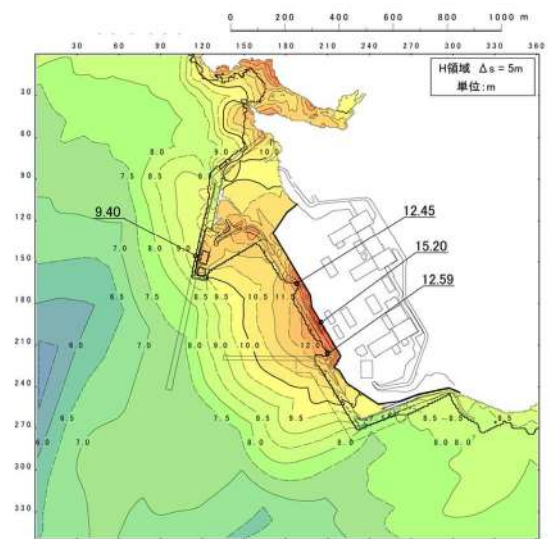


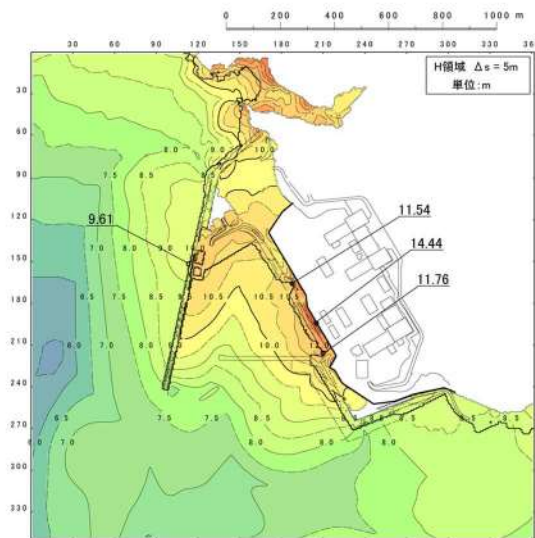
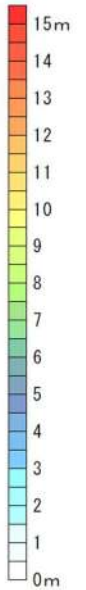
図 2.1.d.a-3 (7) 港湾内及び港湾外の流況 ((基準津波 (波源G))



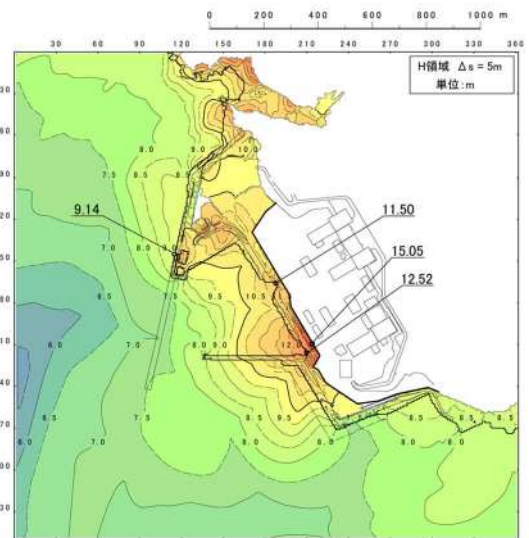
最大水位上昇量分布  
(防波堤損傷なし)



最大水位上昇量分布  
(北及び南防波堤損傷)

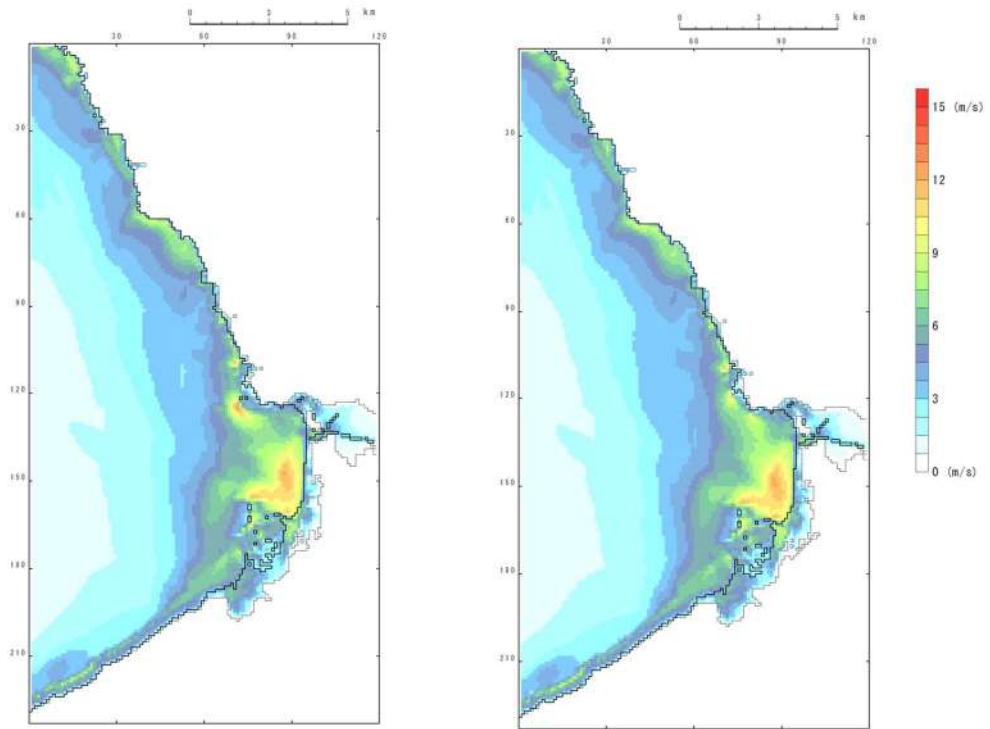


最大水位上昇量分布  
(南防波堤損傷)



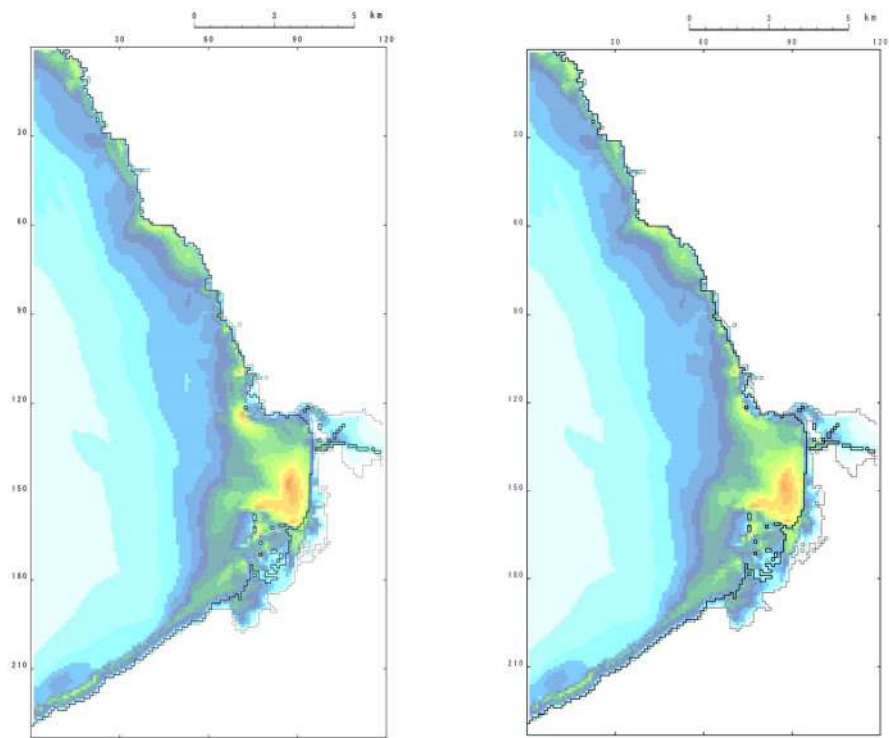
最大水位上昇量分布  
(北防波堤損傷)

図 2. 1. d. a-1 (8) 防波堤の有無による最大水位上昇量分布の比較  
(標準津波 (波源H))



最大流速分布  
(防波堤損傷なし)

最大流速分布  
(北及び南防波堤損傷)



最大流速分布  
(南防波堤損傷)

最大流速分布  
(北防波堤損傷)

図 2.1.d.a-2 (8) 発電所沖合の流況 ((基準津波 (波源H))

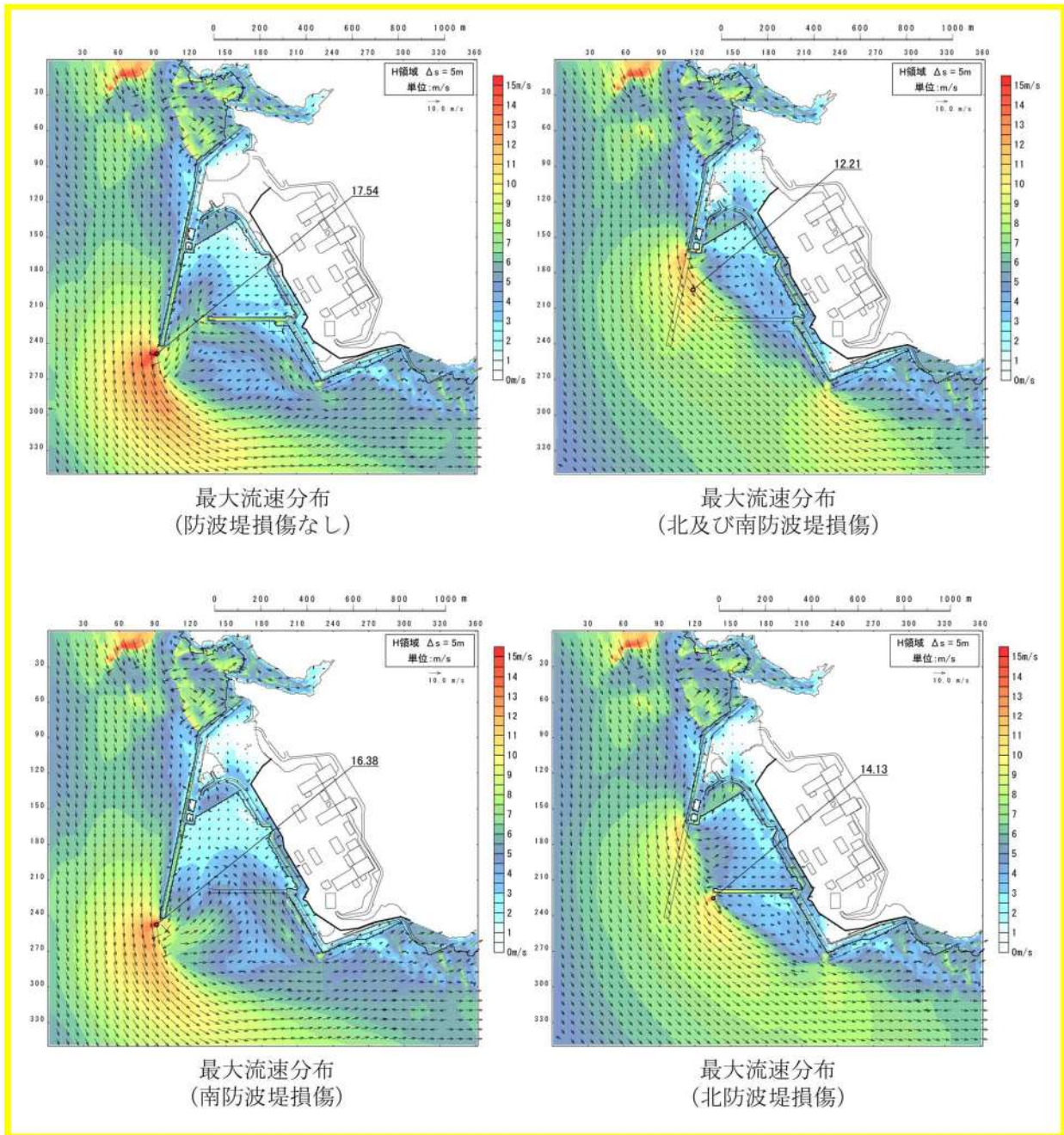
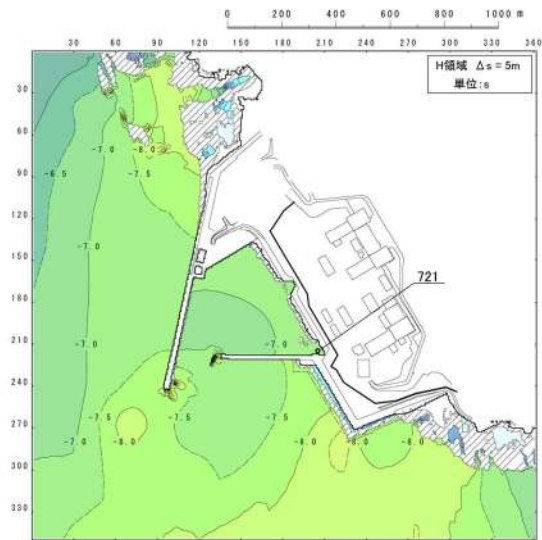
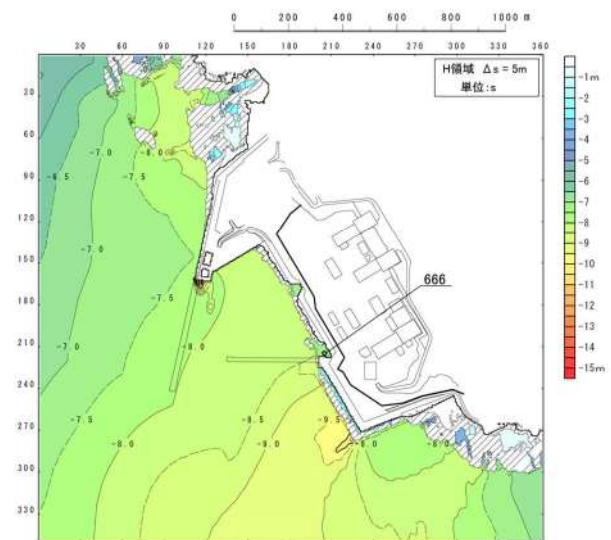


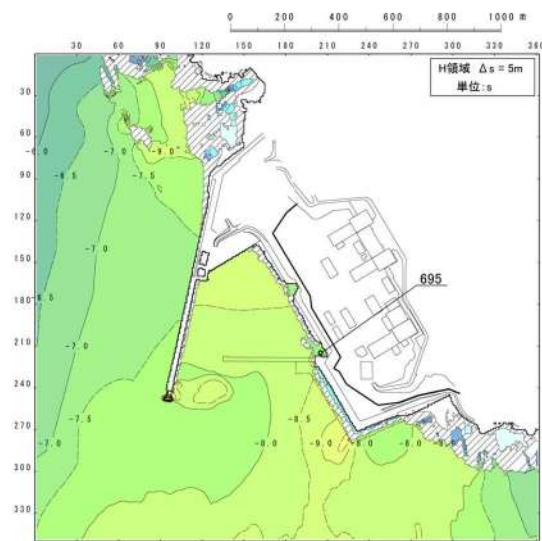
図 2. 1. d. a-3 (8) 港湾内及び港湾外の流況 ((基準津波 (波源H))



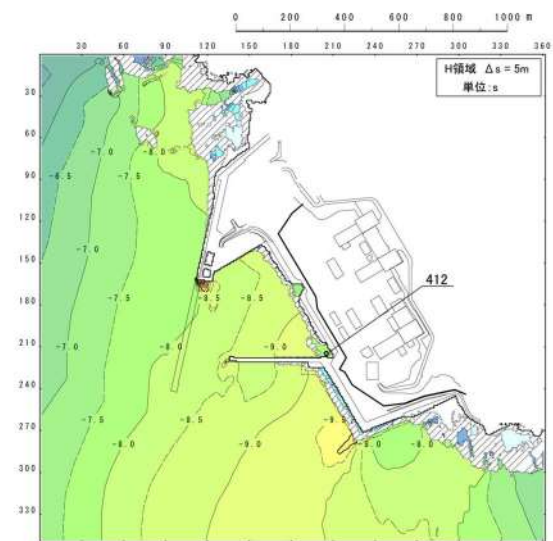
最大水位下降量分布  
(防波堤損傷なし)



最大水位下降量分布  
(北及び南防波堤損傷)

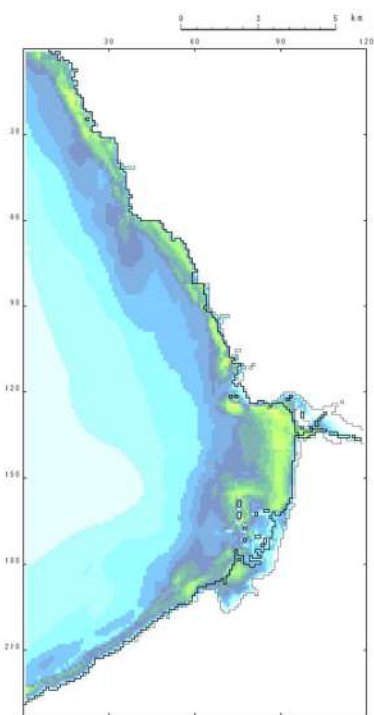


最大水位下降量分布  
(南防波堤損傷)

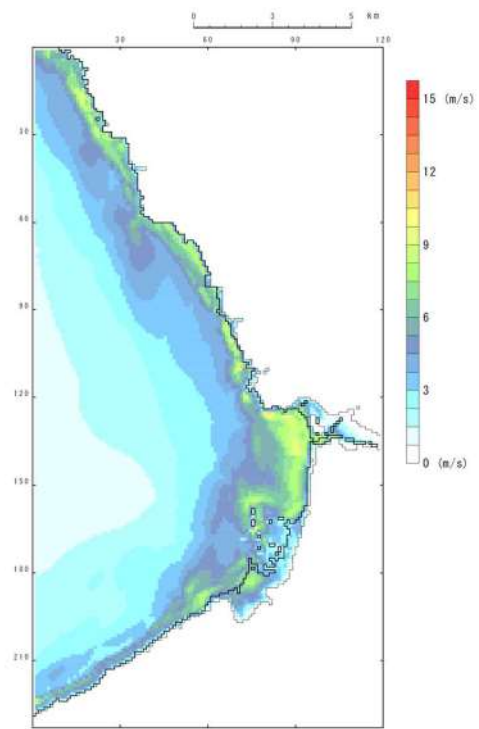


最大水位下降量分布  
(北防波堤損傷)

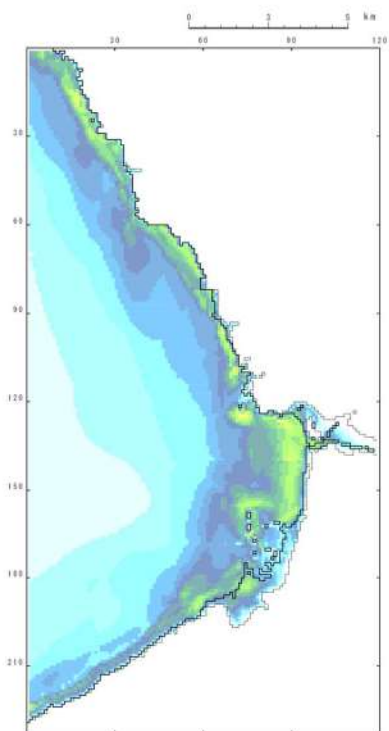
図 2.1.d.a-1 (9) 防波堤の有無による最大水位下降量分布の比較  
(標準津波 (波源 I))



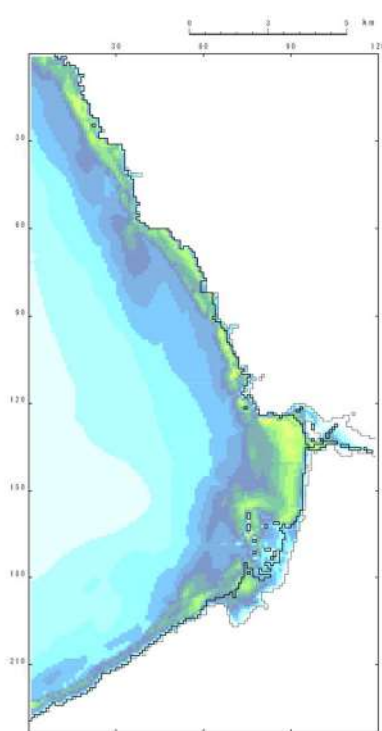
最大流速分布  
(防波堤損傷なし)



最大流速分布  
(北及び南防波堤損傷)



最大流速分布  
(南防波堤損傷)



最大流速分布  
(北防波堤損傷)

図 2.1.d.a-2 (9) 発電所沖合の流況 ((基準津波 (波源 I))



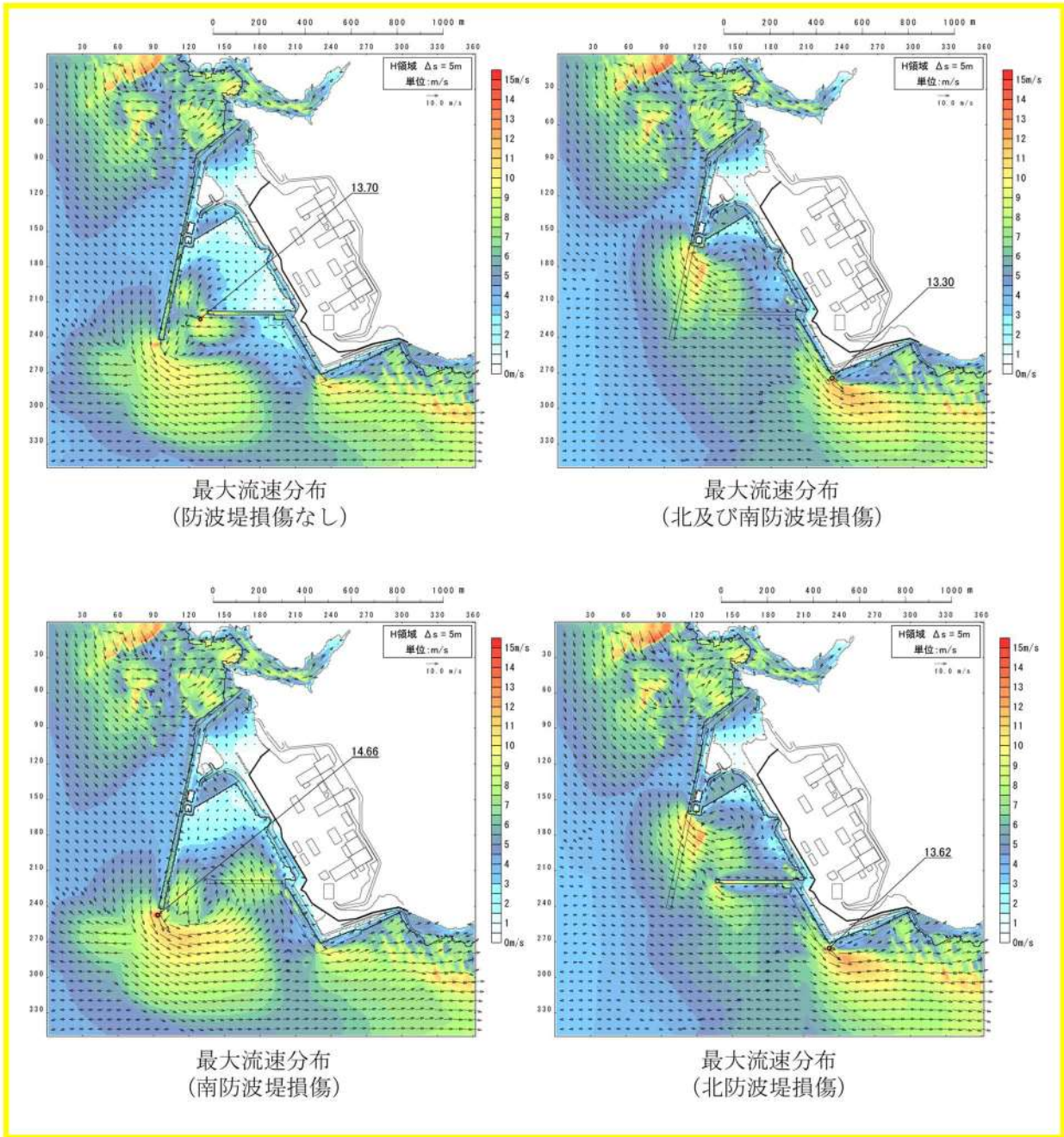
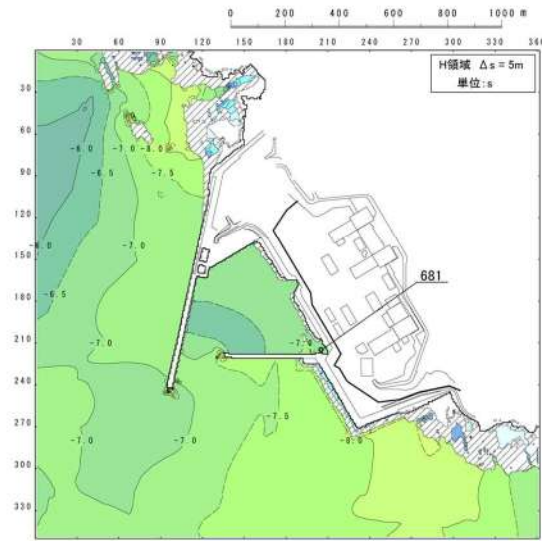
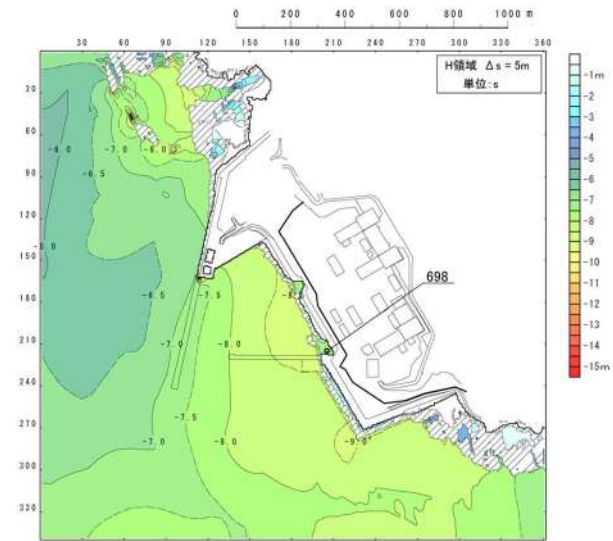


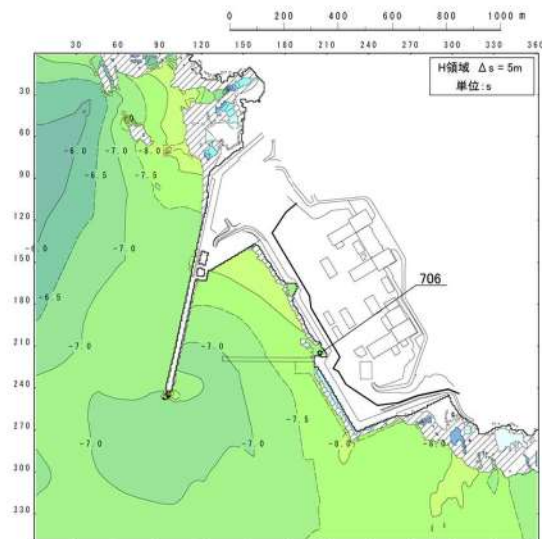
図 2. 1. d. a-3 (9) 港湾内及び港湾外の流況 ((基準津波 (波源 I))



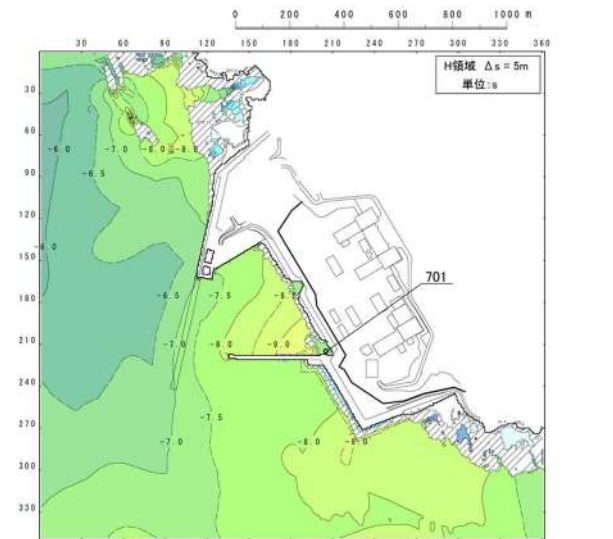
最大水位下降量分布  
(防波堤損傷なし)



最大水位下降量分布  
(北及び南防波堤損傷)

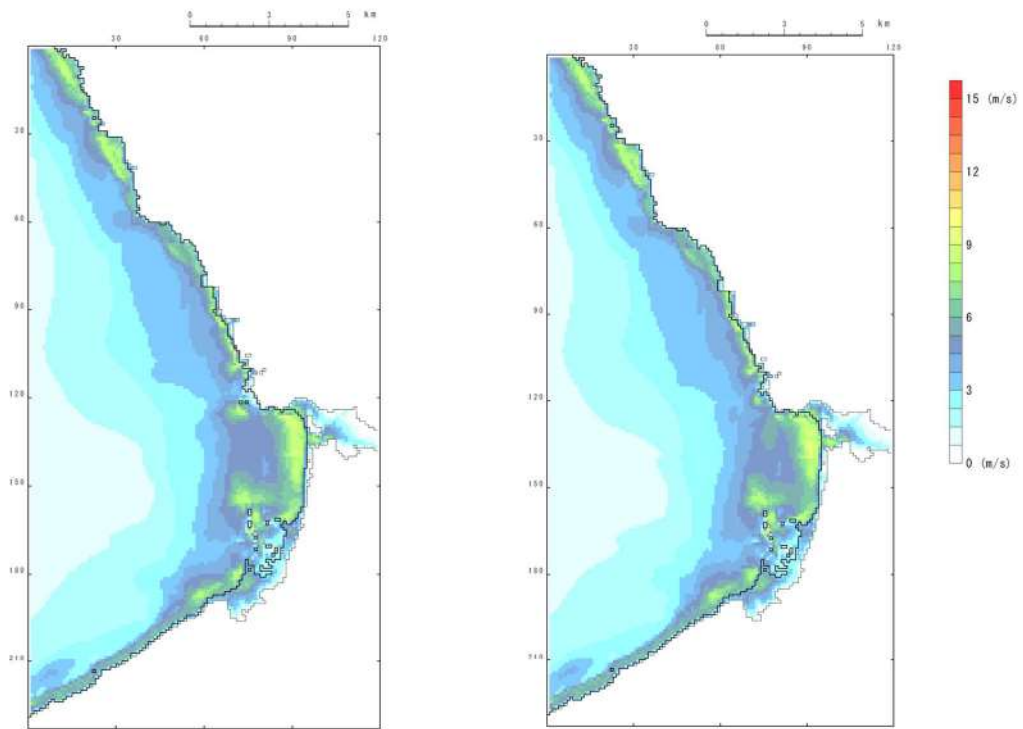


最大水位下降量分布  
(南防波堤損傷)



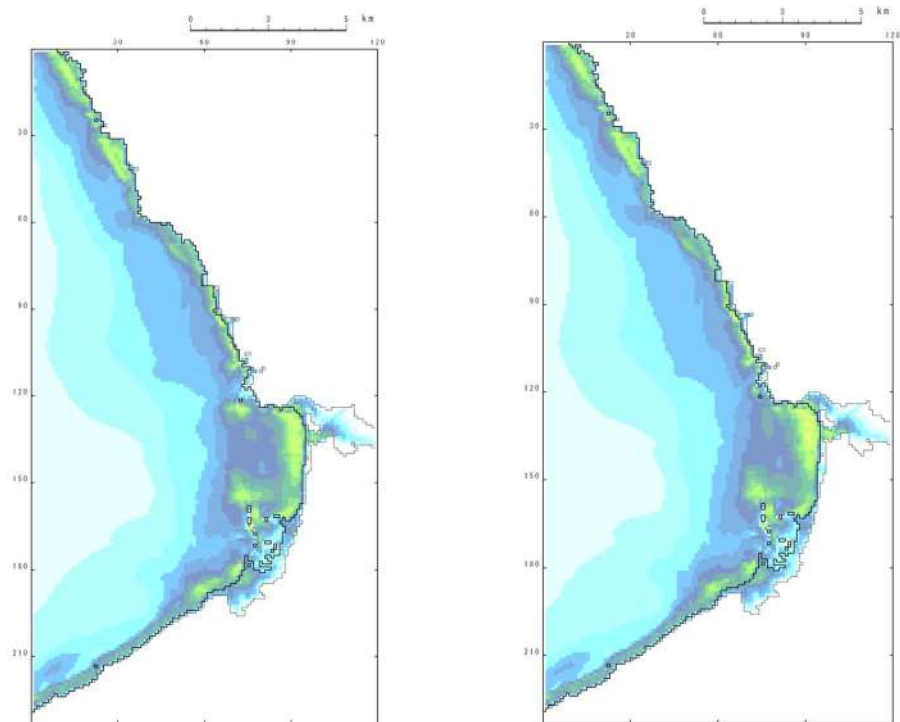
最大水位下降量分布  
(北防波堤損傷)

図 2. 1. d. a-1 (10) 防波堤の有無による最大水位下降量分布の比較  
(基準津波 (波源 J))



最大流速分布  
(防波堤損傷なし)

最大流速分布  
(北及び南防波堤損傷)



最大流速分布  
(南防波堤損傷)

最大流速分布  
(北防波堤損傷)

図 2.1.d.a-2 (10) 発電所沖合の流況 ((基準津波 (波源 J))

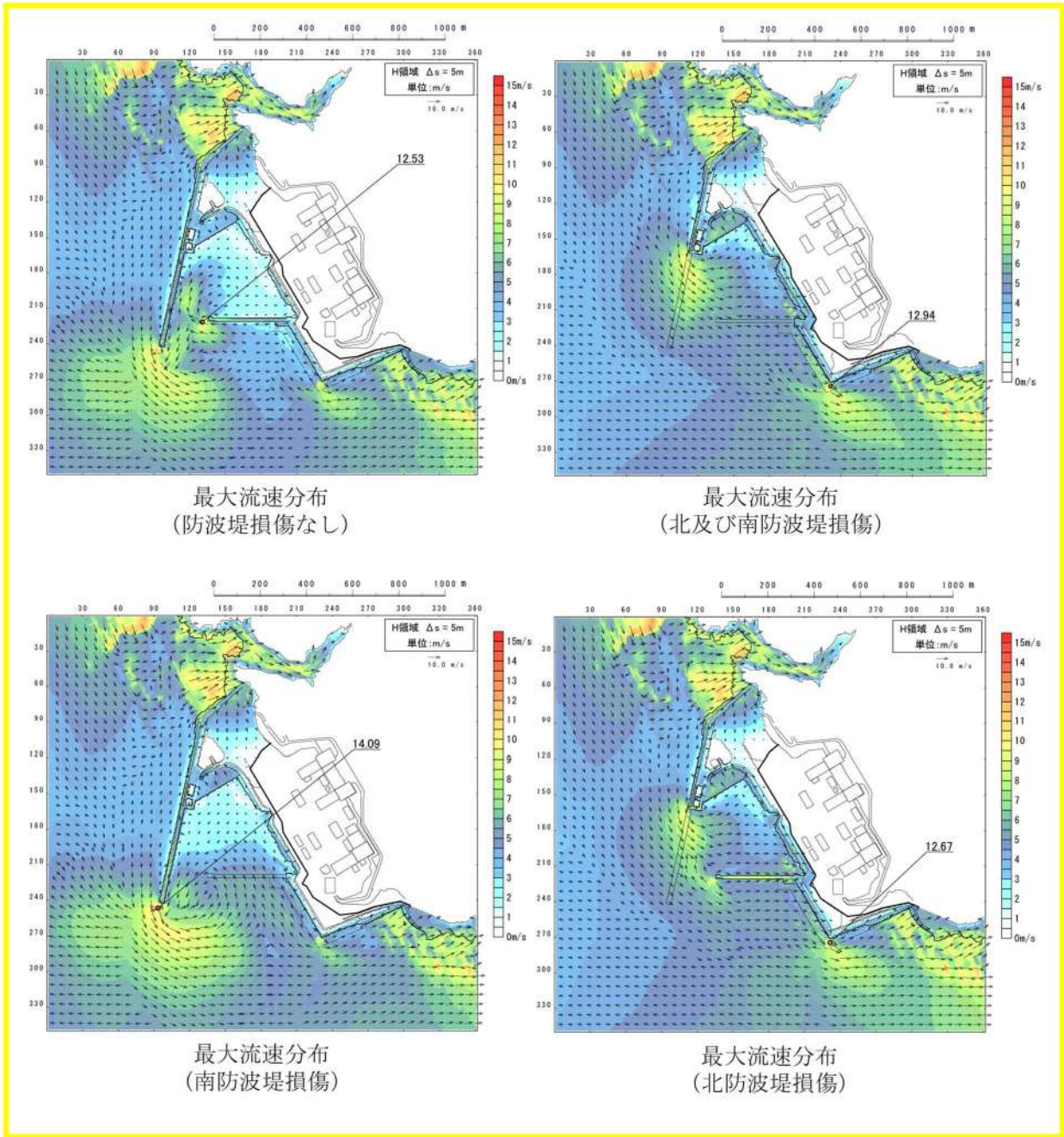


図 2.1. d. a-3 (10) 港湾内及び港湾外の流況 ((基準津波 (波源 J))

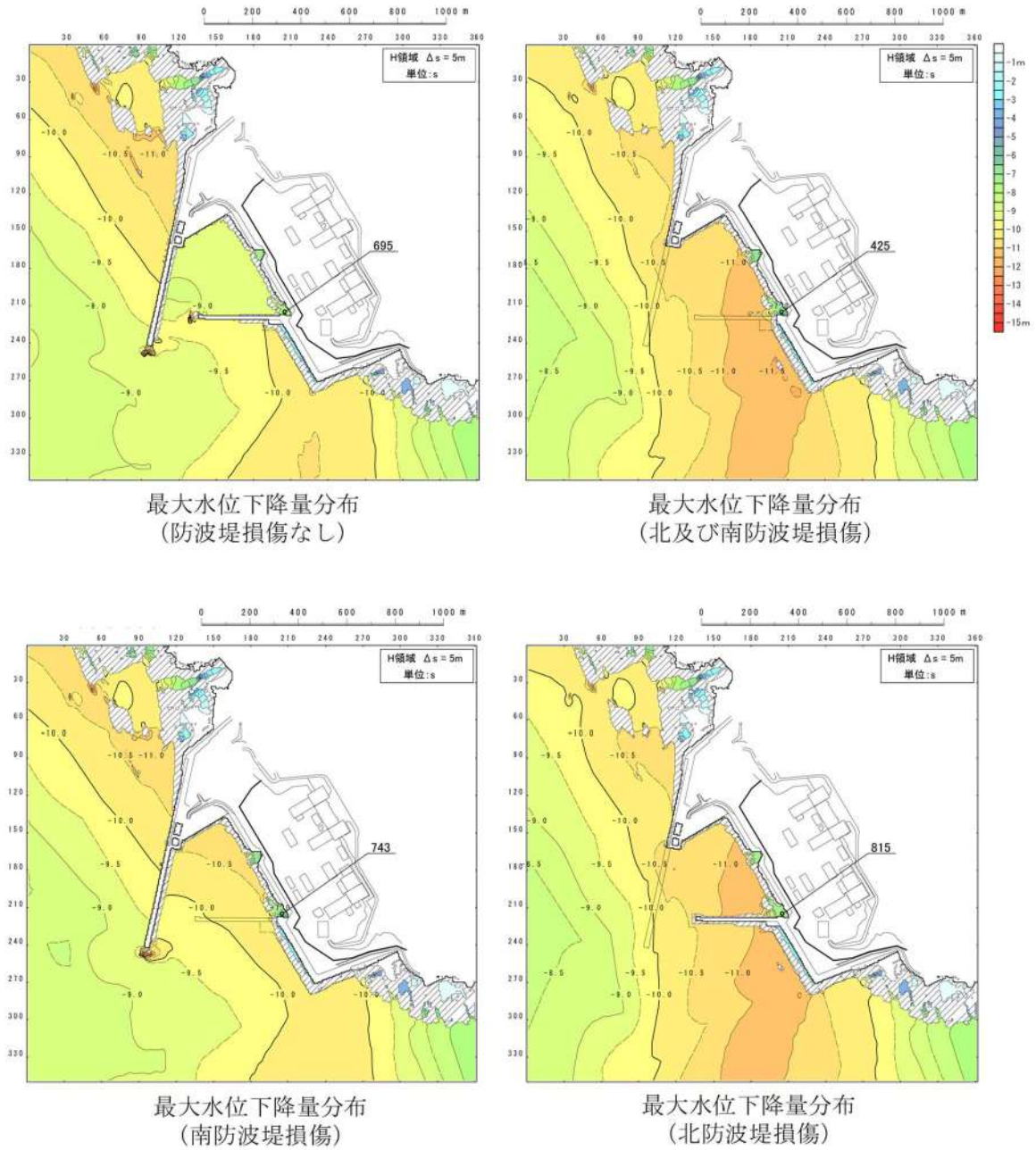
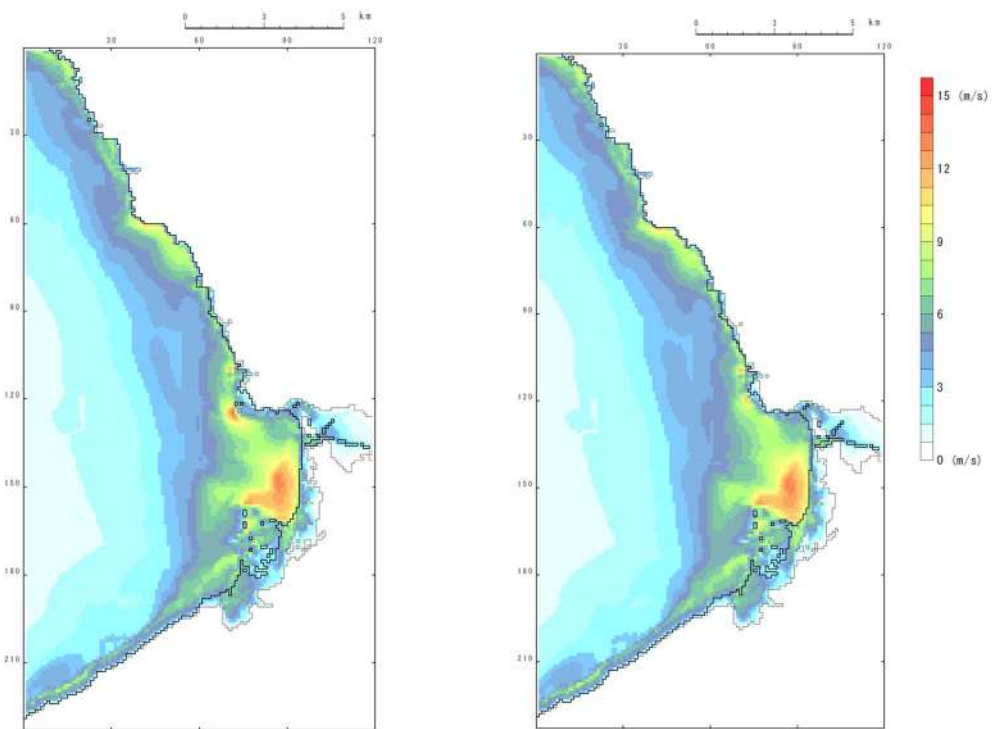
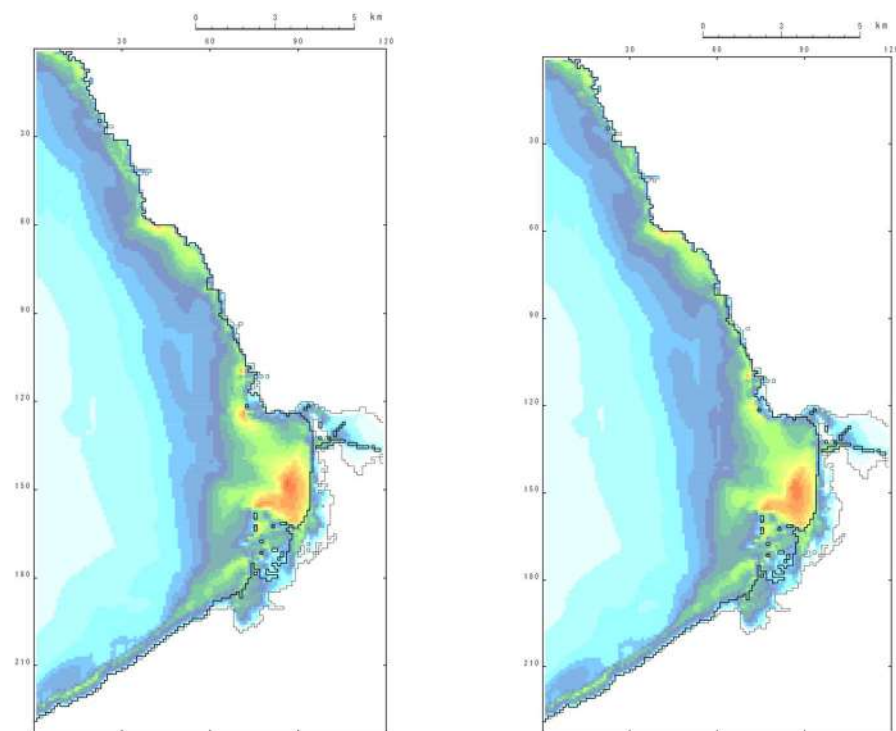


図 2.1. d. a-1 (11) 防波堤の有無による最大水位下降量分布の比較  
(標準津波 (波源K))



最大流速分布  
(防波堤損傷なし)

最大流速分布  
(北及び南防波堤損傷)



最大流速分布  
(南防波堤損傷)

最大流速分布  
(北防波堤損傷)

図 2.1. d. a-2 (11) 発電所沖合の流況 ((基準津波 (波源K))

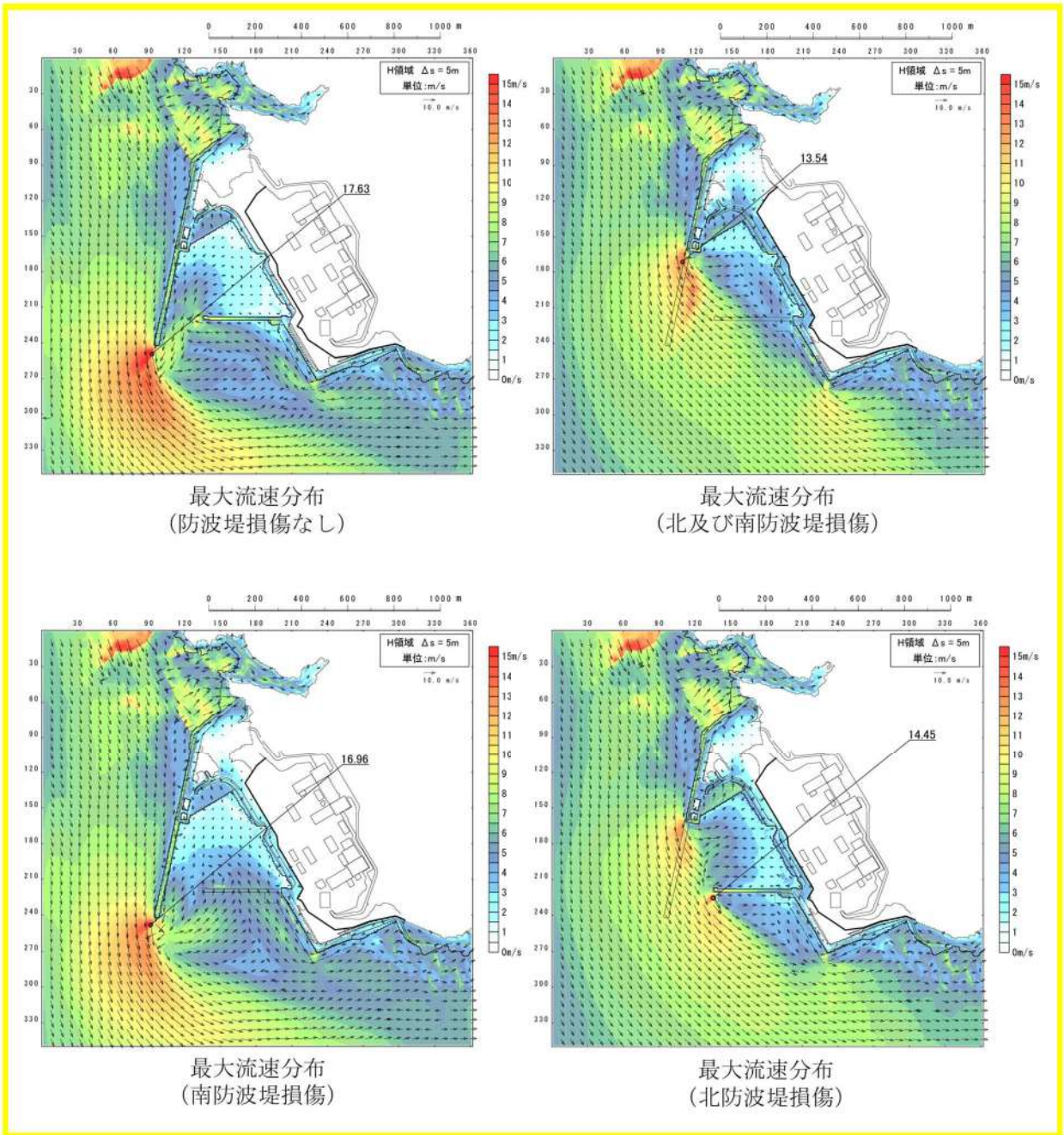
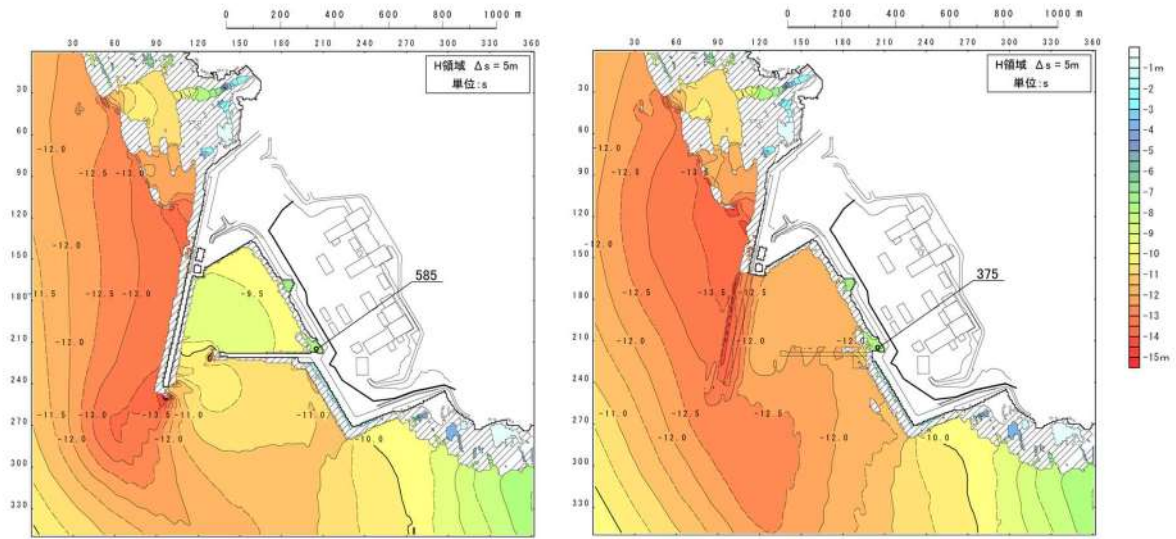
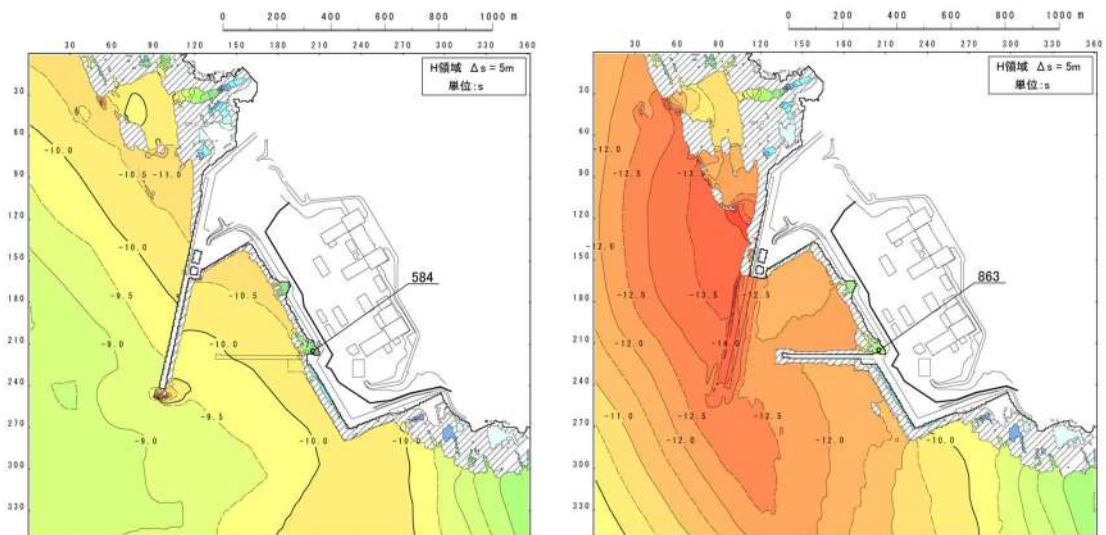


図 2.1. d. a-3 (11) 港湾内及び港湾外の流況 ((基準津波 (波源K))



最大水位下降量分布  
(防波堤損傷なし)

最大水位下降量分布  
(北及び南防波堤損傷)



最大水位下降量分布  
(南防波堤損傷)

最大水位下降量分布  
(北防波堤損傷)

図 2. 1. d. a-1 (12) 防波堤の有無による最大水位下降量分布の比較  
(標準津波 (波源 L))



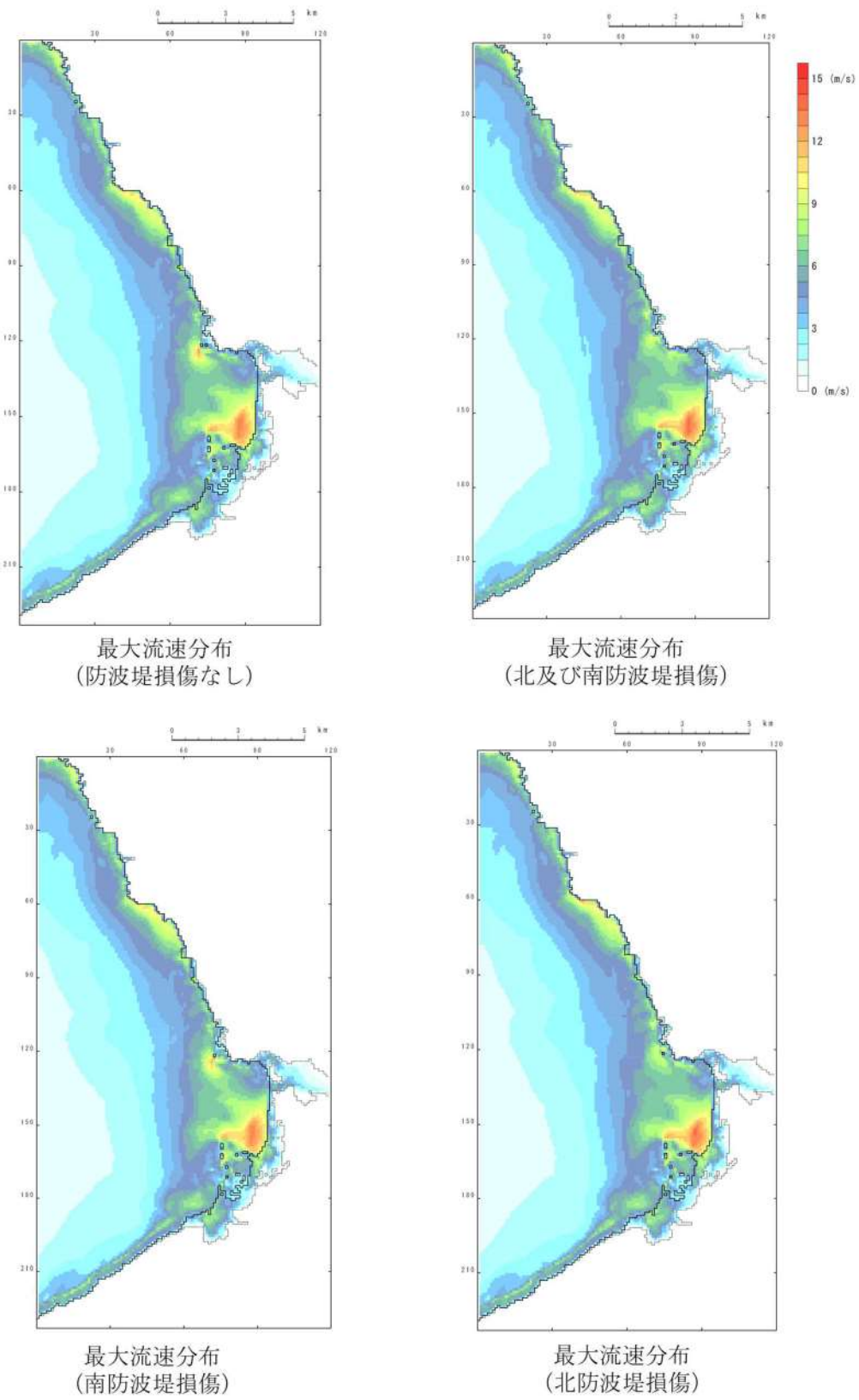


図 2.1.d.a-2 (12) 発電所沖合の流況 ((基準津波 (波源L))

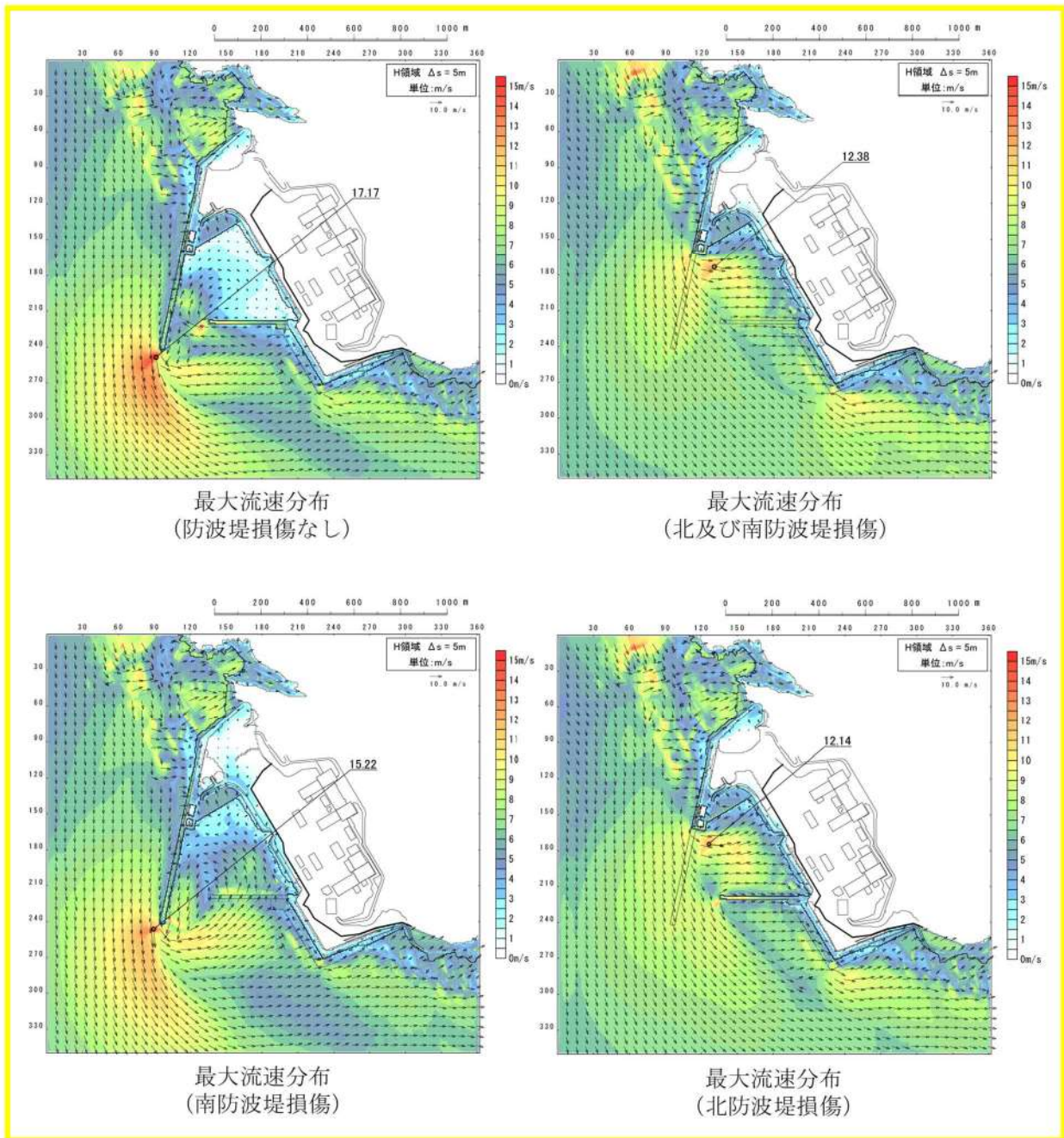


図 2.1. d. a-3 (12) 港湾内及び港湾外の流況 ((基準津波 (波源 L))

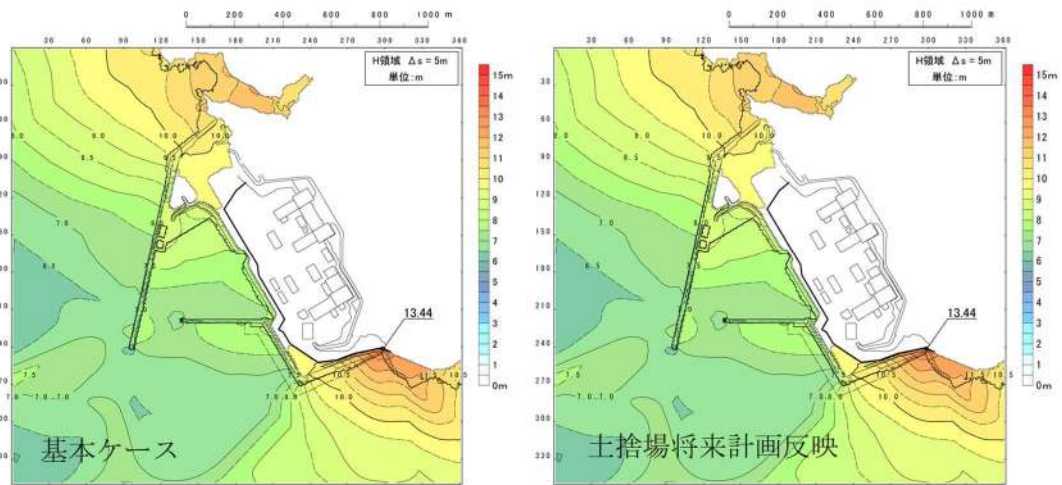


図 2. 1. e. b-2 (1) 将来計画反映の有無による最大水位上昇量分布の比較  
(基準津波 (波源 A, 防波堤損傷なし))

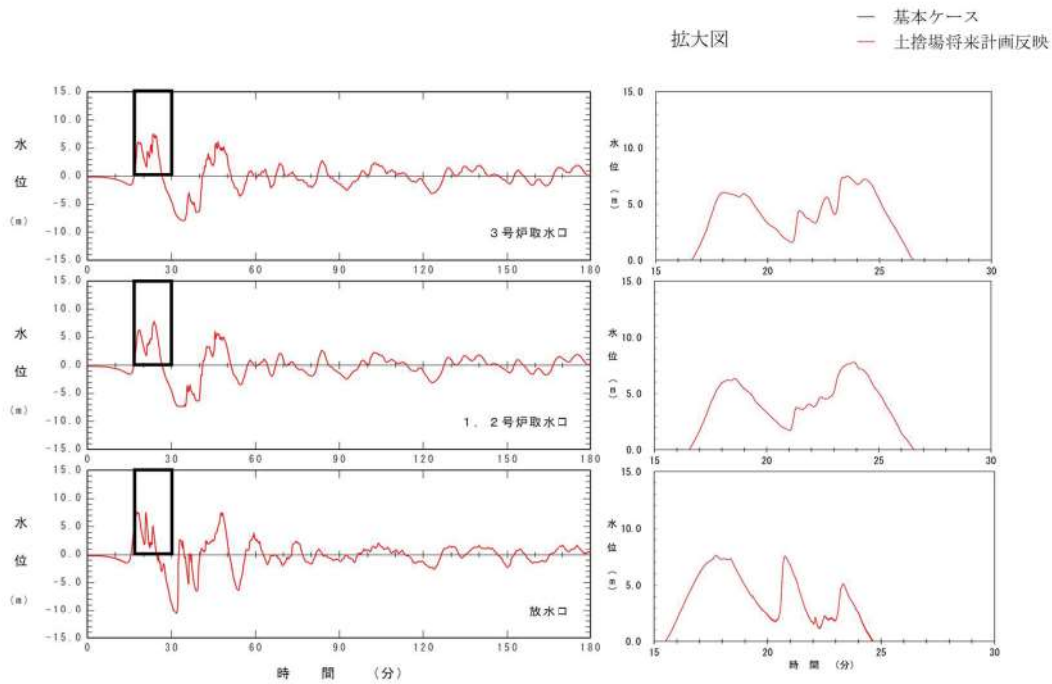


図 2. 1. e. b-2 (2) 将来計画反映の有無による水位時刻歴波形の比較  
(基準津波 (波源 A, 防波堤損傷なし))

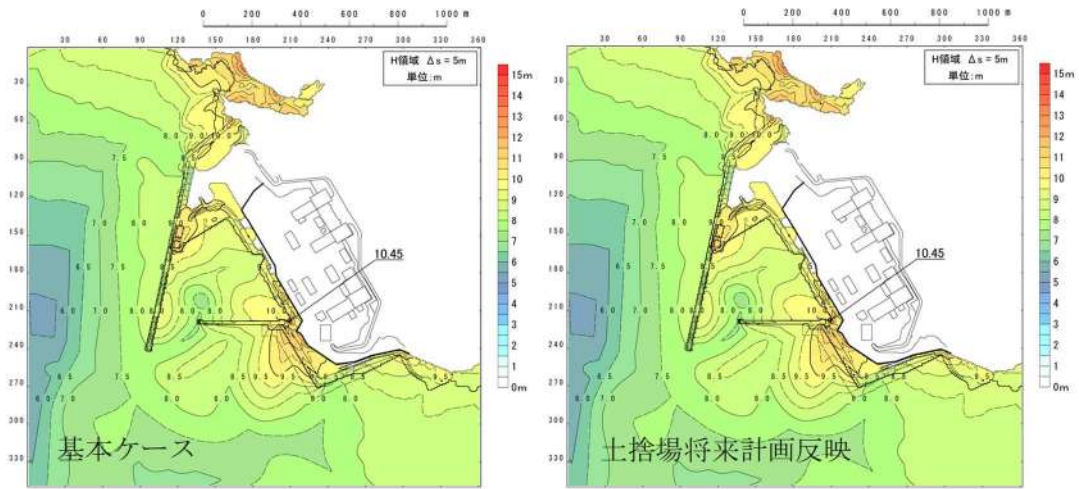


図 2.1. e. b-2 (3) 将来計画反映の有無による最大水位上昇量分布の比較  
(基準津波 (波源 B, 防波堤損傷なし))

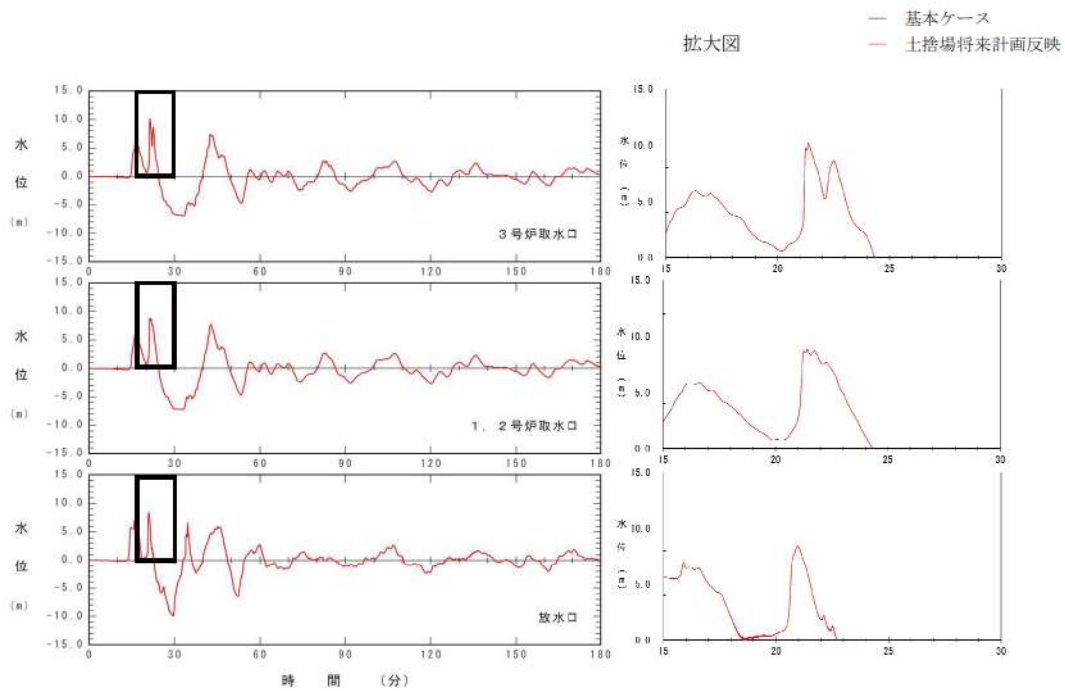


図 2.1. e. b-2 (4) 将来計画反映の有無による水位時刻歴波形の比較  
(基準津波 (波源 B, 防波堤損傷なし))

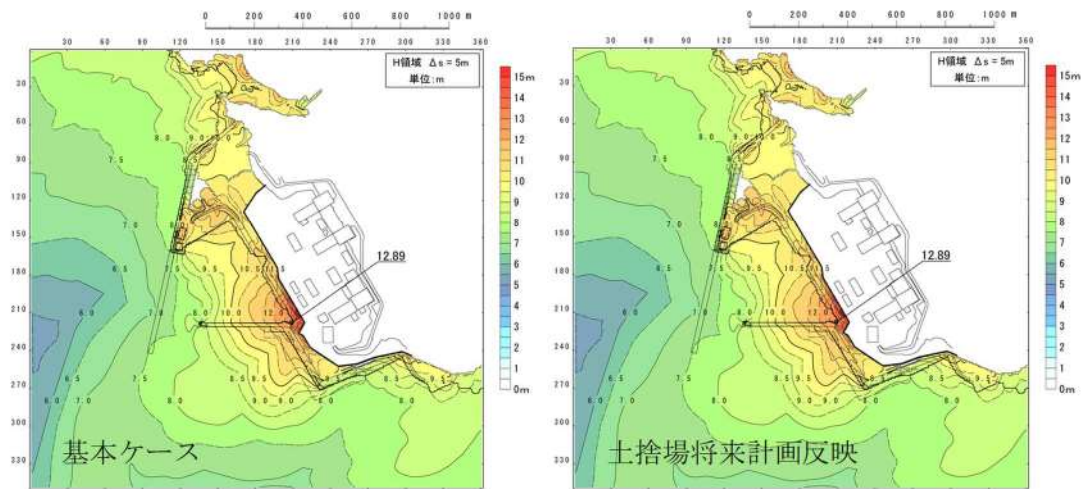


図 2.1. e. b-2 (5) 将来計画反映の有無による最大水位上昇量分布の比較  
(基準津波 (波源 B, 北防波堤損傷))

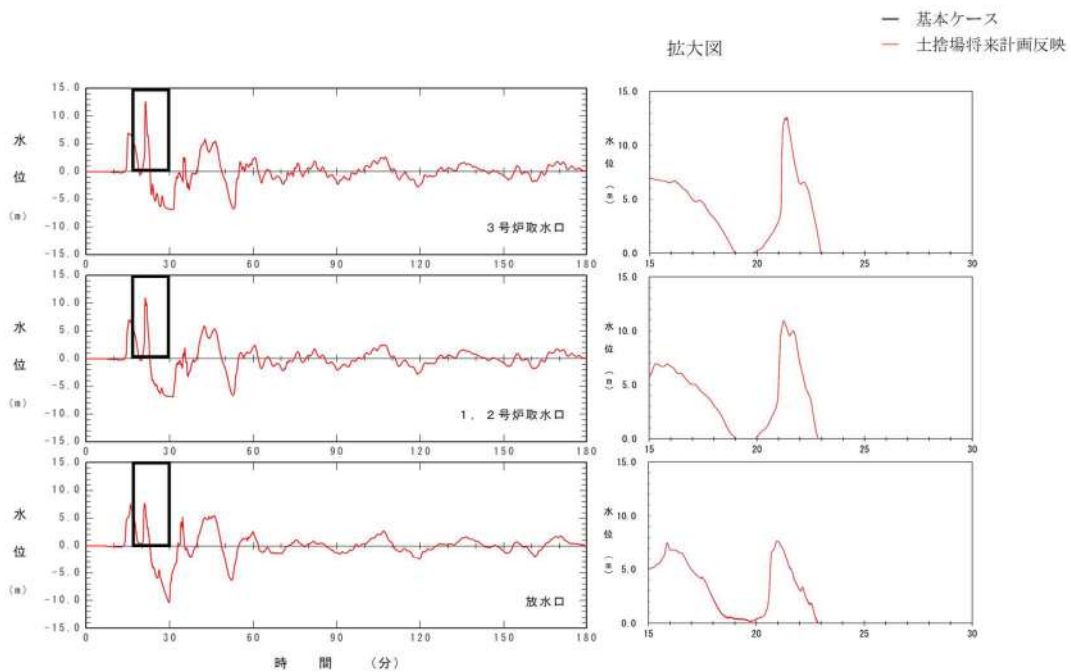


図 2.1. e. b-2 (6) 将来計画反映の有無による水位時刻歴波形の比較  
(基準津波 (波源 B, 北防波堤損傷))

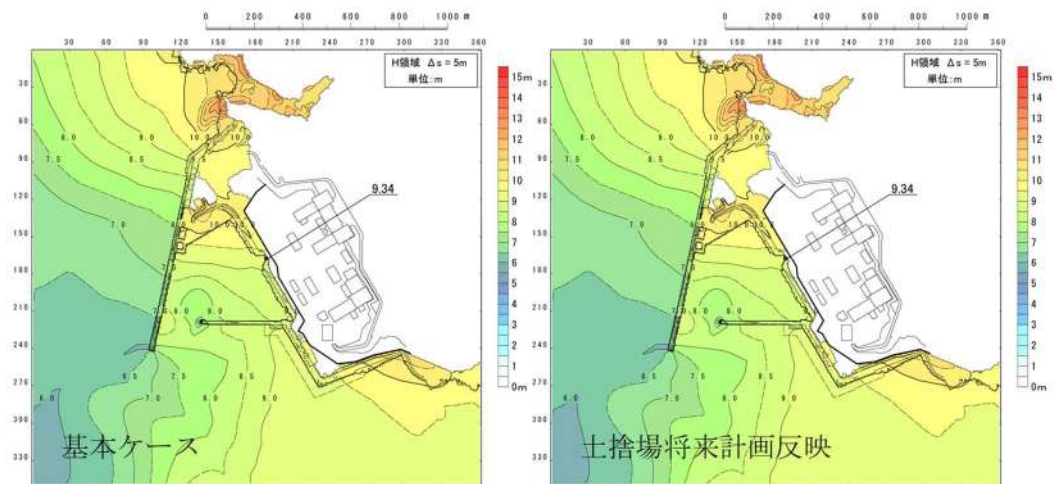


図 2.1. e. b-2 (7) 将来計画反映の有無による最大水位上昇量分布の比較  
(基準津波 (波源C, 防波堤損傷なし))

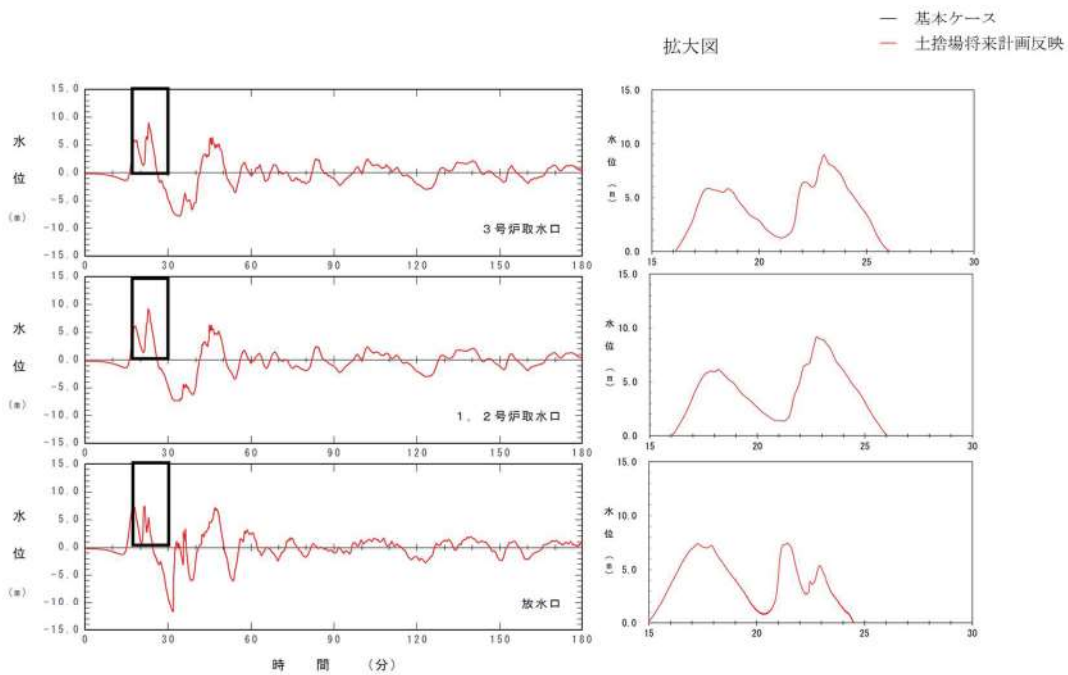


図 2.1. e. b-2 (8) 将来計画反映の有無による水位時刻歴波形の比較  
(基準津波 (波源C, 防波堤損傷なし))

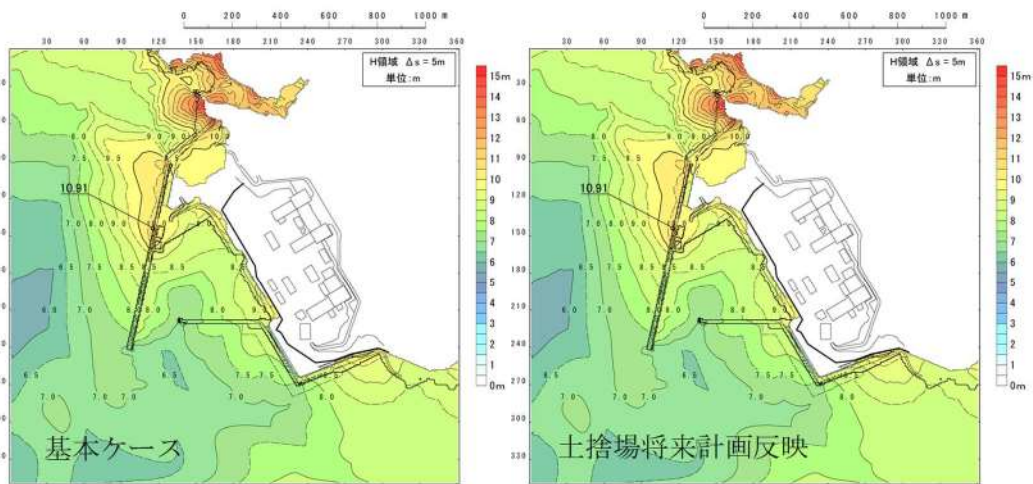


図 2. 1. e. b-2 (9) 将来計画反映の有無による最大水位上昇量分布の比較  
(基準津波 (波源D, 防波堤損傷なし))

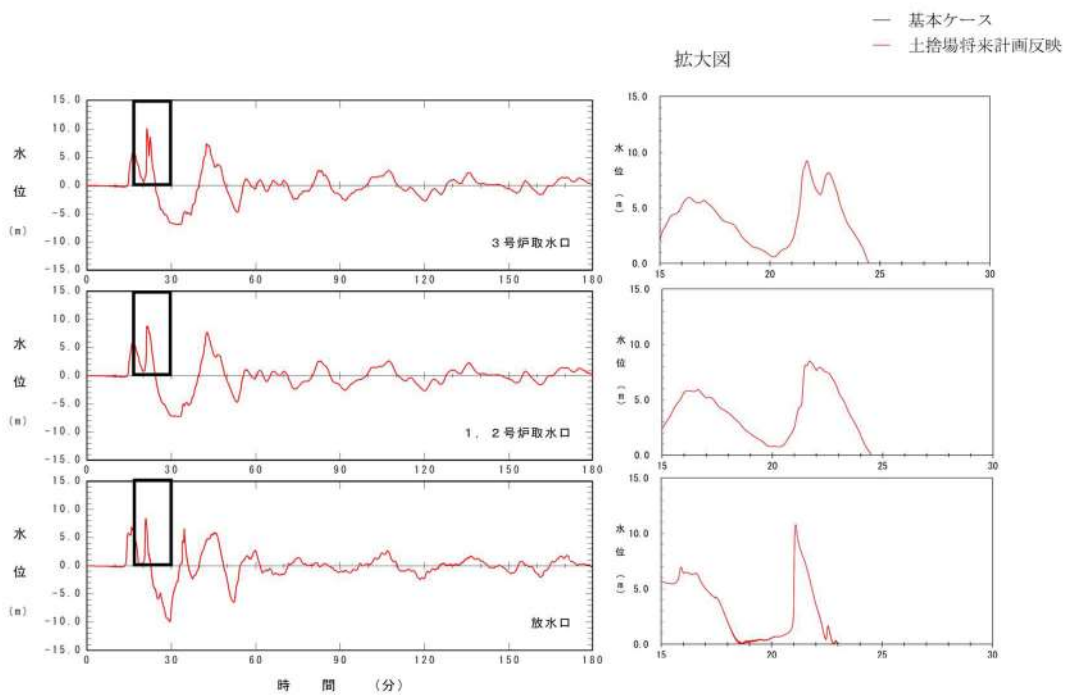


図 2. 1. e. b-2 (10) 将来計画反映の有無による水位時刻歴波形の比較  
(基準津波 (波源D, 防波堤損傷なし))

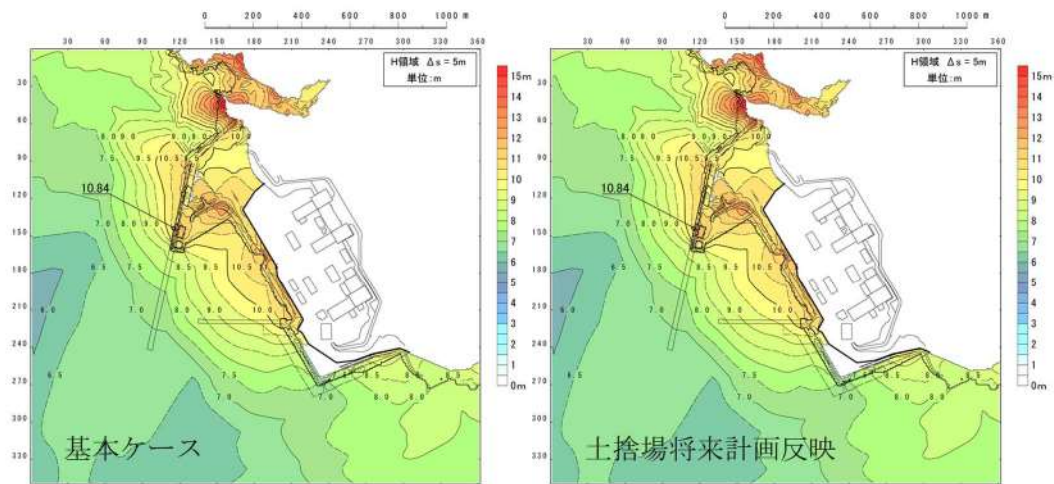


図 2. 1. e. b-2 (11) 将来計画反映の有無による最大水位上昇量分布の比較  
(基準津波 (波源D, 北及び南防波堤損傷))

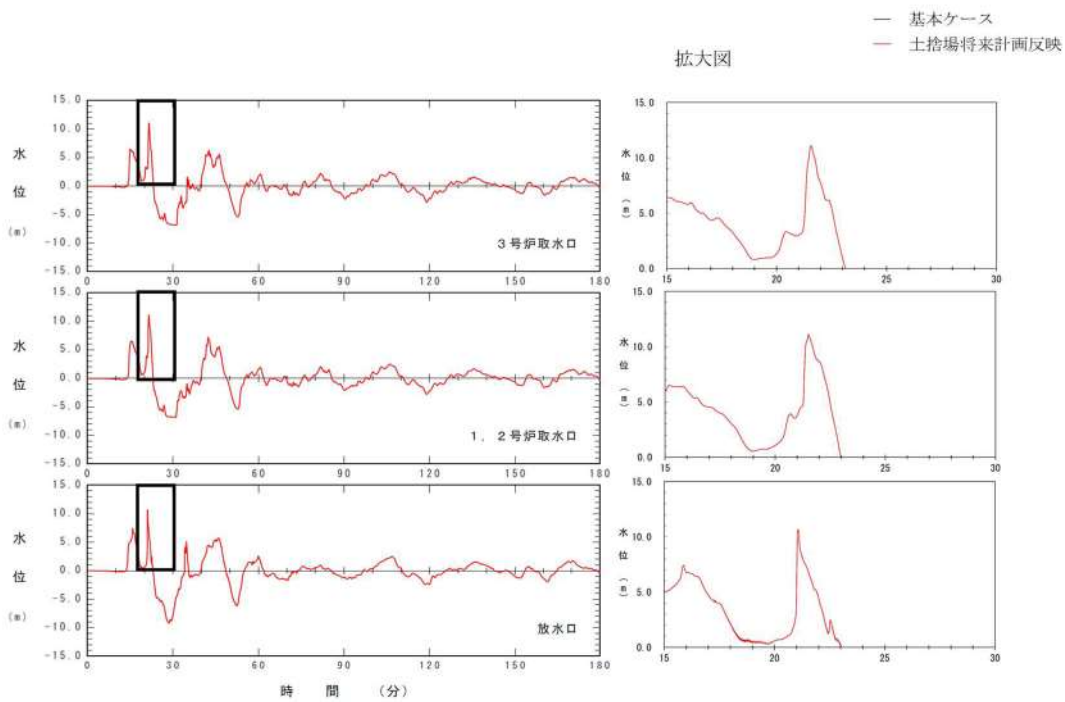


図 2. 1. e. b-2 (12) 将来計画反映の有無による水位時刻歴波形の比較  
(基準津波 (波源D, 北及び南防波堤損傷))



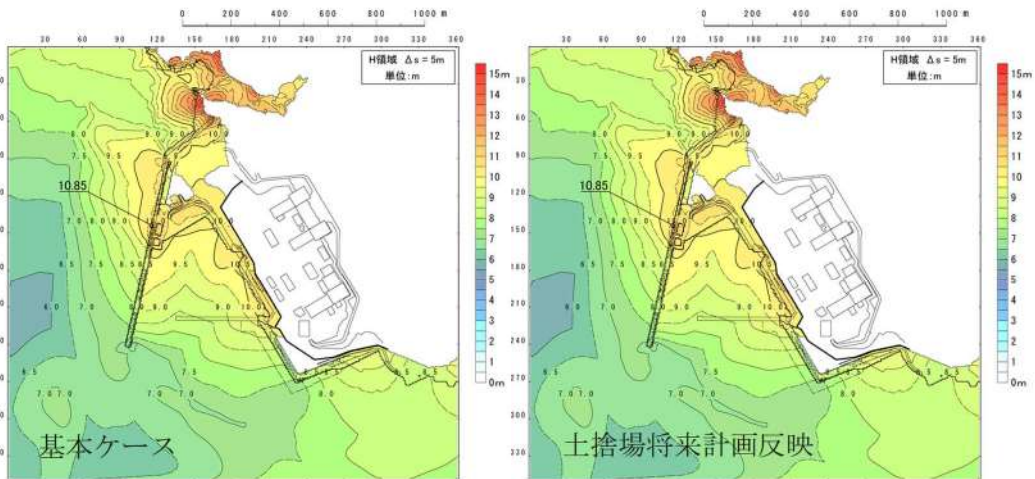


図 2. 1. e. b-2 (13) 将来計画反映の有無による最大水位上昇量分布の比較  
(基準津波 (波源D, 南防波堤損傷))

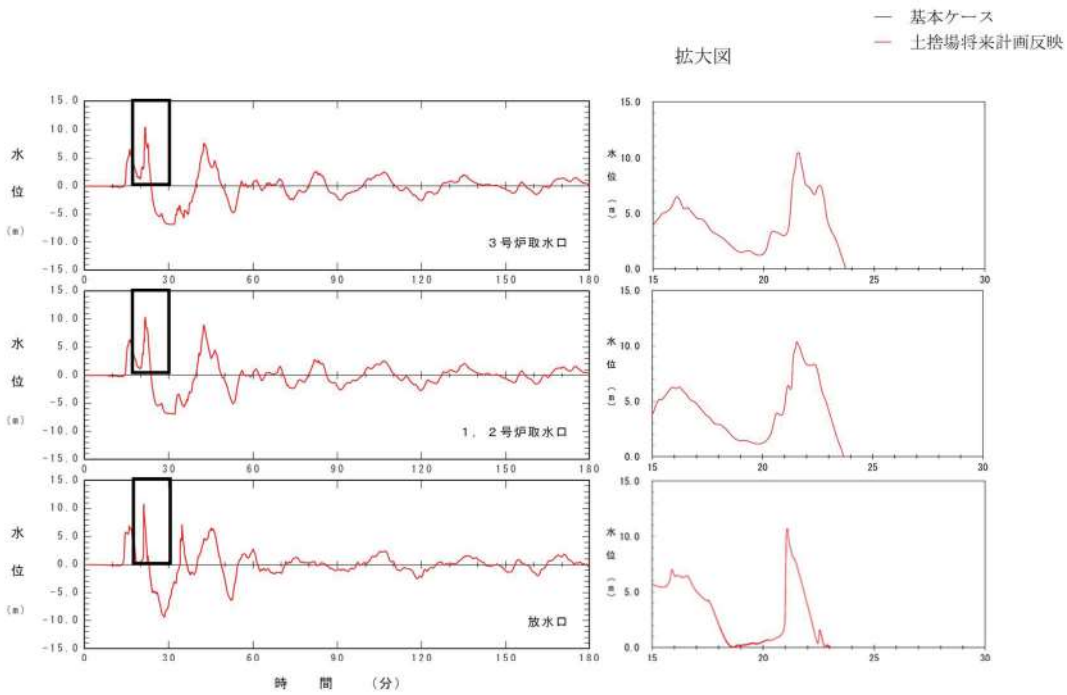


図 2. 1. e. b-2 (14) 将来計画反映の有無による水位時刻歴波形の比較  
(基準津波 (波源D, 南防波堤損傷))

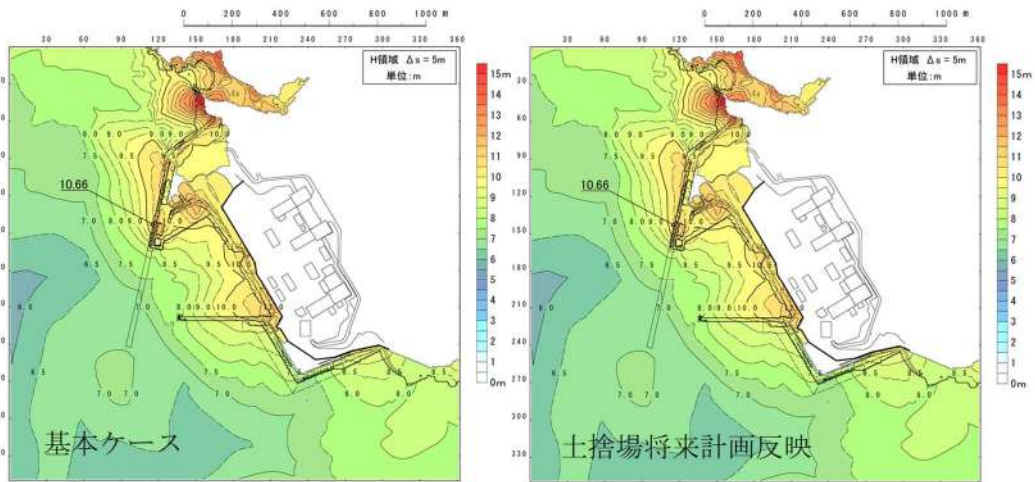


図 2. 1. e. b-2 (15) 将来計画反映の有無による最大水位上昇量分布の比較  
(基準津波 (波源D, 北防波堤損傷))

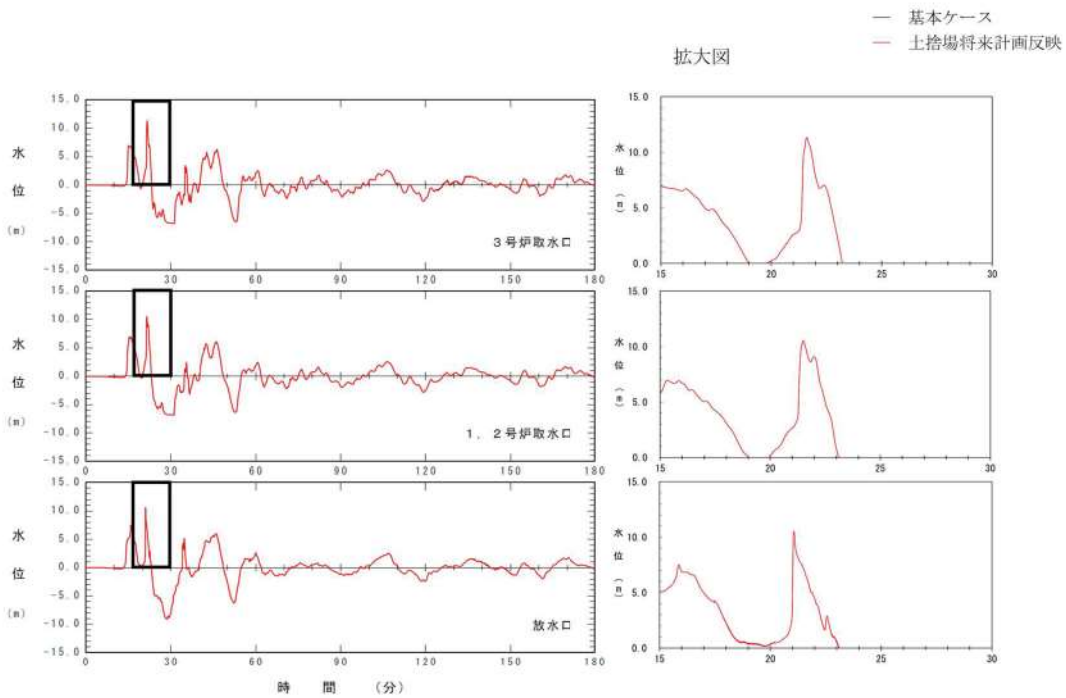


図 2. 1. e. b-2 (16) 将来計画反映の有無による水位時刻歴波形の比較  
(基準津波 (波源D, 北防波堤損傷))

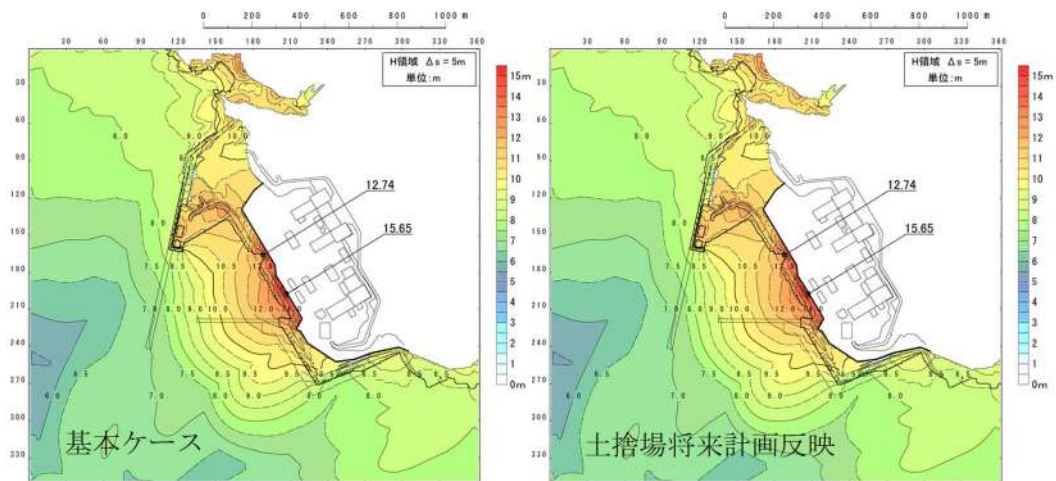


図 2. 1. e. b-2 (17) 将来計画反映の有無による最大水位上昇量分布の比較  
(基準津波 (波源 E, 北及び南防波堤損傷))

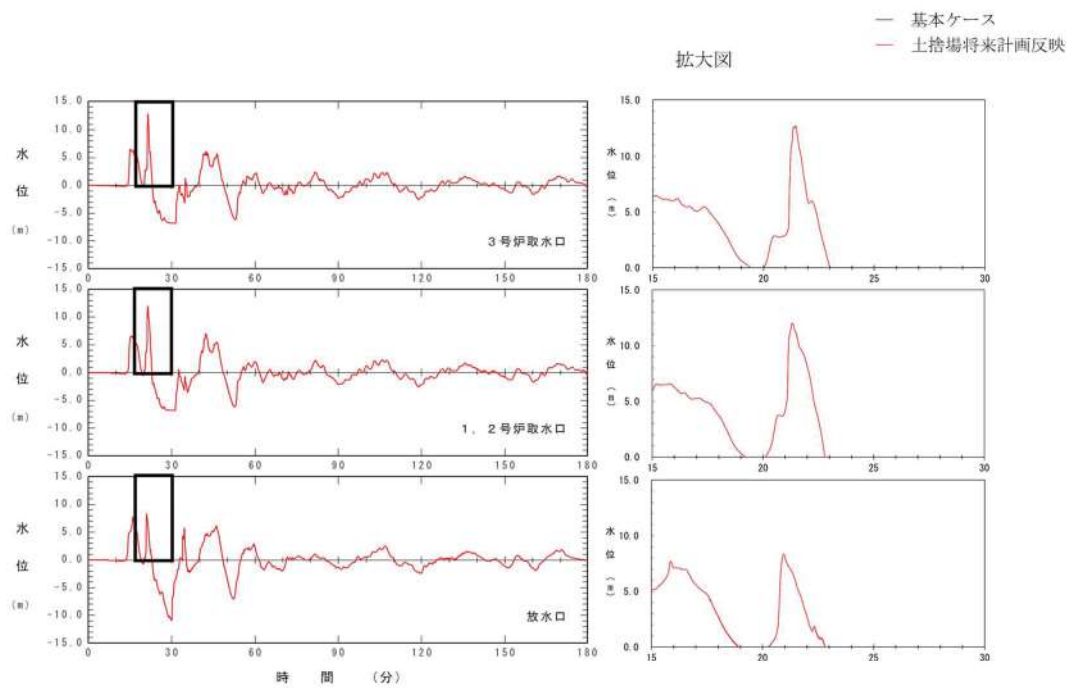


図 2. 1. e. b-2 (18) 将来計画反映の有無による水位時刻歴波形の比較  
(基準津波 (波源 E, 北及び南防波堤損傷))

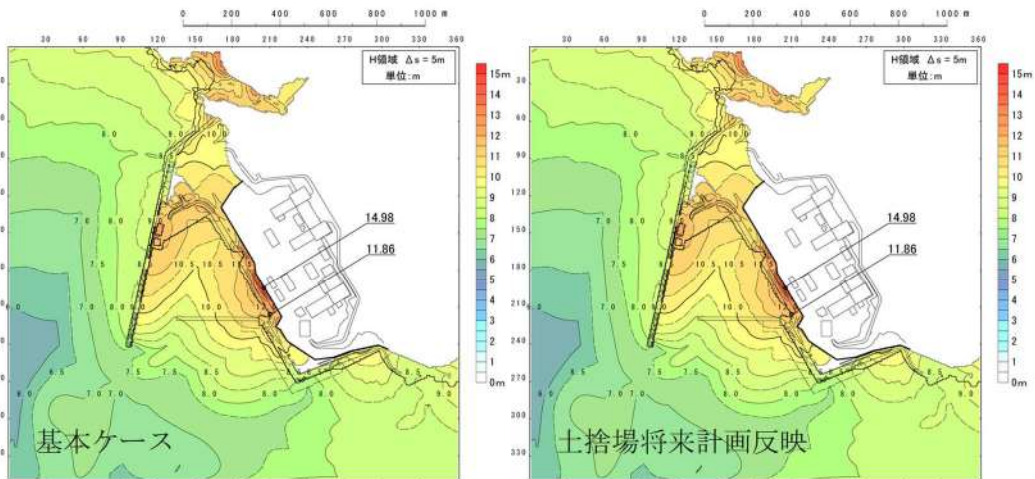


図 2.1.e.b-2 (19) 将来計画反映の有無による最大水位上昇量分布の比較  
(基準津波 (波源 E, 南防波堤損傷))

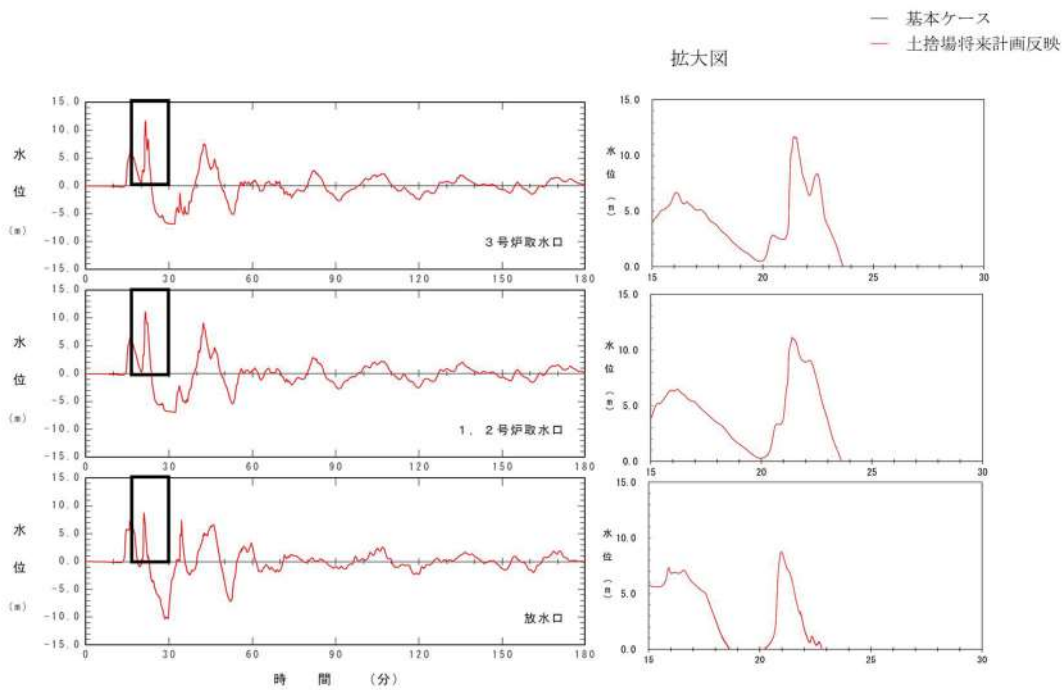


図 2.1.e.b-2 (20) 将来計画反映の有無による水位時刻歴波形の比較  
(基準津波 (波源 E, 南防波堤損傷))

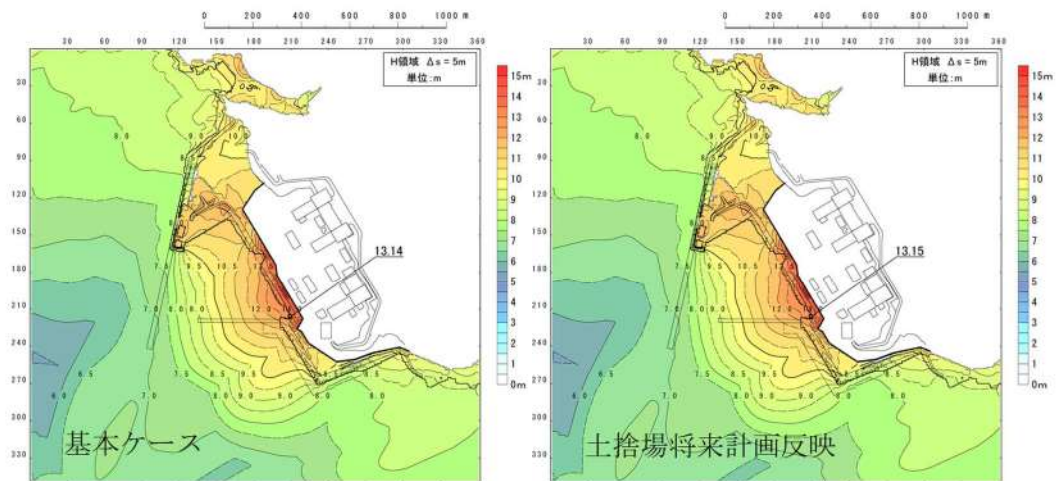


図 2.1. e. b-2 (21) 将来計画反映の有無による最大水位上昇量分布の比較  
(基準津波 (波源 F, 北及び南防波堤損傷))

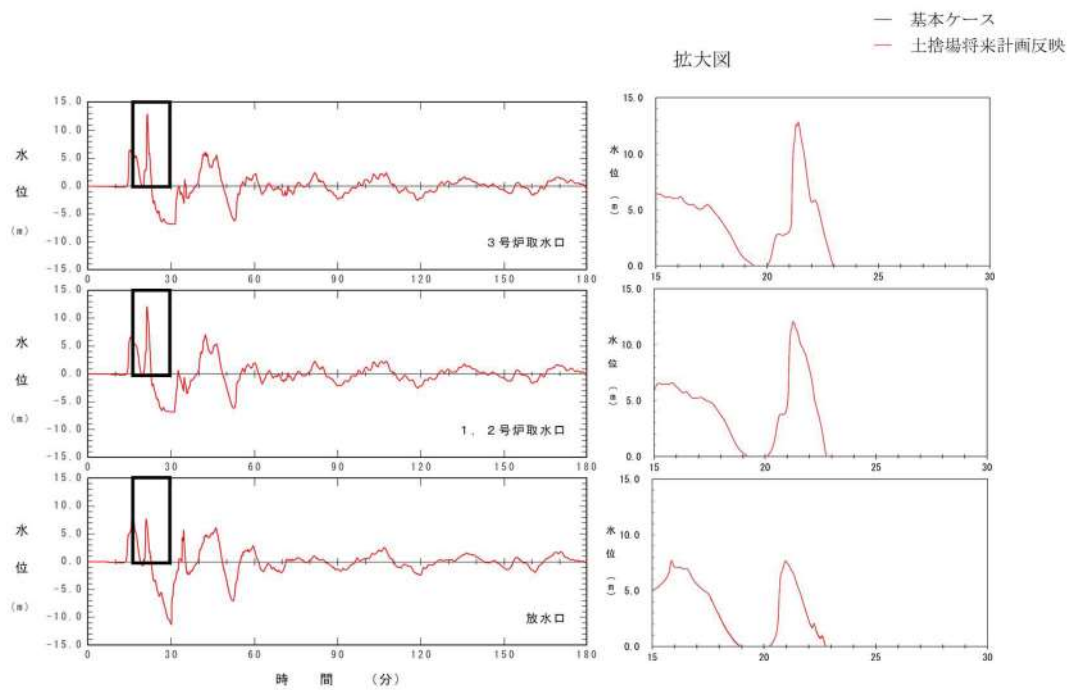


図 2.1. e. b-2 (22) 将来計画反映の有無による水位時刻歴波形の比較  
(基準津波 (波源 F, 北及び南防波堤損傷))

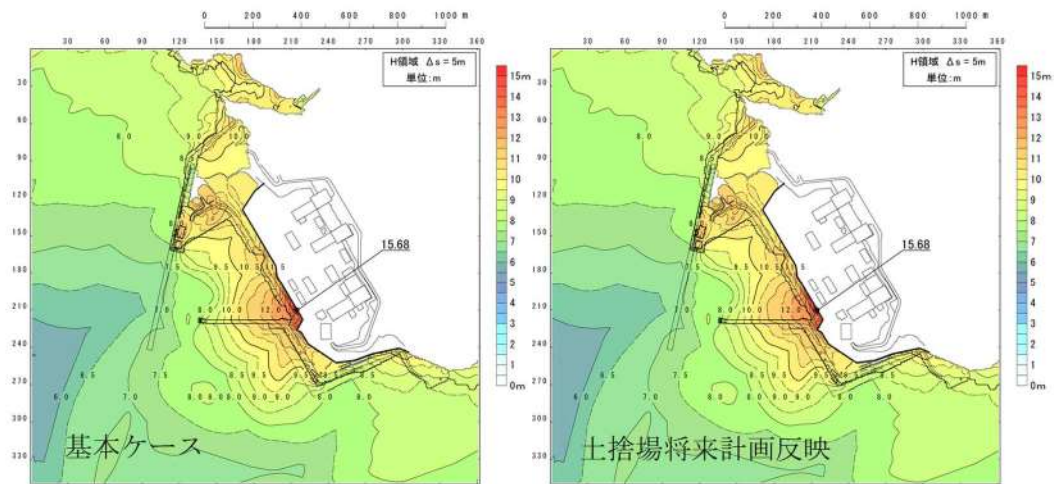


図 2. 1. e. b-2 (23) 将来計画反映の有無による最大水位上昇量分布の比較  
(基準津波 (波源 F, 北防波堤損傷))

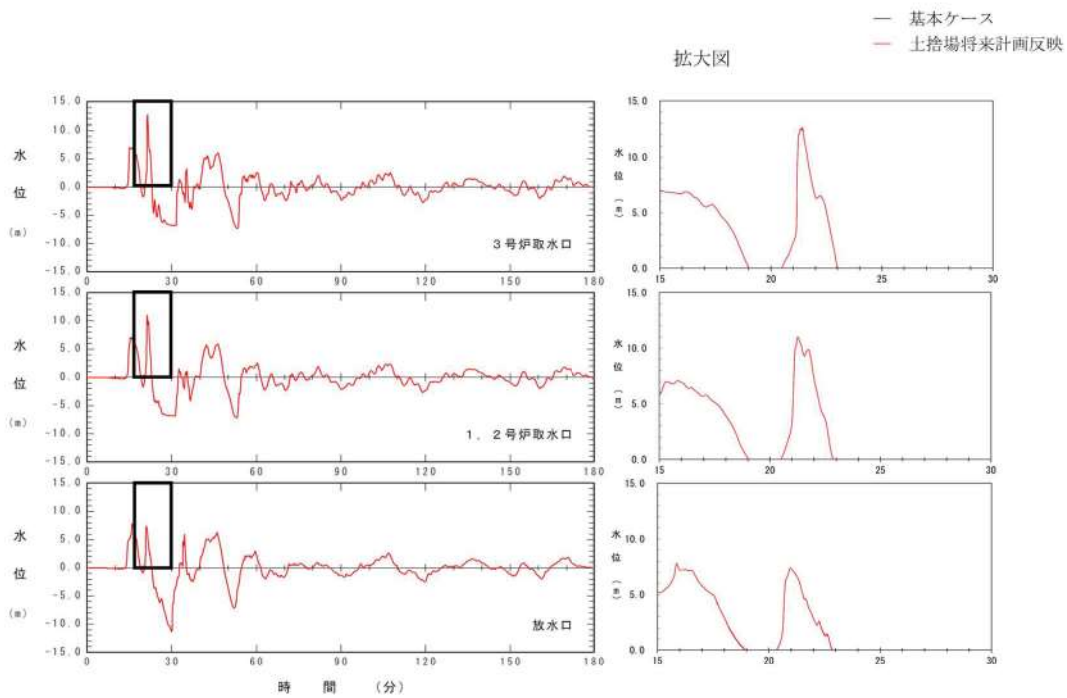


図 2. 1. e. b-2 (24) 将来計画反映の有無による水位時刻歴波形の比較  
(基準津波 (波源 F, 北防波堤損傷))

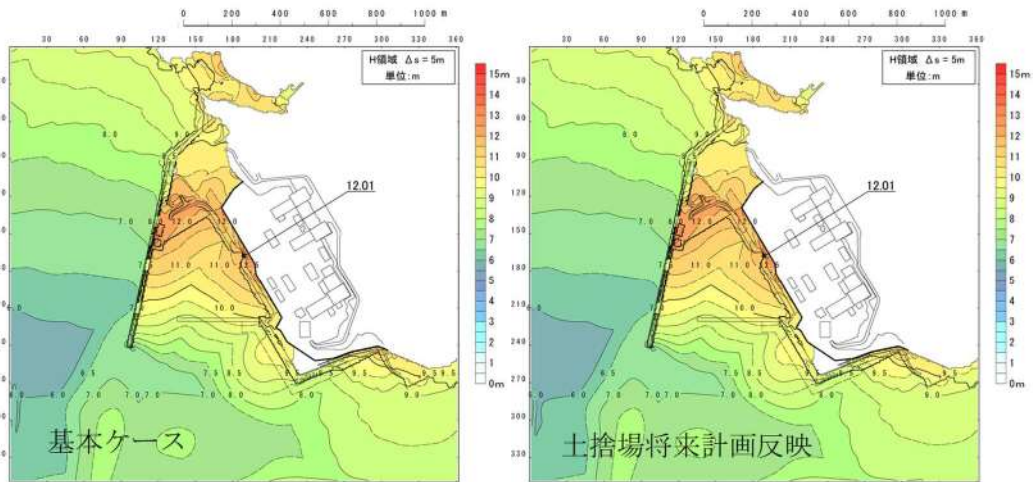


図 2. 1. e. b-2 (25) 将来計画反映の有無による最大水位上昇量分布の比較  
(基準津波 (波源G, 南防波堤損傷))

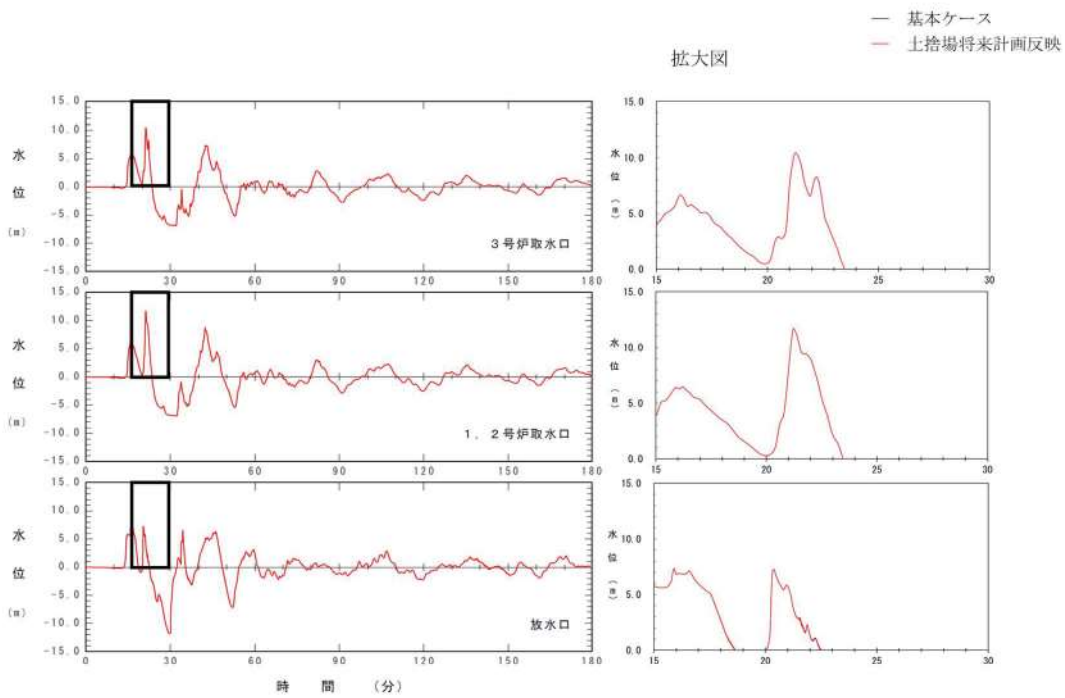


図 2. 1. e. b-2 (26) 将来計画反映の有無による水位時刻歴波形の比較  
(基準津波 (波源G, 南防波堤損傷))

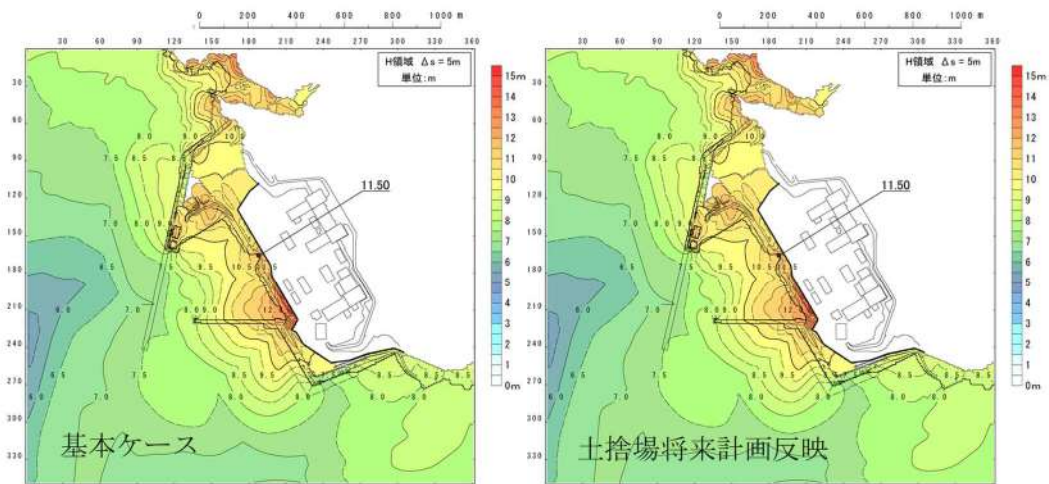


図 2. 1. e. b-2 (27) 将来計画反映の有無による最大水位上昇量分布の比較  
(基準津波 (波源H, 北防波堤損傷))

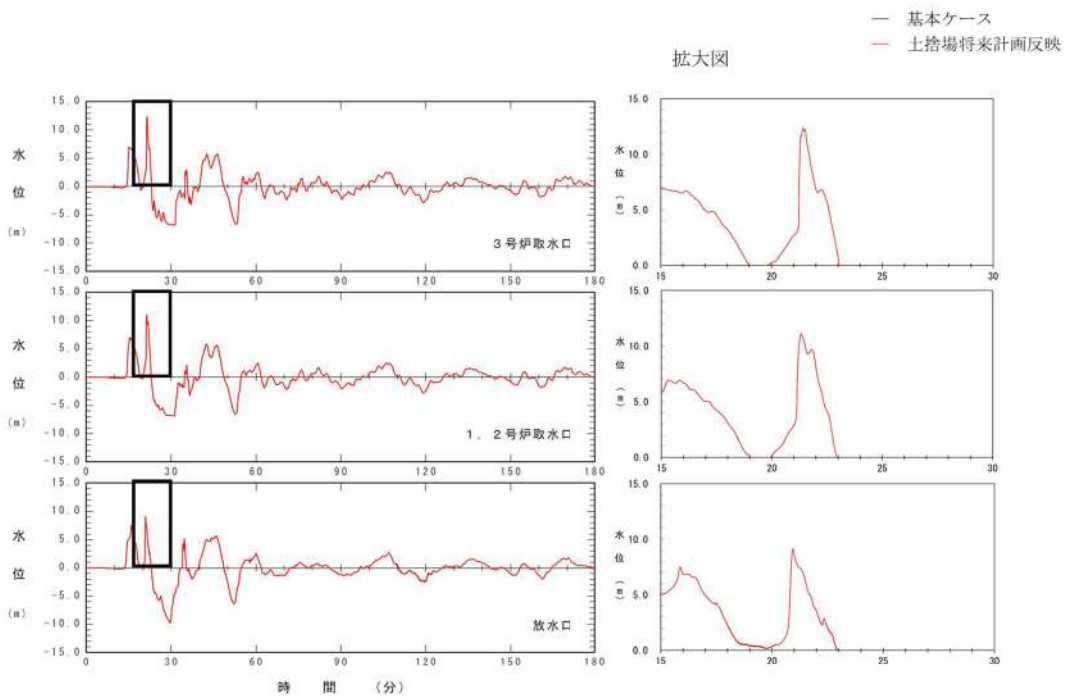


図 2. 1. e. b-2 (28) 将来計画反映の有無による水位時刻歴波形の比較  
(基準津波 (波源H, 北防波堤損傷))



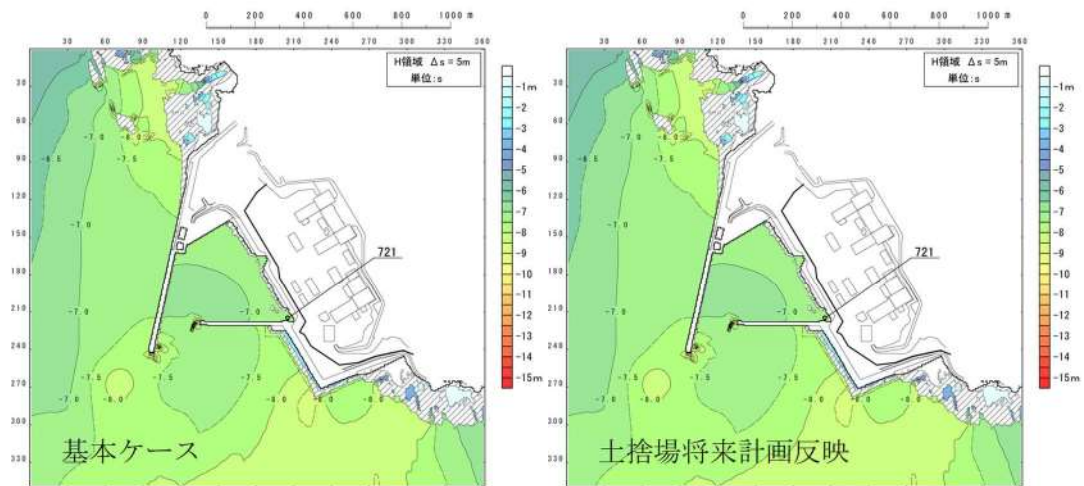


図 2. 1. e. b-2 (29) 将来計画反映の有無による最大水位下降量分布の比較  
(基準津波 (波源 I, 防波堤損傷なし))

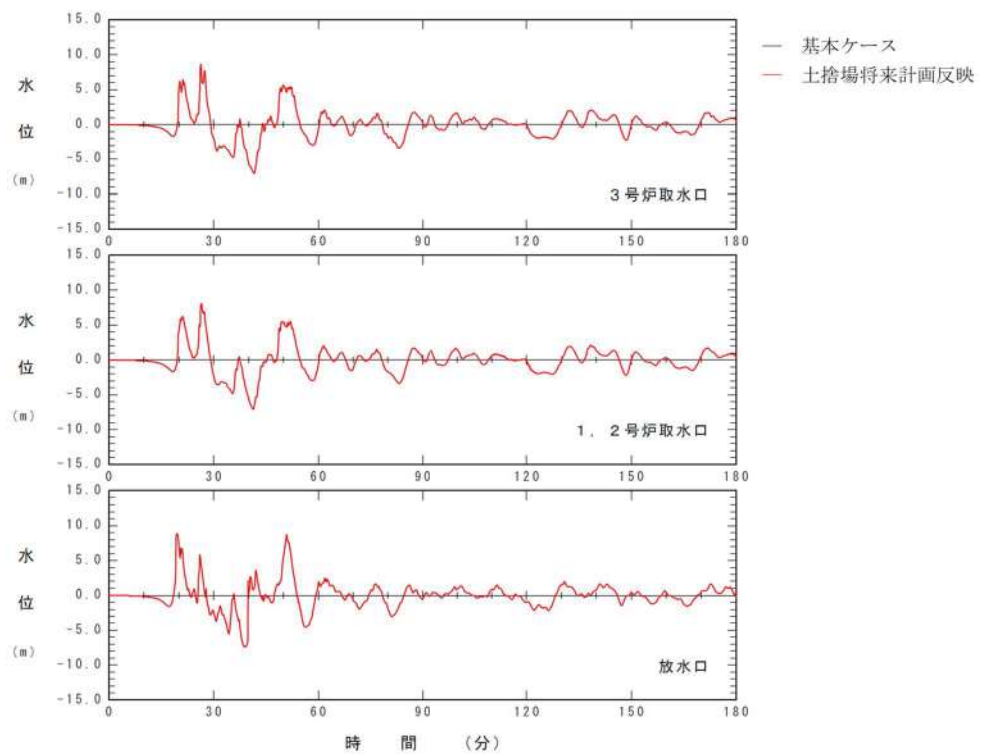


図 2. 1. e. b-2 (30) 将来計画反映の有無による水位時刻歴波形の比較  
(基準津波 (波源 I, 防波堤損傷なし))

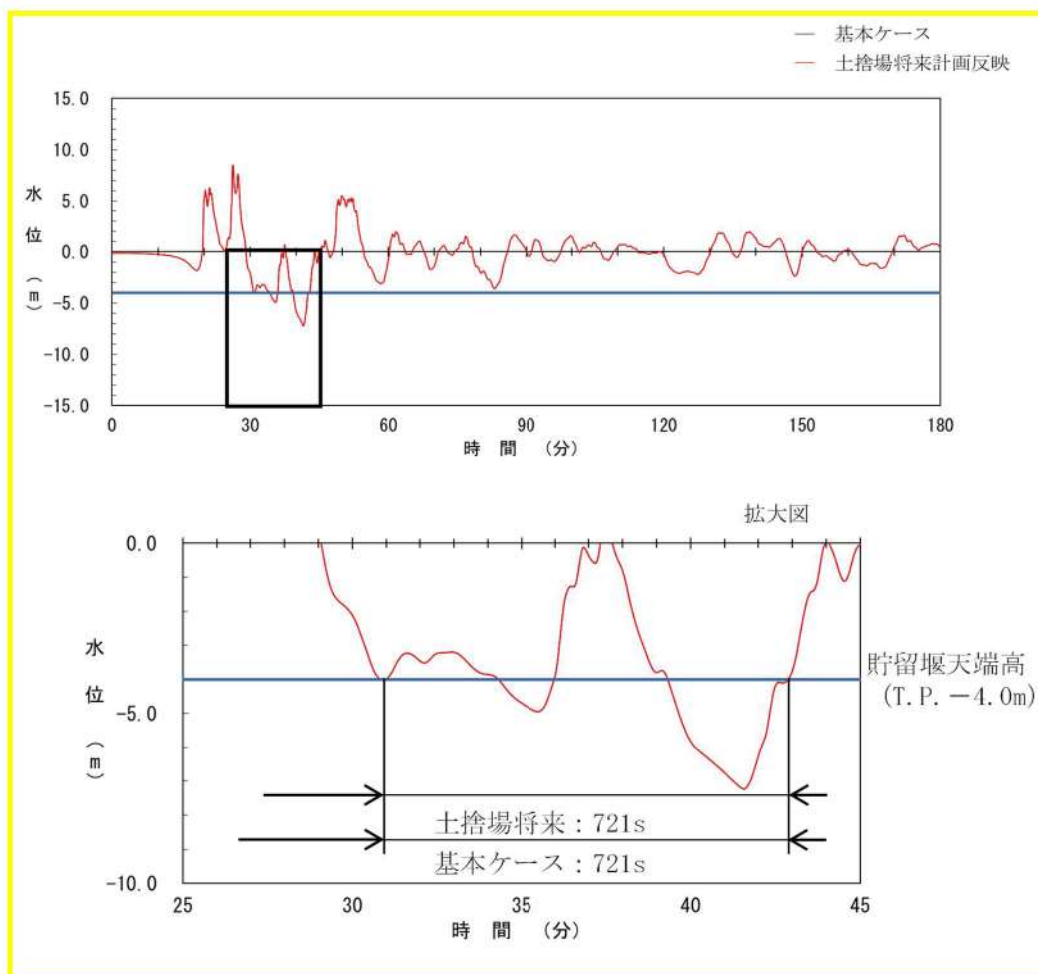


図 2.1. e. b-2 (31) 将来計画反映の有無による貯留堰を下回る時間の比較  
(基準津波 (波源 I, 防波堤損傷なし))

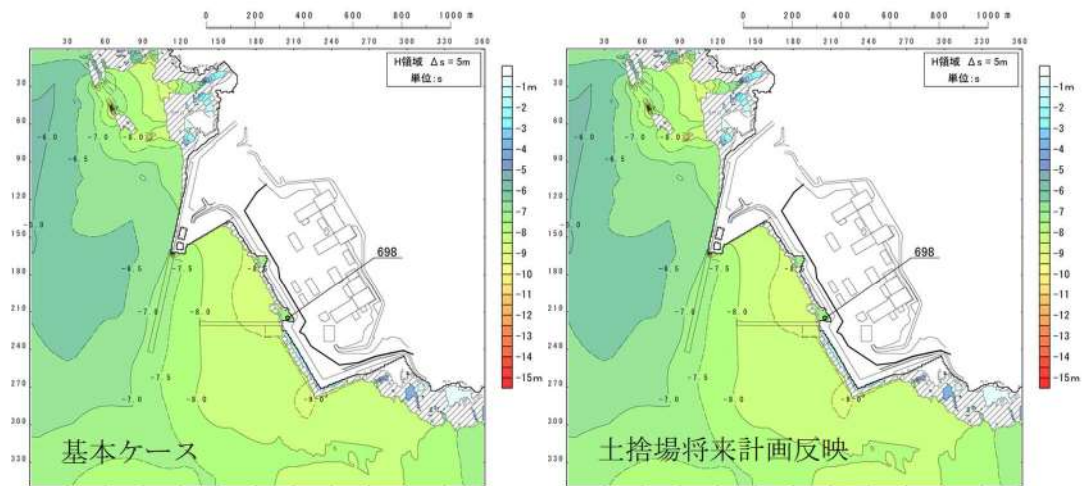


図 2. 1. e. b-2 (32) 将来計画反映の有無による最大水位下降量分布の比較  
(基準津波 (波源 J, 北及び南防波堤損傷))

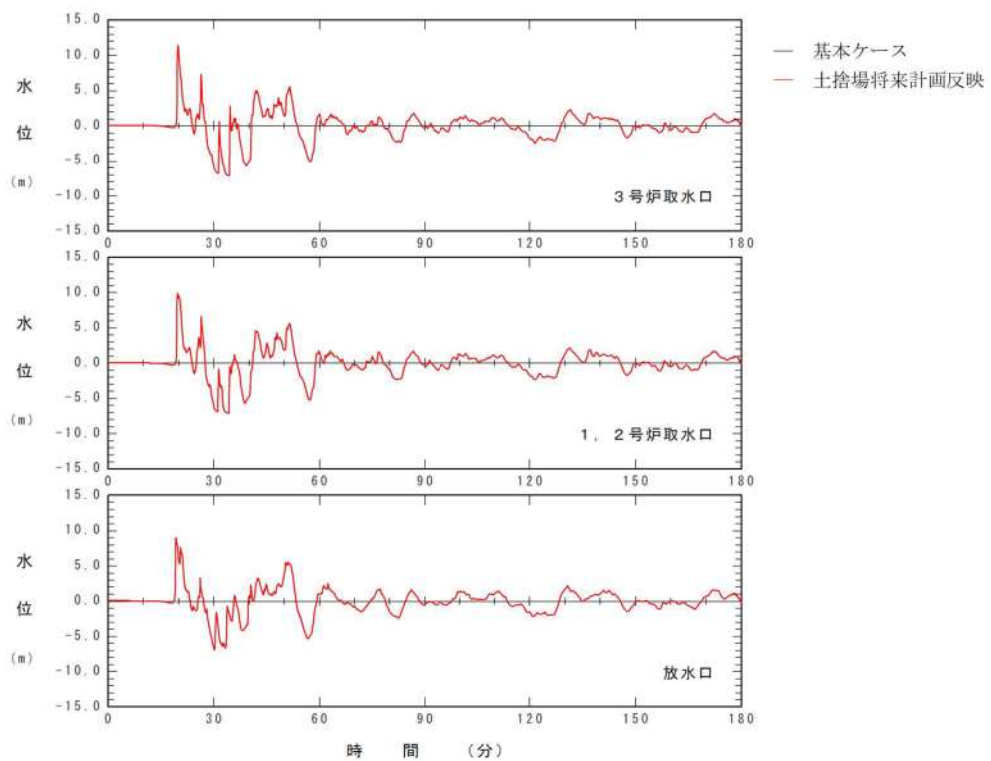


図 2. 1. e. b-2 (33) 将来計画反映の有無による水位時刻歴波形の比較  
(基準津波 (波源 J, 北及び南防波堤損傷))

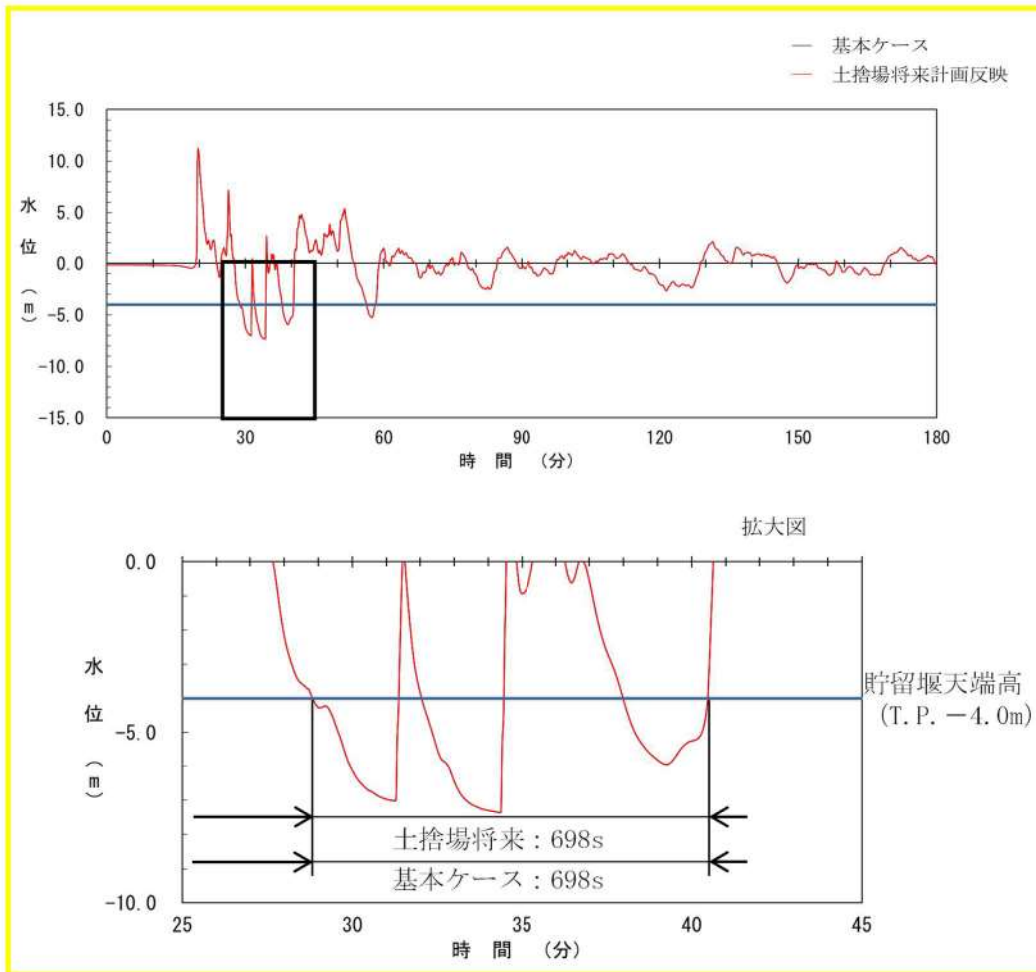


図 2.1.e.b-2 (34) 将来計画反映の有無による貯留堰を下回る時間の比較  
(基準津波 (波源 J, 北及び南防波堤損傷))

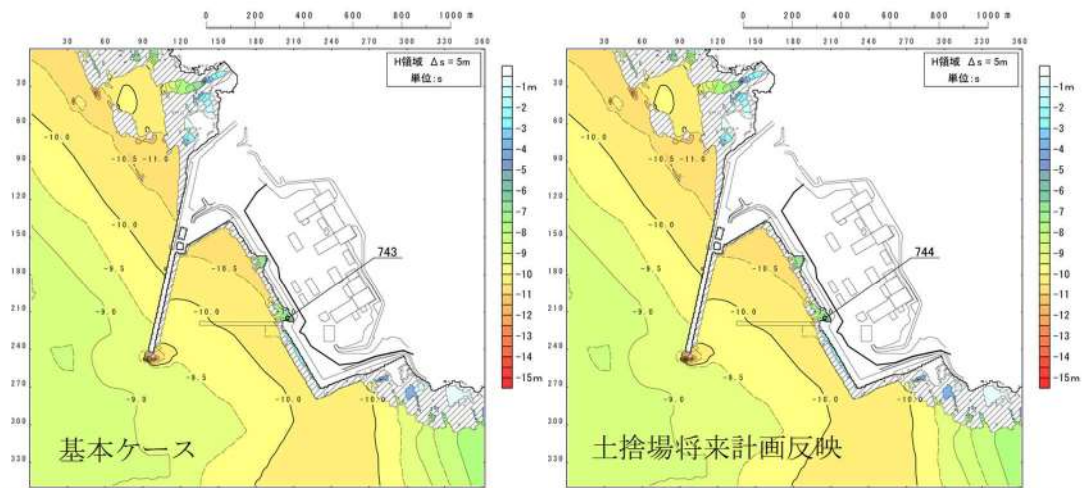


図 2. 1. e. b-2 (35) 将来計画反映の有無による最大水位下降量分布の比較  
(基準津波 (波源K, 南防波堤損傷))

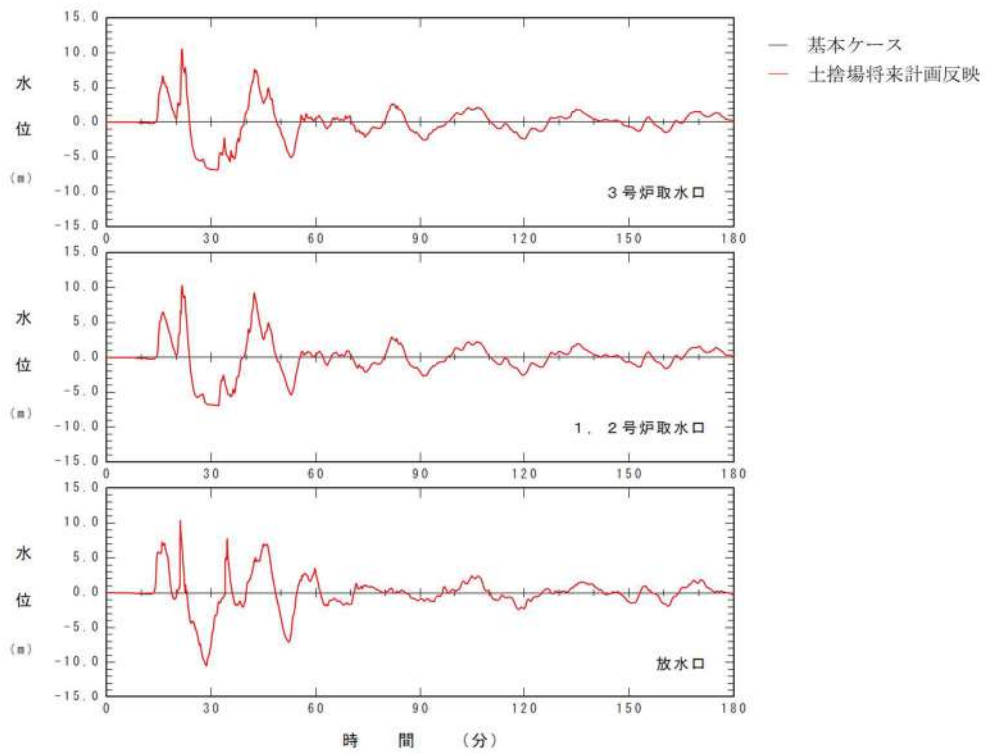


図 2. 1. e. b-2 (36) 将来計画反映の有無による水位時刻歴波形の比較  
(基準津波 (波源K, 南防波堤損傷))

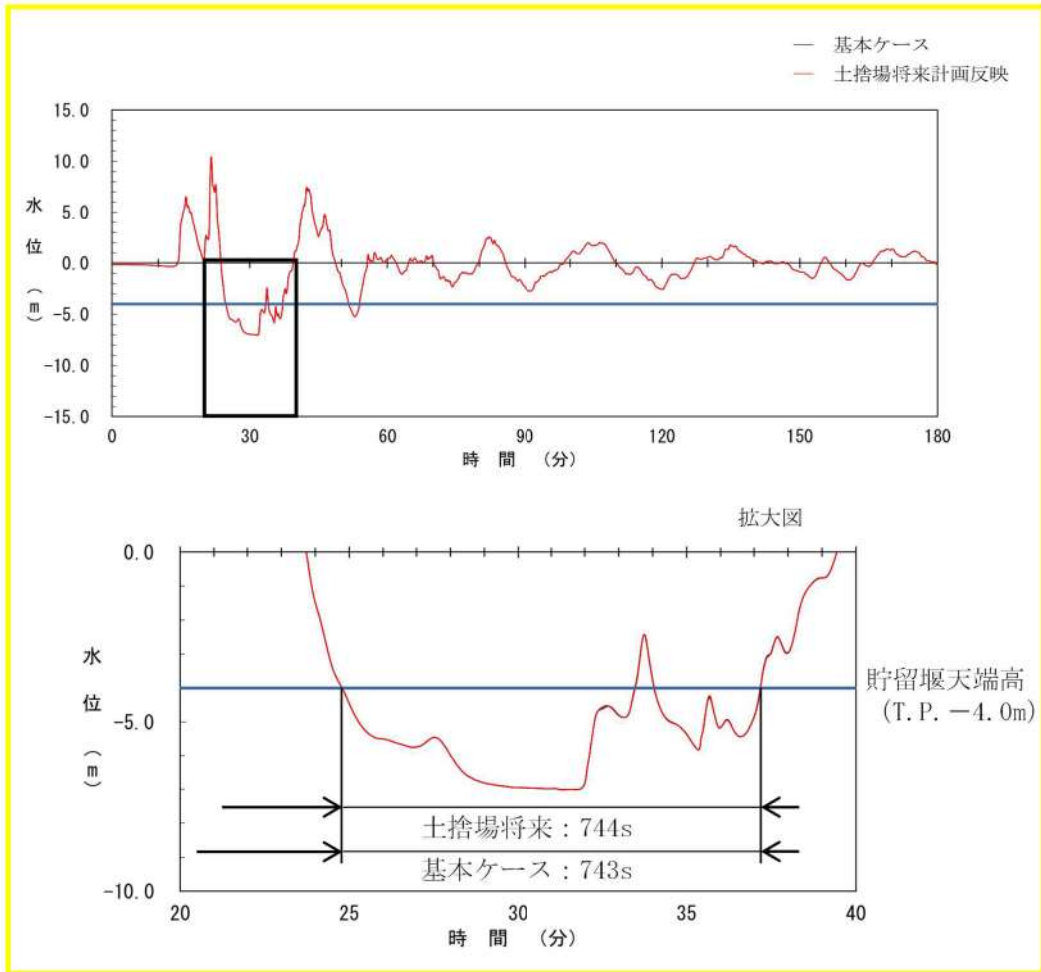


図 2.1.e.b-2 (37) 将来計画反映の有無による貯留堰を下回る時間の比較  
(基準津波 (波源K, 南防波堤損傷))

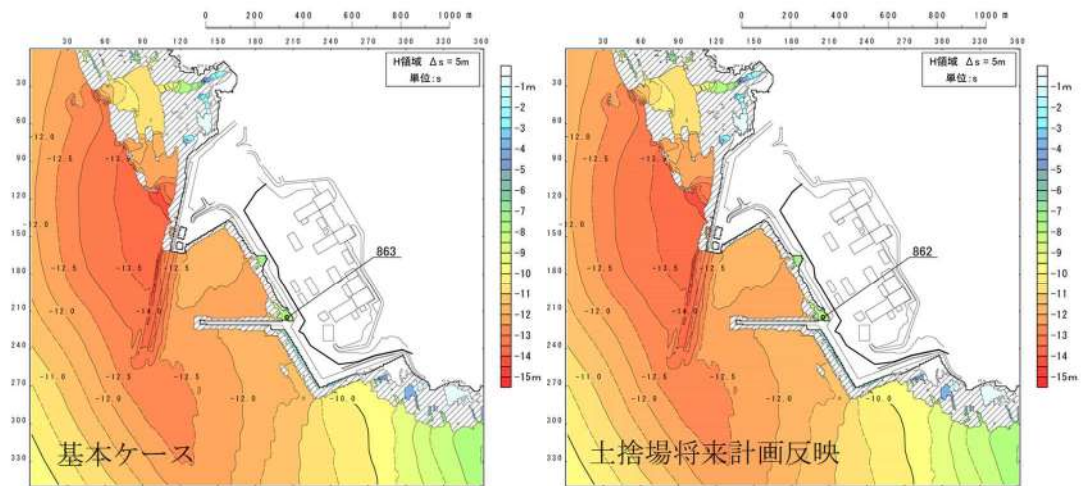


図 2. 1. e. b-2 (38) 将来計画反映の有無による最大水位下降量分布の比較  
(基準津波 (波源 L, 北防波堤損傷))

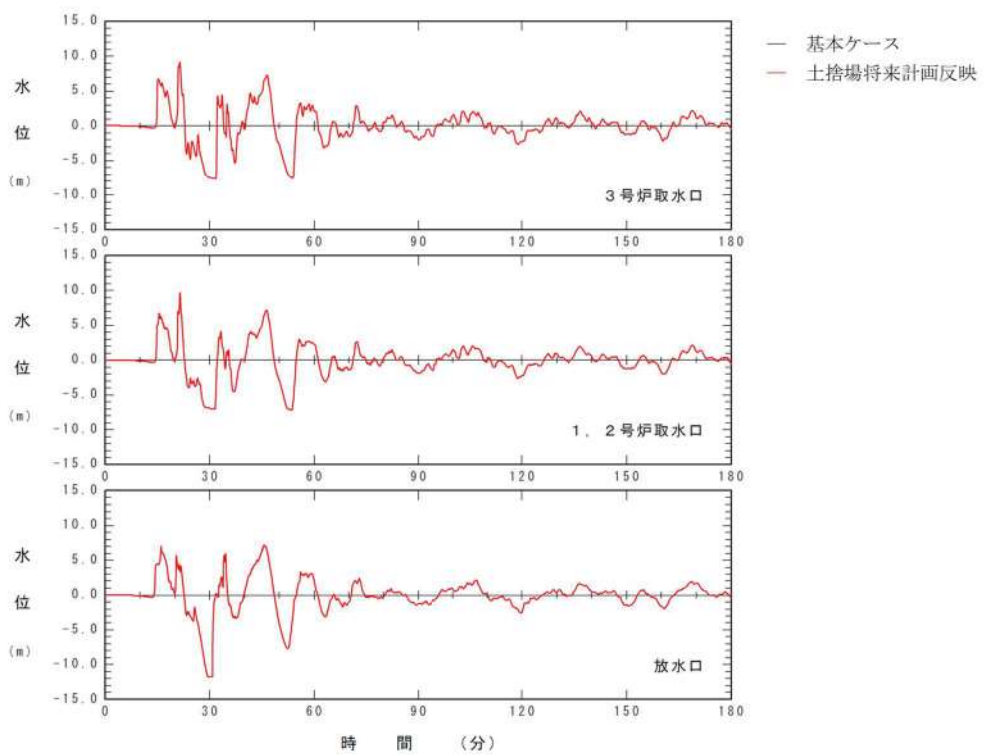


図 2. 1. e. b-2 (39) 将来計画反映の有無による水位時刻歴波形の比較  
(基準津波 (波源 L, 北防波堤損傷))

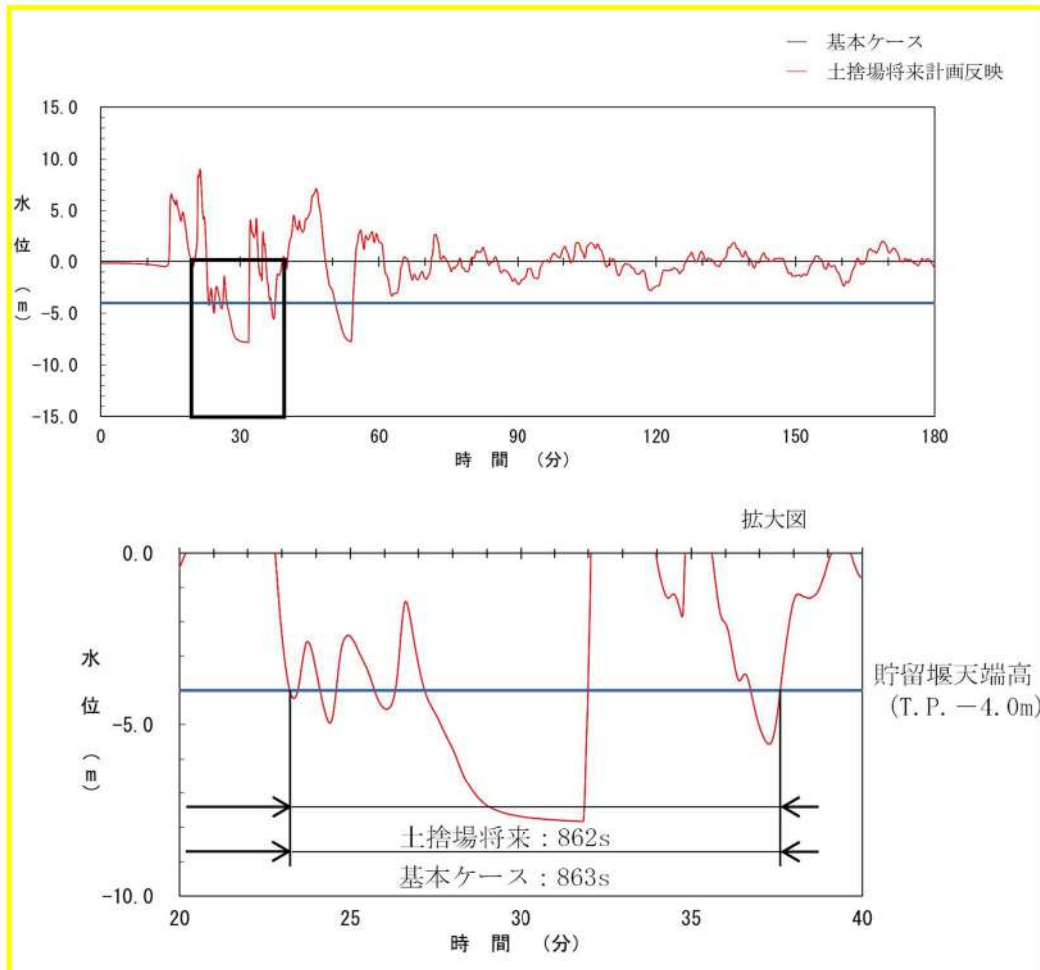


図 2. 1. e. b-2 (40) 将来計画反映の有無による貯留堰を下回る時間の比較 (基準津波 (波源 L, 北防波堤損傷))



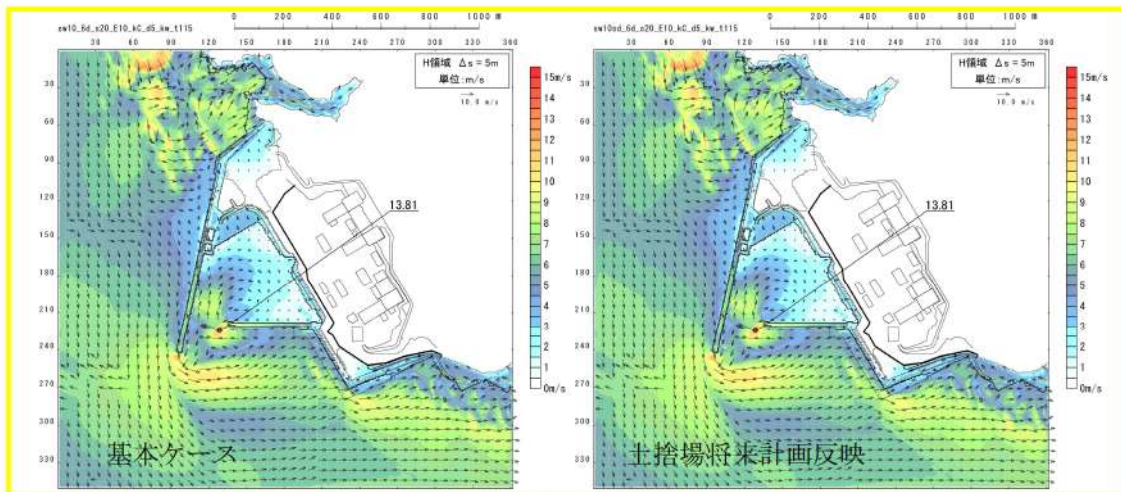


図 2.1.e.b-2 (41) 将来計画反映の有無による最大流速分布の比較  
(基準津波 (波源 A, 防波堤損傷なし))

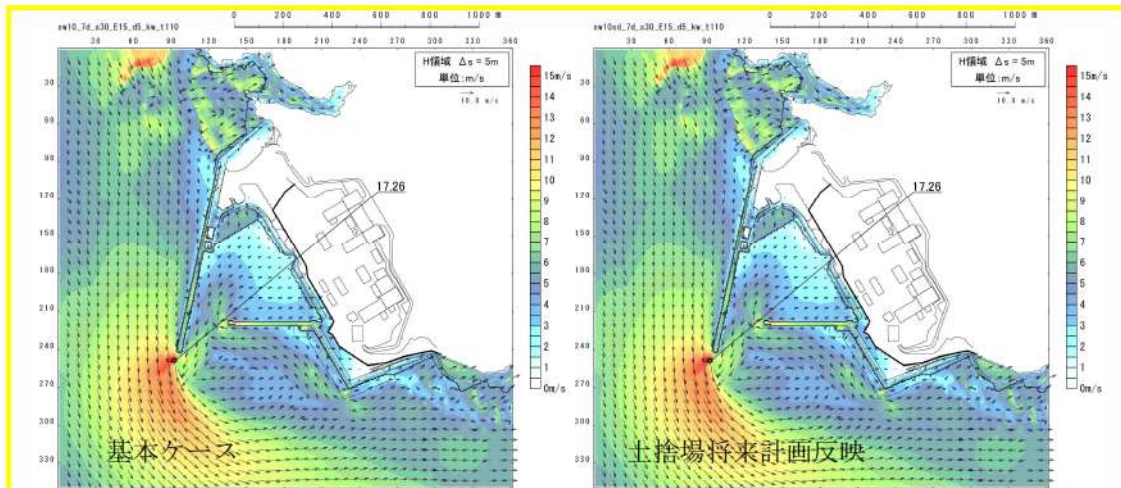


図 2.1.e.b-2 (42) 将来計画反映の有無による最大流速分布の比較  
(基準津波 (波源 B, 防波堤損傷なし))

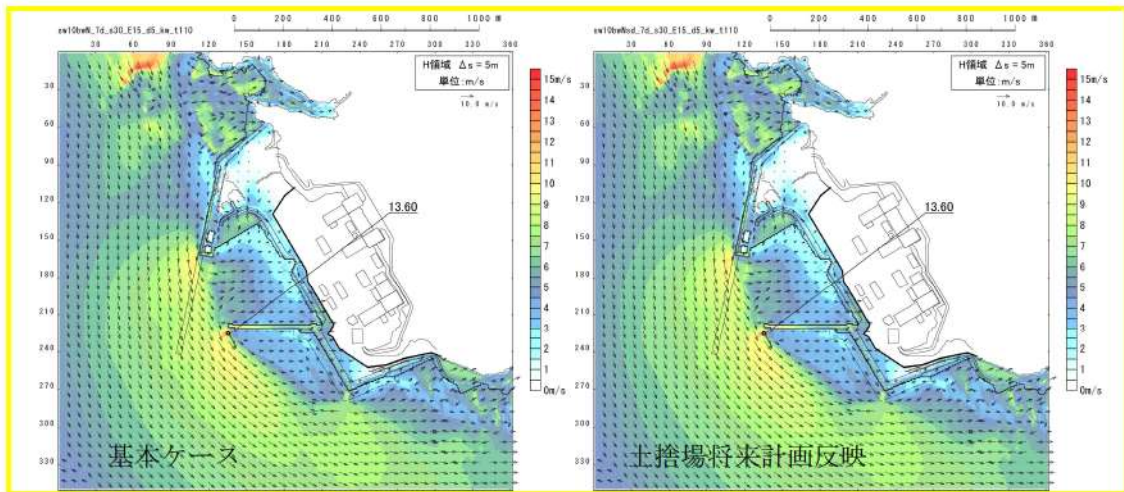


図 2.1. e. b-2 (43) 将来計画反映の有無による最大流速分布の比較  
(基準津波 (波源 B, 北防波堤損傷))

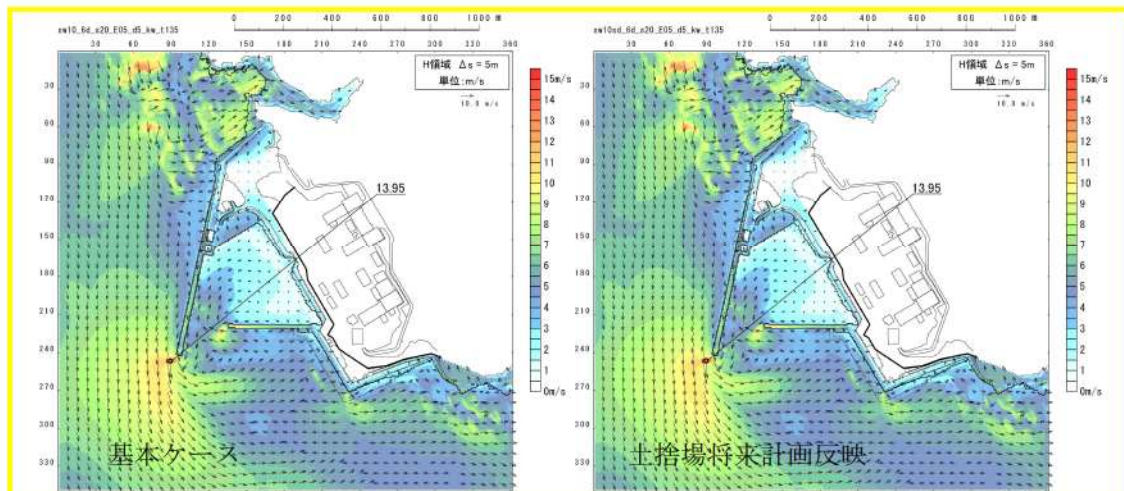


図 2.1. e. b-2 (44) 将来計画反映の有無による最大流速分布の比較  
(基準津波 (波源 C, 防波堤損傷なし))

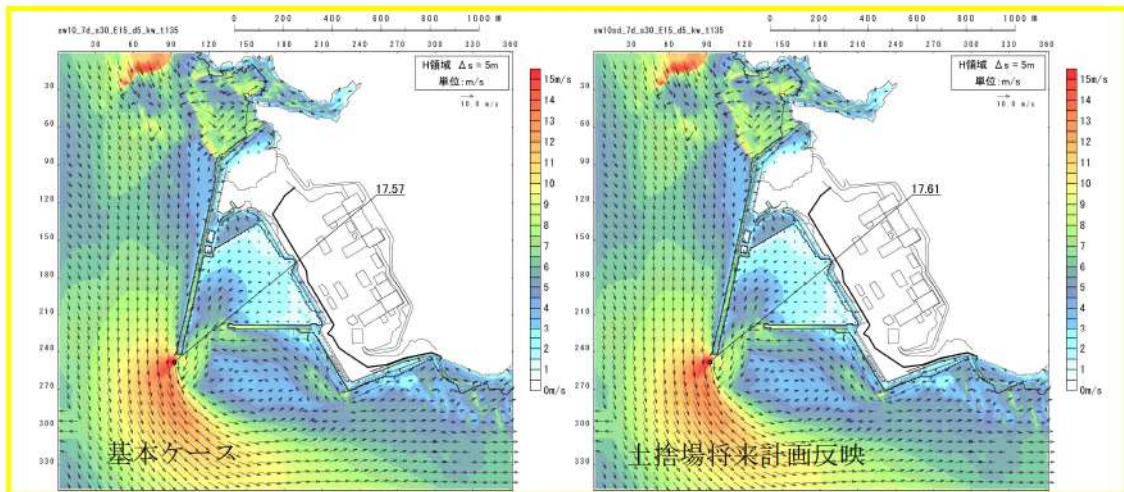


図 2.1.e.b-2 (45) 将来計画反映の有無による最大流速分布の比較  
(基準津波 (波源D, 防波堤損傷なし))

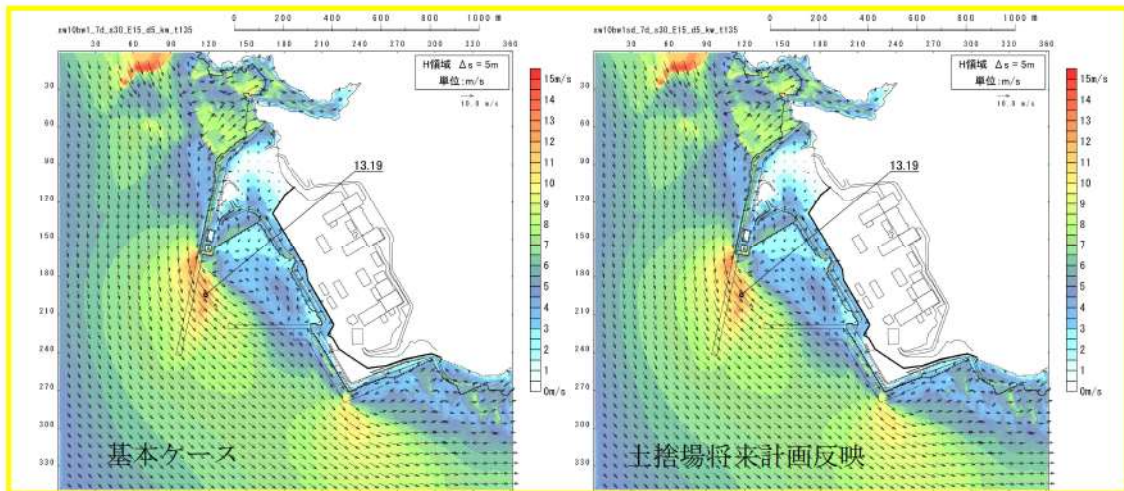


図 2.1.e.b-2 (46) 将来計画反映の有無による最大流速分布の比較  
(基準津波 (波源D, 北及び南防波堤損傷))

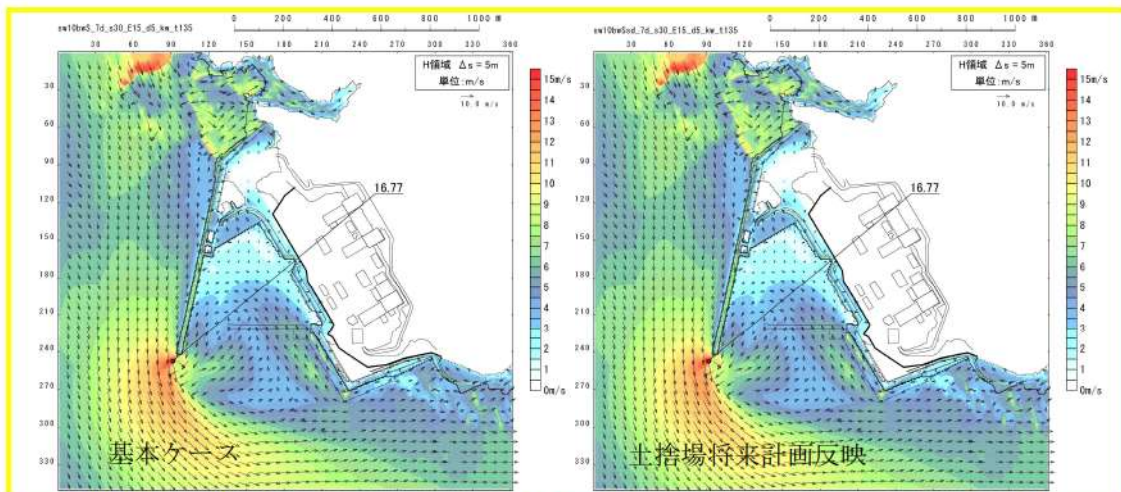


図 2.1.e.b-2 (47) 将来計画反映の有無による最大流速分布の比較  
(基準津波 (波源D, 南防波堤損傷))

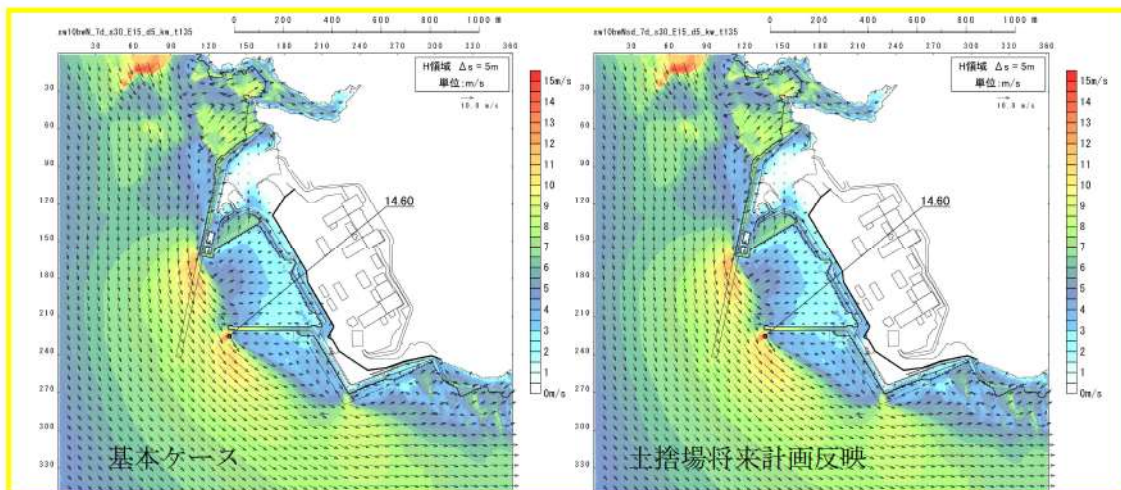


図 2.1.e.b-2 (48) 将来計画反映の有無による最大流速分布の比較  
(基準津波 (波源D, 北防波堤損傷))

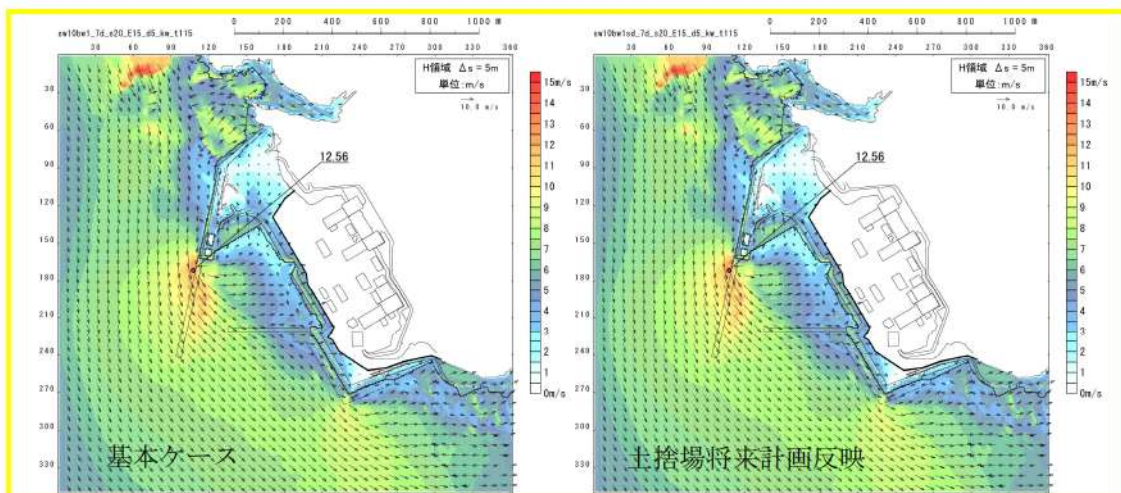


図 2.1. e. b-2 (49) 将来計画反映の有無による最大流速分布の比較  
(基準津波 (波源 E, 北及び南防波堤損傷))

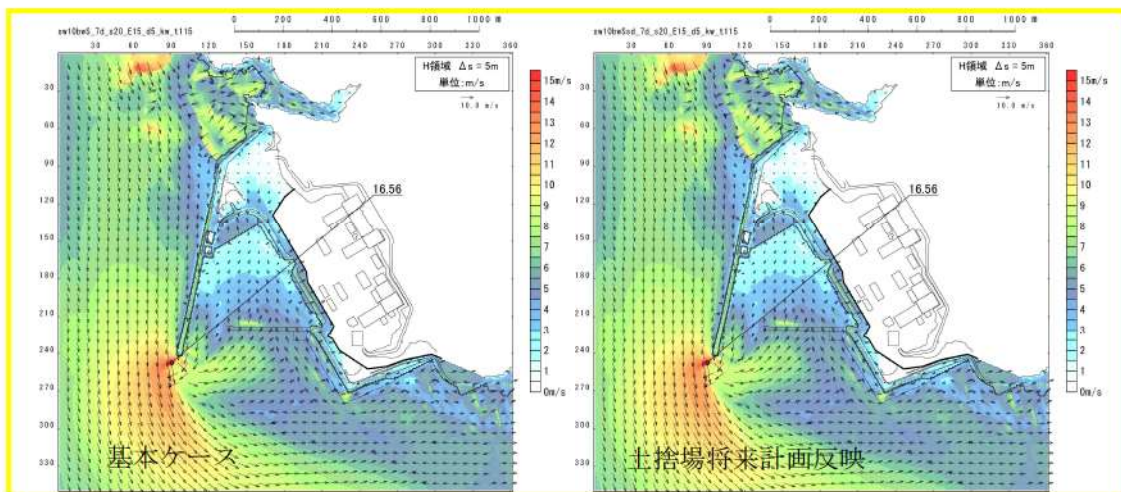


図 2.1. e. b-2 (50) 将来計画反映の有無による最大流速分布の比較  
(基準津波 (波源 E, 南防波堤損傷))

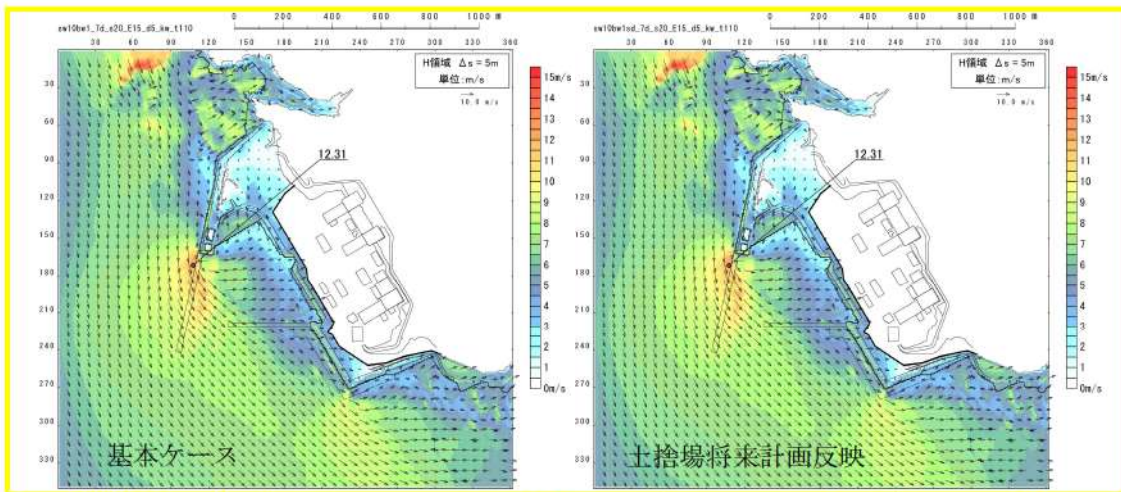


図 2.1.e.b-2 (51) 将来計画反映の有無による最大流速分布の比較  
(基準津波 (波源 F, 北及び南防波堤損傷))

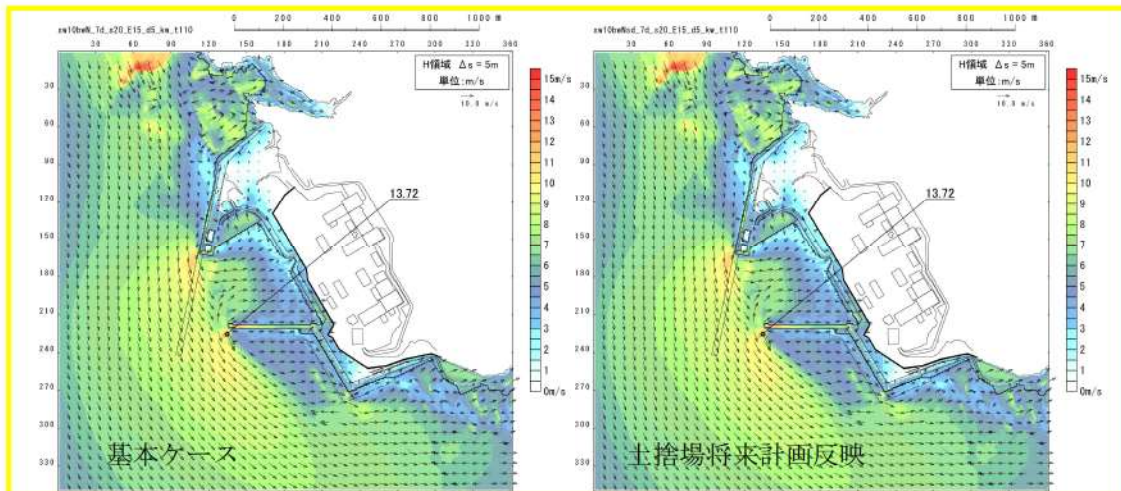


図 2.1.e.b-2 (52) 将来計画反映の有無による最大流速分布の比較  
(基準津波 (波源 F, 北防波堤損傷))

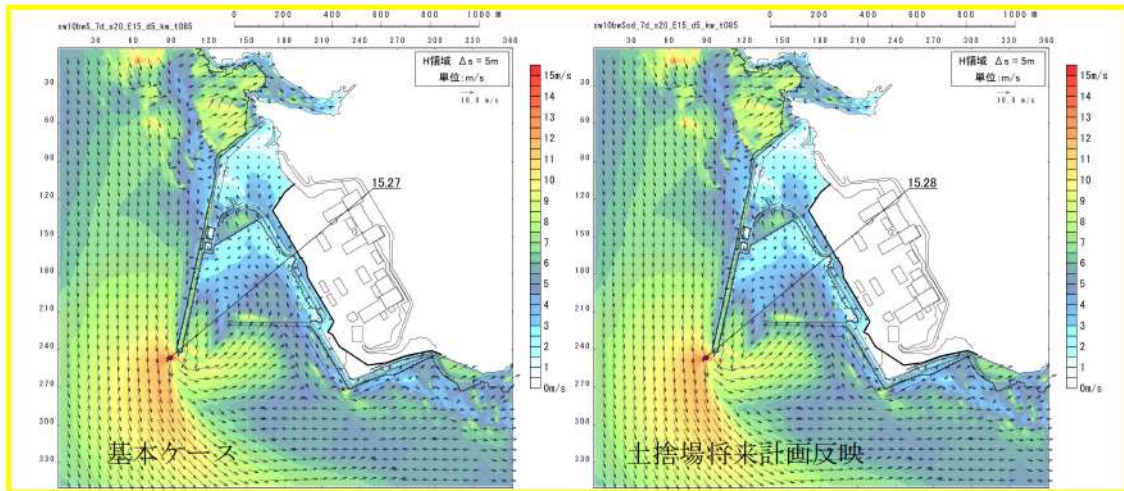


図 2.1.e.b-2 (53) 将来計画反映の有無による最大流速分布の比較  
(基準津波 (波源G, 南防波堤損傷))

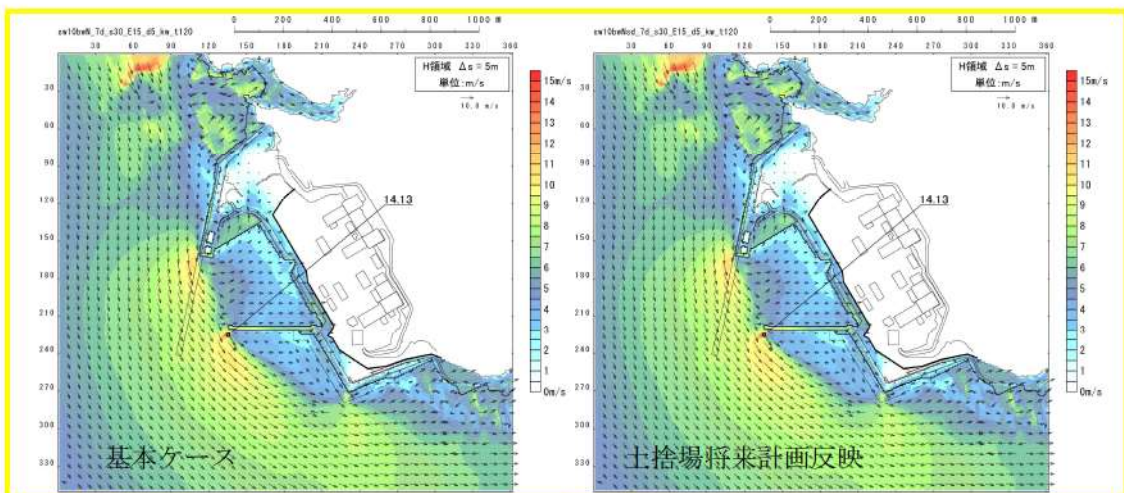


図 2.1.e.b-2 (54) 将来計画反映の有無による最大流速分布の比較  
(基準津波 (波源H, 北防波堤損傷))

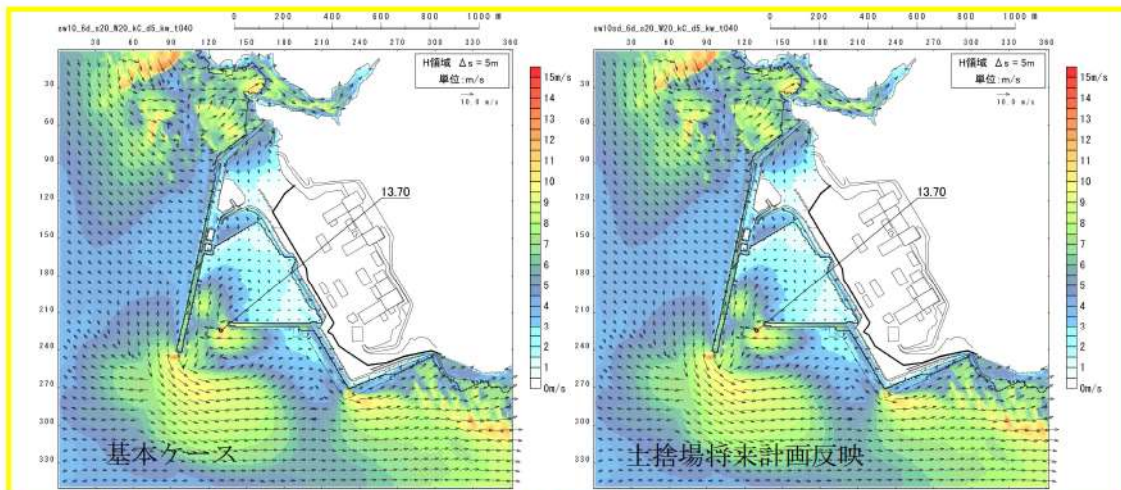


図 2.1.e.b-2 (55) 将来計画反映の有無による最大流速分布の比較  
(基準津波 (波源 I, 防波堤損傷なし))

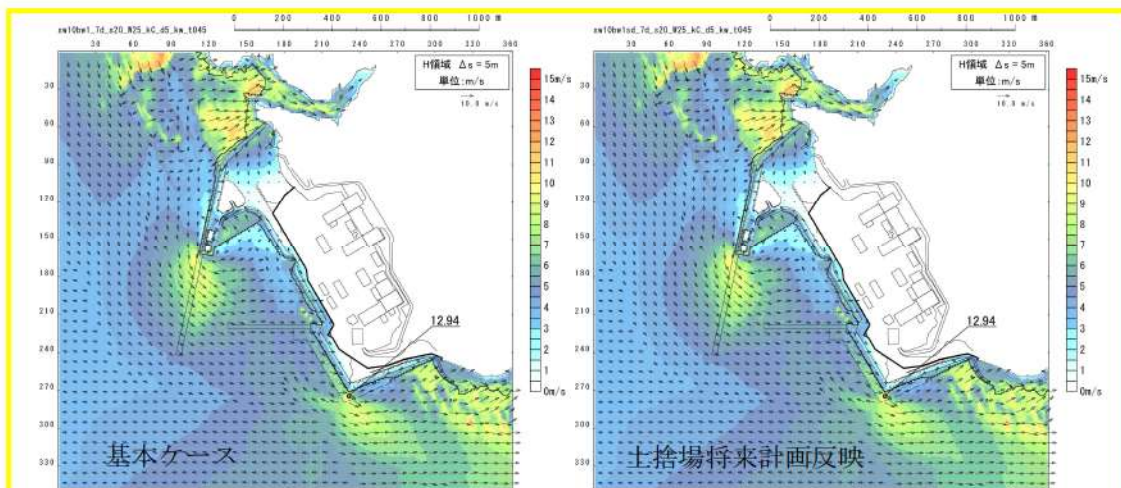


図 2.1.e.b-2 (56) 将来計画反映の有無による最大流速分布の比較  
(基準津波 (波源 J, 北及び南防波堤損傷))



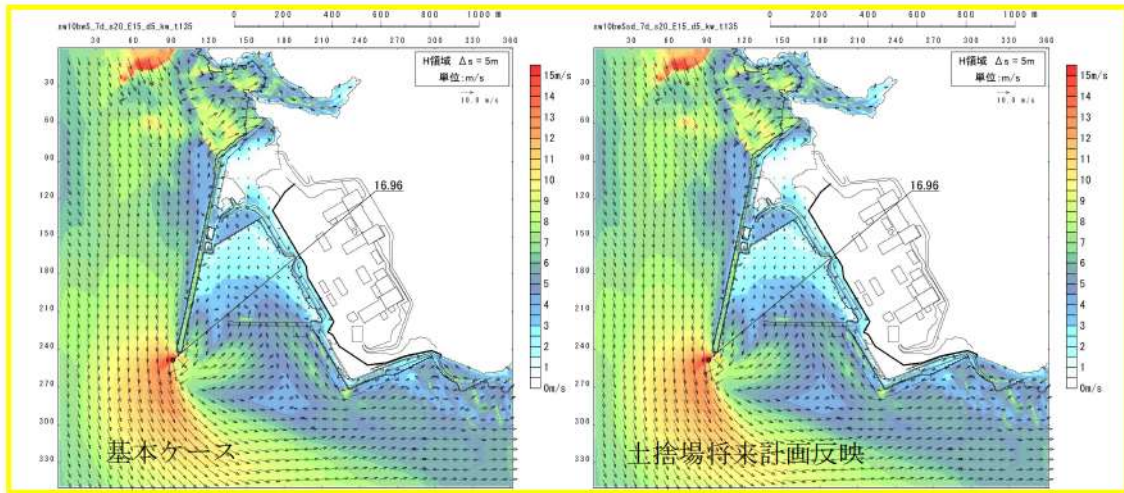


図 2.1.e.b-2 (57) 将来計画反映の有無による最大流速分布の比較  
(基準津波 (波源K, 南防波堤損傷))

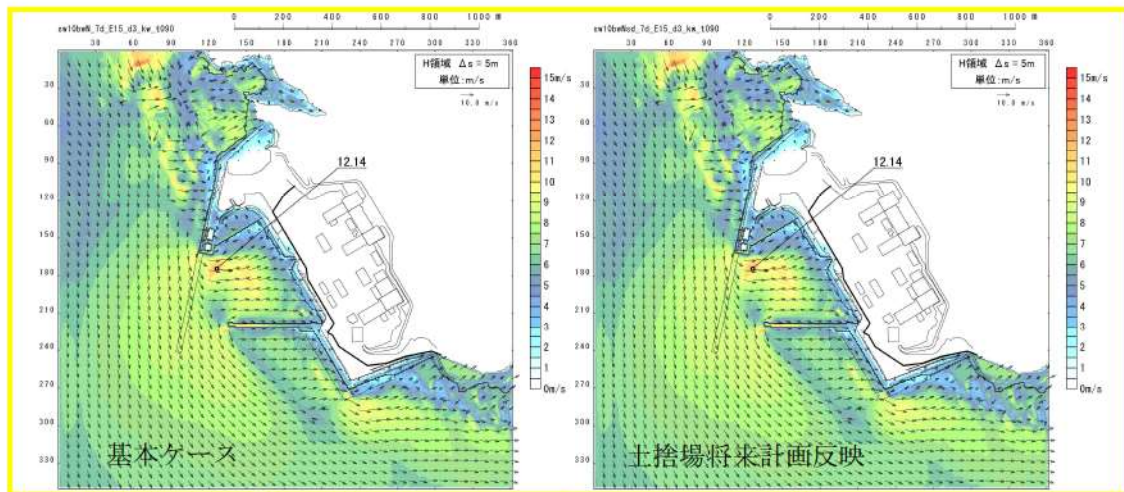


図 2.1.e.b-2 (58) 将来計画反映の有無による最大流速分布の比較  
(基準津波 (波源L, 北防波堤損傷))

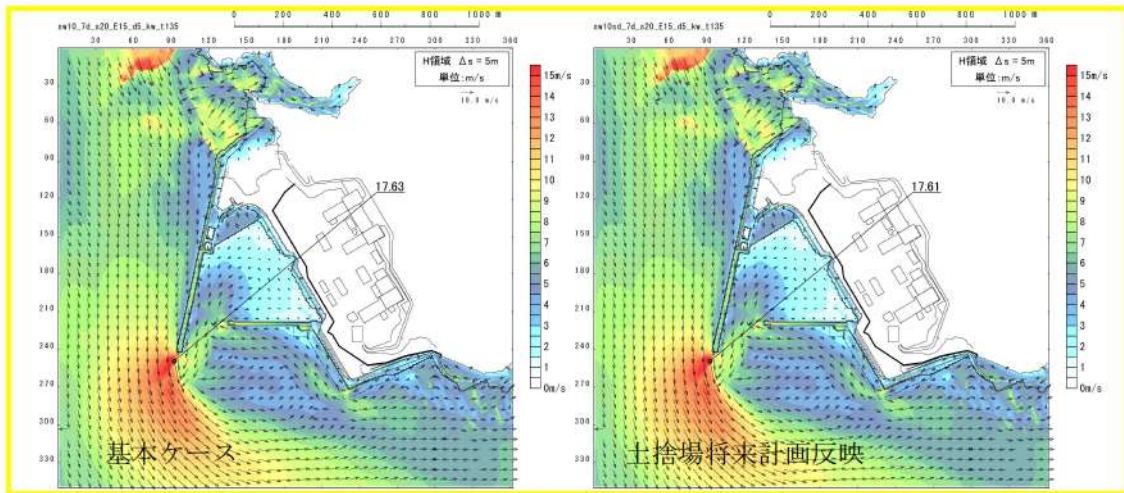


図 2.1. e. b-2 (59) 将来計画反映の有無による最大流速分布の比較  
 (最大流速波源 (波源K, 防波堤損傷なし))

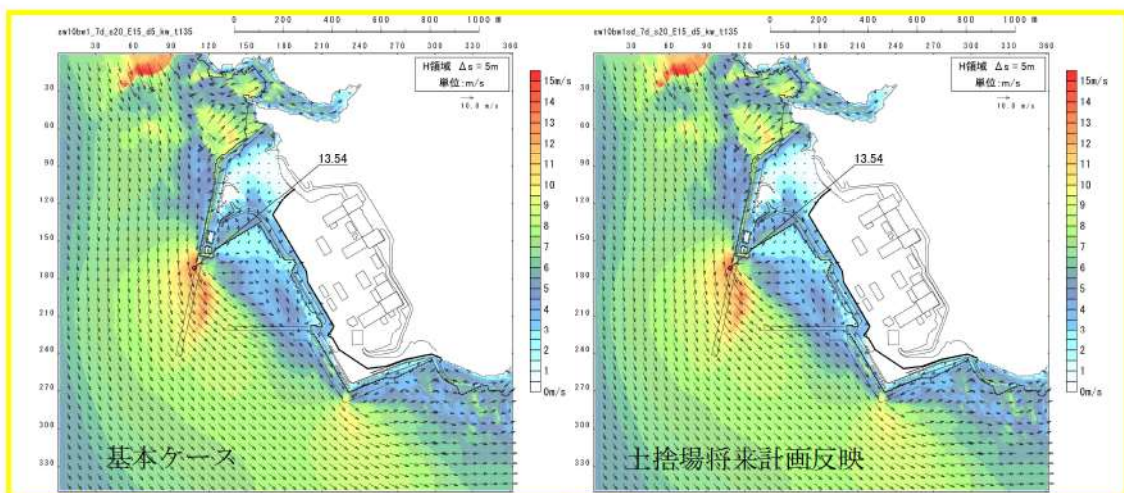


図 2.1. e. b-2 (60) 将来計画反映の有無による最大流速分布の比較  
 ((最大流速波源 (波源K, 北及び南防波堤損傷))

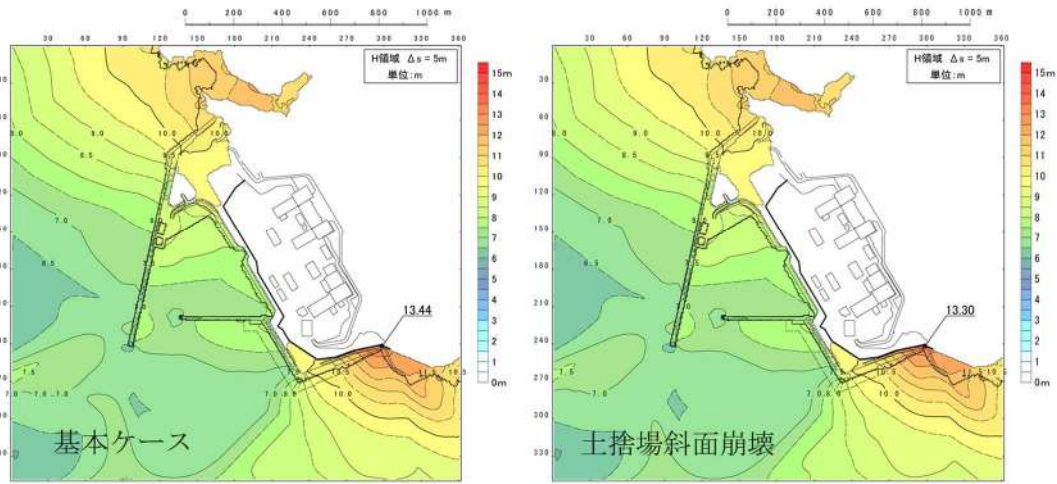


図 2.1. e. c-4 (1) 斜面崩壊の有無による最大水位上昇量分布の比較  
(基準津波 (波源A, 防波堤損傷なし))

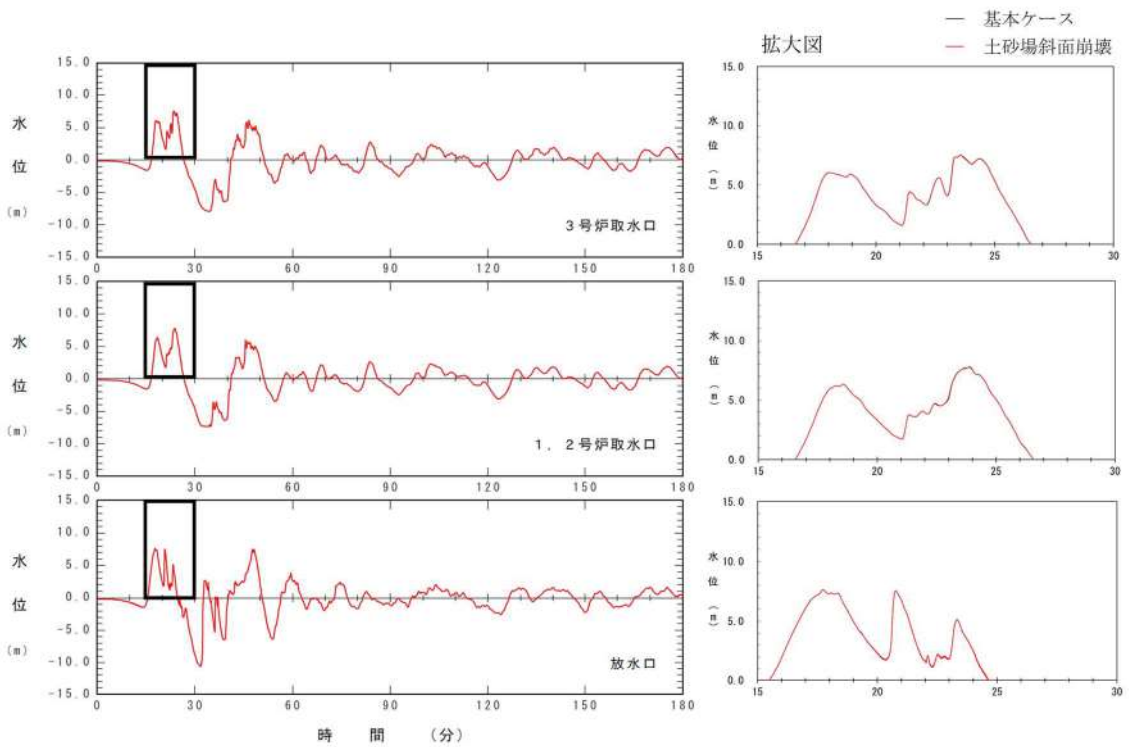


図 2.1. e. c-4 (2) 斜面崩壊の有無による水位時刻歴波形の比較  
(基準津波 (波源A, 防波堤損傷なし))

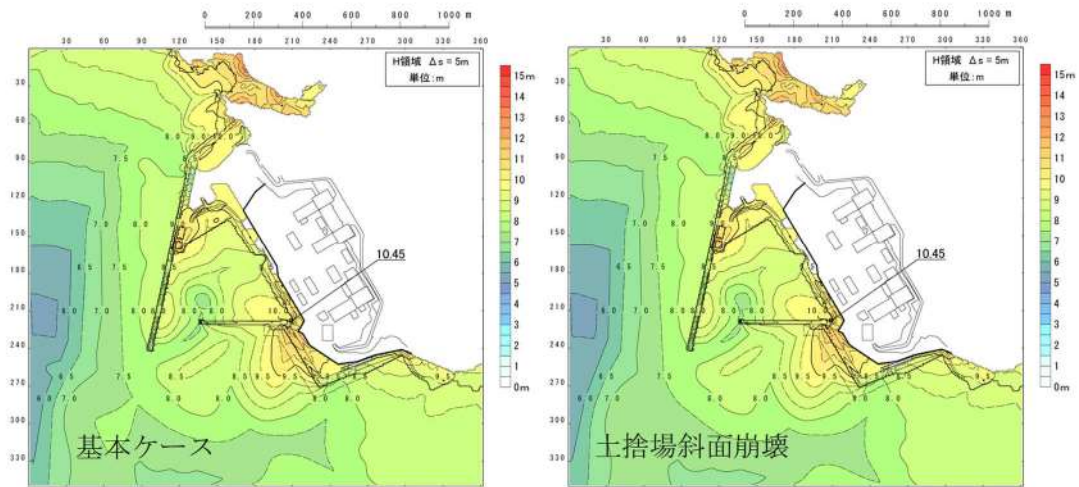


図 2.1. e. c-4 (3) 斜面崩壊の有無による最大水位上昇量分布の比較  
(基準津波 (波源 B, 防波堤損傷なし))

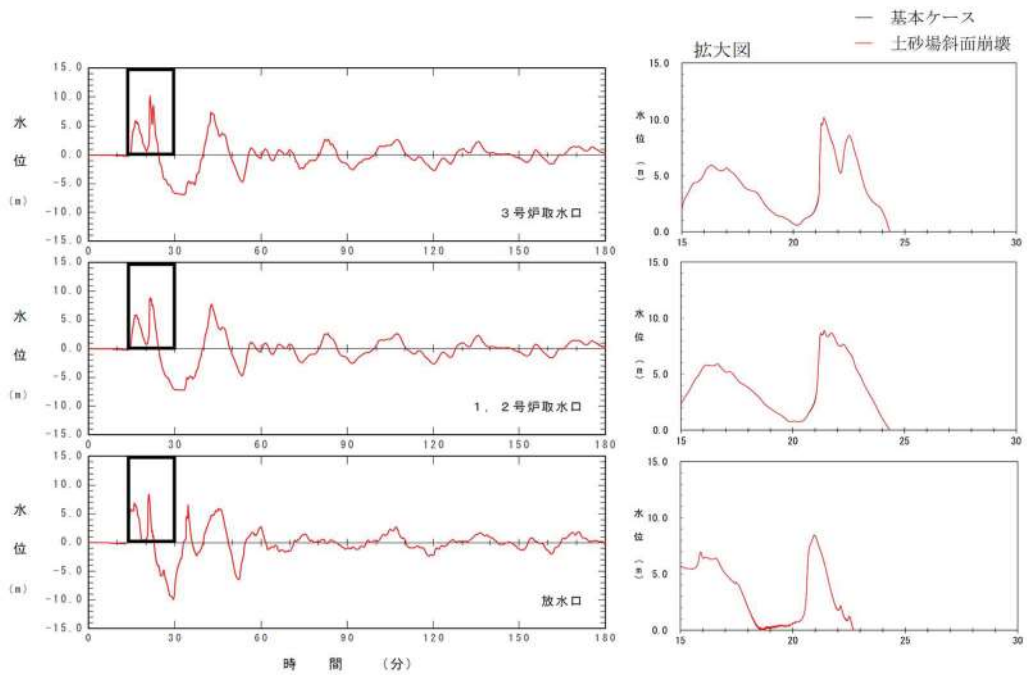


図 2.1. e. c-4 (4) 斜面崩壊の有無による水位時刻歴波形の比較  
(基準津波 (波源 B, 防波堤損傷なし))

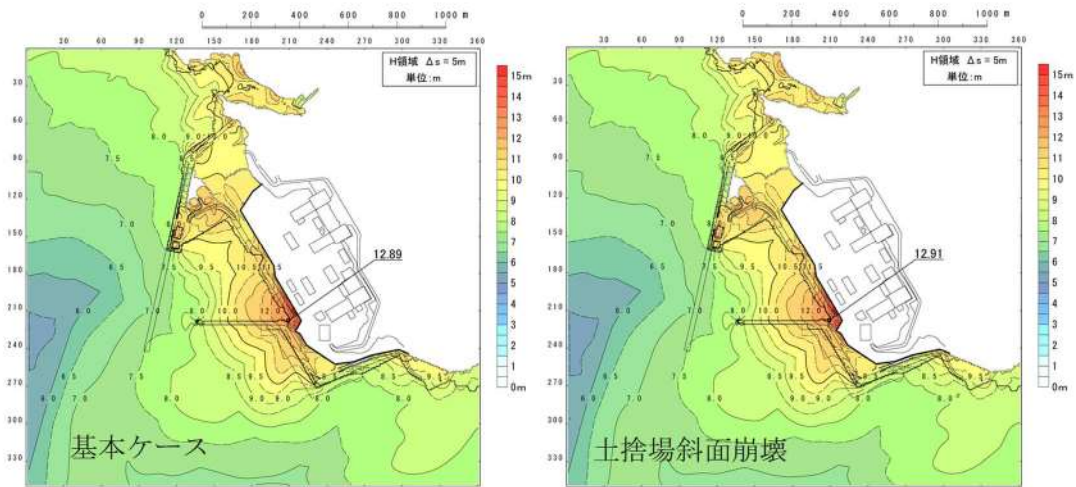


図 2.1. e. c-4 (5) 斜面崩壊の有無による最大水位上昇量分布の比較  
(基準津波 (波源 B, 北防波堤損傷))

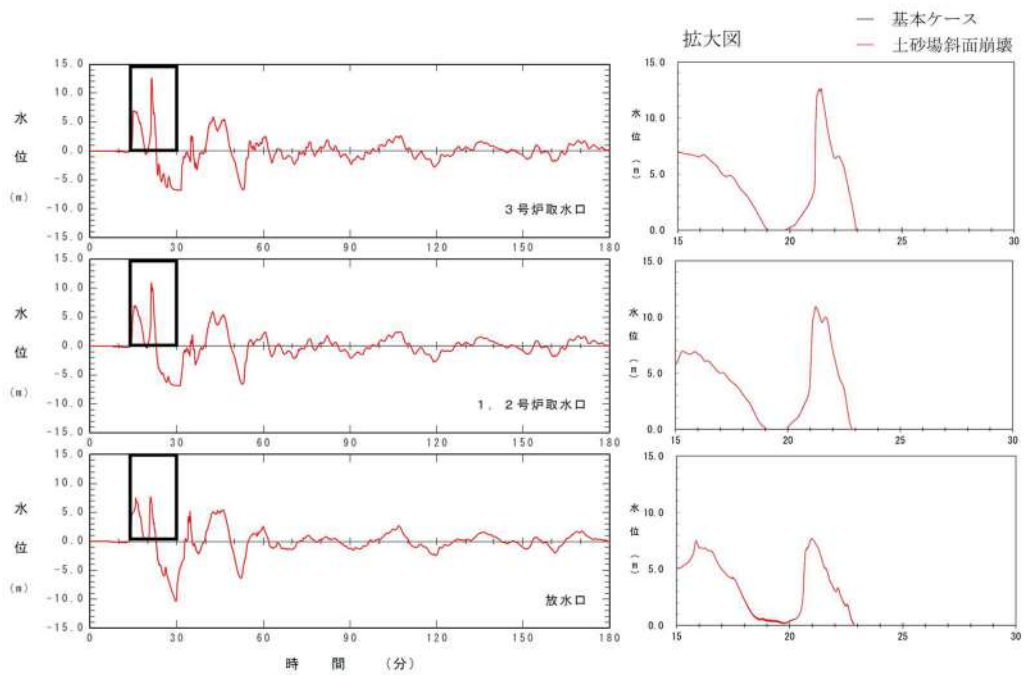


図 2.1. e. c-4 (6) 斜面崩壊の有無による水位時刻歴波形の比較  
(基準津波 (波源 B, 北防波堤損傷))

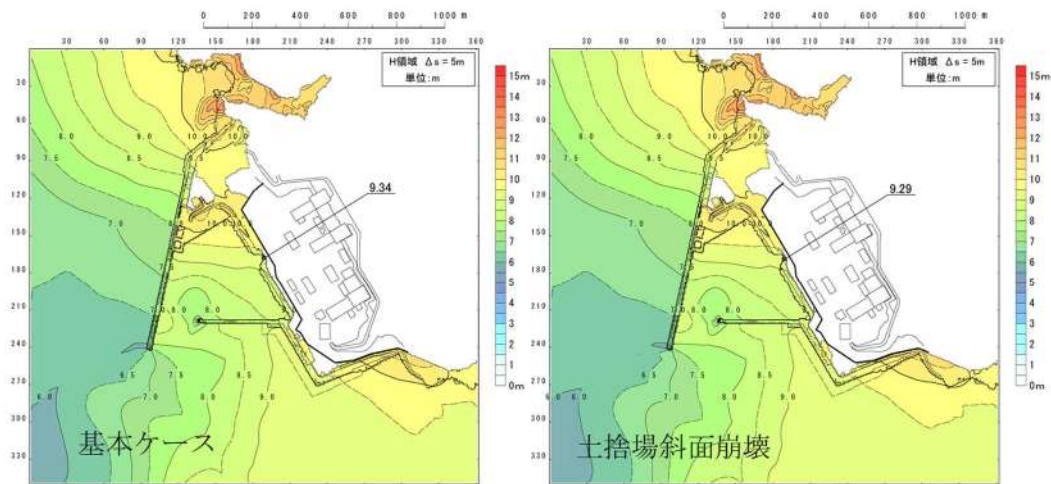


図 2.1.e.c-4 (7) 斜面崩壊の有無による最大水位上昇量分布の比較  
(基準津波 (波源C, 防波堤損傷なし))

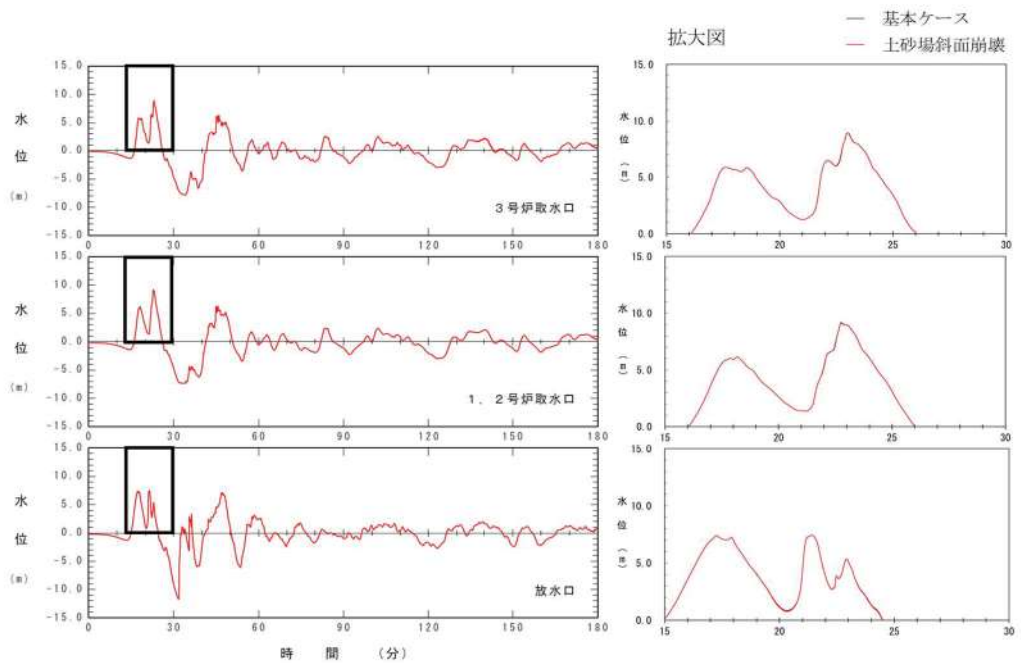


図 2.1.e.c-4 (8) 斜面崩壊の有無による水位時刻歴波形の比較  
(基準津波 (波源C, 防波堤損傷なし))

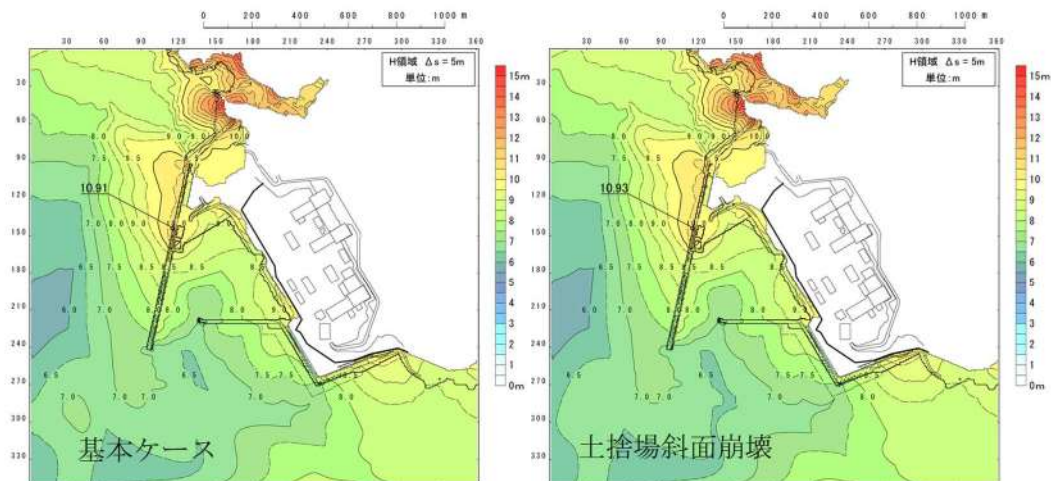


図 2.1. e. c-4 (9) 斜面崩壊の有無による最大水位上昇量分布の比較  
(基準津波 (波源D, 防波堤損傷なし))

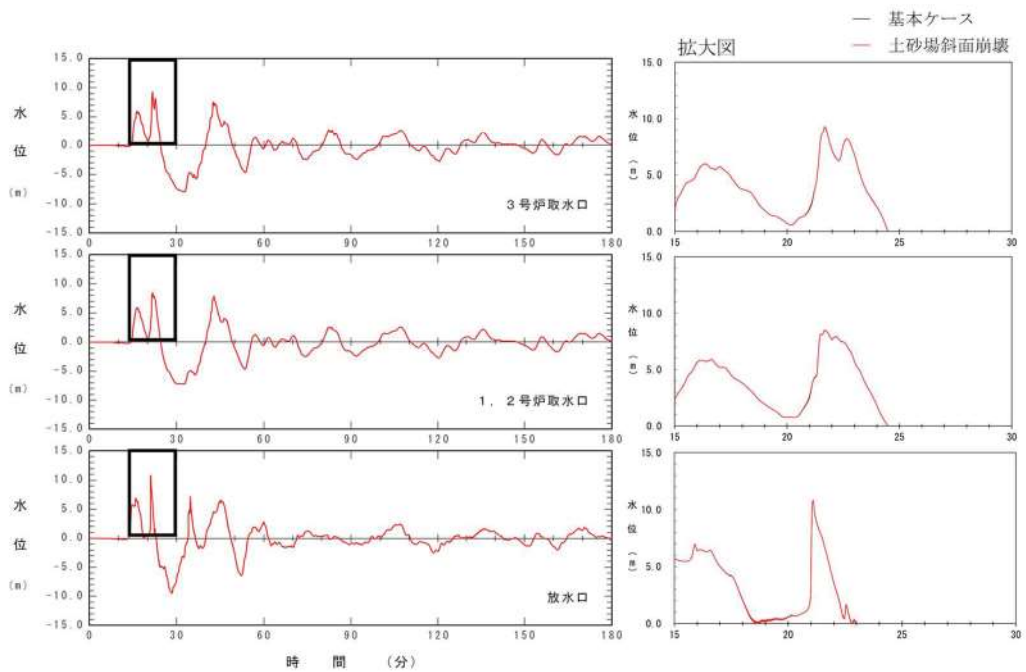


図 2.1. e. c-4 (10) 斜面崩壊の有無による水位時刻歴波形の比較  
(基準津波 (波源D, 防波堤損傷なし))

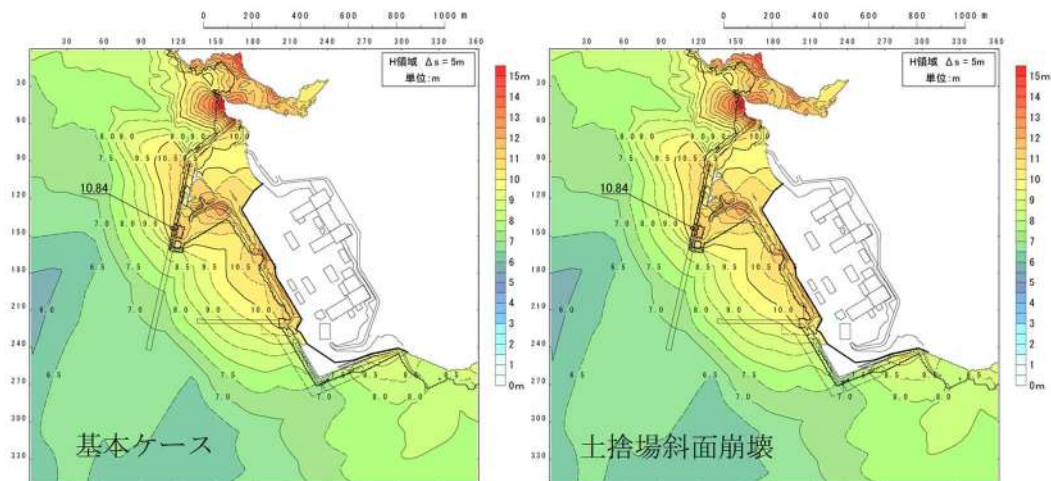


図 2.1. e. c-4 (11) 斜面崩壊の有無による最大水位上昇量分布の比較  
(基準津波 (波源D, 北及び南防波堤損傷))

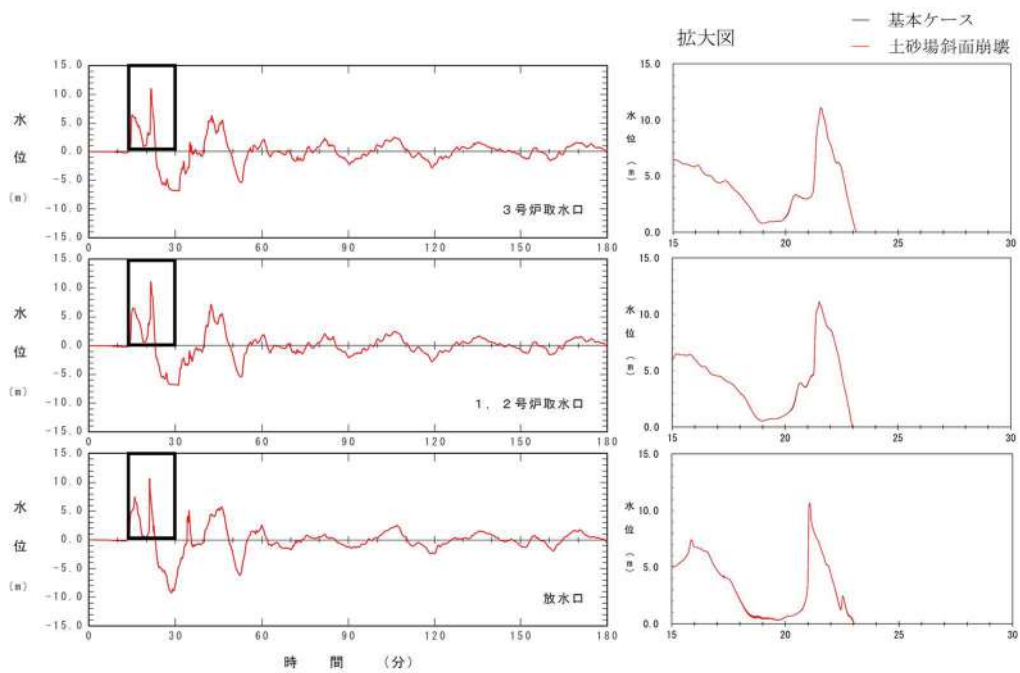


図 2.1. e. c-4 (12) 斜面崩壊の有無による水位時刻歴波形の比較  
(基準津波 (波源D, 北及び南防波堤損傷))



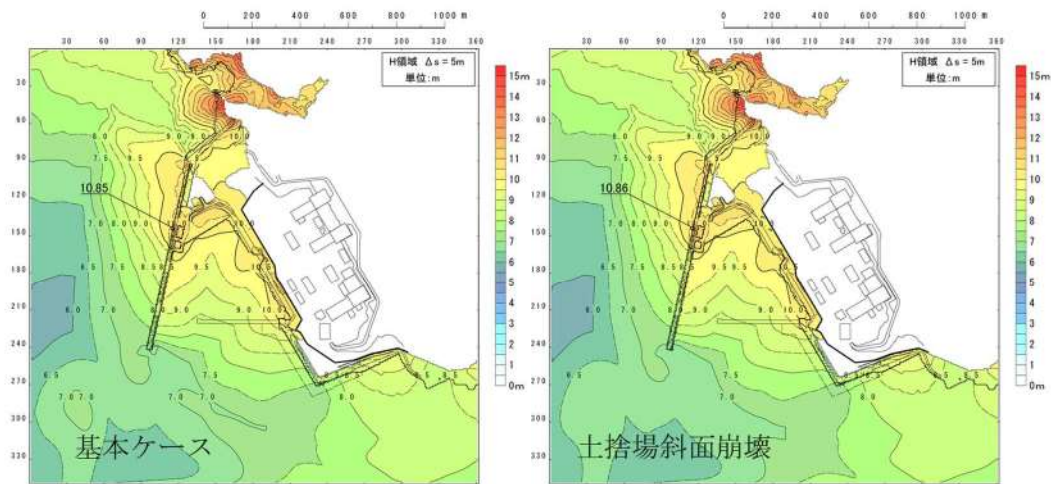


図 2.1. e. c-4 (13) 斜面崩壊の有無による最大水位上昇量分布の比較  
(基準津波 (波源D, 南防波堤損傷))

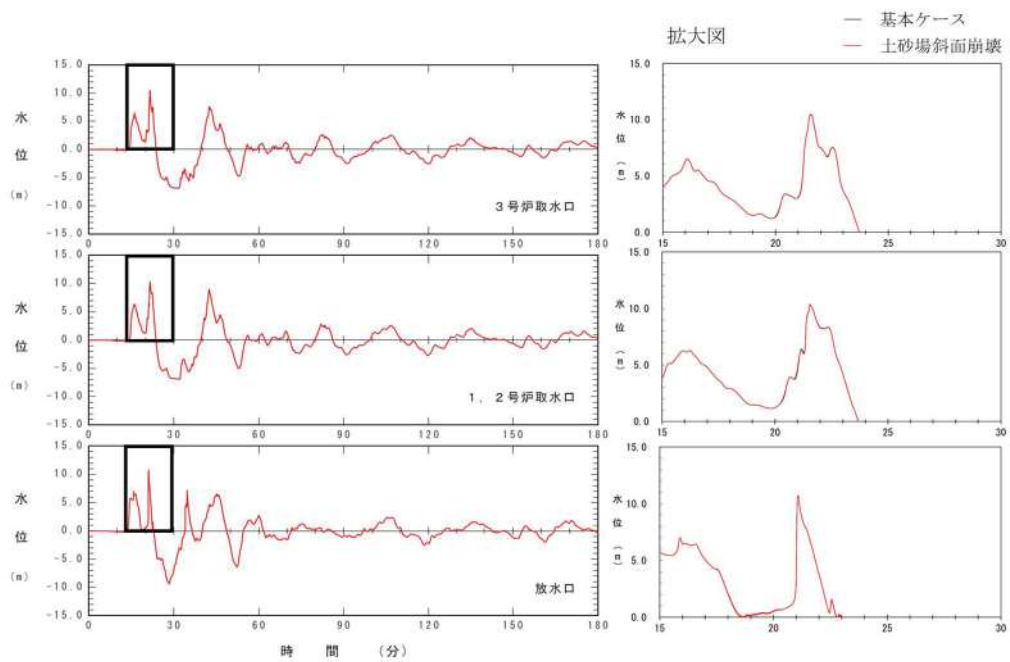


図 2.1. e. c-4 (14) 斜面崩壊の有無による水位時刻歴波形の比較  
(基準津波 (波源D, 南防波堤損傷))

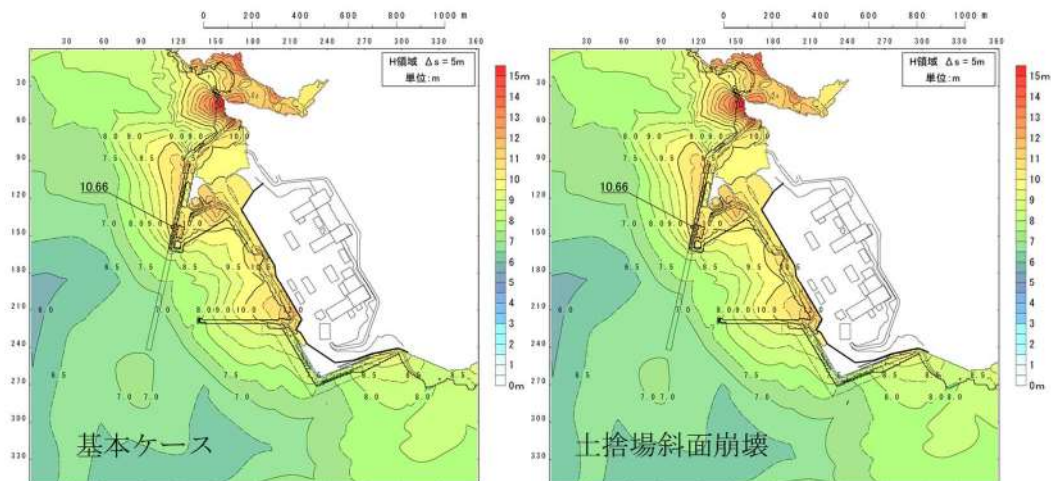


図 2.1.e.c-4 (15) 斜面崩壊の有無による最大水位上昇量分布の比較  
(基準津波 (波源D, 北防波堤損傷))

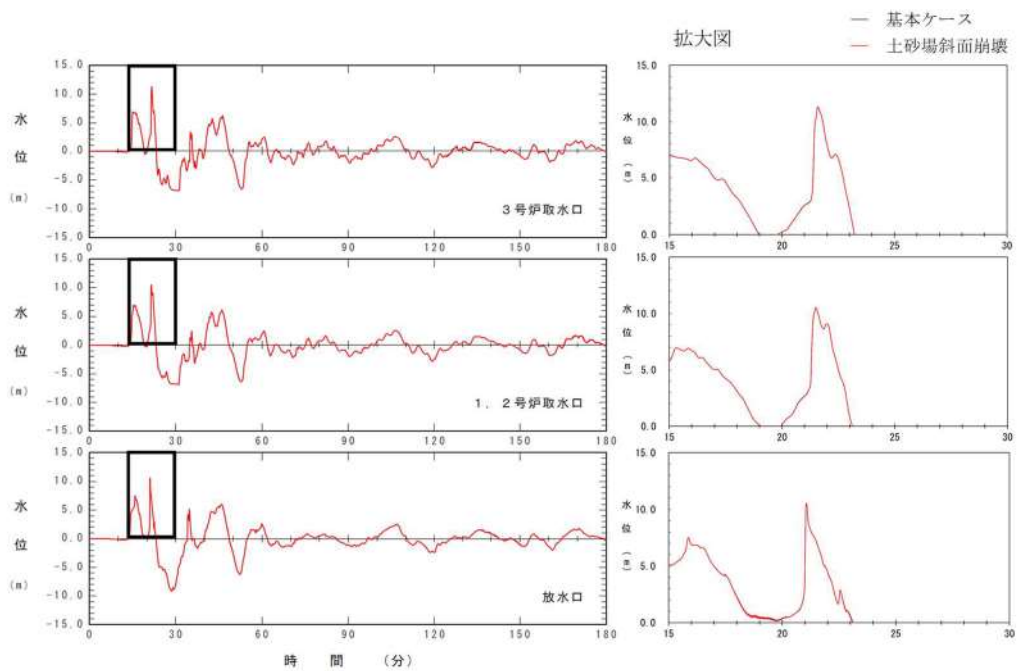


図 2.1.e.c-4 (16) 斜面崩壊の有無による水位時刻歴波形の比較  
(基準津波 (波源D, 北防波堤損傷))

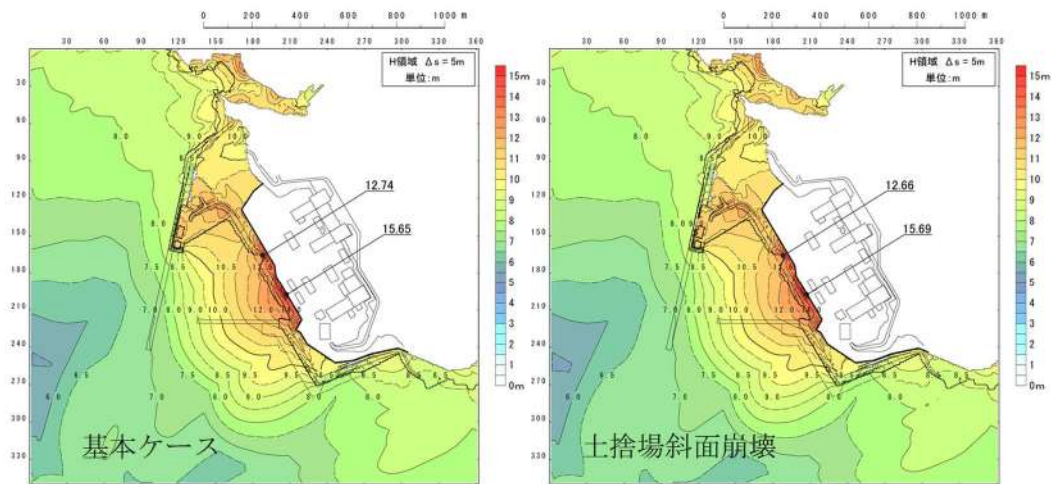


図 2.1.e.c-4 (17) 斜面崩壊の有無による最大水位上昇量分布の比較  
(基準津波 (波源 E, 北及び南防波堤損傷))

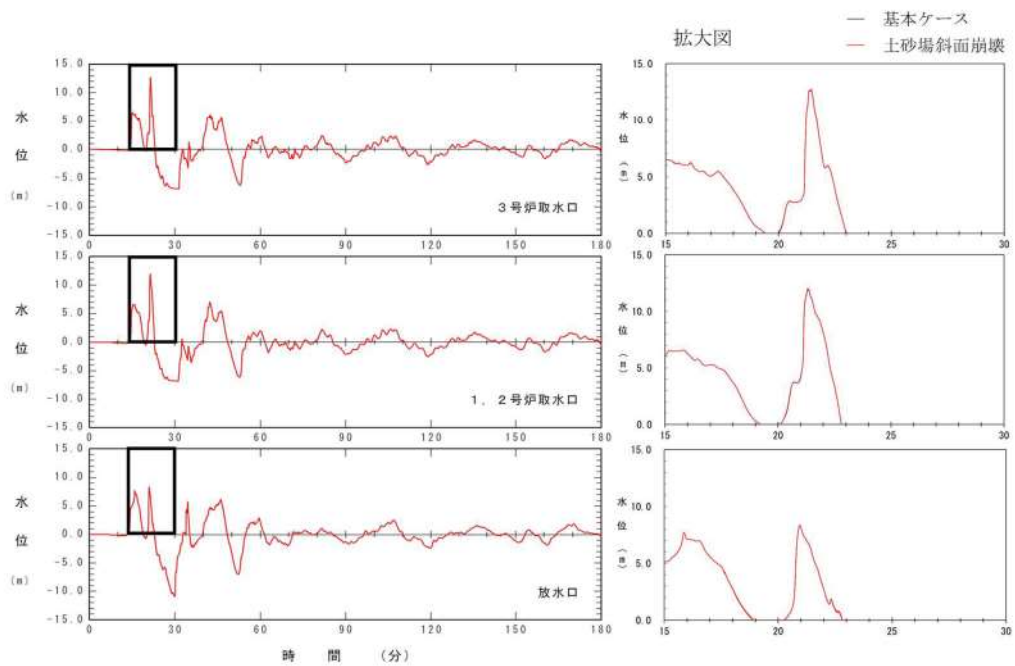


図 2.1.e.c-4 (18) 斜面崩壊の有無による水位時刻歴波形の比較  
(基準津波 (波源 E, 北及び南防波堤損傷))

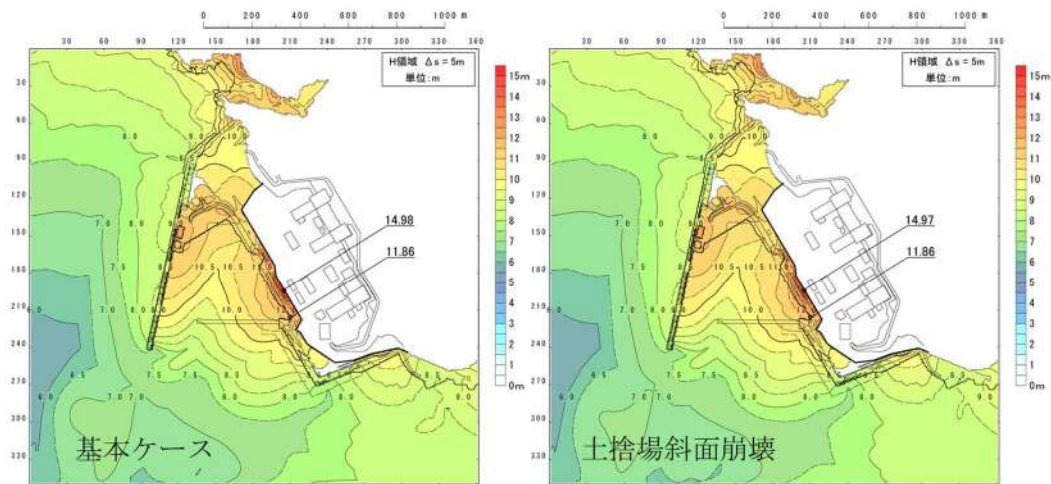


図 2.1.e.c-4 (19) 斜面崩壊の有無による最大水位上昇量分布の比較  
(基準津波 (波源 E, 南防波堤損傷))

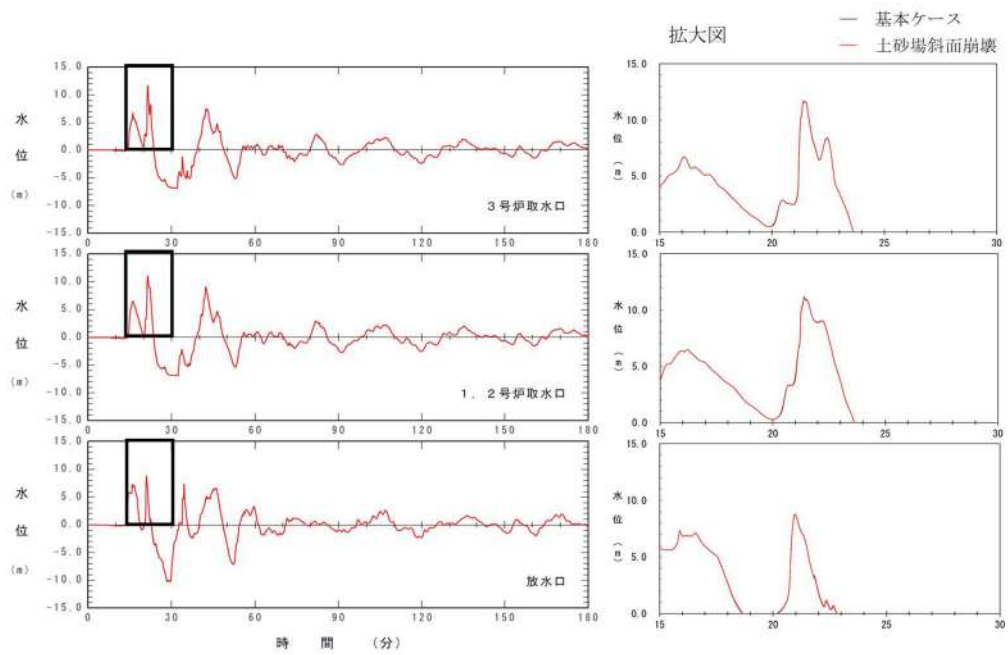


図 2.1.e.c-4 (20) 斜面崩壊の有無による水位時刻歴波形の比較  
(基準津波 (波源 E, 南防波堤損傷))

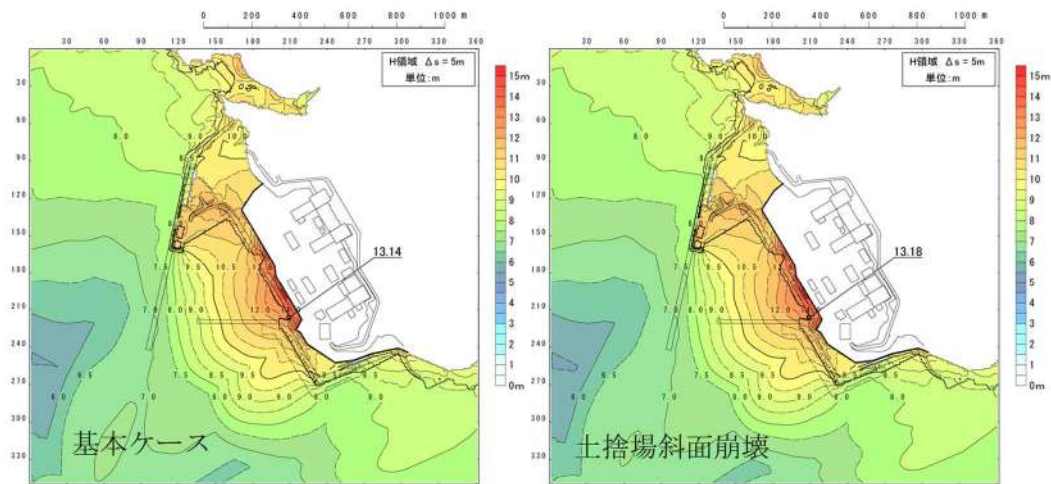


図 2.1. e. c-4 (21) 斜面崩壊の有無による最大水位上昇量分布の比較  
(基準津波 (波源 F, 北及び南防波堤損傷))

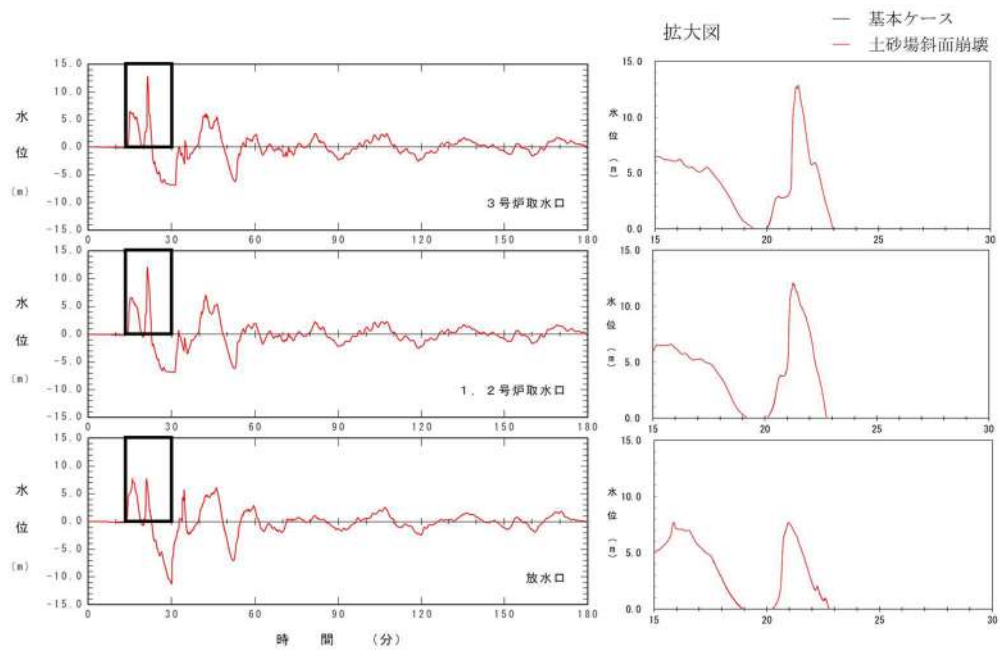


図 2.1. e. c-4 (22) 斜面崩壊の有無による水位時刻歴波形の比較  
(基準津波 (波源 F, 北及び南防波堤損傷))

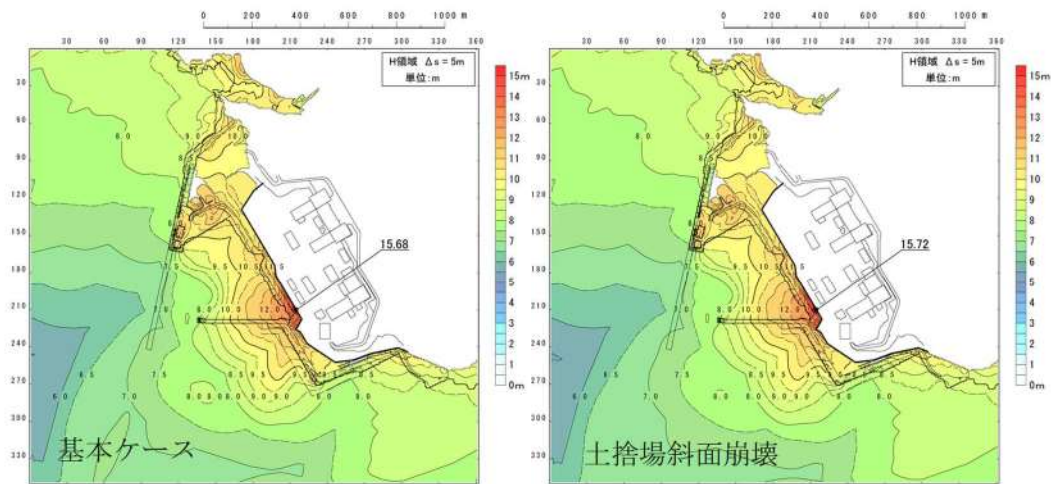


図 2. 1. e. c-4 (23) 斜面崩壊の有無による最大水位上昇量分布の比較  
(基準津波 (波源 F, 北防波堤損傷))

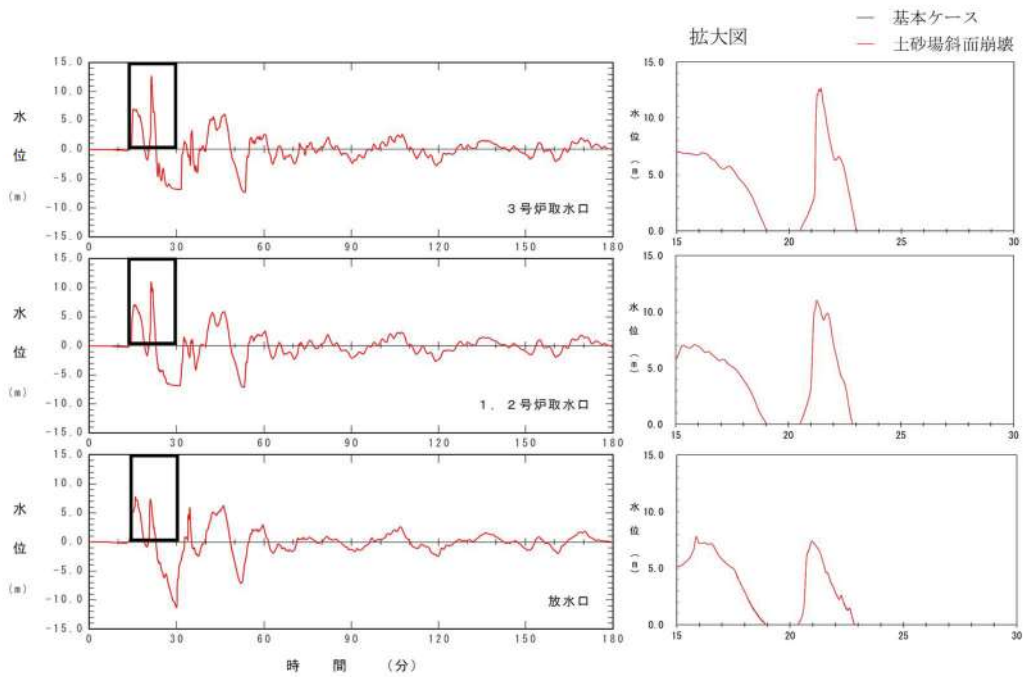


図 2. 1. e. c-4 (24) 斜面崩壊の有無による水位時刻歴波形の比較  
(基準津波 (波源 F, 北防波堤損傷))

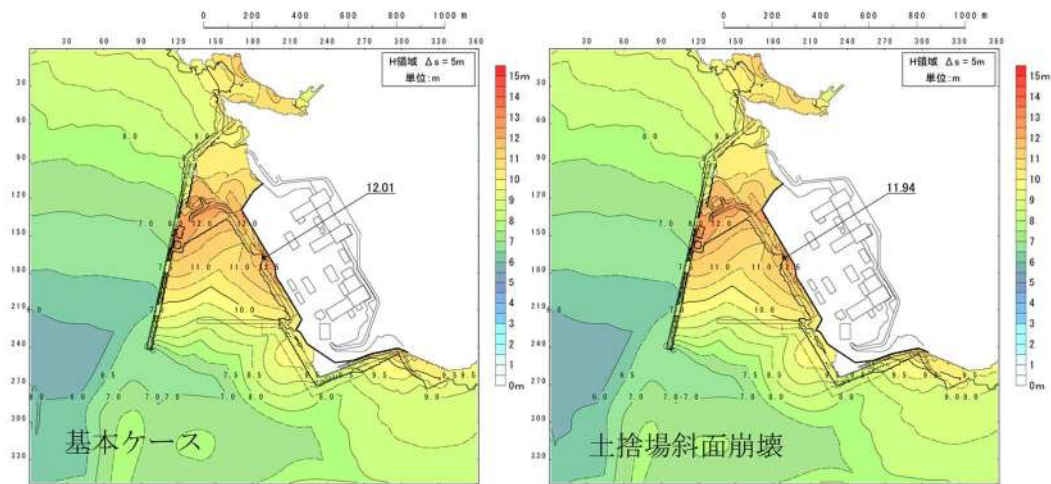


図 2.1. e. c-4 (25) 斜面崩壊の有無による最大水位上昇量分布の比較  
(基準津波 (波源G, 南防波堤損傷))

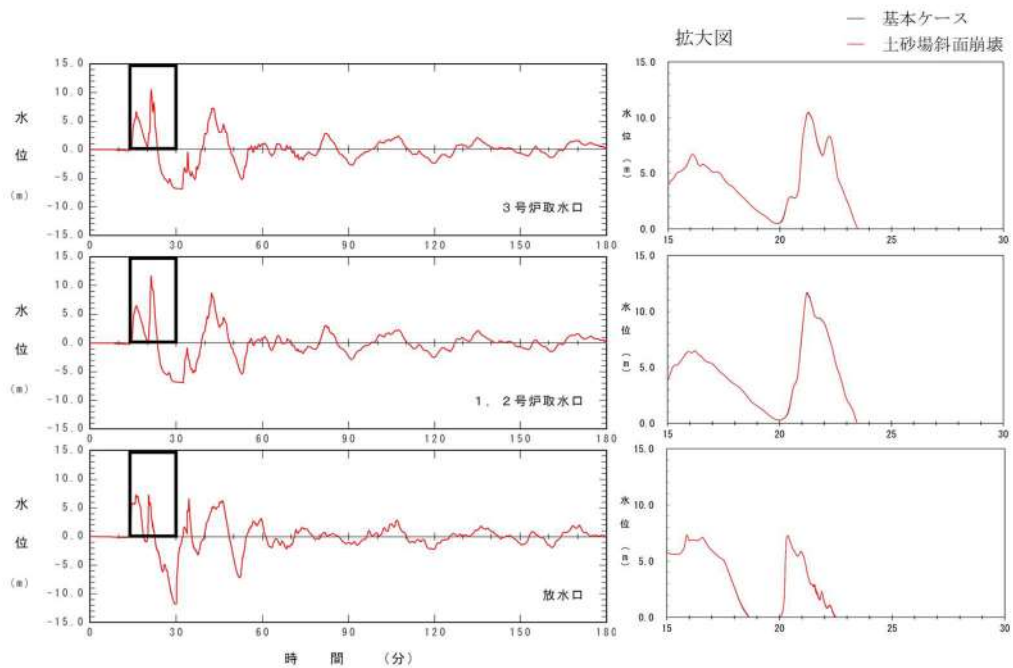


図 2.1. e. c-4 (26) 斜面崩壊の有無による水位時刻歴波形の比較  
(基準津波 (波源G, 南防波堤損傷))

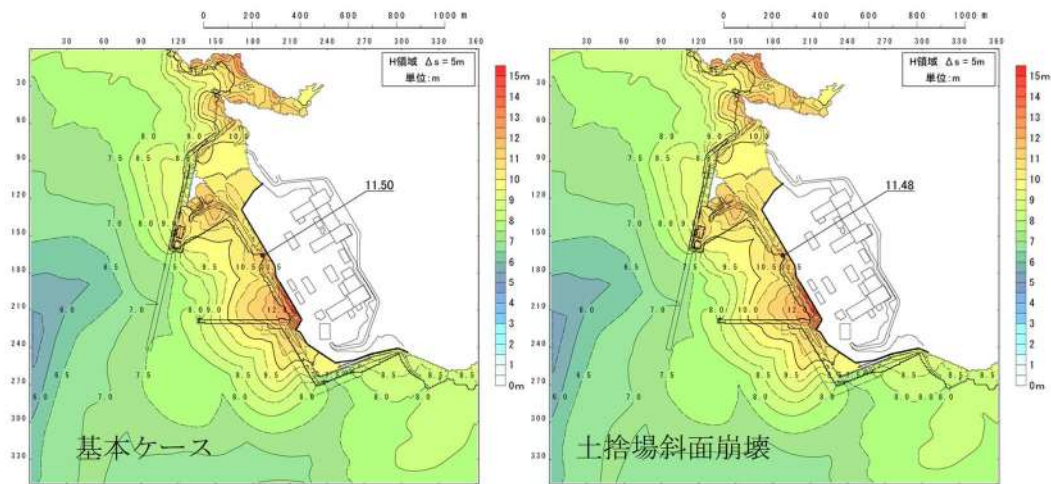


図 2.1.e.c-4 (27) 斜面崩壊の有無による最大水位上昇量分布の比較  
(基準津波 (波源H, 北防波堤損傷))

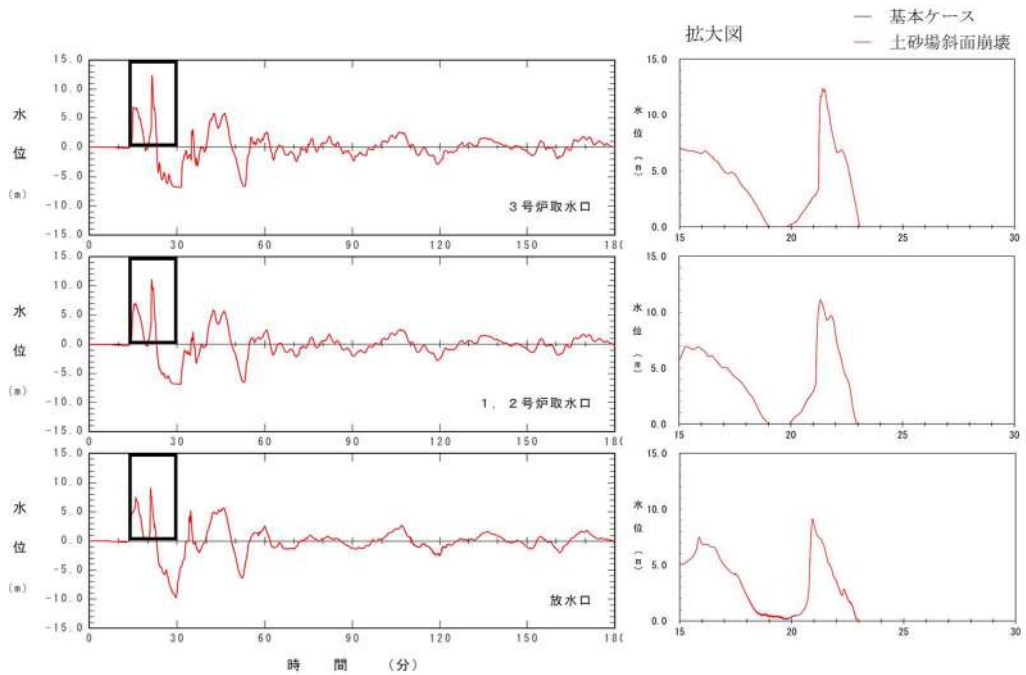


図 2.1.e.c-4 (28) 斜面崩壊の有無による水位時刻歴波形の比較  
(基準津波 (波源H, 北防波堤損傷))



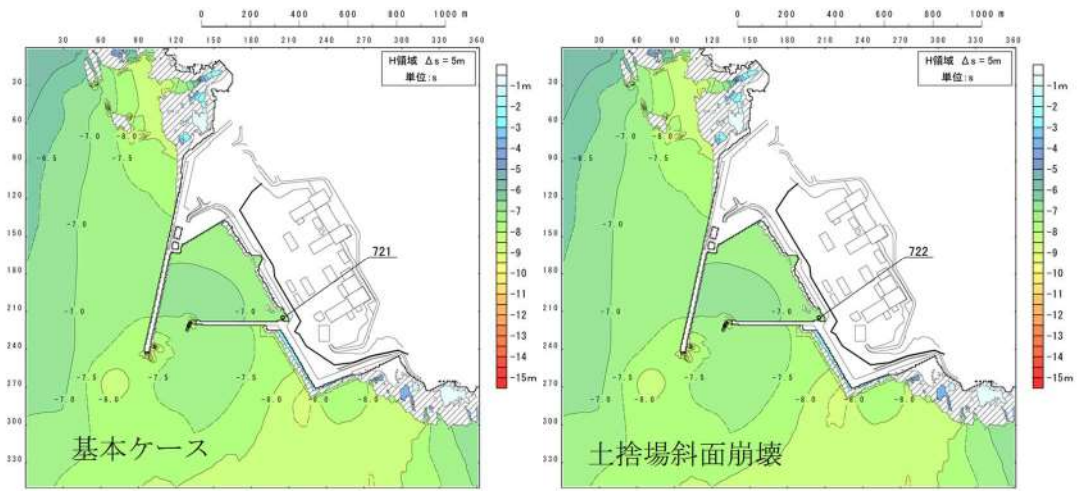


図 2.1. e. c-4 (29) 斜面崩壊の有無による最大水位下降量分布の比較  
(基準津波 (波源 I, 防波堤損傷なし))

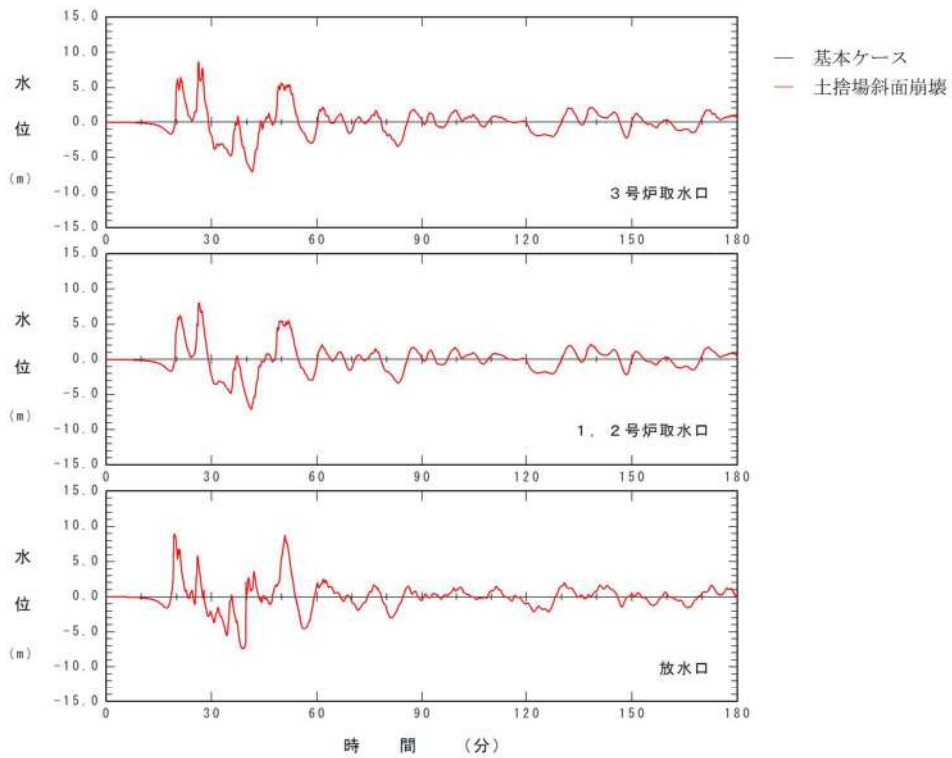


図 2.1. e. c-4 (30) 斜面崩壊の有無による水位時刻歴波形の比較  
(基準津波 (波源 I, 防波堤損傷なし))

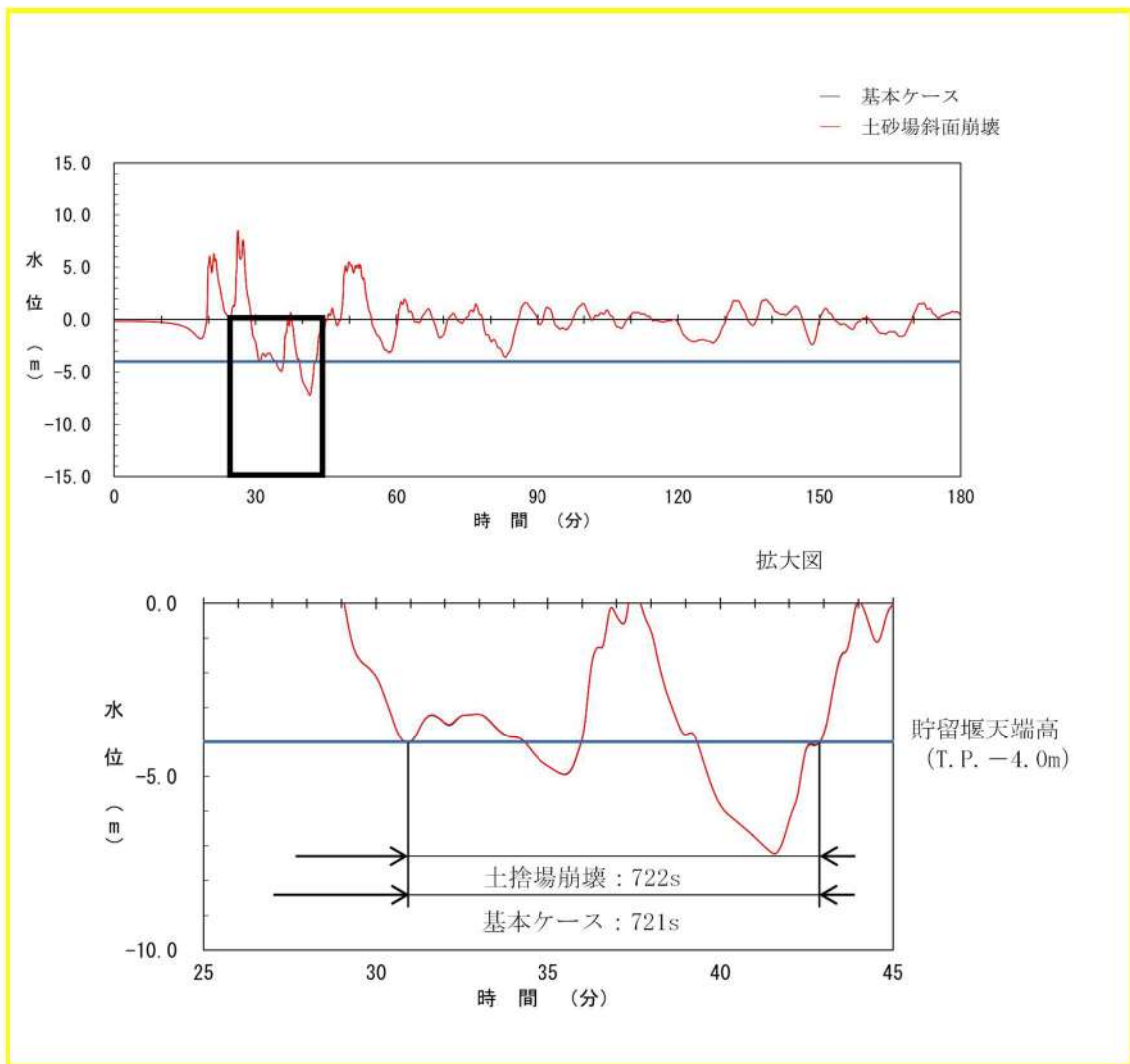


図 2.1. e. c-4 (31) 斜面崩壊の有無による貯留堰を下回る時間の比較  
(基準津波 (波源 I, 防波堤損傷なし))

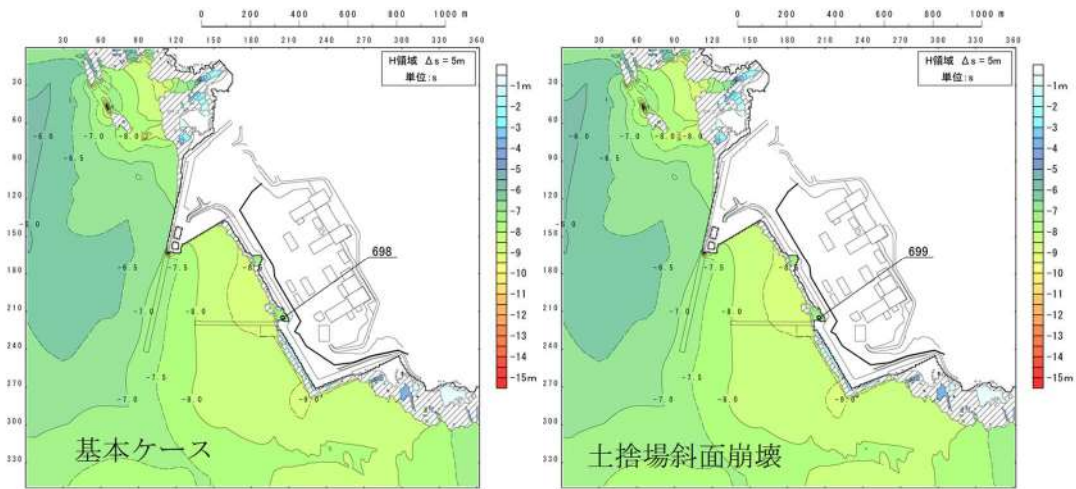


図 2.1. e. c-4 (32) 斜面崩壊の有無による最大水位下降量分布の比較  
(基準津波 (波源 J, 北及び南防波堤損傷))

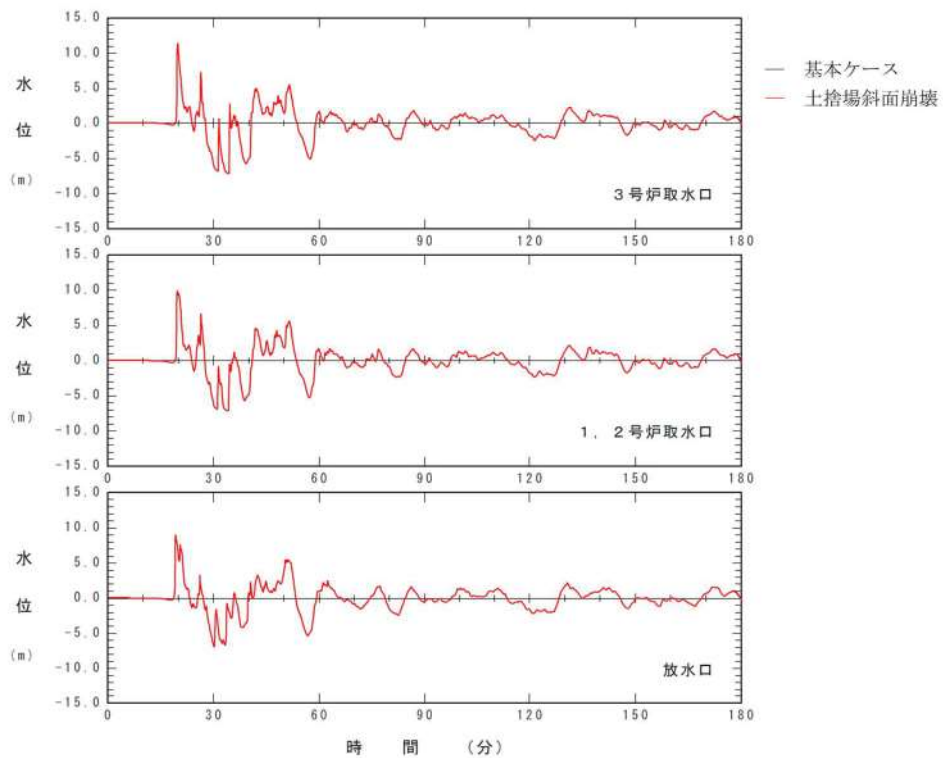


図 2.1. e. c-4 (33) 斜面崩壊の有無による水位時刻歴波形の比較  
(基準津波 (波源 J, 北及び南防波堤損傷))

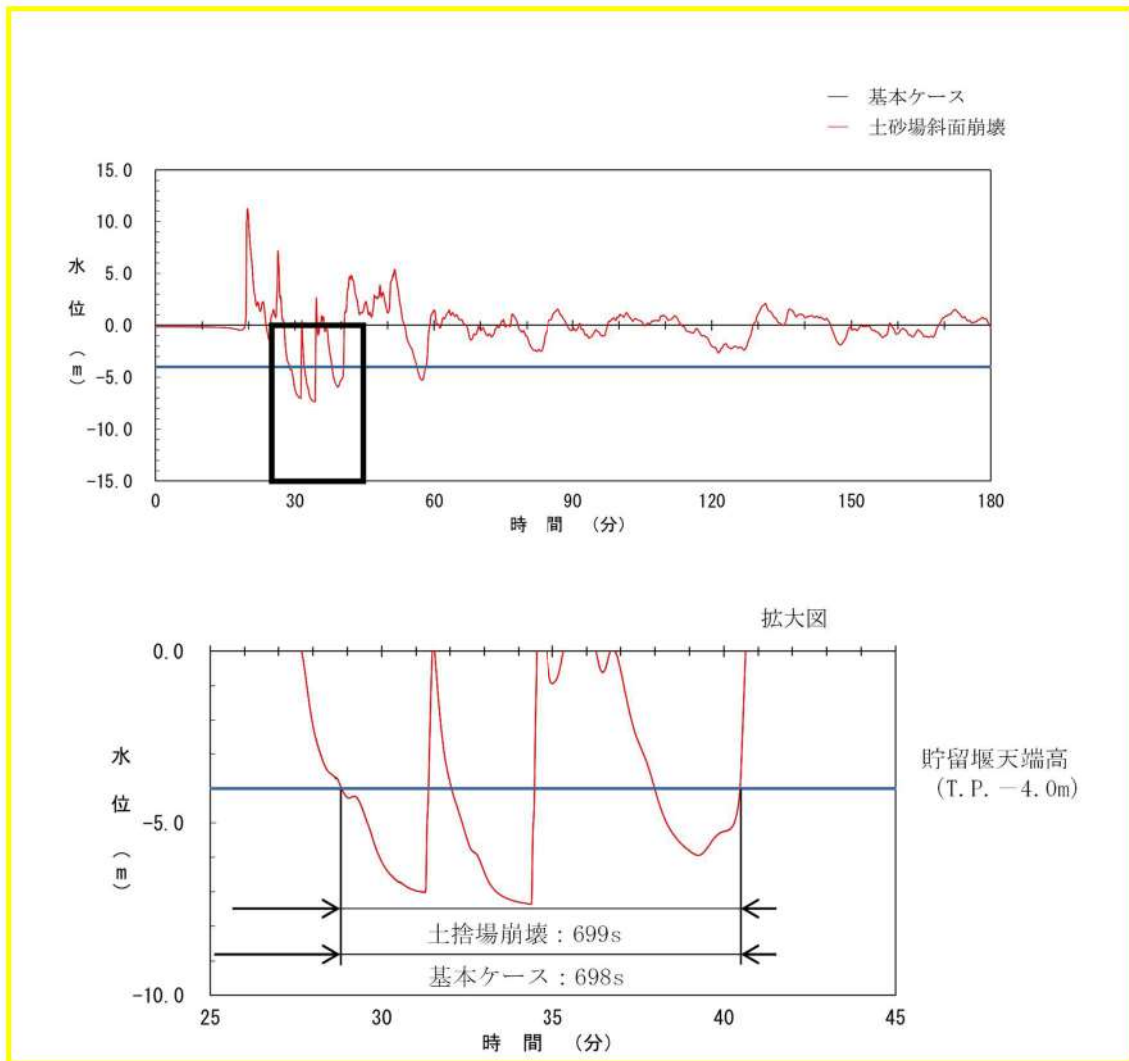


図 2.1. e. c-4 (34) 斜面崩壊の有無による貯留堰を下回る時間の比較  
 (基準津波 (波源 J, 北及び南防波堤損傷))

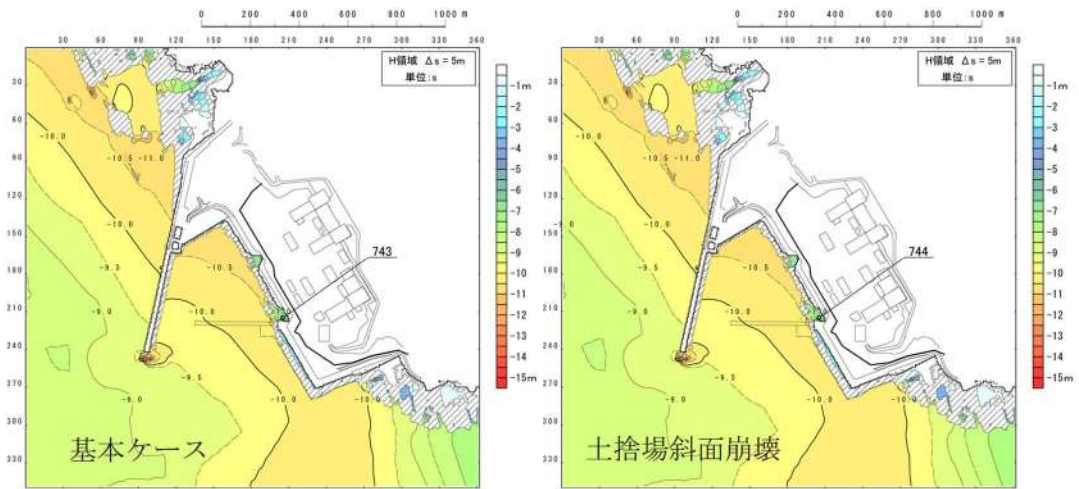


図 2.1. e. c-4 (35) 斜面崩壊の有無による最大水位下降量分布の比較  
(基準津波 (波源K, 南防波堤損傷))

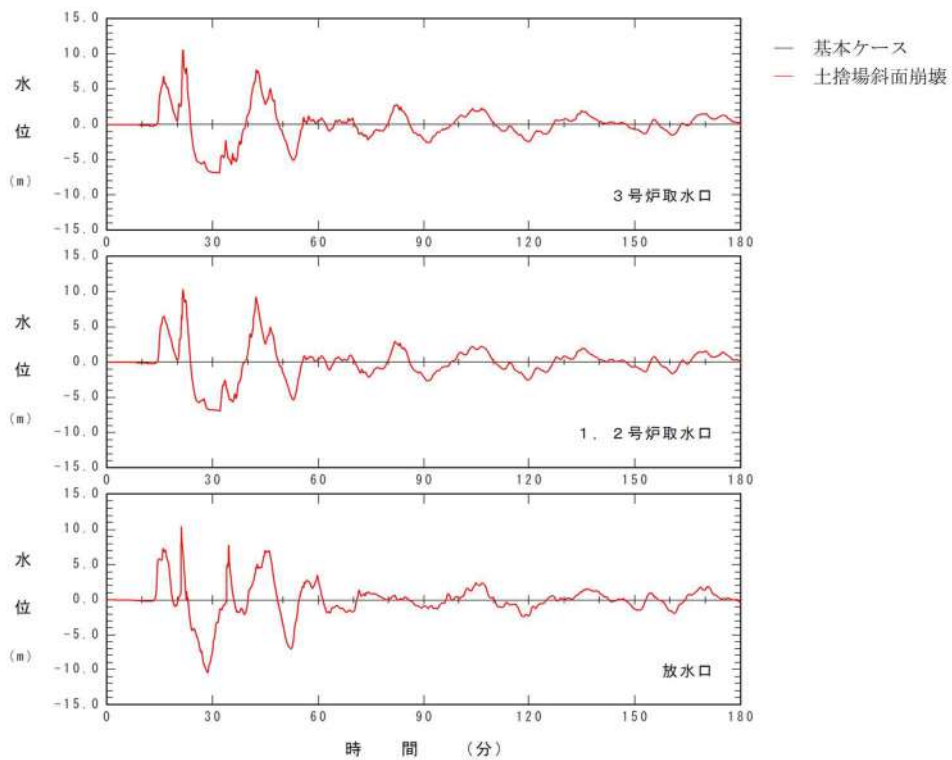


図 2.1. e. c-4 (36) 斜面崩壊の有無による水位時刻歴波形の比較  
(基準津波 (波源K, 南防波堤損傷))

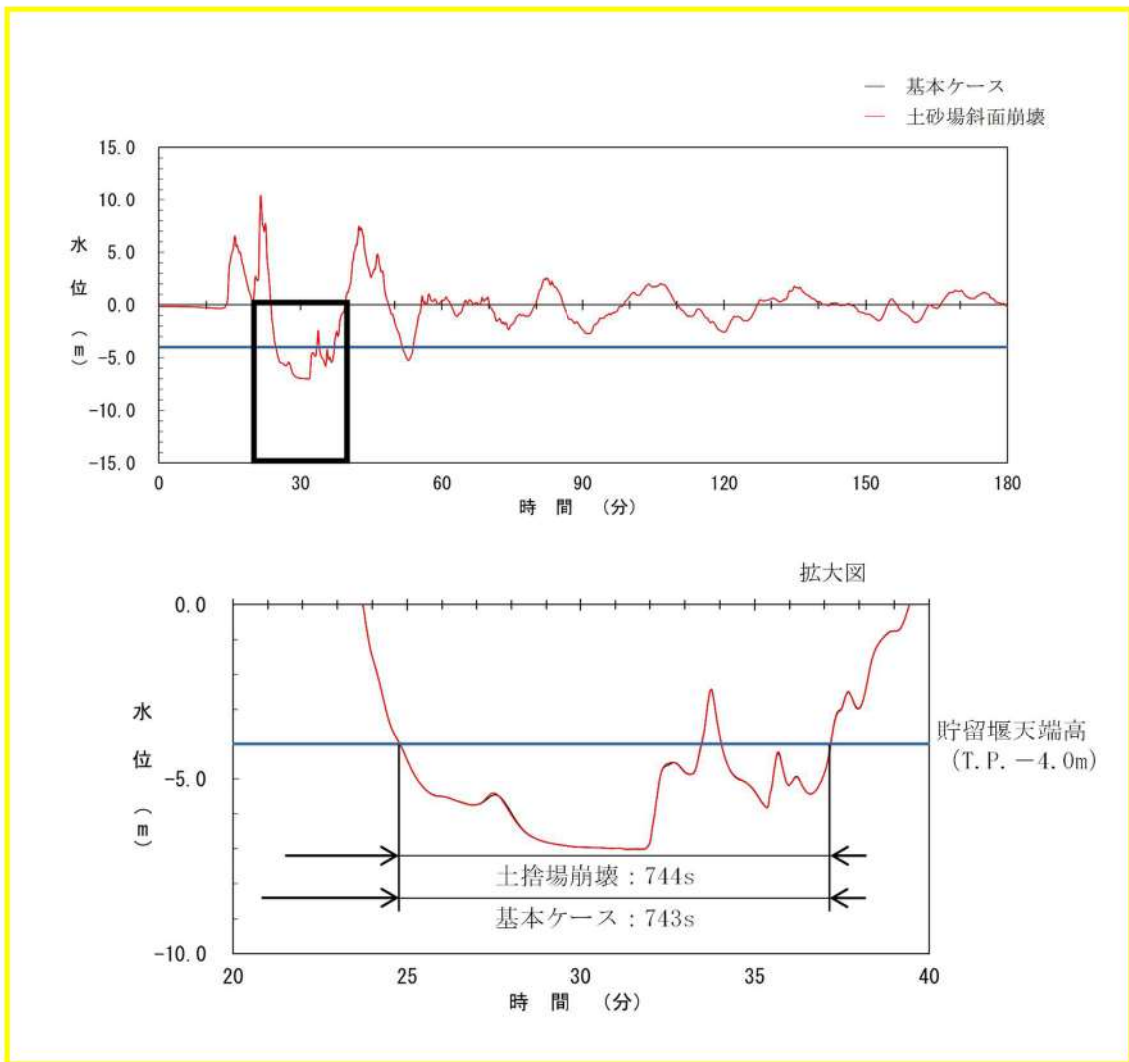


図 2. 1. e. c-4 (37) 斜面崩壊の有無による貯留堰を下回る時間の比較  
(基準津波 (波源K, 南防波堤損傷))

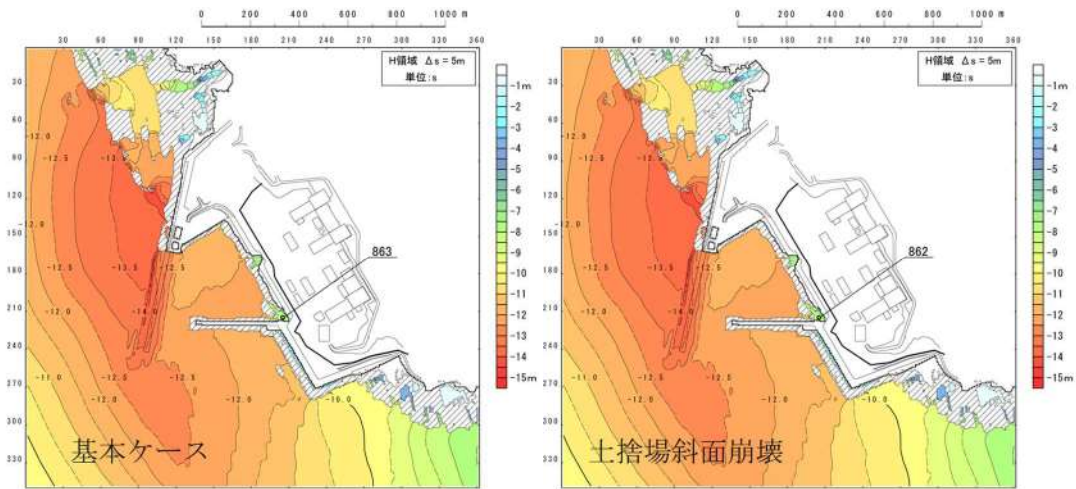


図 2.1. e. c-4 (38) 斜面崩壊の有無による最大水位下降量分布の比較  
(基準津波 (波源 L, 北防波堤損傷))

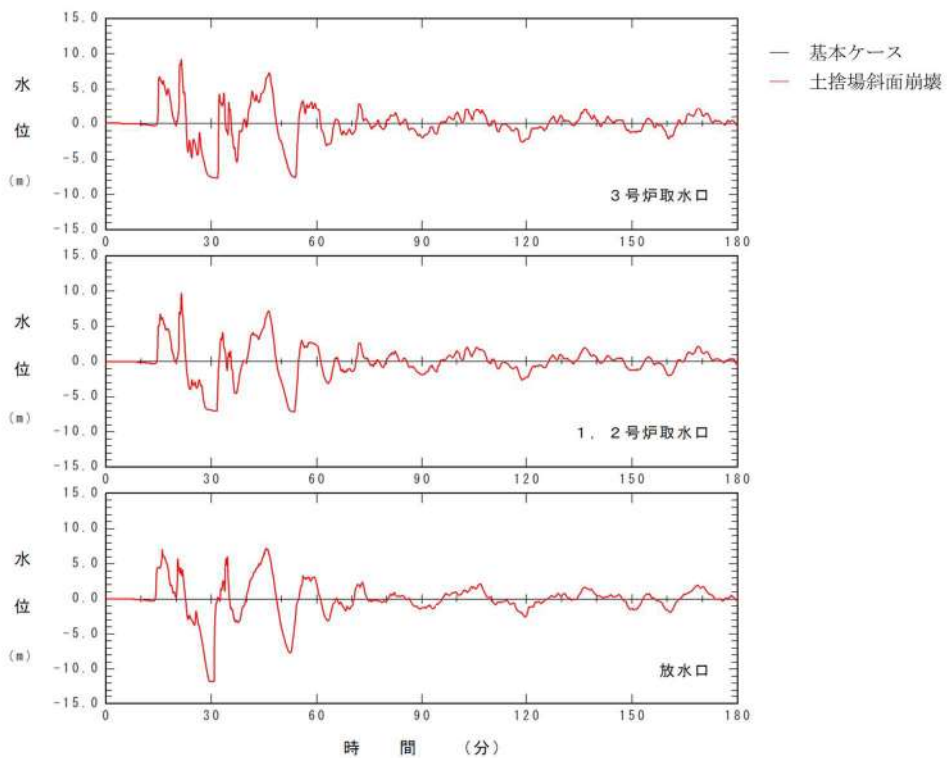


図 2.1. e. c-4 (39) 斜面崩壊の有無による水位時刻歴波形の比較  
(基準津波 (波源 L, 北防波堤損傷))

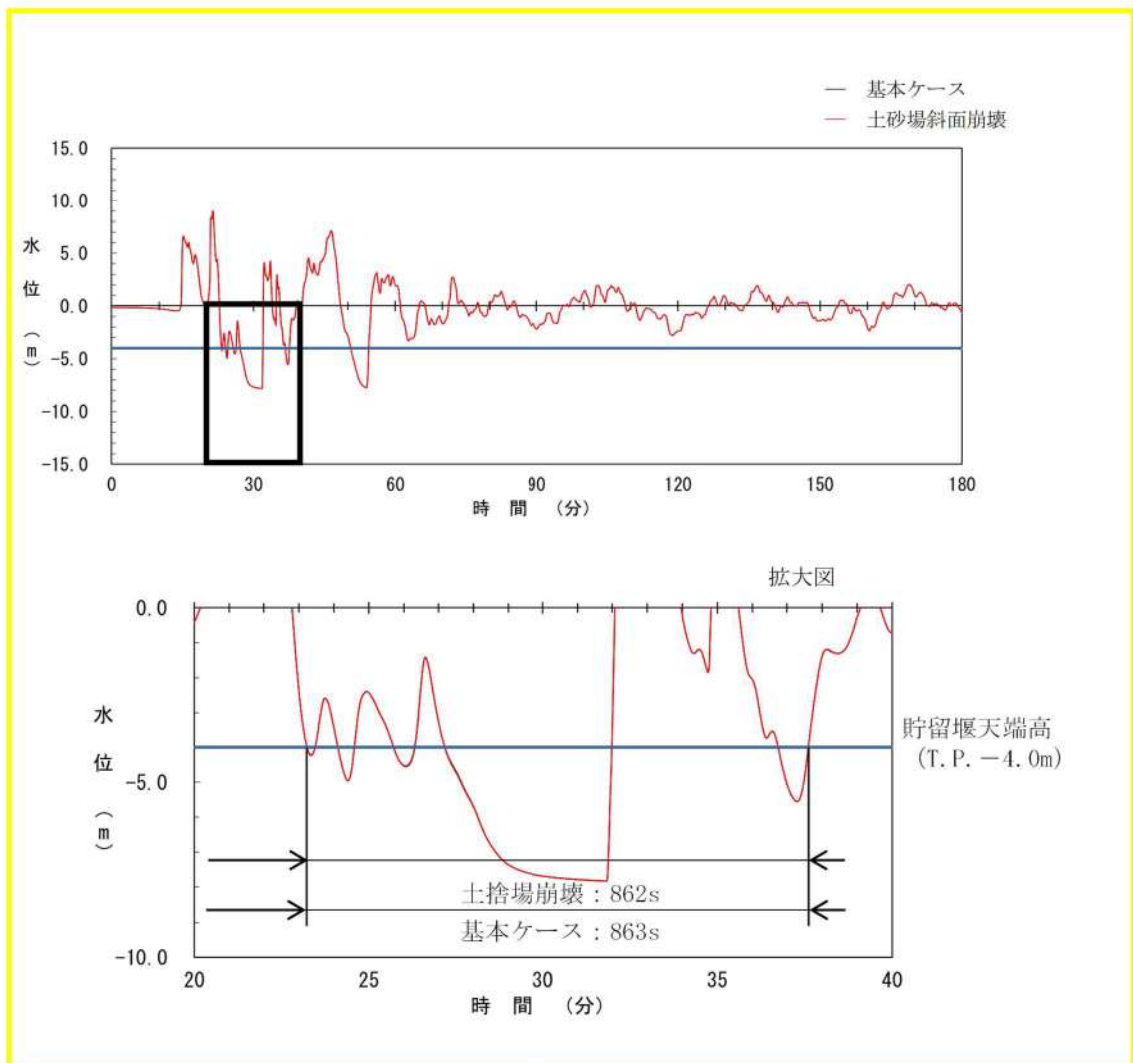


図 2.1. e. c-4 (40) 斜面崩壊の有無による貯留堰を下回る時間の比較  
(基準津波 (波源 L, 北防波堤損傷))



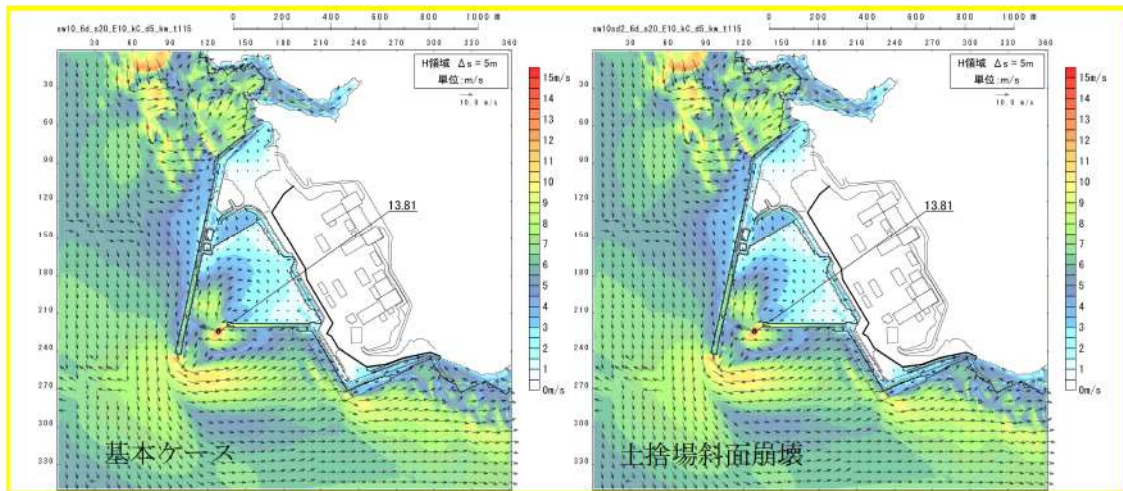


図 2.1.e.c-4 (41) 斜面崩壊の有無による最大流速分布の比較  
(基準津波 (波源 A, 防波堤損傷なし))

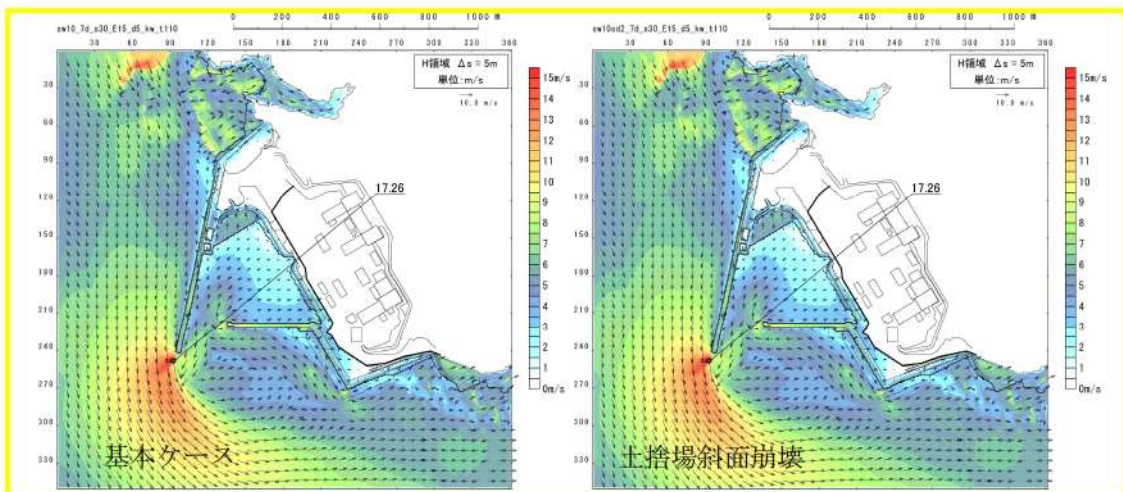


図 2.1.e.c-4 (42) 斜面崩壊の有無による最大流速分布の比較  
(基準津波 (波源 B, 防波堤損傷なし))

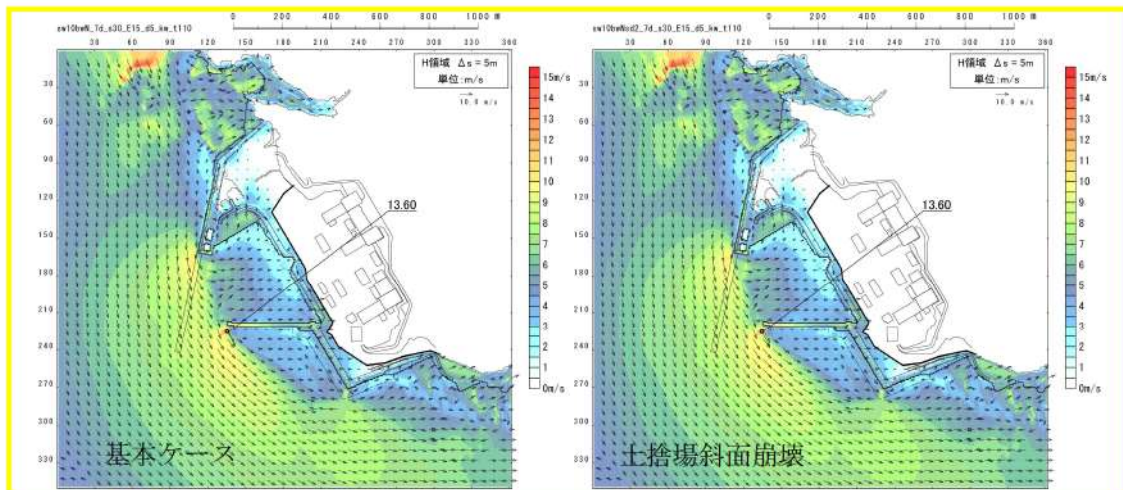


図 2.1.e.c-4 (43) 斜面崩壊の有無による最大流速分布の比較  
(基準津波 (波源 B, 北防波堤損傷))

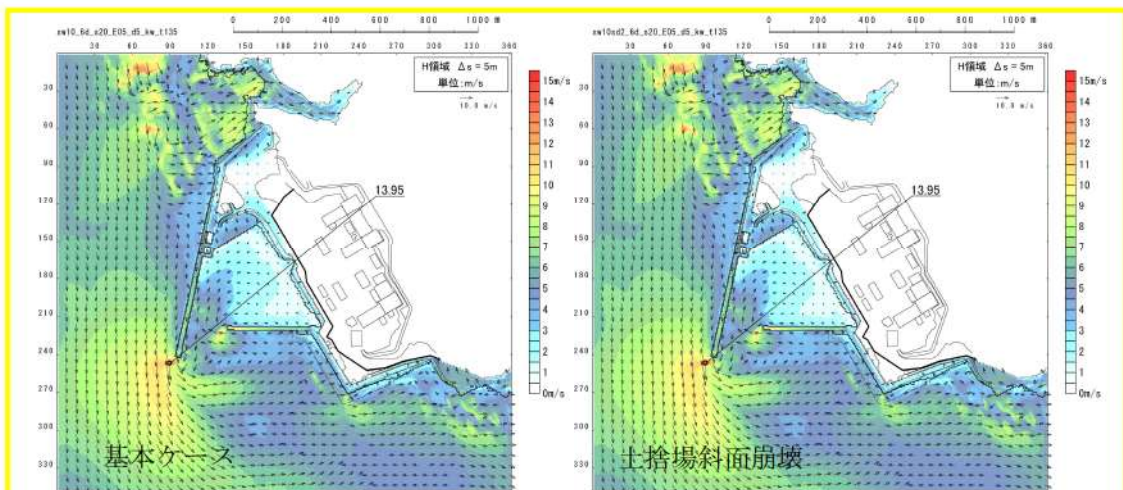


図 2.1.e.c-4 (44) 斜面崩壊の有無による最大流速分布の比較  
(基準津波 (波源 C, 防波堤損傷なし))

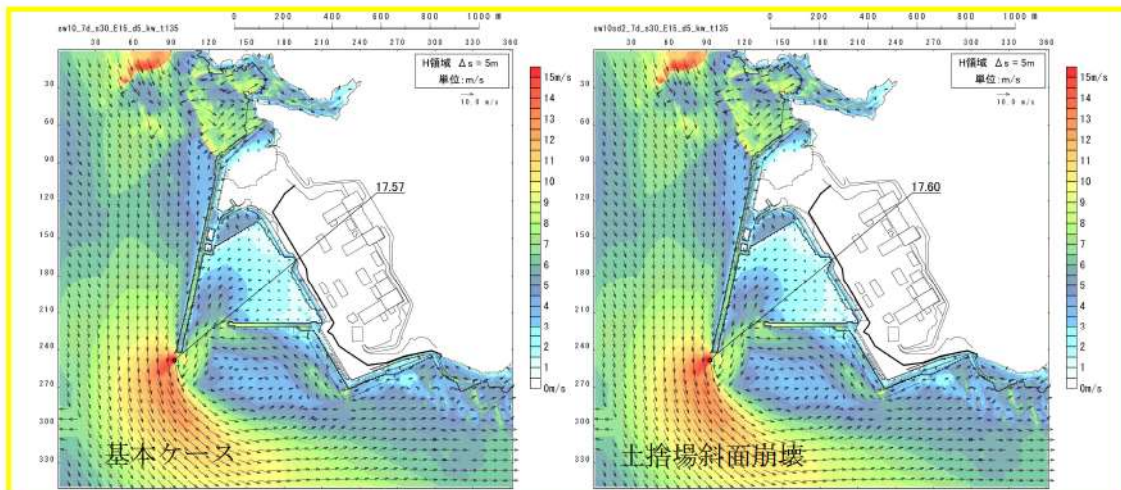


図 2.1.e.c-4 (45) 斜面崩壊の有無による最大流速分布の比較  
(基準津波 (波源D, 防波堤損傷なし))

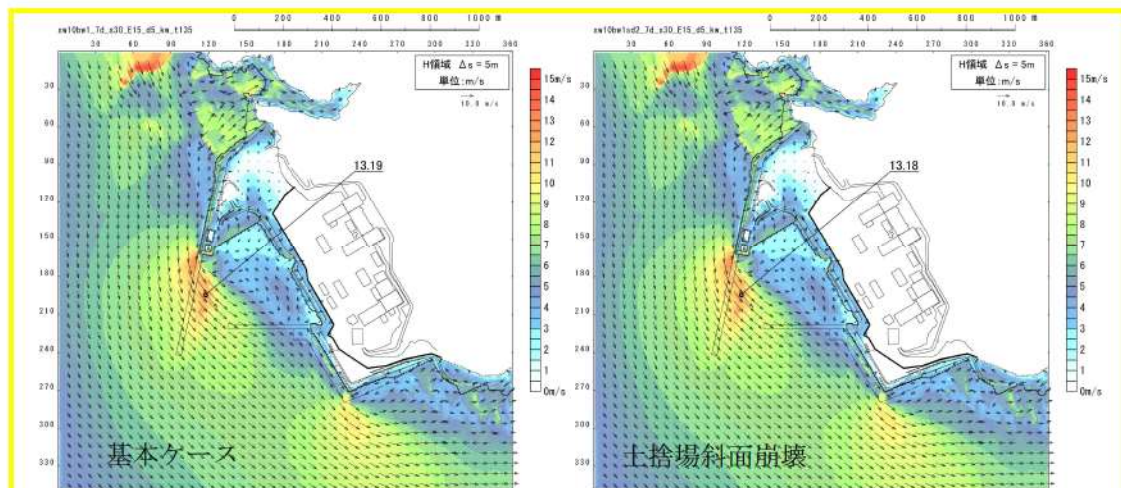


図 2.1.e.c-4 (46) 斜面崩壊の有無による最大流速分布の比較  
(基準津波 (波源D, 北及び南防波堤損傷))

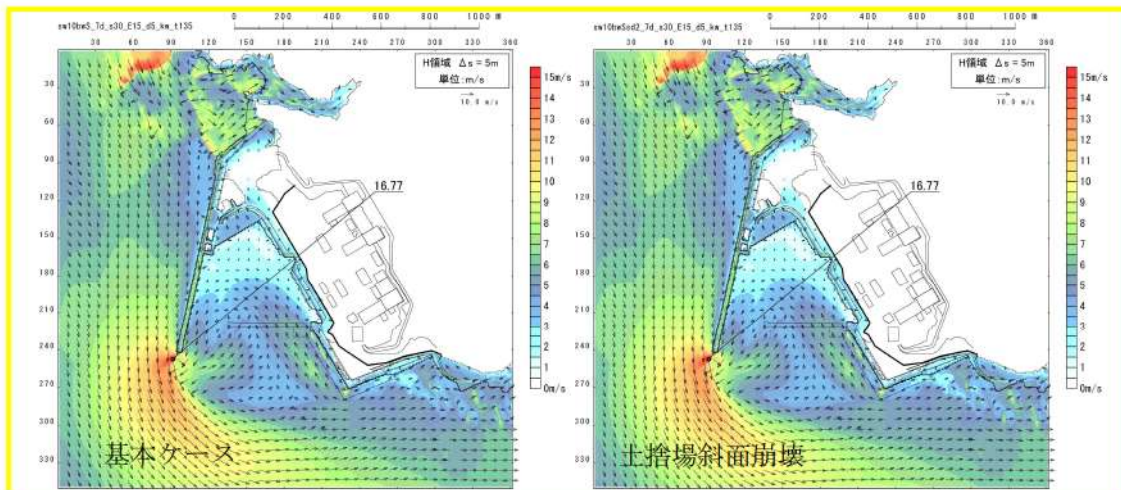


図 2.1.e.c-4 (47) 斜面崩壊の有無による最大流速分布の比較  
(基準津波 (波源D, 南防波堤損傷))

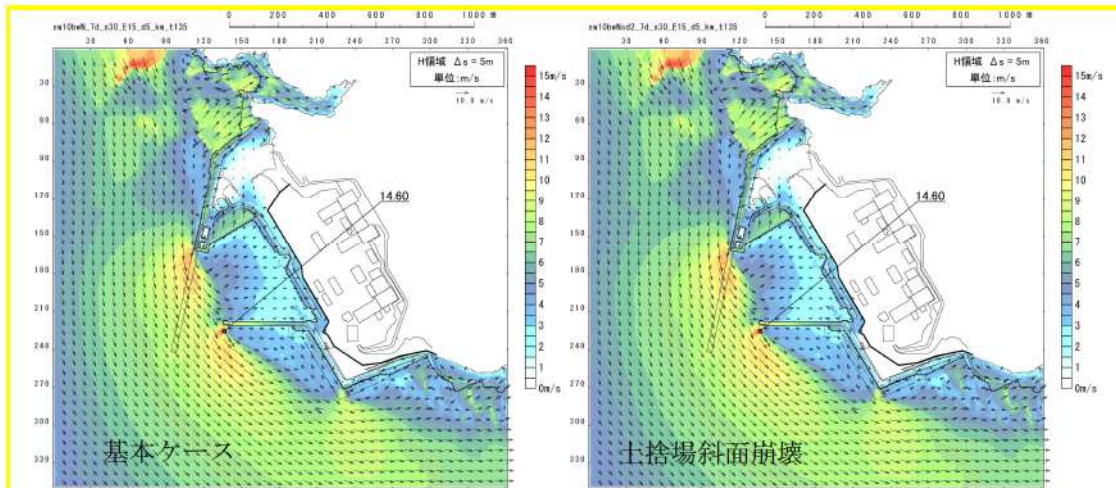


図 2.1.e.c-4 (48) 斜面崩壊の有無による最大流速分布の比較  
(基準津波 (波源D, 北防波堤損傷))

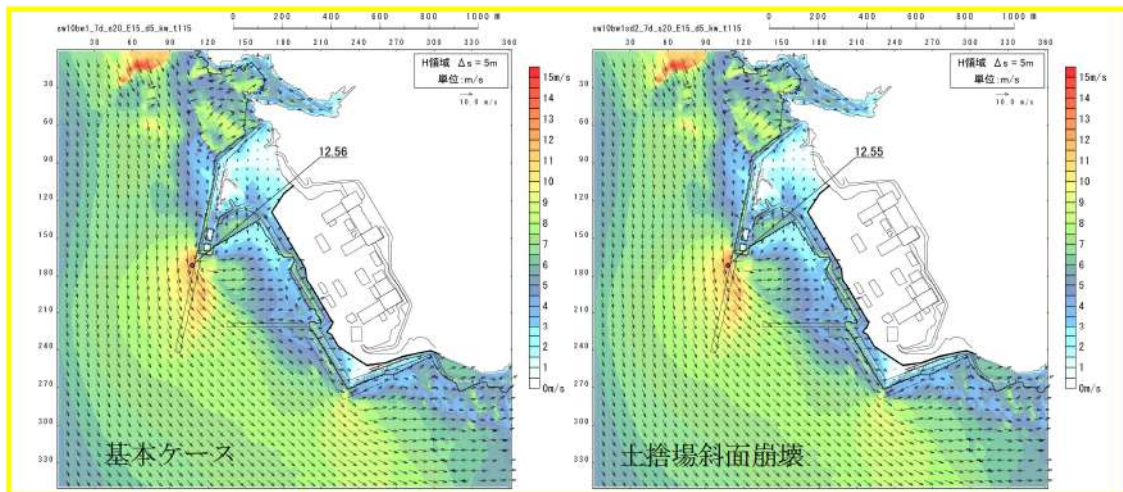


図 2.1.e.c-4 (49) 斜面崩壊の有無による最大流速分布の比較  
(基準津波 (波源 E, 北及び南防波堤損傷))

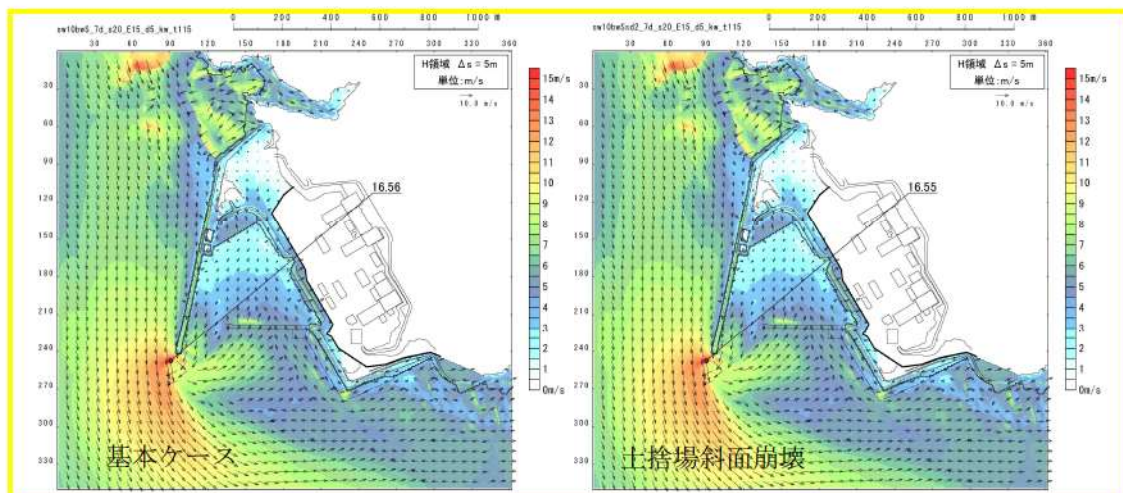


図 2.1.e.c-4 (50) 斜面崩壊の有無による最大流速分布の比較  
(基準津波 (波源 E, 南防波堤損傷))

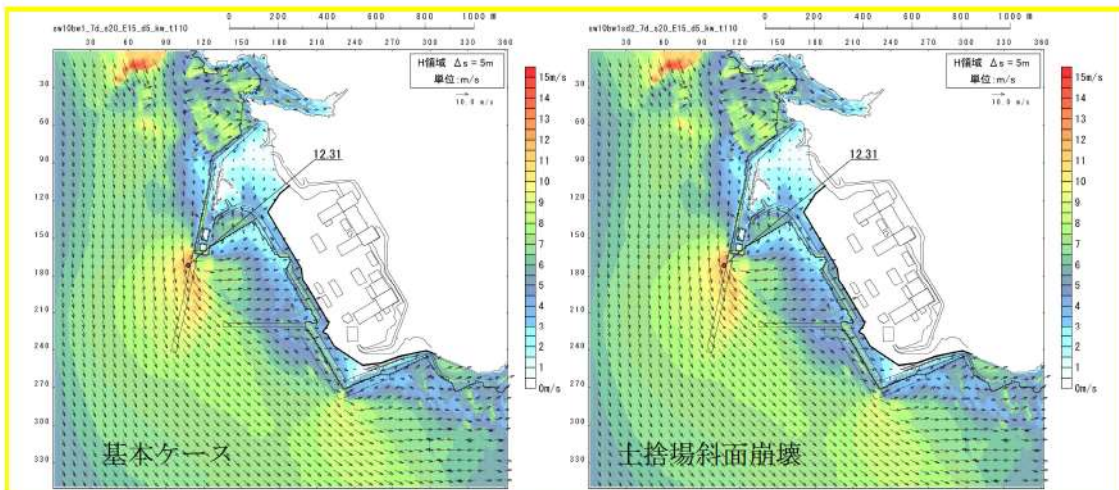


図 2.1.e.c-4 (51) 斜面崩壊の有無による最大流速分布の比較  
(基準津波 (波源 F, 北及び南防波堤損傷))

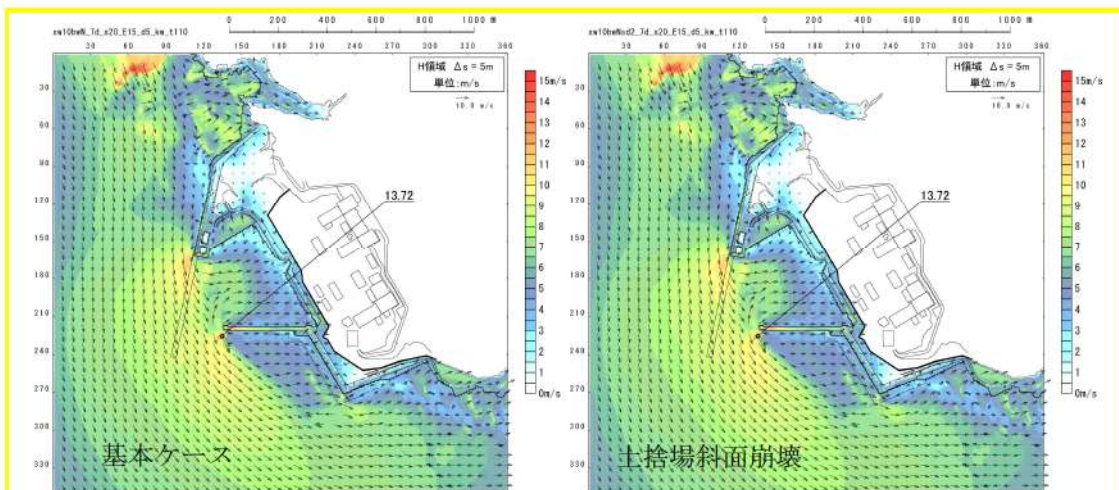


図 2.1.e.c-4 (52) 斜面崩壊の有無による最大流速分布の比較  
(基準津波 (波源 F, 北防波堤損傷))

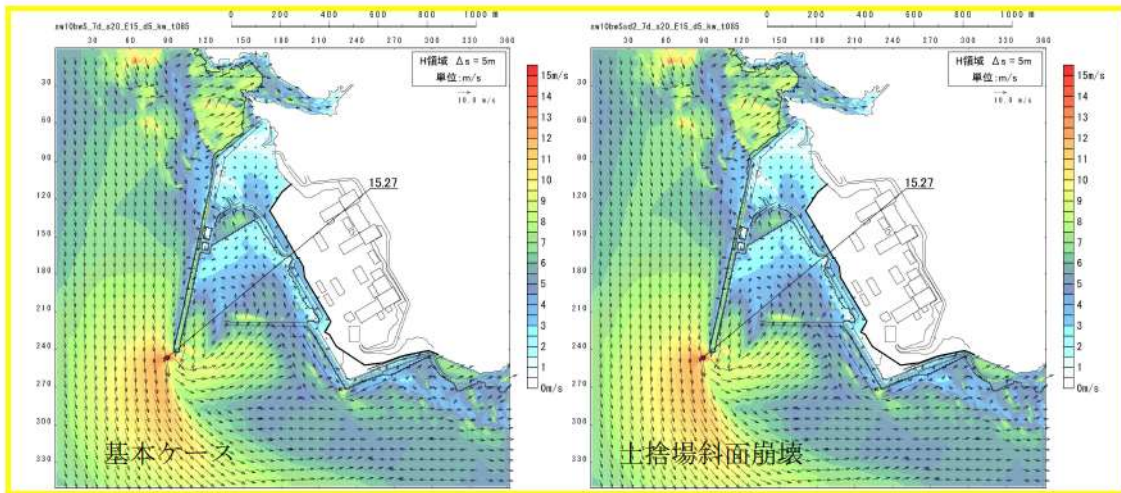


図 2.1.e.c-4 (53) 斜面崩壊の有無による最大流速分布の比較  
(基準津波 (波源G, 南防波堤損傷))

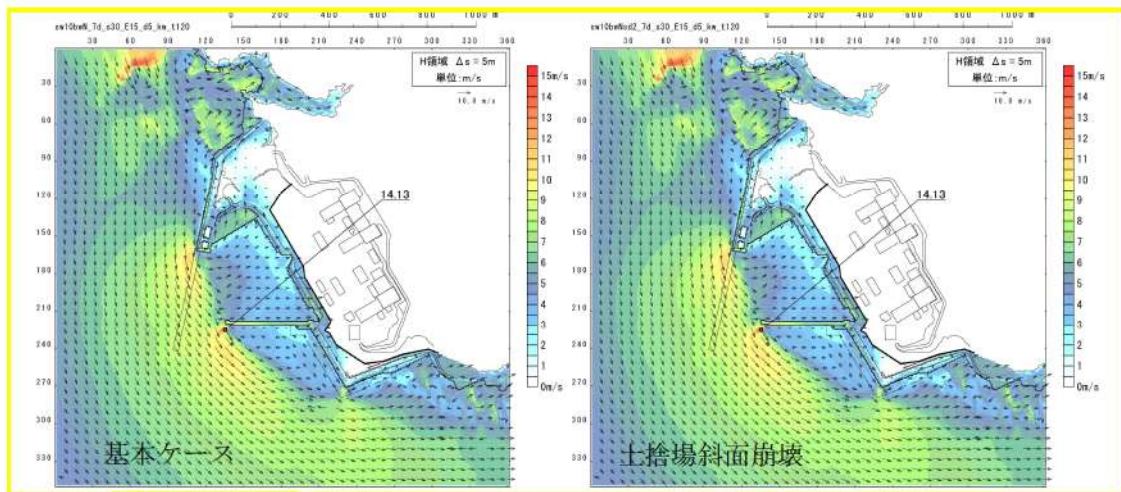


図 2.1.e.c-4 (54) 斜面崩壊の有無による最大流速分布の比較  
(基準津波 (波源H, 北防波堤損傷))